

配布限定

本資料は 年 月 日付で登録区分、
変更する。

[技術情報室]

分置

ライナ・埋込金物部総合健全性試験 成 果 報 告 書

技術資料		
開示区分	レポートNo.	受領日
S	J222 84-07	1997.10.15

この資料は技術管理室保存資料です
閲覧には技術資料閲覧票が必要です
動力炉・核燃料開発事業団 技術協力部技術管理室

1984年 6月

持出厳禁

三菱重工業株式会社

本資料の全部または一部を複写・複製・転載する場合は、下記にお問い合わせください。

〒319-1184 茨城県那珂郡東海村大字村松4番地49
核燃料サイクル開発機構
技術展開部 技術協力課

Inquiries about copyright and reproduction should be addressed to:
Technical Cooperation Section,
Technology Management Division,
Japan Nuclear Cycle Development Institute
4-49 Muramatsu, Tokai-mura, Naka-gun, Ibaraki, 319-1184
Japan

© 核燃料サイクル開発機構 (Japan Nuclear Cycle Development Institute)

用等には事業団の承認が必要です。

動力炉・核燃料開発事業団
計画管理部技術情報室



配布限定

PNC SJ 222 84-07

1984年6月30日

*
ライナ・埋込金物部総合健全性試験*

清水誠一 *** 黒川真佐夫 ***
永田 薫 *** 鈴木智巳 ***
佐野 保 *** 東口洋一 ***
上田三男 ***

要旨

本報告書は高速増殖原型炉“もんじゅ”のナトリウム配管が設置される部屋に設置予定である固定式ライナと各機器のサポート・台座、配管貫通部等をコンクリートに堅固に固定する埋込金物との取り合い部を対象として実施した総合健全性試験及び構造解析の結果をとりまとめたものである。

試験と解析では以下に述べる結果が得られた。

1. 総合健全性試験

(1) 埋込金物を含む固定式ライナ供試体に電気ヒータによる加熱と高温ナトリウム注入を伴う試験を行ない、これらによって実機での使用状態及び大量ナトリウム漏洩時に相当する熱履歴を与えたが、試験中ライナ機能を損う様な損傷や異常は認められなかった。

* 本報告書は、三菱重工業株式会社が動力炉・核燃料開発事業団の委託により実施した研究の成果である。

*** 三菱重工業株式会社 神戸造船所 新型炉設計部

*** 三菱重工業株式会社 神戸造船所 鉄構部

*** 三菱重工業株式会社 技術本部 高砂研究所

- (2) 試験終了後の供試体のライナプレート及び溶接部に対する各種非破壊検査からも割れ等の異常は認められなかった。
- (3) 試験時最高到達温度(530℃)時点でのライナプレートの最大面外変位は50.5mmである。

2. 埋込金物を含むライナプレートの弾塑性構造解析

- (1) 試験に対応した条件のもとで、埋込金物を考慮したライナプレートの詳細弾塑性構造解析を実施し、その結果は試験結果と良好な一致を示した。
- (2) 上記詳細弾塑性構造解析に基づき、埋込金物を考慮したライナプレートの簡易解析手法を提案した。

Not for Publication

PNC SJ222 84-07

June 30, 1984

Integrity Test for Embedment Portion of Fixed-Type Liner System*

Seiichi Shimizu**, Masao Kurokawa**
Kaoru Nagata**, Tomomi Suzuki**,
Tamotsu Sano**, Youichi Touguchi**,
Sabuo Ueda**

Abstract

This report presents the result of structural integrity test and structural analysis for the embedment portion of fixed-type liner system that is being proposed for a few cells containing sodium loop of the prototype fast breeder reactor "Monju".

The summary of the present test and analysis is as follows.

1. Structural integrity test

A mock-up test model of fixed-type liner system consisting of floor liner and thickened embedment plate was subjected to the structural integrity test (i.e., a hot gas heating and a hot sodium filling tests).

These tests were conducted so as to simulate the reactor operating condition and the accident condition that would be generated in consequence of a sodium leak.

- (1) Although the liner plate of test model was subjected to repeated thermal load and enforced displacement from thickened embedment plate during the test, no crack nor disintegration of the liner plate was found.
- (2) Post-test examination of the liner plate and the seam weld showed no indication of crack.

* Work performed under contracts between Power Reactor and Nuclear Fuel Development Corporation, and Mitsubishi Heavy Industries, Ltd.

** Advanced Nuclear Plant Engineering department, Kobe Shipyard & Engine Works, Mitsubishi Heavy Industries, Ltd.

*** Steel structure department, Kobe Shipyard & Engine Works, Mitsubishi Heavy Industries, Ltd.

**** Takasago Technical Institute, Technical Headquarters, Mitsubishi Heavy Industries, Ltd.

- (3) The maximum liner temperature during the test was 530°C. At this temperature, maximum thermal deformation of the liner plate was 50.5 mm.
- 2. Elasto-plastic structural analysis of the liner plate taking account of thickened embedment plate
 - (1) The detailed elasto-plastic structural analysis of the liner plate which took account of thickened embedment plate was carried out under the condition corresponding to the structural integrity test.
The result of detailed analysis showed good coincidence with the test result.
 - (2) Based on above detailed analysis, we proposed simplified analysis method for the liner plate taking account of embedment plate.

目 次

	ページ
1. まえがき	1
2. 構造健全性試験	2
2.1 概要	2
2.2 供試体	2
2.2.1 供試体の概要	2
2.2.2 供試体の製作	3
2.2.3 供試体の検査	3
2.3 試験方法	3
2.3.1 試験装置	3
2.3.2 計測項目及び計測方法	4
2.3.3 試験条件及び試験方法	7
2.4 試験結果	10
2.4.1 供試体各部の変位	10
2.4.2 供試体各部の温度分布	12
2.4.3 ライナフレートの歪み	16
2.4.4 試験後の供試体の検査結果	17
2.5 考察	18
2.5.1 ライナフレートの変位	18
2.5.2 供試体各部の温度	19
2.5.3 ライナフレートの歪み	24
3. 照合解析	25
3.1 概要	25
3.2 弾塑性大変形解析	25
3.2.1 解析の概要	25

3.2.2 解析方法及び解析条件	25
3.3 解析結果	27
3.3.1 变位	27
3.3.2 等価歪み	27
3.3.3 ライナフレート端部に発生する等価歪み	28
3.4 試験結果と照合解析結果との比較	29
3.4.1 变位	29
3.4.2 歪み	29
4. 簡易評価手法の検討	30
4.1 概要	30
4.2 スリットモデルによる簡易解析	30
4.2.1 解析の概要	30
4.2.2 埋込金物との取り合い部を有する固定式ライナ	30
4.2.3 固定式ライナ	31
4.2.4 簡易解析結果	32
4.3 簡易評価手法	32
4.3.1 概要	32
4.3.2 簡易解析結果と詳細解析結果との対比	32
4.3.3 簡易評価手法	33
5. 評価及びまとめ	34
6. 謝辞	36
参考文献	37
APPENDIX A 試験データ集	A-i
APPENDIX B 「MARC」インプットリスト	B-i

図 リ ス ト
List of Figure

	ペー ジ	
Fig. 2.2.1-1 Fig. 2.2.2-1	供試体 Test Rig	38
Fig. 2.2.3-1 Fig. 2.2.3-1	ライナ寸法検査用測定装置 Arrangement of the Gauges for Dimension Determination of the Test Rig	39
Fig. 2.3.1-1 Fig. 2.3.1-1	ナトリウム載荷実験概略系統図 Flow Sheet of Test Apparatus	40
Fig. 2.3.1-2 Fig. 2.3.1-2	ナトリウムの注入位置, ノズル Relative Heights of Insulating Cover, Sodium Level and Liner Plate.	41
Fig. 2.3.2-1 Fig. 2.3.2-1	温度計測点配置図 Location of Thermocouples for Temperature Determination of the Test Rig	42
Fig. 2.3.2-2 Fig. 2.3.2-2	変位計測点配置図 Location of the Wire-Type Displacement Gauges for the Liner Plate and the Embedded Plate	43
Fig. 2.3.2-3 Fig. 2.3.2-3	変位計測の要領 Detailed Arrangement of the Wire-Type Displacement Gauges	44
Fig. 2.3.2-4 Fig. 2.3.2-4	ライナプレート用の歪みゲージ配置図 Arrangement of Strain gauges for the Liner Plate	45
Fig. 2.3.2-5 Fig. 2.3.2-5	データ集録, 处理システム Block Diagram of Data Acquisition System	46
Fig. 2.3.3-1 Fig. 2.3.3-1	ライナ平均温度の定義 Definition of Average Liner Temperature	47
Fig. 2.3.3-2 Fig. 2.3.3-2	RUN-1のライナ平均温度の推移 Record of Average Liner Temperature in RUN-1	48
Fig. 2.3.3-3 Fig. 2.3.3-3	RUN-2, RUN-3のライナ平均温度の推移 Record of Average Liner Temperature from RUN-2 to RUN-3.	49
Fig. 2.3.3-4 Fig. 2.3.3-4	RUN-4のライナ平均及びコンクリート温度の推移 Record of Average Liner Temperature and Concrete Temperature in RUN-4.	50
Fig. 2.4.1-1 Fig. 2.4.1-1	ライナプレート及び埋込金具の面外・面内変位分布(RUN-1) Out-of-Plane and In-Plane Displacement of the Liner Plate and the Embedded Plate (RUN-1)	51

Fig. 2.4.1-2 Fig. 2.4.1-2	ライナプレート及び埋込金物の面外・面内変位分布 (RUN-2) Out-of-Plane and In-Plane Displacement of the Liner Plate and the Embedded Plate (RUN-2)	52
Fig. 2.4.1-3 Fig. 2.4.1-3	ライナプレート及び埋込金物の面外・面内変位分布 (RUN-3) Out-of-Plane and In-Plane Displacement of the Liner Plate and the Embedded Plate (RUN-3)	53
Fig. 2.4.1-4 Fig. 2.4.1-4	ライナプレート DL-8 部の面外変位時刻変化 (RUN-4) Record of Out-of-Plane Displacement of the Liner Plate (DL-8) at RUN-4	54
Fig. 2.4.1-5 Fig. 2.4.1-5	ライナプレート及び埋込金物の面外・面内変位分布 (RUN-4) Out-of-Plane and In-Plane Displacement of the Liner Plate and the Embedded Plate (RUN-4)	55
Fig. 2.4.1-6 Fig. 2.4.1-6	ライナプレートの面外残留変位分布 (RUN-4 試験完了後室温) Residual Out-of-Plane Displacement of the Liner Plate (after RUN-4)	56
Fig. 2.4.2-1 Fig. 2.4.2-1	温度分布 (Na注入前) Temperature Distribution (Before Sodium Charge)	57
Fig. 2.4.2-2 Fig. 2.4.2-2	温度分布 (Na充填途上; Time = 0:03) Temperature Distribution (During Charge; Time=0:03)	58
Fig. 2.4.2-3 Fig. 2.4.2-3	温度分布 (充填完了直後; Time = 0:05) Temperature Distribution (Charge Terminated; Time=0:05)	59
Fig. 2.4.2-4 Fig. 2.4.2-4	温度分布 (昇温途上; Time = 1:00) Temperature Distribution (During Heating; Time=1:00)	60
Fig. 2.4.2-5 Fig. 2.4.2-5	温度分布 (530°C 到達後; Time = 4:00) Temperature Distribution (After Heating up to 530°C ; Time = 4:00)	61
Fig. 2.4.2-6 Fig. 2.4.2-6	温度分布 (ヒータ OFF 直前) Temperature Distribution (Just before Heater Off ; Time = 24:00)	62
Fig. 2.4.2-7 Fig. 2.4.2-7	コンクリート温度の代表例 (TC-9~13) Temperature Record of the Concrete (TC-9~13)	63
Fig. 2.4.2-8 Fig. 2.4.2-8	コンクリート温度の代表例 (TC-1,2,3, TS-1) Temperature Record of the Concrete (TC-1,2,3, TS-1)	64
Fig. 2.4.3-1 Fig. 2.4.3-1	ライナプレートの歪み測定値 (RUN-1) Observed Strain of the Liner Plate (RUN-1)	65

Fig. 2.4.3-2 Fig. 2.4.3-2	ライナフーレートの歪み測定値 (RUN-2) Observed Strain of the Liner Plate (RUN-2)	66
Fig. 2.4.3-3 Fig. 2.4.3-3	ライナフーレートの歪み測定値 (RUN-3) Observed Strain of the Liner Plate (RUN-3)	67
Fig. 2.4.3-4 Fig. 2.4.3-4	ライナフーレートの歪み測定値 (RUN-4) Observed Strain of the Liner Plate (RUN-4)	68
Fig. 2.4.4-1 Fig. 2.4.4-1	ライナ溶接部検査位置図 Seam Weld Lines and Liner Plate Inspected at Post - Test Examinations	69
Fig. 2.4.4-2 Fig. 2.4.4-2	耐熱コンクリートの表面クラックのスケッチ Sketch of Cracks on the Heat Resisting Concrete	70
Fig. 2.5.1-1 Fig. 2.5.1-1	弾塑性大変形熱座屈解析によるライナフーレートの座屈モード Buckling Mode of the Liner Plate by Elasto-Plastic Large Displacement Thermal Buckling Analysis	71
Fig. 2.5.2-1 Fig. 2.5.2-1	ライナ温度経時変化；前回試験と今回試験の比較 Transitional Temperature of Liner ; Comparison between Previous and This Work	72
Fig. 2.5.2-2 Fig. 2.5.2-2	コンクリート温度経時変化；前回試験と今回試験の比較 Transitional Temperature of Concrete ; Comparison between Previous and This Work	73
Fig. 2.5.2-3 Fig. 2.5.2-3	コンクリート温度経時変化；計算値と実験値の比較 Transitional Temperature of Concrete ; Comparison between Calculation and Experiment	74
Fig. 3.2.2-1 Fig. 3.2.2-1	解析モデル要素分割図と境界条件 FEM Mesh and Boundary Conditions of Analysis Model	75
Fig. 3.2.2-2 Fig. 3.2.2-2	ライナフーレート材 (SM41B 材) 材料強度の温度依存性 Temperature Dependent of the Physical Properties of the Liner Plate (SM41B Base Metal)	76
Fig. 3.2.2-3 Fig. 3.2.2-3	ライナフーレート材 (SM41B 材) の応力 -ひずみ関係 Temperature Dependent of the Non-Linear Stress - Strain Curves Used in Stress Analysis of the Liner Plate (SM41B Base Metal)	77
Fig. 3.3.1-1(1/3) Fig. 3.3.1-1(1/3)	解析による変位 (RUN-1, RUN-2) Calculated Out-of-Plane Displacement of the Liner Plate (RUN-1, RUN-2)	78

Fig. 3.3.1-1(2/3)	解析による変位 (RUN-3, RUN-4)	79
Fig. 3.3.1-1(2/3)	Calculated Out-of-Plane Displacement of the Liner Plate (RUN-3, RUN-4)	
Fig. 3.3.1-1(3/3)	解析による変位 (降温完了後)	80
Fig. 3.3.1-1(3/3)	Calculated Out-of-Plane Displacement of the Liner Plate (After Cool down)	
Fig. 3.3.1-2	最大変位点の変位挙動	81
Fig. 3.3.1-2	Behaviour of Displacement at the Maximum Displacement Point	
Fig. 3.3.2-1(1/3)	解析による等価膜歪み (RUN-1, RUN-2)	82
Fig. 3.3.2-1(1/3)	Calculated Von Mises Effective Strain for Membrane of the Liner Plate (RUN-1, RUN-2)	
Fig. 3.3.2-1(2/3)	解析による等価膜歪み (RUN-3, RUN-4)	83
Fig. 3.3.2-1(2/3)	Calculated Von Mises Effective Strain for Membrane of the Liner Plate (RUN-3, RUN-4)	
Fig. 3.3.2-1(3/3)	解析による等価膜歪み (降温完了後)	84
Fig. 3.3.2-1(3/3)	Calculated Von Mises Effective Strain for Membrane of the Liner Plate (After Cool down)	
Fig. 3.3.2-2(1/3)	解析による等価(膜+曲げ)歪み(表面) (RUN-1, RUN-2)	85
Fig. 3.3.2-2(1/3)	Calculated Von Mises Effective Strain for Combined Membrane plus Bending (Upper Surface) of the Liner Plate (RUN-1, RUN-2)	
Fig. 3.3.2-2(2/3)	解析による等価(膜+曲げ)歪み(表面) (RUN-3, RUN-4)	86
Fig. 3.3.2-2(2/3)	Calculated Von Mises Effective Strain for Combined Membrane plus Bending (Upper Surface) of the Liner Plate (RUN-3, RUN-4)	
Fig. 3.3.2-2(3/3)	解析による等価(膜+曲げ)歪み(表面) (降温完了後)	87
Fig. 3.3.2-2(3/3)	Calculated Von Mises Effective Strain for Combined Membrane plus Bending (Upper Surface) of the Liner Plate (After Cool down)	
Fig. 3.3.3-3(1/3)	解析による等価(膜+曲げ)歪み(裏面) (RUN-1, RUN-2)	88
Fig. 3.3.3-3(1/3)	Calculated Von Mises Effective Strain for Combined Membrane plus Bending (Lower Surface) of the Liner Plate (RUN-1, RUN-2)	
Fig. 3.3.3-3(2/3)	解析による等価(膜+曲げ)歪み(裏面) (RUN-3, RUN-4)	89
Fig. 3.3.3-3(2/3)	Calculated Von Mises Effective Strain for Combined Membrane plus Bending (Lower Surface) of the Liner Plate (RUN-3, RUN-4)	

Fig.3.3.3-3(3/3)	解析による等価(膜+曲げ)歪み(裏面)(降温完了後)	90
Fig.3.3.3-3(3/3)	Calculated Von Mises Effective Strain for Combined Membrane plus Bending (Lower Surface) of the Liner Plate (After Cool down)	
Fig.3.4.1-1(1/4)	ライナ変位に関する解析値と実験値との対比 (RUN-1, 66°C)	91
Fig.3.4.1-1(1/4)	Distribution of the Liner Plate Displacement (RUN-1, 66°C); Comparison between Calculated Value and Observed Value	
Fig.3.4.1-1(3/4)	ライナ変位に関する解析値と実験値との対比 (RUN-2, 86°C)	92
Fig.3.4.1-1(2/4)	Distribution of the Liner Plate Displacement (RUN-2, 86°C); Comparison between Calculated Value and Observed Value	
Fig.3.4.1-1(3/4)	ライナ変位に関する解析値と実験値との対比 (RUN-3, 121°C)	93
Fig.3.4.1-1(3/4)	Distribution of the Liner Plate Displacement (RUN-3, 121°C); Comparison between Calculated Value and Observed Value	
Fig.3.4.1-1(4/4)	ライナ変位に関する解析値と実験値との対比 (RUN-4, 530°C)	94
Fig.3.4.1-1(4/4)	Distribution of the Liner Plate Displacement (RUN-4, 530°C); Comparison between Calculated Value and Observed Value	
Fig.4.2.2-1	解析モデル要素分割図と境界条件	95
Fig.4.2.2-1	FEM Mesh and Boundary Conditions of Analysis Model	
Fig.4.2.3-1	解析モデル要素分割図と境界条件	96
Fig.4.2.3-1	FEM Mesh and Boundary Conditions of Analysis Model	

表 リ ス ト
List of Table

Table 2.2.2-1	供試体製作手順	ページ 97
Table 2.2.2-1	Procedure of the Test Rig Construction	
Table 2.2.2-2	ライナ鋼材のミルシート	99
Table 2.2.2-2	Mechanical Properties of Steel Plates for Liner Plate and Embedded Plate	
Table 2.2.2-3	コンクリートの調合、強度	100
Table 2.2.2-3	Composition and Compressive Strength of Concrete	
Table 2.3.3-1	試験条件	101
Table 2.3.3-1	Test Conditions	
Table 3.2.2-1	ライナプレートの材料強度物性値	102
Table 3.2.2-1	Temperature Dependent Member Properties of Liner Plate	
Table 3.2.2-2	ライナプレート材の応力-ひずみ関係	103
Table 3.2.2-2	Stress - Strain Data vs Temperature Relationship Data Used in Structural Analysis of the Liner Plate	
Table 3.3.2-1	解析による等価歪みの最大値	104
Table 3.3.2-1	Maximum Von Mises Effective Strain by Analysis	
Table 3.3.3-1	歪み発生分布より予想される周端部最大等価歪み	105
Table 3.3.3-1	Maximum Von Mises Effective Strain developed at the Edge of the Liner Plate Estimated by Strain Distribution	
Table 4.2.4-1	最大等価ひずみ(埋込金物との取り合い部を有する固定式ライナ)	106
Table 4.2.4-1	Maximum Von Mises Effective Strain (Fixed-Type Liner with Embedment Portion)	
Table 4.2.4-2	最大等価歪み(固定式ライナ)	106
Table 4.2.4-2	Maximum Von Mises Effective Strain (Fixed-Type Liner)	
Table 4.3.2-1	簡易解析と詳細解析の最大等価歪み比較(埋込金物との取り合い部を有する固定式ライナ)	107
Table 4.3.2-1	Maximum Von Mises Effective Strain ; Comparison between the Calculated Value by Simplified Analysis and that by Detailed Analysis (Integrity Test for Embedment Portion of Fixed-Type Liner System)	

Table 4.3.2-2	簡易解析と詳細解析の最大等価歪み比較（固定式ライナ）	107
Table 4.3.2-2	Maximum Von Mises Effective Strain ; Comparison between the Calculated Value by Simplified Analysis and that by Detailed Analysis (Structural Integrity Test of Typical Floor Liner System)	
Table 4.3.2-3	係数 α	108
Table 4.3.2-3	Coefficient α	
Table 4.3.3-1	詳細解析による最大等価歪みと簡易評価法による等価歪みの比較（埋込金物との取り合い部を有する固定式ライナ）	109
Table 4.3.3-1	Comparison between the Maximum Von Mises Effective Strain Calculated by Detailed Analysis and the Von Mises Effective Strain Calculated by Simplified Estimation Method (Integrity Test for Embedment Portion of Fixed-Type Liner System)	
Table 4.3.3-2	詳細解析による最大等価歪みと簡易評価法による等価歪みの比較（固定式ライナ）	109
Table 4.3.3-2	Comparison between the Maximum Von Mises Effective Strain Calculated by Detailed Analysis and the Von Mises Effective Strain Calculated by Simplified Estimation Method (Structural Integrity Test of Typical Floor Liner System)	

写 真 リ ス ト
List of Photograph

Photo. 2.2.2-1	配筋状況	110
Photo. 2.2.2-1	Arrangement of Reinforcing Bar	
Photo. 2.2.2-2	高強度コンクリートの打設	110
Photo. 2.2.2-2	Filling of High Strength Concrete into the Test Rig	
Photo. 2.2.2-3	耐熱コンクリートの打設	111
Photo. 2.2.2-3	Filling of Heat Resisting Concrete into the Test Rig	
Photo. 2.2.2-4	耐熱コンクリートの表面仕上げ	111
Photo. 2.2.2-4	Surface Finishing of Heat Resisting Concrete	
Photo. 2.2.2-5	天板の溶接	112
Photo. 2.2.2-5	Welding for the Top Plate.	
Photo. 2.2.2-6	供試体の試験セルへの吊り込み	112
Photo. 2.2.2-6	Lifting and Bringing the Test Rig into the Experimental Cell	
Photo. 2.2.2-7	ライナ裏面へのゲージの取り付け	113
Photo. 2.2.2-7	Setting of the Gauges to the Lower Surface of the Liner Plate	
Photo. 2.2.2-8	ライナプレート、埋込金物の取り付け	113
Photo. 2.2.2-8	Set up of the Liner Plate and the Embedded Plate	
Photo. 2.2.2-9	溶接部の液体浸透探傷検査	114
Photo. 2.2.2-9	Dye Penetration Test for the Seam Weld Lines of the Liner Plate	
Photo. 2.2.2-10	溶接部の真空箱漏洩検査	114
Photo. 2.2.2-10	Leak Test by Vacuum Box for the Seam Weld Lines of the Liner Plate	
Photo. 2.2.2-11	断熱プラグの据え付け、ナトリウム配管の取り付け	115
Photo. 2.2.2-11	Setting of Insulating Cover and Sodium Piping	
Photo. 2.2.2-12	ナトリウム加熱用ヒータの取り付け	115
Photo. 2.2.2-12	Setting of Heater for Sodium Heating	
Photo. 2.3.3-1	断熱プラグ開放後のライナ表面	116
Photo. 2.3.3-1	Liner Plate Surface after the Insulating Cover Removal	
Photo. 2.4.4-1	ナトリウム除去後のライナ表面	116
Photo. 2.4.4-1	Liner Plate Surface after the Sodium Removal	

Photo. 2.4.4-2 試験後の耐熱コンクリートの表面状況 117
Photo. 2.4.4-2 Heat Resisting Concrete Surface after the Test

Photo. 2.4.4-3 試験後の耐熱コンクリートの表面(クラック部) 117
Photo. 2.4.4-3 Heat Resisting Concrete Surface after the
Test (Cracked Portion)

1. まえがき

高速増殖原型炉“もんじゅ”のナトリウム配管が設置されている部屋に設置予定である固定式ライナと各機器のサポート・台座、配管貫通部等をコンクリートに堅固に固定する埋込金物との取り合い部のナトリウム漏洩事故に対する健全性を実験的に確認するため、埋込金物を含む固定式ライナフレートを作成し、高温ガス雰囲気と高温ナトリウムを使用した構造健全性試験を行なった。

また、試験に引き続いて、供試体に対する詳細な弾塑性構造解析を実施し、その結果をふまえ、簡易解析手法を提案したものである。

2. 構造健全性試験

2.1 概要

本試験は、高速増殖原型炉のナトリウム配管が設置される部屋に設置予定である固定式ラジナヒ・各機器のサポート・台座、配管貫通部等をコンクリートに堅固に固定する埋込金物との取り合ひ部を対象に“もしも”の通常運転時から大量ナトリウム漏洩時までの各状態におけるラジナヒの挙動の把握及びラジナヒ構造健全性を実験的に確認することを目的とするものである。

2.2 供試体

2.2.1 供試体の概要

供試体は埋込金物を模擬した板厚90mmの600mm×600mmの矩形厚板を中心部に有し、その周辺に板厚8mmの2000mm×2000mmのライナプレートを設置したものである。

供試体形状をFig.2.2.1-1に示す。同図に示すように、埋込金物とライナプレートは突合せ溶接により接合されており、埋込金物は固定金物を用い供試体底部コンクリートに貫通固定されている。

ライナプレートの周囲には鋼製Boxの中に高強度コンクリート(設計基準強度 $f_c = 400 \text{kg/cm}^2$)を充填したコンクリート充填Box構造の拘束枠を設置し、ライナプレート周端部に配したアンカボルトをこの拘束枠に貫通固定させることによりライナプレート周端部の固定条件を保証した。

また、拘束枠のコンクリートには 30kg/cm^2 のフレストレス力をPC鋼棒により導入し、その剛性をさらに高めている。

なお、埋込金物を模擬した矩形厚板のサイズ(600mm×600mm)は、実施計画策定期階において、簡単又手計算によりライナプレートの発生歪み量が“ライナ設計基準(案)”に示された許容歪みの値にはほぼ等しくなると推定されるサイズとして採用したものである。

2.2.2 供試体の製作

供試体の製作手順を Table 2.2.2-1 に示す。

使用したラジナ用鋼材のミルシートを Table 2.2.2-2 に、ラジナ裏面に布設した耐熱コンクリート及び構造用コンクリートの調合及び圧縮強度試験結果を Table 2.2.2-3 に示す。

2.2.3 供試体の検査

供試体のラジナについて次の検査を行なった。

(1) ラジナ寸法検査

製作時に Fig. 2.2.3-1 に示す測定装置で各部の寸法測定を行なう。

ラジナの床面、埋込金物部について基準面(点)からの面外たわみ、高低差を測定し、下に示す公差内に製作されていることを確認した。

据付寸法精度

対象部位	基 準
ラジナフレーム	面外たわみ $\pm 6\text{mm}$
埋込金物	高低差 3mm

(2) 溶接部検査

開先部の液体波速探傷検査、最終溶接面の磁粉探傷検査、溶接部の真空箱による漏洩検査を行なう、異常の無いかことを確認した。

2.3 試験方法

2.3.1 試験装置

(1) 試験セル

供試体は、一次収納構造健全性試験装置の試験セル内に設置した。試験セルには万一の試験設備等の破損に対するため、ナトリウム火災時のエアロゾルの放出処理装置と内部雰囲気を N_2 ガス雰囲気にするための N_2 供給設備が設けられており、試験セルの大きさは、床 $6^{\text{m}} \times 6^{\text{m}}$ 、高さ 7.3^{m} で、内部に供試体用の架台が設置されている。天井には、 $4^{\text{m}} \times 4^{\text{m}}$ のハッチが設けられ、供試体の出し入れに使用

される。

また、試験セルにはアクセスできる搬入口（2m高さ×1.5m幅）がある。

(2) ナトリウム系

Fig. 2.3.1-1に試験装置の概略系統図を示す。ナトリウムは、供給タンクの Ar カーボーガスを加圧 333kPa によって、供試体のうナ上に供給される。供試体からのナトリウムドレンは、ドレン系配管を経由して行なわれ、ドレン・ナトリウムは回収タンクへトレンされる。一方、供試体には断熱フラフが設けられ、ナトリウム・エアロゾル露因気を供試体の内部にのみ限定し、また、供試体の内部を除く試験セル内露因気を空氣にすることができる。なお、断熱フラフには、ナトリウム加熱ヒータや温度計、液面計などが取り付けられてる。

Fig. 2.3.1-2に供試体内のナトリウム配管、断熱フラフ及び試験時ナトリウム・レベルの相対位置関係を示す。ナトリウム・レベルはうナ床上約 200mm で、この時のナトリウムの総注入量は 0.8m³である。注入したナトリウムの加熱は電気ヒータ（容量 120kW）を行なわれる。

2.3.2 計測項目及び計測方法

(1) 温度

供試体の温度計測は Fig. 2.3.2-1 に示した様に以下の部分について行なった。

- うナ上のナトリウム温度
- うナ表面、裏面温度
- 埋込金物表面、裏面温度
- コンクリート温度
- 固定金物温度

使用した熱電対は下に示した仕様のものである。

熱電対の主要目

種類	クロメル-アルメルシース熱電対
型式	非接地
シース径	$\phi 1.6 \text{ mm}$ $\phi 2.3 \text{ mm}$ $\phi 3.2 \text{ mm}$
等級	JIS 0.75級

(2) ライナ埋込金物及び固定金物の変位

以下においては、ライナの面に対して鉛直方向に生じる変位を面外変位、又、ライナの面に対して水平方向に生じる変位を面内変位と定義する。

ライナの面外、埋込金物及び固定金物の面内変位は、Fig.2.3.2-2に示した各位置でそれらの計測を行なった。

計測方法は Fig.2.3.2-3 に示す様に、打痕箇所にスランレス製ワイヤの先端を取り付け、他端に荷重を加えてこのワイヤに一定の張力を加え、生じた変位をワイヤ他端の移動距離として歪ゲージ式変位計により読み取るようである。

なお、ワイヤは計測時には昇温せざるため、熱膨脹による変位誤差が生じる。このため、試験時にライナの変位を生じない代表的な箇所にため温度補償用のダミワイヤを設置し、これによつて熱膨脹分を補正できるようにした。

使用した変位計の仕様を下に示す。

変位計主要目

測定範囲	100 mm
メータ	共和電業
型番	DT-100A
測定反力	500 g
ゲージ抵抗	120 Ή
精度(非直線性)	0.5% FS

(3) ラミナフレートの歪み

ラミナフレート上に発生する歪みの絶対値を測定するには困難である。

ここでは、試験中の急激な変形の有無を参考までに把握する目的で、Fig. 2.3.2-4 に示すラミナの表面と裏面に歪みゲージを取り付けて計測を行なった。

歪みゲージは下記の仕様のものを使用した。

歪みゲージの仕様

メーカー	共和電業
型番	KHC-20
ゲージ抵抗	$120\Omega \pm 10\Omega$
ゲージ抵抗素子	Ni-Cr-V
歪み限界	$\pm 3000\mu$
使用温度範囲	-550°C

なお、上に示した歪みゲージは高温用で、自由熱膨脹に対する温度補償を行なうためにタミゲージが組み込まれている。線形膨脹係数の異なる板に使用すると温度の影響が生じる。このため、ライナの残材にバージンゲージを貼り、これでより温度の影響を調べ、この時のデータを基に試験時に得た歪み計測値に温度補正を加えた。

(4) データ集録及び処理

温度、変位、歪みの各データは、それぞれの変換器、增幅器を通じて電気信号に変換し、データ集録、処理装置に入力以後、磁気ディスクに収録した。また実験後は、これをデータと並んで演算処理し 図形および数値出力した。なお、一部のデータは、ペンレコーダ、打点記録計などにも記録した。

データ集録、処理装置のシステム構成を Fig. 2.3.2-5 に示す。

また、使用機器の主要目を以下に示す。

データ集録、処理装置の主要目。

型式	HP-1000システム(横河ヒューレットパッカード)
入力チャンネル数	176点
入カインピーダンス	5MΩ
サンプリング速度	8000コ/秒
入カレベル	±10 ~ 800mV
分解能	10μV
精度	±0.38
データ収録法	磁気ディスク、磁気テープ。

2.3.3 試験条件及び試験方法

(1) 試験条件

実機のうすナの使用条件と設計条件を検討した上で、Table 2.3.3-1 に示す 4 ケースの試験を行なった。この表で、RUN-1 ~ RUN-3 は 3 ホモヘアラント状態 I (通常運転時)、アラント状態 II (零圧調節装置長期停止時)、アラント状態 III (零圧調節装置長期停止時) に対応し、RUN-4 は大量ナトリウム漏洩事故時に対応する。

(2) 試験方法

(a) RUN-1 ~ RUN-3

RUN-1 ~ RUN-3 は連続して行なった試験で、供試体の床うすナの上部に配置した電気ヒータで零圧気室を加熱し、ライナを所定温度にまで順次加熱して行なったものである。ここで、うすナの平均温度は Fig. 2.3.3-1 に示した 8 点の各計測点からの温度データを基に、次式でそれらの加重平均を求めたものである。

$$t_m = \frac{\sum t_i A_i}{\sum A_i}$$

t_m : うすナ平均温度 (°C)

t_i : 計測した点の温度 (°C)

A_i : i 点からうすナ表面積 (cm²)
(Fig. 2.3.3-1 に記載)

Fig. 2.3.3-2 は RUN-1 のラジナ平均温度の推移を、Fig. 2.3.3-3 は RUN-2 及び RUN-3 のラジナ平均温度の推移を示す。

(G) RUN-4

この RUN-4 の計測高温ナトリウムを使用した試験である。

試験では供試体へのナトリウム注入前に、まずラジナ平均温度を実機の通常運転時のラジナ平均温度に相当する約 55°C に保持した。次いで供試体内に窒素ガスを供給し、酸素濃度を 0.1% 以下とした。これに従くナトリウムの注入条件は Table 2.3.3-1 に示した通りで、この表以外の条件は以下の通りである。

- ・注入ナトリウム流量 約 280 l/min (推定)
- ・注入時間 約 4 分

ナトリウム温度はナトリウム注入後、供試体の吸熱のために 530°C から一旦約 285°C まで低下する。そのため供試体に取り付けて電気ヒータ (120 kW) により、2 ナトリウムを加熱し、ラジナの温度保持を行なった。Fig. 2.3.3-4 には 2 時間のラジナ平均温度の推移を示す。ナトリウム注入後約 2 時間 30 分でラジナは目標温度の 530°C に到達し、その後は一定に保持されていることが判る。

Fig. 2.3.3-4 には固定金物部温度 TS-1、コンクリート温度の代表となる TC-10, TC-15 の値が示されているが、ナトリウム注入後徐々に上昇している。試験では床上部の耐熱コンクリートの温度を示す TS-1 が目標値の 250°C に到達した時点（ナトリウム注入後約 24 時間）で電気ヒータを遮断し、降温及びナトリウム回収を行なった。ナトリウム回収後は、ナトリウム注入時点から約 400 時間経過した時点でラジナは、ほぼ室温までに冷却されたため計測を終了した。

(3) ナトリウムの除去と洗浄

試験体の冷却後に、試験体内部をフ禄コープで観察した。この結果、残留ナトリウムの厚さは床面から~10mm、側壁、天井が薄い付着物状である。洗浄にあたっては、まず耐熱ラックを開放する前に、床面の残存ナトリウム表面に流动パラファンを散布し、ナトリウムの潮解を防止し、その後耐熱ラックを開放撤去(Photo 2.3.3-1)、床上のナトリウムを機械力および人力により削り取り、最後は水拭きによってラックの洗浄を完了した。

(4) 試験後の試験体検査

ナトリウムの除去と洗浄後は、ラック表面の目視外観検査、液体浸透探傷検査及び真空箱による発泡検査を行ない、クラックの発生の無いかに確認した。また、各部の残留変位量を計測し、残留変位の下図ファイルを求めた。コンクリートの表面にフリズは、それとの点検を行なうために、ライナをガス切替によせて除去し後の2.4.4項に述べる検査を実施した。

2.4 試験結果

2.4.1 供試体各部の変位

まず RUN-1 で、試験実施中に測定したライナフレート及び埋込金物各部の面外変位、並びに埋込金物及び固定金物の面内変位を Fig. 2.4.1-1 に示す。なお、面外変位については正符号を鉛直上向き、負符号を鉛直下向きとする。この時のライナ平均温度は 66.3°C であったが、面外変位の下向きの最大値は埋込金物に現われ -0.6 mm であり、上向きの最大値はライナフレートと埋込金物に現われ、その値は 0.4 mm である。又、面内変位の最大値は固定金物に現われ 0.6 mm である。同様な測定結果は RUN-2 及び RUN-3 でも得られ、それは Fig. 2.4.1-2 と Fig. 2.4.1-3 に示したが、ライナ平均温度がそれぞれ 86.6°C と 121.5°C と上昇しているため、面外変位量は増加しており、最大変位の現われる場所は ライナフレート となり、RUN-2 では 1.4 mm 、RUN-3 では 7.6 mm の最大面外変位を得た。面内変位については RUN-2 では 固定金物及び埋込金物 でそれぞれ 0.5 mm の最大面内変位を、又、RUN-3 では 固定金物部で 0.6 mm の最大面内変位を得た。次にナトリウム注入試験である RUN-4 について、Fig.

2.4.1-4 にナトリウム注入後の変位の時間変化の一例として、ライナフレート DL-8 部の面外変位を示した。同様なデータは、他の箇所と面内変位についても得られておりが、それらは Appendix の Fig. A-2-1 ~ Fig. A-2-19 に示した。また、Fig. 2.4.1-5 に RUN-4 最高到達温度 (530°C) におけるライナフレート及び埋込金物各部の面外変位、並びに埋込金物及び固定金物の面内変位を、Fig. 2.4.1-6 に RUN-4 試験完了後の残留変位分布を示す。Fig. 2.4.1-5 から、 530°C 時の最大変位は、面外変位についてはライナフレートに現われ 50.5 mm であり、面内変位については埋込金物に現われ 2.8 mm であることが

わかる。なお、 530°C 時点の埋込金物の面外変位は最大 -0.5mm であり、ライナフレートの面外変位に比べ十分小さく、埋込金物は十分な固定度を持っていたと言える。次に Fig. 2.4.1-6 から 17 試験完了後の残留面外変位がドレン孔取り付け部を除く部分では、ライナフレートの隅角部の対角線上のほぼ中央部で大きいことが明らかで、最大 11.6mm の値を示している。

2.4.2 供試体各部の温度分布

本節ではナトリウム載荷試験時の供試体各部の温度分布測定結果について述べる。

(1) ライナ、埋込金物及び固定金物

(a) ライナ平均温度

ライナについては、すでに2.3.3節で示したように、加重平均による温度を算出し、それをライナ平均温度として用いていき。この温度が 530°C に到達したらヒータを自動制御に切替之、 530°C 一定に保つよう保持した。この状態で約24時間経過させた所、満さ 150mm の一般部コンクリート温度が目標としていた 250°C を越えることか確実となった為、ここでヒータを遮断し、ナトリウムの回収を行なった。回収後にはFig. 2.3.3-4に示したごとくのみやかに降下したが、室温に戻るまでには約1週間を要した。

(b) ライナ、埋込金物及び固定金物温度分布

ここではライナ、埋込金物及び固定金物の温度分布について、その主要特徴を述べる。

(c) ナトリウム注入時の温度分布

ナトリウム注入直前はFig. 2.4.2-1に示すごとく、ライナ平均温度を約 55°C に保持していた。この時直で感覚的にみとめられることはライナ周辺部の温度が中心部より低く、周辺部からの熱損失が大きいことを示している点である。ナトリウムを注入すると、Fig. 2.4.2-2のごとく、ライナ中央附近で温度が高く、埋込金物およびライナ周辺部で温度の低い分布となり、これは中央の埋込金物の熱との差は 140°C 位ある。

容量が大きいこととライナ周辺部への熱損失が大きいことを示して
いる。次にナトリウム注入完了時点での温度分布を Fig. 2.4.2-3
に示すが、埋込金物の温度はやや上昇してきたが、それでもライナに比
べると、約 50°C 程度低い。又、固定金物下端温度 TS-1 はナ
トリウム注入時間と約 5 分程度の間ではほとんど変化しない。

(ii) 昇温途上と目標温度到達時の温度分布

昇温途中の温度分布を Fig. 2.4.2-4 に、又、ライナ平均温度が
目標である 530°C 達した後の温度分布代表例を Fig. 2.4.2-5 に示
す。これより、埋込金物の温度はライナとはほぼ同じになってしまったこと
がみとめられる。さうに題名は現れていける特徴として、ライナの隅角部
対角線上の温度がやや高めになり、ということと、ライナ周辺部
熱損失の大きいことがみとめられる。前章の原因としては前節で
述べたように、ライナの面外変形が隅角部の対角線上
で大きいので、ライナとコニクリートとの間に一種のガス断熱層が形
成され不取態にな、ることが考えられる。ライナ周辺部、熱損失
(三つ目) 周囲拘束治具への熱損失に甚くものであり、実験装置固有の損
失である。

又、固定金物下端温度上昇も顕著にみとめられる。

(iii) 降温直前の温度分布

Fig. 2.4.2-6 に示すごとく、
ライナ温度は基本的に (ii) のときと比べてないが、ライナ周辺部
温度はやや高くなる、ときである。こうまでもとく、吸熱源のひとつ
である周囲拘束治具自体の温度が徐々に上昇し出してしまつたのであ
る。この時点で固定金物下端温度は 220°C となる。

(C) ライナ表裏面の温度差

既出の Fig. 2.4.2-1 ~ Fig. 2.4.2-6 の図では ライナ表裏面 温度も併せて示している。これらの図からみとめられる特徴を挙げると次の通りである。

- ナトリウム注入初期はナトリウム側からの大きな熱流束のために温度差が大きくなることがある。
- 埋込金物の方の表裏温度差の方が、ライナのそれよりもかなり大きい。たとえば準定常状態を考えられる Fig. 2.4.2-5 では、埋込金物の場合で表裏温度差が 20°C 程度であるのに対し、ライナでは $2 \sim 5^{\circ}\text{C}$ 程度である。

(2) コンクリート

(a) 断面温度分布

既出の Fig. 2.4.2-1 ~ Fig. 2.4.2-6 の図の下部に コンクリートの断面温度分布を模式的に示した。これらよりみとめられる主な特徴を以下に説明する。

- 固定金物近傍のコンクリート温度は他の一般部分と比べてや高いこととみとめられる。固定金物から熱流入が大きいことを示している。
- もともと高い温度近くまで降溫前では、 50 mm 深さのコンクリートで約 400°C 、 150 mm 深さのコンクリートで約 250°C の温度まで上昇した。既に述べたように今回の実験では耐熱コンクリートを用いている。

(b) コンクリート 温度の時間変化

Fig. 2.4.2-7 および Fig. 2.4.2-8 に代表的の温度時間変化を示す。これらから判ることは次の通りである。

- (i) 深さ 50mm のコンクリートは最高 400°C まで上昇し、ナトリウムドレン後は比較的速やかに降溫していき、深さ 150mm のコンクリート温度はナトリウムドレン後も昇温が継続し、最終的には約 250°C まで上昇している。
- (ii) 固定金物下端温度 TS-1 は前に述べたようにナトリウムドレン時まで温度上昇をつづけ、最終的には約 220°C まで上昇している。固定金物上端温度は 530°C である。²² 下端まで約 425mm の間に約 310°C の温度降下が準定常的に存在していることを示している。固定金物周囲のコンクリートの吸熱作用がかなり大きいことを示している。

2.4.3 ライナフレートの歪み

参考計測用として使用したライナフレートの歪みゲージのRUN-1～RUN-4における計測結果をFig.2.4.3-1～Fig.2.4.3-4に示したが、最大歪みはRUN-4時に生じ、隅角部の対角線方向のライナフレート裏面の歪みゲージが $2230 \mu\text{strain}$ の値を示している。又、RUN-4におけるライナフレートの歪み挙動をAppendixのFig.A-2-20～Fig.A-2-28にそのデータを集録したが、ナトリウム注入初期時まで、SL-7, SL-8はそれぞれ $3000 \mu\text{strain}$ と $-3000 \mu\text{strain}$ の歪みを記録している。

2.4.4 試験後の供試体の検査結果

(1) ラミナの剥離の有無の検査

ラミナの剥離の有無を調べるため、以下の検査を Fig. 2.4.4-1 に示す検査箇所に対して行った。

(a) 外観検査

ラミナの外観検査項目は次の通りである。

- ・板および溶接部の剥離の有無
- ・板および溶接部の異常な変形の有無
- ・ナトリウム液体境界部の顕著な腐食跡の有無

(b) 液体浸透探傷検査

コート部やラミナ板の溶接部について、上記の外観検査後、次に示す浸透液、現像液を使用して液体浸透探傷検査を行なった。

- ・浸透液； SUPER CHECK UP-T
- ・現像液； SUPER CHECK UD-T

(c) 真空箱による発泡検査

液体浸透探傷検査のあと、溶接部とその周辺について、真空箱による発泡検査を行ない、漏水の有無を調べた。

Photo 2.4.4-1 にラミナ表面状態を示したが、上記の 3 つの検査においてもラミナおよびラミナ溶接部には剥離は認められなかつた。

(2) 耐熱コンクリートの外観

耐熱コンクリート表面の目視観察を行なった。表面に微細なクラックが縦横に入っていた。

Fig. 2.4.4-2 にクラックの概略スケッチを示す。photo 2.4.4-2 ~ 2.4.4-3 にコンクリート表面写真を示す。

2.5 考 察

2.5.1 ライナフレートの変位

Fig. 2.4.1-2 ~ Fig. 2.4.1-3 に示した RUN-2 ~ RUN-3 におけるライナフレートの面外変位分布を見ると、RUN-3 の場合特に顕著であるが、隅角部の対角線上の変位が下向きとなるモードを示している。これに単純座屈解析を実施し、この様な変位モードが座屈モードとして存在するか否かを検討した。その結果を Fig. 2.5.1-1 に示すが、同 Fig. に示す如く座屈モードとしてこの様な変位モードは得られなかった。従って、今回 RUN-3 時に得られた様な隅角部の対角線上の変位が下向きとなる面外変位モードは、初期不整、残留応力、あるいは温度分布の不均一性に影響されて発生したものと推定される。Fig. 2.4.1-4 並びに Appendix の Fig. A-2-3 ~ Fig. A-2-5, Fig. A-2-7 ~ Fig. A-2-8 及び Fig. A-2-11 ~ Fig. A-2-15 に示す RUN-4 におけるナトリウム注入後のライナフレートの面外変位時間変化を見ると、ナトリウムの注入初期時においては、一部の計測点にライナフレート上の温度の不均一性に帰因する変位々相の逆転が認められるものの、その後は各計測点の変位とも時間の推移とともに僅び移り座屈的な現象の発生なくスムーズに増加する傾向を示しており、温度の上昇に伴ない曲げ屈服していく様子が認められる。また、RUN-2 ~ RUN-3 で認められた隅角部の対角線上の下向き変位は RUN-4 時には認められず、ナトリウムの載荷初期から鉛直上向きに向けて変位している。

そして、最高温度到達時(530°C)においては、Fig. 2.4.1-5 に示す如く、ライナフレートは基本的にはライナフレートの内外周を結ぶスパン中央で最大値をとる様な山モードを示している。このモードは、Fig. 2.5.1-1 に示した座屈解析結果と同様のモードとなってい

2.5.2 供試体各部の温度

2.4.2節において、供試体各部の温度分布測定結果について述べた。この結果に因し、若干の検討を行なう。

(1) ライナ、埋込金物及び固定金物

(a) ライナ平均温度

前回「一次构筑構造ライナコーン部健全性総合試験」⁽¹⁾のときとヒータ容量や操作手順はほぼ同一であり、異なるのは次の点である。

- (I) 前回はライナ裏面に10-ライトコンクリートを用いていたのに対し、今回は10-ライトコンクリートを用いてない。その代りに耐熱コンクリートを用いている。耐熱コンクリートは普通コンクリートより熱伝導率と言われており、断熱性はさほど良くない。
- (II) 前回は周囲二面に拘束治具を設置していたのに対し、今回は周囲四面共拘束治具を設置しており、供試体の鋼材熱容量としては、今回のものの方が大きい。

Fig. 2.5.2-1 はライナ平均温度の経時変化を Fig. 2.4.2 と今回データを比較して示す。この比較より次のことが判る。

- (i) ナトリウム注入完了直後の温度は前回が360°C程度、今回が300°C程度であり、熱容量の差異から差えて(左は予想通り)の結果となる。
- (ii) ライナ平均温度が目標温度に到達するまでに、前回試験では約24°C/hであるのにに対し、今回試験では約75°C/hであり、およそ3倍の昇温速度となつた。上記(I), (II)のことからは今回の方が昇温速度は小さくなることを予測していたが、実際には逆の結果となつた。この原因としては次の二点が推察される。

- 今回試験のライナではかなり大きな面外変形が生じてあり、ナトリウム注入時で最大50mm程度のエアギャップが生じている。これが大きな熱抵抗になり、実質的に断熱コンクリートを通りぬく同等もしくはそれ以上の効率を示したものとなる。固めにIPライトコンクリートの熱伝導率を0.2 kcal/m²h°C、厚さを50mmとしたとき、相当熱通過率 α_p は次のようになる。

$$\alpha_p = \frac{0.2}{0.05} = 4 \text{ (kcal/m²h°C)} \quad (2.5.2-1)$$

一方、IPギャップを10mmとしたとき、二倍の相当熱通過率 α_a は次のようになる。但し空気の熱伝導率は0.04 kcal/m²h°Cとす。

$$\alpha_a = \frac{0.04}{0.01} = 4 \text{ (kcal/m²h°C)} \quad (2.5.2-2)$$

上記の単純な比較からも判るように、今回のIPギャップは前回のIPライトコンクリート並の断熱性に比して大幅に劣る。もちろんIPギャップの端面でもあり、せまい所もあるので差にはならない。

- もうひとつ考へるべき効率とは、前回データ横断面も述べたように、前回試験ではセラミックタイルやIPライトコンクリートの吸水が予想以上に多く、ライナが加熱されたときに水分蒸発、放出されたための潜熱分が大きめ、ここで考慮される。

(F) 固定金物温度

固定金物下端温度T₈₋₁は思ったほどの位く、固定金物周囲コンクリートの吸熱作用がかなり大きいものであることが実験的に示されだが、このことはつきり定量的な検討を行なう。

固定金物を一種の放熱フィンと見て、モデル化を行なう。また、物体の加熱面も0°Cよりステップ状のθ₀°Cまで加熱したときの

物体内部の温度を積分法による近似解で求めるに次づけよう。

$$\theta = \theta_0 \left[-\left(\frac{x}{\sqrt{12at}} \right)^2 + 2 \left(\frac{x}{\sqrt{12at}} \right) \right] \quad \dots \quad (2.5.2-3)$$

ここで θ : 物体内部温度 ($^{\circ}\text{C}$)

x : 加熱面からの距離 (m)

t : 時間 (h)

a : 物体の温度伝導率 (m^2/h)

次にモルタル外面への熱伝達率を算定するため上式より次の計算を求める。

$$\alpha = \lambda \left(\frac{\partial \theta}{\partial x} \right)_{x=0} / \theta_0 = \frac{2\lambda}{\sqrt{12at}} \quad \dots \quad (2.5.2-4)$$

ここで λ : 物体の熱伝導率 ($\text{kcal/m}\cdot\text{h}\cdot\text{°C}$)

耐熱コンクリートの λ , a と t の値を用いる。

$$\begin{cases} \lambda = 2 \quad (\text{kcal}/\text{m}\cdot\text{h}\cdot\text{°C}) \\ a = 4.35 \times 10^{-3} \quad (\text{m}^2/\text{h}) \end{cases} \quad \dots \quad (2.5.2-5)$$

上式をみ2结合起来相当熱伝導率 α は 時間 t によらず一定であるが、
伝達から分るようには $t = 1\text{h}$, 70°C 加熱した場合の式であるので t を余
り大きくすると不合理である。 $t = 2^{\circ} - 3^{\circ} \text{ h}$ と $t = 1\text{h}$ とを比較してみると

$$\alpha = \frac{2\lambda}{\sqrt{12at}} = \frac{2 \times 2}{\sqrt{12 \times 4.35 \times 10^{-3} \times 1}} = 17.5 \quad \dots \quad (2.5.2-6)$$

固定金物の伝導面積を A_A , 単位長あたりの放熱面積を A_f
とするとき次のようになる。すなはち A_f には

$$\begin{cases} A_A = 7.85 \times 10^{-3} \quad (\text{m}^2) \\ A_f = 0.77 \quad (\text{m}^2/\text{m}) \end{cases} \quad \dots \quad (2.5.2-7)$$

次に m を定義する。

$$m = \sqrt{\frac{A_f \cdot \alpha}{\lambda_s \cdot A_h}} \quad \dots \dots \dots \quad (2.5.2-8)$$

ここで λ_s : 固定金物の熱伝導率 ($= 36 \text{ kcal/mhc}$)

m は次のようになし計算される。

$$m = \sqrt{\frac{0.77 \times 17.5}{36 \times 1.85 \times 10^{-3}}} = 6.9 \quad \dots \dots \dots \quad (2.5.2-9)$$

7インチ単位では固定金物の高さを H ($= 0.425 \text{ m}$) とすると次のようになし算される。

$$\phi = \frac{\tanh(mH)}{mH} = \frac{\tanh(6.9 \times 0.425)}{6.9 \times 0.425} = 0.34 \dots \dots \quad (2.5.2-10)$$

これより7インチ単位では (1) カテゴリの2つ(1つ)が半減。固定金物下端温度は下式で近似化される。

$$\begin{aligned} \theta_D &= \frac{\theta_0 - \theta_I}{\theta_W - \theta_I} = \frac{1}{\cosh(mH)} = \frac{1}{\cosh(6.9 \times 0.425)} \\ &= 0.1 \quad \dots \dots \quad (2.5.2-11) \end{aligned}$$

ここで θ_W : 固定金物上端温度 ($^{\circ}\text{C}$)

θ_I : コンクリートの初期温度 ($^{\circ}\text{C}$)

例として $\theta_W = 38.0^{\circ}\text{C}$ $\theta_I = 10^{\circ}\text{C}$ となる θ_D は 2.9

である。

$$\theta_D = 47^{\circ}\text{C} \quad \dots \dots \dots \quad (2.5.2-12)$$

塗装後の1時間後の $T-t$ は θ_D と 33°C とみなされ、
上記計算の仮定が大幅的に失つたことを勘案すれば、固定金物
周囲32.91-Lの吸湿作用による温度上昇も考慮すべきであることを述べる。

(2) コンクリート

前回で示したようにライナ温度は210℃は、前回の「一次収納構造ライナコーナ部健全性総合試験」の実験結果とあまりに差異がある。コンクリートについても比較を行なうが一般部コンクリートに近づけ、すなわち固定金物から離れた部分を対象として、前回データと比較する。

比較図を Fig. 2.5.2-2 に示す。図より次のことを加言える。

(i) 測定箇所においてはやはり前回実験データの方がコンクリート温度が常に高い。コンクリート温度がかなりの期間 100°C 一定値に保たれており前回データではやはり含水率の変化過程が大きく影響していること加言える。

(ii) 初期の含水率変化過程が存在する期間では前回と今回の昇温速度は大きく異なるが、それ以降は昇温速度に大きな差異はない。
検討すれば、^{測定壁には}加熱面のライナから受ける热量には大きな差異がないことを示しており、P-L型コンクリート並みのエキサ、アスファルト等の差異を窺わせている。

次に一般部において、ライナ平均温度実測値をインパット境界条件として、コンクリート深さ方向の温度分布を一次元計算により求めた結果と実測データとの比較を Fig. 2.5.2-3 に示す。これより次のことが言える。

(iii) ライナ温度を同一としても、コンクリート内部温度は計算値の方が実測値よりもかなり高くなる。前述のようにライナ裏面のエキサ、アスファルト等の計算では考慮されていない点と言えられる。

2.5.3 ライナフロートの歪み

Fig. 2.4.3-1 ~ Fig. 2.4.3-4 に示した各 RUN 実施時におけるライナフロートの歪み分布を見ると、RUN-1 (66.3°C) 及び RUN-2 (86.6°C) ではライナフロートには圧縮膜ひずみの卓越している様子が認められるが、RUN-3 (121.5°C) 及び RUN-4 (130°C) では曲げ歪みが卓越する様になり、ライナフロートが曲げ変形している様子が窺える。又、Appendix の Fig. A-2-20 ~ Fig. A-2-28 に示した RUN-4 における歪の経時変化を見ると、温度の上昇に伴りライナフロートの曲率が変化している様子が認められ、又、これらのデータからは、ライナフロートの急激な偏り移り座屈的現象は見られていない。

3. 照合解析

3.1 概要

本章では、2章に述べた“もんじゅ”の供試体の通常運転状態から大量ナトリウム漏洩時までの各状態における弾塑性大変形解析を行ない、そこで得た結果と試験結果との比較を通じ解析手法を検証し、もって、ライナフロートに発生する歪み量を推定した。

3.2 弾塑性大変形解析

3.2.1 解析の概要

本節では、2章で述べた供試体のライナ部を対象に、試験で得た室温からRUN-4の最高温度状態を経て再び常温に降温するまでの温度荷重及び埋込金物の水平自由熱膨張量のそれなどを入力値とする弾塑性大変形解析を実施した。

3.2.2 解析方法及び解析条件

(1) 使用解析プログラム及び使用解析要素

(a) 使用解析プログラム

本研究に先立ち、STAGSコードを用いて「一次収納基本構造確認試験」で対象とした固定式ライナに対し弾塑性大変形解析を実施したが、昇温途時ににおいて解析不能となったため、今回

の解析では上記「一次収納基本構造確認試験」で検証済みの大型汎用プログラム MARC コードを使用した。今後、「一次収納構造ライナコーナ部健全性総合試験」で対象としたコーナライナ部の様な曲げひずみが卓越する様な構造に対しては STAGS コードを、又、今回の試験で対象としている固定式ライナの様に腹歪みが支配的な構造に対しては、MARC コードを使用するという様な使い分けが必要であると思われる。

(b) 使用解析要素

使用解析要素は、三次元矩形平板要素(応力解析要素50)とした。

(2) 解析モデル

解析対象は、2章で述べた供試体のライナ部とした。なお、ライナ各部には予めライナの鉛直方向最大変位が供試体板厚の20分の1($= 8\text{mm}/20 = 0.4\text{mm}$)となる一様圧力載荷モード相当の初期変位を与えた。

境界条件として、ライナ部内外周を完全拘束した。但し、ライナ部内周には、埋込金物の効果として(4)に述べる法則変位を与えた。

Fig 3.2.2-1 に 解析モデルの要素分割を示す。同図に示す通り。

解析は、対称性を利用して、1/4 モデルで行なう。たゞ、なお、解析モデルの総節点数は、112、総要素数は、91である。

(3) 材料強度物性値

ライナ材(SM 41B)の材料強度物性値は、「一次収納基本構造確認試験・鋼材料の強度及び熱特性試験」成績報告書〔PNC SJ222 82-03(02)〕に基づき、以下の通り定めた。

ヤング率

Table 3.2.2-1, Fig 3.2.2-2

第1比例限応力値

Table 3.2.2-1

応力-歪み関係

Table 3.2.2-2, Fig 3.2.2-3

ボアソン比

$\nu = 0.3$

線膨張係数

Table 3.2.2-1, Fig 3.2.2-2

(4) 荷重条件

(i) 温度荷重

2章に述べた供試体の試験開始前の室温(13°C)を初期状態として設定し、試験実施時に得られた最高温度(530°C)正經て降温完了時の温度(14.7°C)に至るまでの過程を解析した。

なお、この解析での各温度増分過程におけるライナの温度分布は一様として取り扱った。

(ii) 強制変位

埋込金物の効果として、ライナ部内周に埋込金物の自由熱膨脹量に相当する強制変位を Fig 3.2.2-1 に示す通り水平乙方向に与えた。

なお、自由熱膨脹量は、下式により計算した。

$$\Delta\delta = L \cdot \alpha \cdot \Delta T$$

ここで $\Delta\delta$ … 自由熱膨脹量

L … 埋込金物の長さ (300mm)

α … 線膨張係数 (Fig 3.2.2-2 に示す温度依存性考慮)

ΔT … 温度荷重増分

3.3 解析結果

3.3.1 変位

Fig.3.3.1-1 ($1/3 \sim 3/3$) に、2章で述べた Run 1 ~ Run 4 の各評価温度及び降温完了時に對するラジナ部の鉛直方向変位を示す。

同図より、ライナは、温度上昇に伴ない、基本的にライナ内外周を結ぶスパン中央で最大値を与える「山モード」を保持しながら鉛直上向きにはみ出して行くが、高温域になると隅角部近傍では、鉛直下向きの変位の発生が認められる。

最大鉛直変位は、隅角部を結ぶ対角線上のスパン中央で生じ、その値は、各評価温度 $66^\circ, 86^\circ, 121^\circ$ 及び 530°C でそれぞれ $14.2\text{mm}, 17.9\text{mm}, 23.2\text{mm}$ 及び 55.8mm 、降温完了時 $14.7^\circ\text{C} \sim 10.7\text{mm} \sim 83$ 。

次に、Fig.3.3.1-2 に 最大変位点の変位挙動を示す。同図より、変位は、 28°C 付近でラジナの曲げ降伏開始に伴ない急増するが、徐々に膜剛性の効果により増加率が減少する現象が窺われる。

3.3.2 等価歪み

Fig.3.3.2-1 ($1/3 \sim 3/3$), Fig.3.3.2-2 ($1/3 \sim 3/3$) 及び Fig.3.3.2-3 ($1/3 \sim 3/3$) に、各評価温度及び降温完了時に對するラジナ各部の要素重心位置における等価膜歪み 及び 等価(膜+曲げ)歪みの分布状況を示す。

Table 3.3.2-1 に各評価温度 及び 降温完了時にかけた等価歪みの最大値の発生要素 及び その値を示す。

Fig.3.3.2-1 ~ Fig.3.3.2-3 及び Table 3.3.2-1 より ラジナの等価歪みは、温度上昇に伴ない、膜及び(膜+曲げ)成分と共に増加し RUN 4 (530°C) 時点で最大値に達する。

等価膜歪みに $\sim 11.2\%$ 、RUN 1 (66°C) 及び RUN 2 (86°C) では全要素ではほぼ一律と見做せる分布を示すが、RUN 3 (121°C) 及び RUN 4 (530°C) では 内外周を結ぶスパン中央 及び 隅角部近傍で

他の部分に比べて多くなる傾向を示す。各評価温度毎の等価歪みの最大値は、それぞれ 909μ , 1341μ , 3235μ 及び 17716μ である。

等価(膜+曲げ)歪みについては、板表面では基本的に変形に対する拘束度の高い外周端で高い値を示し、板裏面では基本的に内外周を結ぶスパン中央で高い値を示す。各評価温度毎の等価(膜+曲げ)歪みの最大値は、それぞれ、 2520μ , 3720μ , 5870μ 及び 23980μ である。

なお、Fig.3.3.2-1～Fig.3.3.2-3 に示すごとく、埋込金物とライナプレートとの接合部には、特に歪み集中の発生は認められていない。

3.3.3 ライナプレート端部に発生する等価歪み

各評価温度における要素重心点の等価歪み最大値の発生要素及びその絶対値は Table 3.3.2-1 に示しておいたが Fig.3.3.2-1～Fig.3.3.2-3 に示す等価歪みの分布状況からしてライナプレートの最外周端部に最大等価歪みの発生が予測される場合について外挿によりその概略値を求める Table 3.3.3-1 の通りである。

同表においては、各プラント状態の発生歪み量を“ライナ設計基準(案)”に示された許容歪み値と比較しているが、プラント状態Ⅱの板表面で“わずか”ではあるが、許容値を越えた歪みの発生が認められる。

3.4 試験結果と照合解析結果との比較

3.4.1 変位

Fig.3.4.1-1 (1/4~4/4) にラジナの鉛直方向変位に関する解析値と実験値の比較を示す。

同図に示す通り、RUN1 (66°C), RUN2 (86°C) 及び RUN3 (121°C)においては、試験結果は解析結果に比し極端に小さく極性の異なる点も見受けられる。これは、計測値において 2 章で述べたように加熱中加熱ではラジナ温度が一様にならない（計測範囲内で RUN1 では 44.6~76.7°C, 平均 66°C, RUN2 では 57.6~97.5°C, 平均 86°C, RUN3 では 79.4~141.8°C, 平均 121°C）ため、初期不整であることは残留応力の影響を大きく受けているためである。

これに対し、NA 戻荷である RUN4 (530°C)においては、試験結果と解析結果とは、定性的にも定量的にも高い一致を示す。今回の解析が充份な精度を有するこことがわかる。

3.4.2 垂れ

2 章で述べた様に、今回の試験にて参考計測として実施したラジナフレート各点における垂れ測定では得られたデータも少なく、計測値よりラジナフレートに発生している垂れの絶対量を直接評価することは困難である。

そこで今回は変位分布によりラジナフレートに発生する垂れ量を評価することとした。3.4.1 で述べたラジナフレートの変位に関する解析結果と測定結果の整合度から考え、今回の解析による垂れ量は、試験時における垂れ量を安全側もしくは正当に評価しているものと考えられる。

4. 簡易評価手法の検討

4.1 概要

本章では、"もんじゅ"の供試体の通常運転状態から事故状態までの各状態におけるラジナフレートの等価ひずみを簡易的に算出するための"スリットモデル"を用いた弾塑性大変形解析を実施した。統合して二の計算結果と既存のラジナフレートの詳細解析結果との対比を通して、"スリットモデル"による解析の精度を検討し、この検討結果に基づいて簡易評価手法を提案した。

4.2 スリットモデルによる簡易解析

4.2.1 解析の概要

ラジナフレートの簡易解析として、ラジナスパン短辺を結ぶ単位幅のスリットモデルの弾塑性大変形解析を行った。

解析は、今回の「埋込金物との取り合い部を有する固定式ラジナ」及び「一次収納基本構造確認試験」⁽³⁾で取り扱い、「固定式ラジナ」について、それと同様の詳細解析と同様の条件下で実施した。

4.2.2 埋込金物との取り合い部を有する固定式ラジナ

(1) 使用解析プログラム及び使用解析要素

3章と同様、解析プログラムは "MARC" を、解析要素は三次元矩形平板要素(応力解析要素 50)を使用した。

(2) 解析モデル

解析対象として、2章で述べた供試体のライナ部のライナスパン短辺を結ぶ単位幅のライナを取り出した。また、ライナの各部には、そのライナの鉛直方向最大変位が供試体板厚の 20 分の 1 となる様圧力載荷モード相当の初期変位を与えた。

Fig. 4.2.2-1 に解析モデルの要素分割を示す。同図に示す通り、モデルの節点数は 12、要素数は 5 である。境界条件としては、ライナ端部を完全拘束とし、切り出し辺 2 辺を含む残り 3 辺には対称条件を与えた。なお、ライナ端部には、埋込金物の効果として、(4)に述べる強制変位を与えた。

* 先に実施した $1m \times 1m$, $1m \times 2.5m$, $1m \times 3m$, $1m \times 4m$ の各ライナの解析によると、最大等価歪みは長辺の長さに依らずほぼ一定であることより、短辺の長さに依存するものと言えられる。

(3) 試料強度特性値

ラジナ材(SM41B)の試料強度特性は、3章と同様、文献(2)に基づき定めた。(3.2.2 (3) 参照)

(4) 荷重条件

(1) 温度荷重

2章に述べた供試体の試験開始前の室温(13°C)と初期状態として設定し、試験実施時に得られた最高温度(530°C)に至るまでの過程を解析した。

なお、この解析での各温度場分過程における温度分布は一様化せず取扱った。

(II) 強制変位

強制変位の効果として、ライナ部内周に埋込食料の自由膨脹量に相当する強制変位を Fig. 4.2.2-1 に示す通りラジナスパンオカに与えた。

4.2.3 固定式ラジナ

(1) 使用解析プログラム及び使用解析要素

3章及び文献(3)と同様、解析プログラムは“MARC”を、解析要素は、三次元矩形平板要素(応力解剖要素 50)を使用した。

(2) 解析モデル

解析対象として、文献(3)で述べた $1^{\text{m}} \times 3^{\text{m}}$ ラジナ供試体のラジナスパン端面を含む単純端のラジナ工転りとした。一方、ラジナ各部には、ナリラジナの給直方向最大変位が供試体板厚の 20 分の 1 となる一様圧力載荷を一ト相当の初期変位を与えた。

Fig. 4.2.3-1 に解析モデルの要素分割を示す。同図に示す通り、モデルの総節点数は 12、要素数は 5 である。境界条件としては、

ラジナ端部を完全拘束なし、切り出し辺2辺を含む辺3辺に拘束条件を与えた。

(3) 材料強度特性値

ラジナ材(SM41B)の材料強度特性は、3章及び文献(3)と同様、文献(2)に基づいて定めた。(3.2.2(3)参照)

(4) 所要条件

文献(3)に基づいた試験体の試験開始前の室温(21°C)と初期状態として設定(試験実施時から3ホム最高温度(530°C)まで全3ラジナ過程を解析した)。

なお、この解析での各温度値の過程におけるラジナの温度分布は一様で12段取り扱った。

4.2.4 簡易解析結果

4.2.2 及び4.2.3に述べた簡易解析の結果として、「埋込金物との取り合ひ部」有る3固定式ラジナ」と「固定式ラジナ」の最大等価歪 ϵ を各評価温度毎にTable 4.2.4-1, 4.2.4-2 に示す。
なお、同表の等価歪 ϵ は、零强度の値から推定した最大値を表す。

4.3 簡易評価手法

4.3.1 概要

本節では、4.2.4で述べた簡易解析結果と3章及び文献(3)の詳細解析結果との対比を通じ、簡易解析の精度を検討し、その結果に基づく簡易評価手法を提案した。

4.3.2 簡易解析結果と詳細解析結果との対比

「埋込金物との取り合ひ部」有る3固定式ラジナ」と「固定式ラジナ」の等価歪 ϵ について、各評価温度毎の簡易解析結果と詳細解析結果との比較をTable 4.3.2-1, 4.3.2-2 に示す。

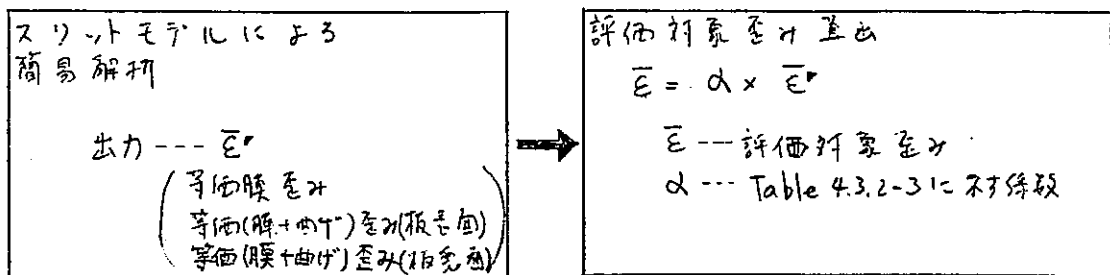
同表より、簡易解析値の詳細解析値に対する誤差は、膜外側では20~60%, 被覆面の(膜+曲げ)成分では、30%~130%, 被覆面の

(膜+曲げ)成分では、0~30%程度しか含まれず、これらが誤差は、スリットモデルによる等価歪みには、ラジナ形状の不連続による歪み集中あるいはせん断歪みが含まれているものに対し、詳細解析では隅角部などに歪み集中あるいはせん断歪みが発生するためであり、事实上、上記の歪み集中をいかで大きくなるアラート状態における腰成分が下板表面の(膜+曲げ)成分に大きな誤差が認められる。

Table 4.3.2-1 および 4.3.2-2 より、詳細解析における等価ひずみと合致させるために簡易解析値に乘すべき係数を各等価歪み成分、各アラート状態毎にまとめると Table 4.3.2-3 の通りとなる。

4.3.3 簡易評価手法

ラジナフレームの簡易評価手法として、下記の手法を提案する。



上記の簡易評価手法の適用例として、「埋込金物との取り合い部」にある固定式ラジナ」と「固定式ラジナ」について、詳細解析と上記係数にて同じく簡易評価の対比を示すと Table 4.3.3-1, 4.3.3-2 に示す通りである。アラート状態では、I-II は 1~39%, II-II は 4~12%, III-II は 4~61%, IV-II は 6~50%、方程式も完全同一の値を示す。

一方、今回の「埋込金物との取り合い部」にある固定式ラジナ」における詳細解析と簡易解析との計算時間の比は 1 : 0.052 となり、大幅な短縮となつた。

5. 評価及びまとめ

高速増殖原型炉“もんじゅ”的ナトリウム配管が設置される部屋に設置予定である固定式ライナと各機器のサポート・台座、配管貫通部等をコンクリートに堅固に固定する埋込金物との取り合い部を対象として、板厚90mmの600mm×600mm矩形埋込金物を中心にはす32000mm×2000mmの固定式ライナの実物大作試体を作成した。

なお、埋込金物のサイズ(600mm×600mm)は実施計画策定期階において、簡単な予計算によりライナプレートの発生歪み量が“ライナ設計基準(案)”に示された許容歪みの値にはば等しくなると推定されるサイズとして採用したものである。

次に上記供試体を高温ガス雰囲気にさらすことともに、その中に高温溶融ナトリウムを注入し、これらによって熱荷重を加え、実機プラントの使用状態から大量ナトリウム漏洩時に至るまでの熱履歴をえた。

これらの結果、試験実施中、特にライナの機能を損うよう破壊は認められず、かつ、試験終了後に実施したライナプレート及び溶接部に対する各種非破壊検査の結果からも異常のないことが判明した。

試験に引き続き、ライナプレートに発生した歪み量を求めるために試験に対応した条件のもとで、埋込金物の効果を考慮したライナプレートの詳細弾塑性構造解析を既検証済みコード「MARC」により実施した。この詳細弾塑性構造解析結果の変位モードは試験結果と良好な一致を示した。詳細弾塑性構造解析によるライナプレートの最大発生歪みは、RUN-1, RUN-3, RUN-4においては“ライナ設計基準(案)”の許容歪み以内であるが、RUN-2(プラント状態Ⅱ; 雰囲気調整装置短期停止時)においてライナプレート表面の(膜+曲げ)歪みが許容歪み4000μをわずかに上回っている。これは前述のごとく、ライナプレートの発生歪み量が許容歪みにはば等しくなるよう埋込金物の

サイズを決定したためである。なお、歪み分布をみると、ライナーフレートと埋込金物との取り合い部には局所的な歪み集中はおこっている。

続いて、上記詳細弾塑性構造解析結果の検討に基づき、埋込金物の効果を考慮したライナーフレートの簡易解析手法を提案した。この簡易解析手法によれば、計算時間は詳細解析の20分の1となる。

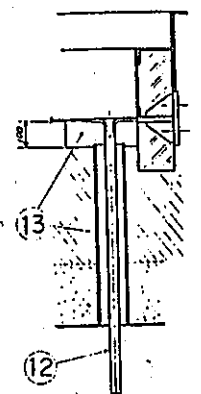
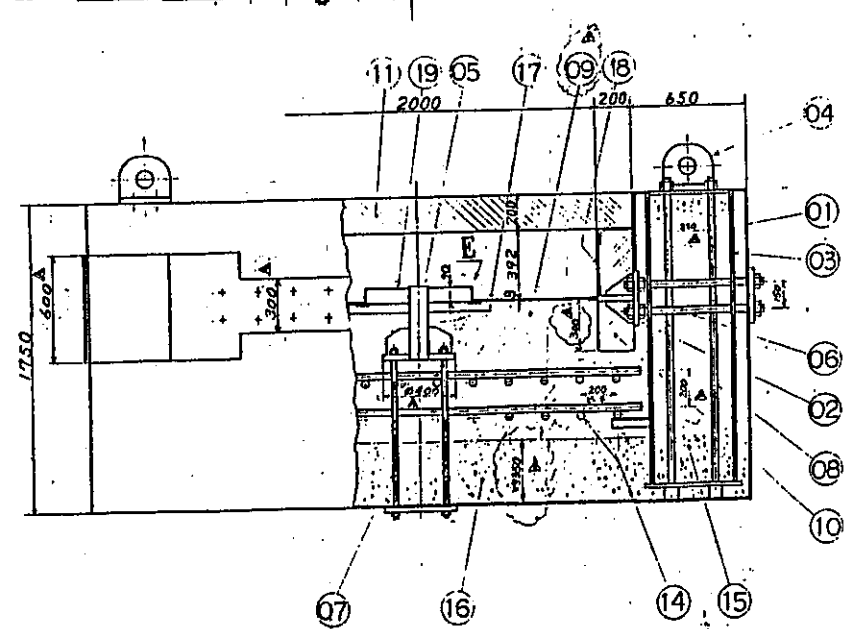
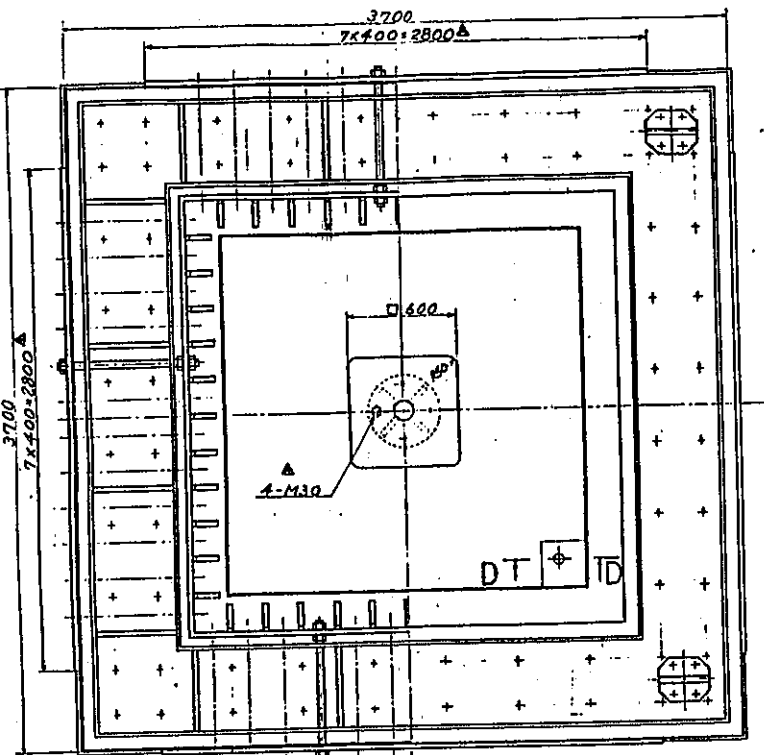
6. 謝 辞

この試験研究の実施にあたっては、動力炉・核燃料開発事業団の
関係各位に多大の御教示、御指導をいただきました。

ここに記して感謝いたします。

参考文献

- (1) 清水, 他 ; 「一次収納構造ライナコ一ナ部健全性総合試験」
, PNC SJ 222 83-11 (1983)
- (2) 清川, 他 ; 「一次収納基本構造確認試験・鋼材料の強度及び
熱特性試験」, PNC SJ 222
83-03 (02) (1982)
- (3) 清川, 他 ; 「一次収納基本構造確認試験・床ライナ基本構造
解析検証試験及び照合解析」, PNC SJ 222
83-03 (01) (1982)



Section D-D

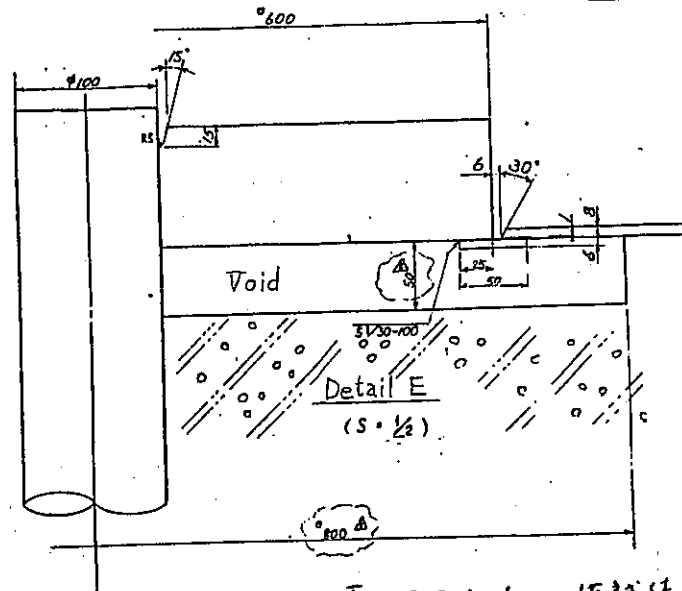


Fig. 2.2.1-1 作試件
Fig. 2.2.1-1 Test Rig

第三実験用	
1. 動力炉	動力炉
2. 機械構造部	機械構造部
3. 電気部	電気部
4. 組合せ試験部	組合せ試験部
5. 試験部	試験部
6. その他	その他

73-16532

ISO M 45
△ 13.30 C 0.044%
△ 58.6.21 9.8
△ 44.5コンクリートの使用 ハーフモルト
△ 27.1.16 2.34%
△ 36.7.16 1.0
△ HPP用スチール棒 34.11%
△ 各部材K-N=21.83%
△ 各部材K-N=21.83%

73-16532

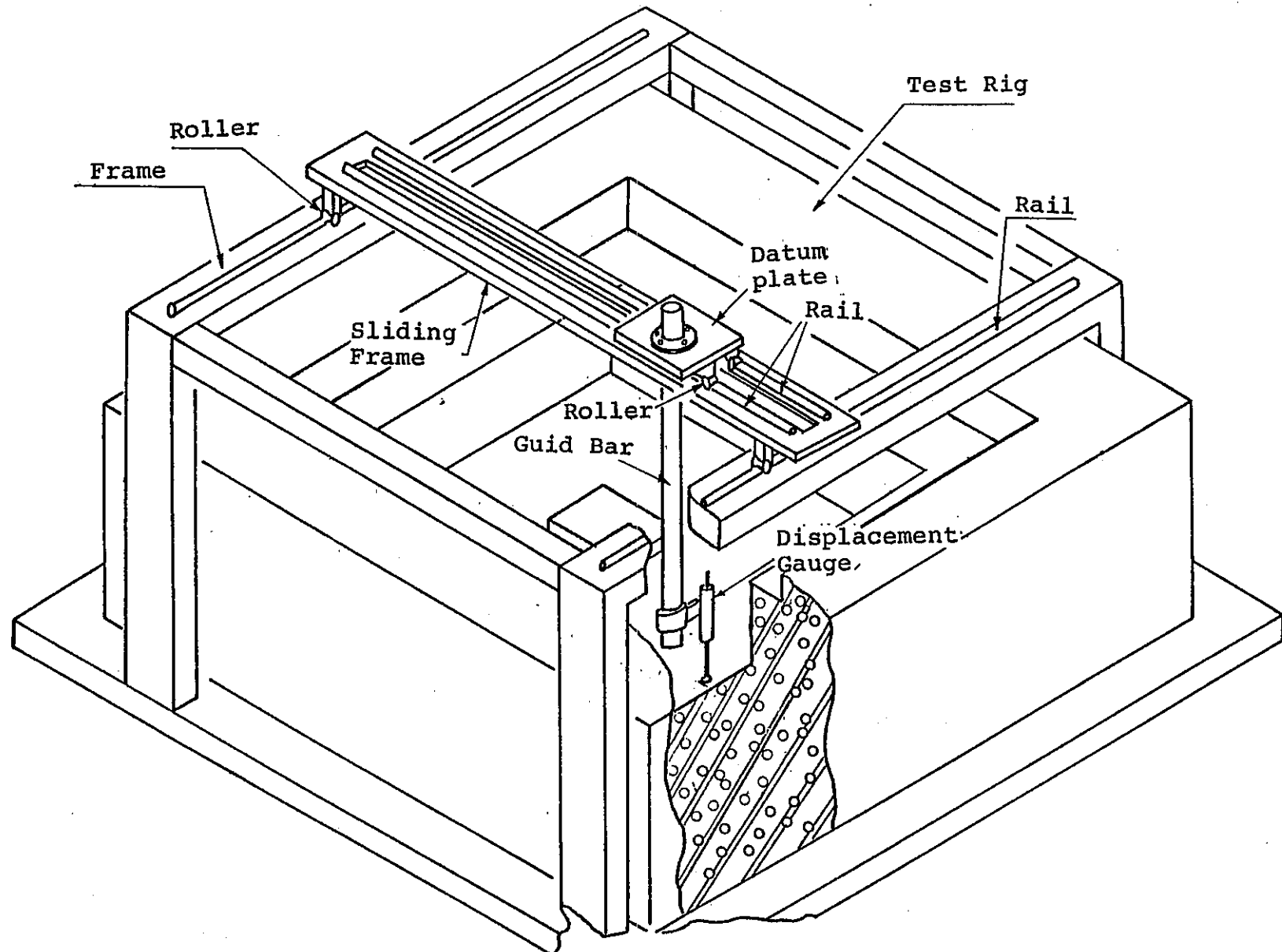


Fig. 2.2.3-1 ライナ法検査用測定装置

Fig. 2.2.3-1 Arrangement of the Gauges for Dimension Determination of the Test Rig.

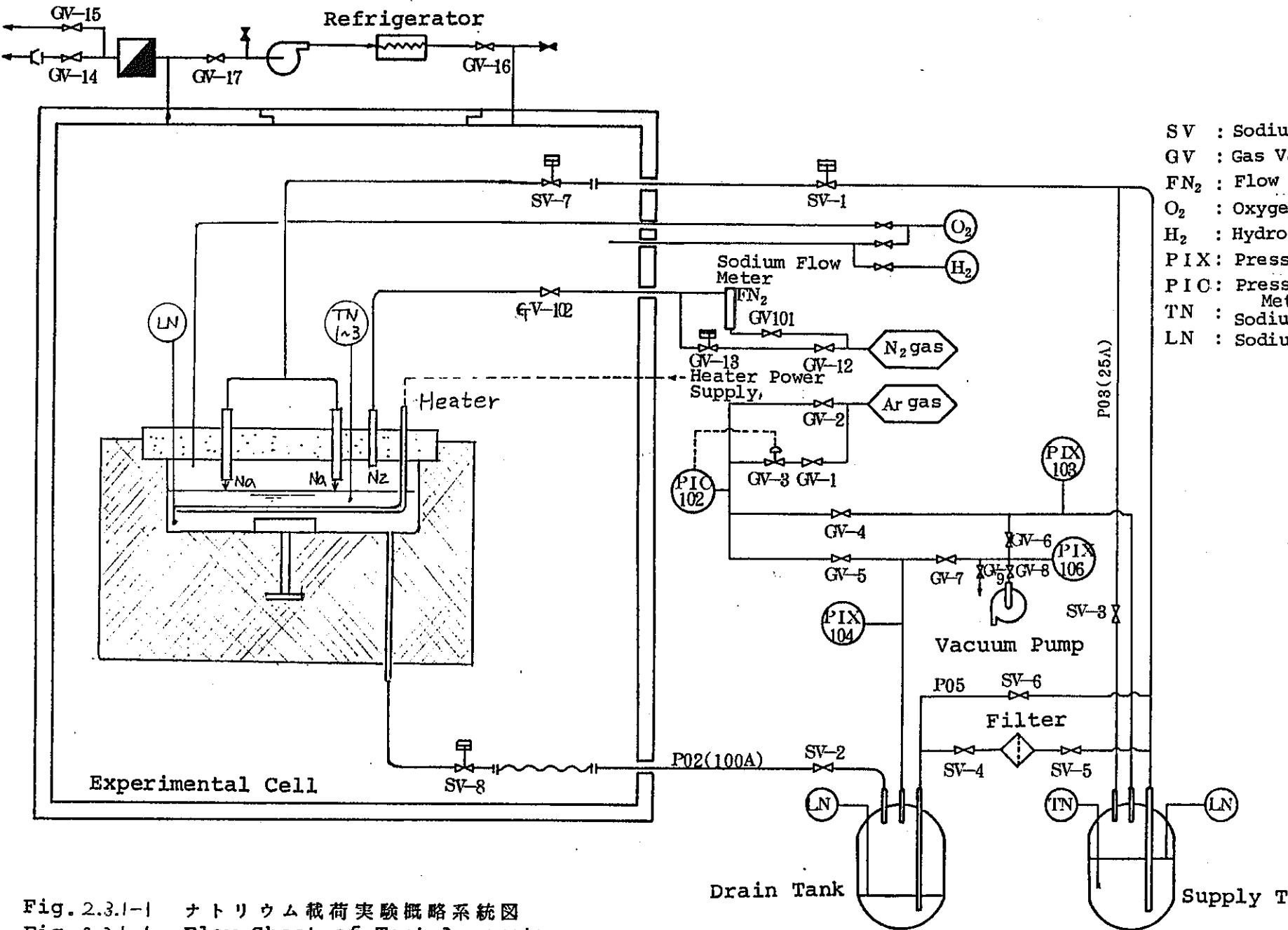


Fig. 2.3.1-1 ナトリウム載荷実験概略系統図
 Fig. 2.3.1-1 Flow Sheet of Test Apparatus

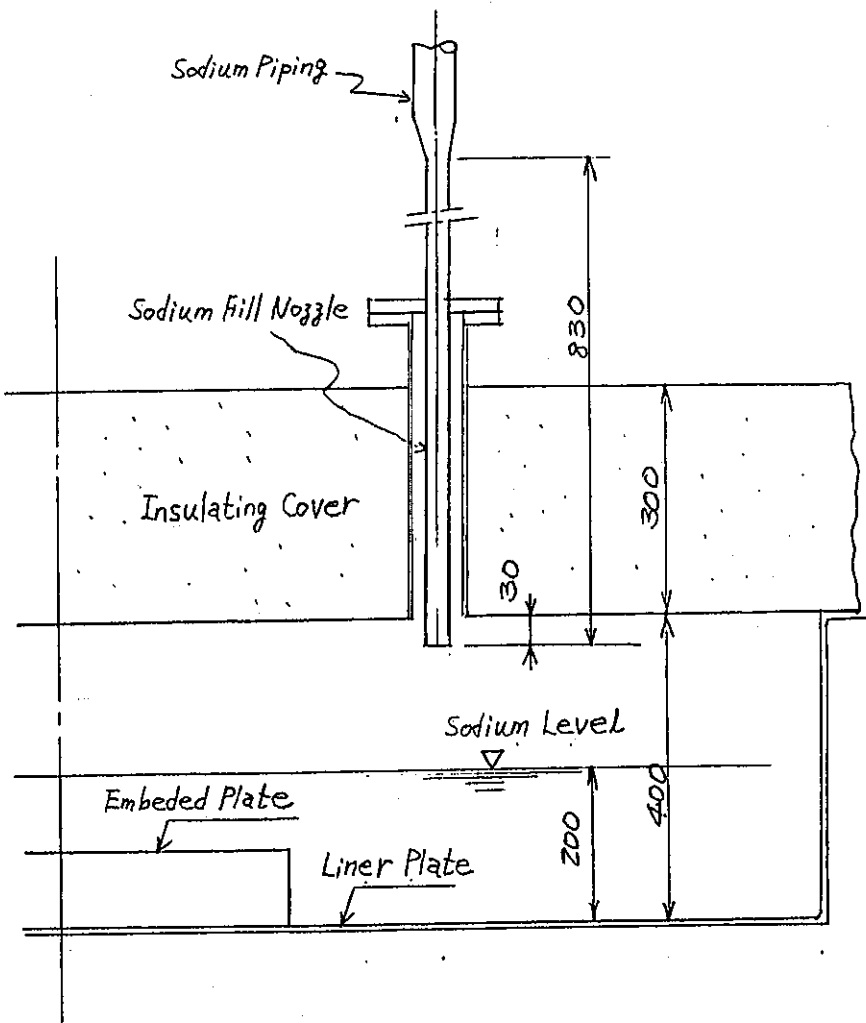
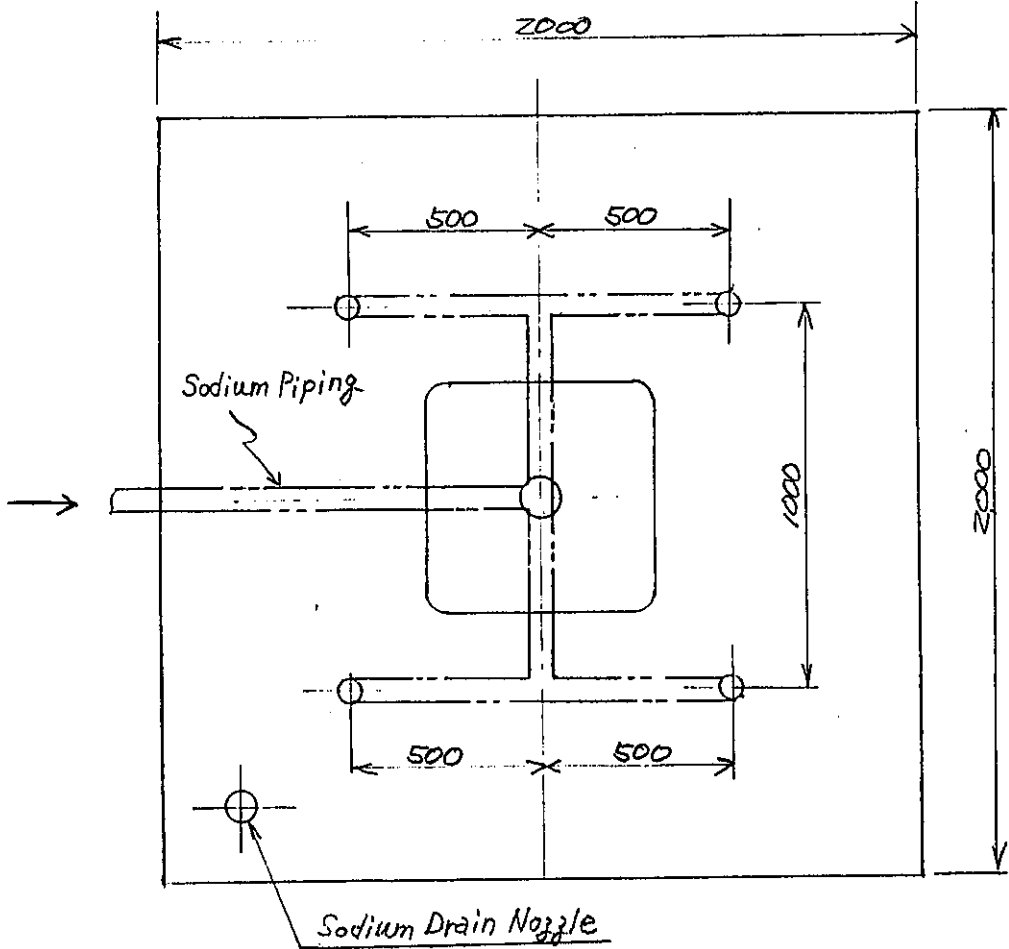


Fig. 2.3.1-2 HU94 9注入位置, 1ZIV

Fig. 2.3.1-2 Relative Heights of Insulating Cover,
Sodium Level and Liner Plate

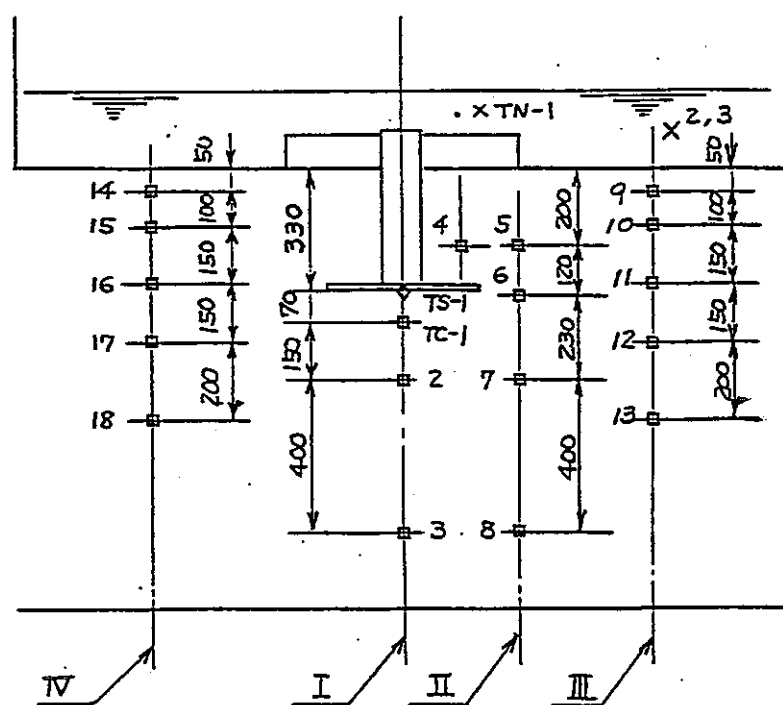
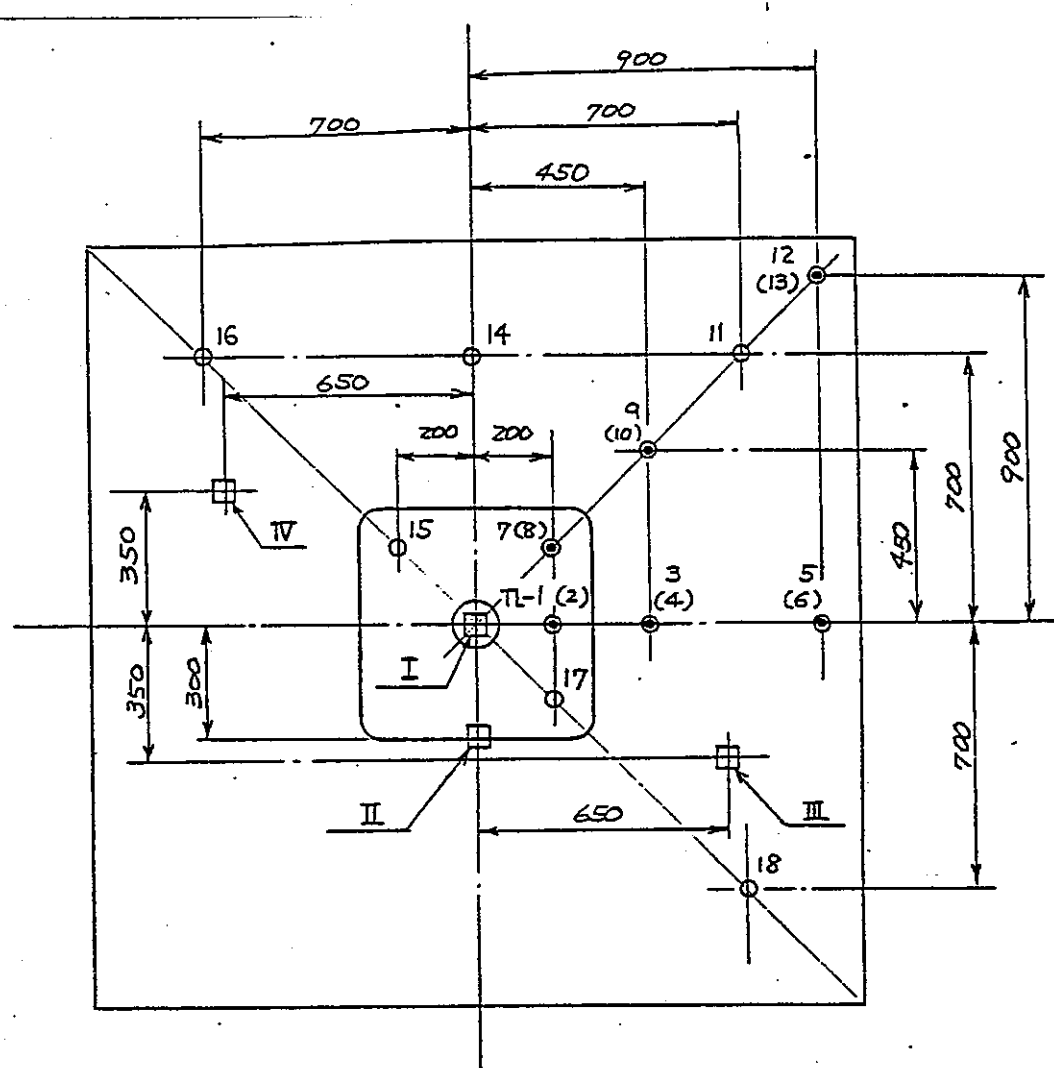


Fig. 2.3.2-1 溫度計測位置図

Fig. 2.3.2-1 Location of Thermocouples for Temperature Determination of the Test Rig

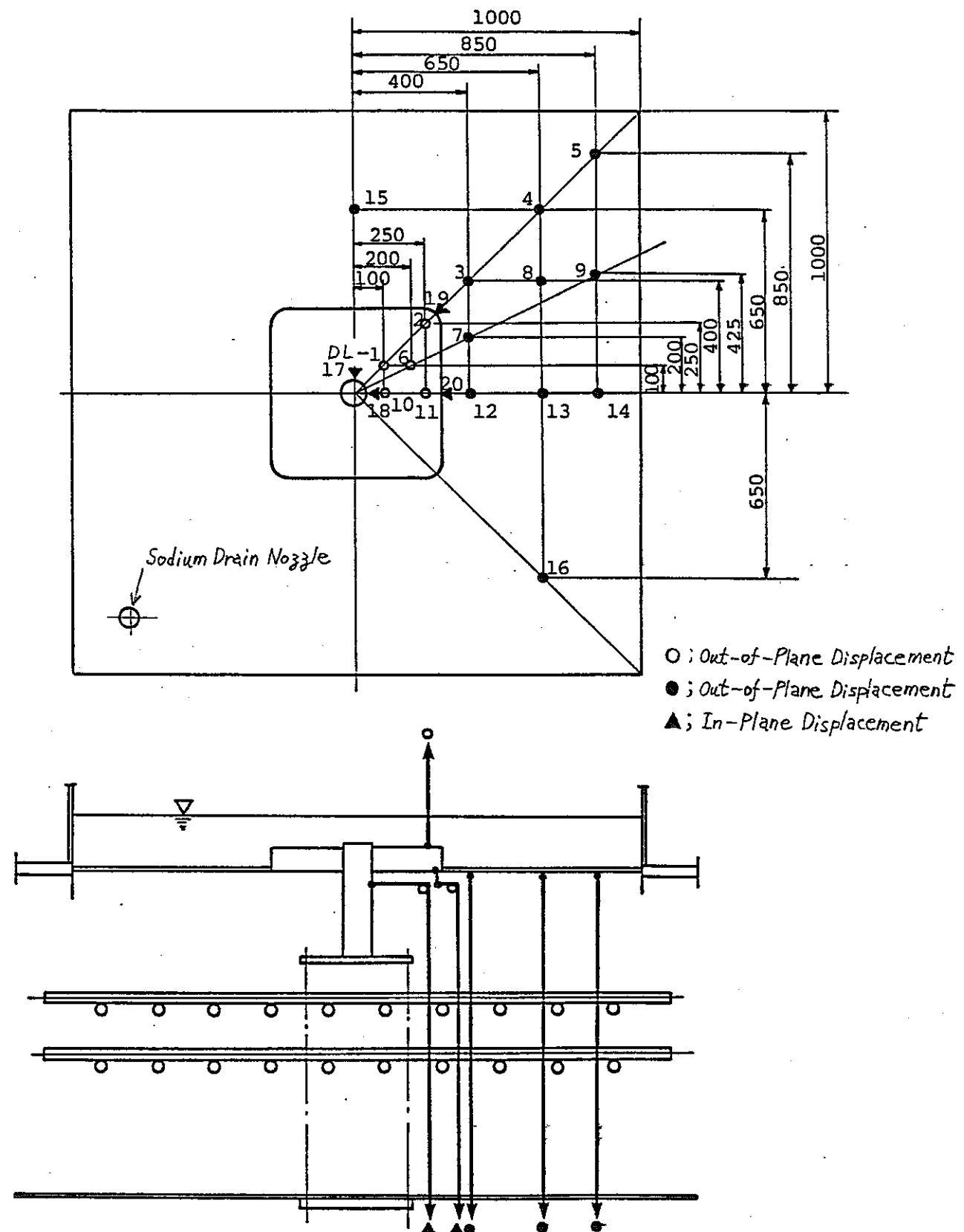


Fig. 2.3.2-2 変位計測点配置図

Fig. 2.3.2-2 Location of the Wire-Type Displacement Gauges for the Liner Plate and the Embedded Plate

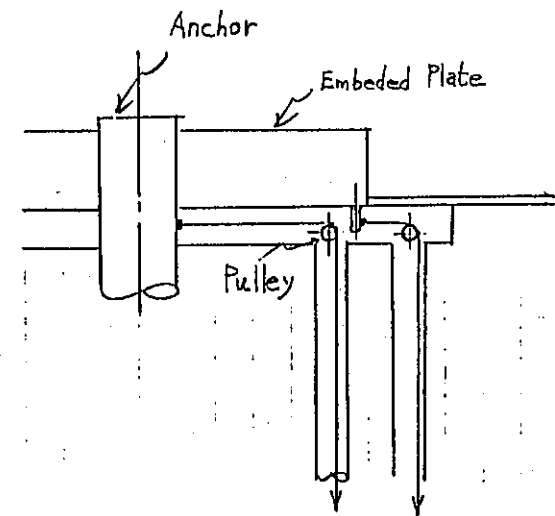
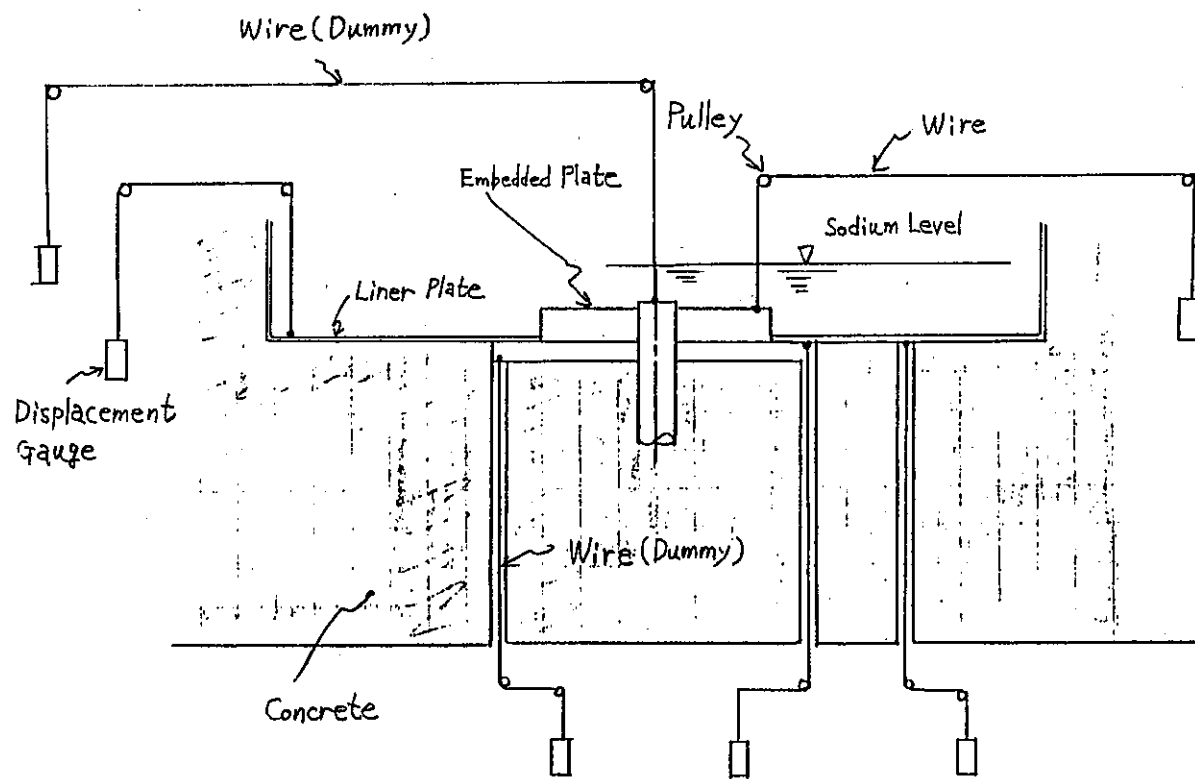


Fig. 2.3.2-3 変位計測の要領

Fig. 2.3.2-3 Detailed Arrangement of the Wire-Type Displacement Gauges.

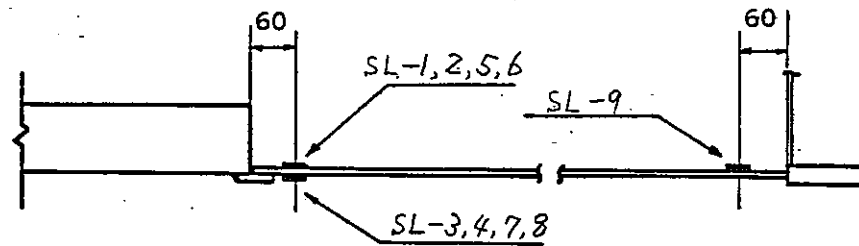
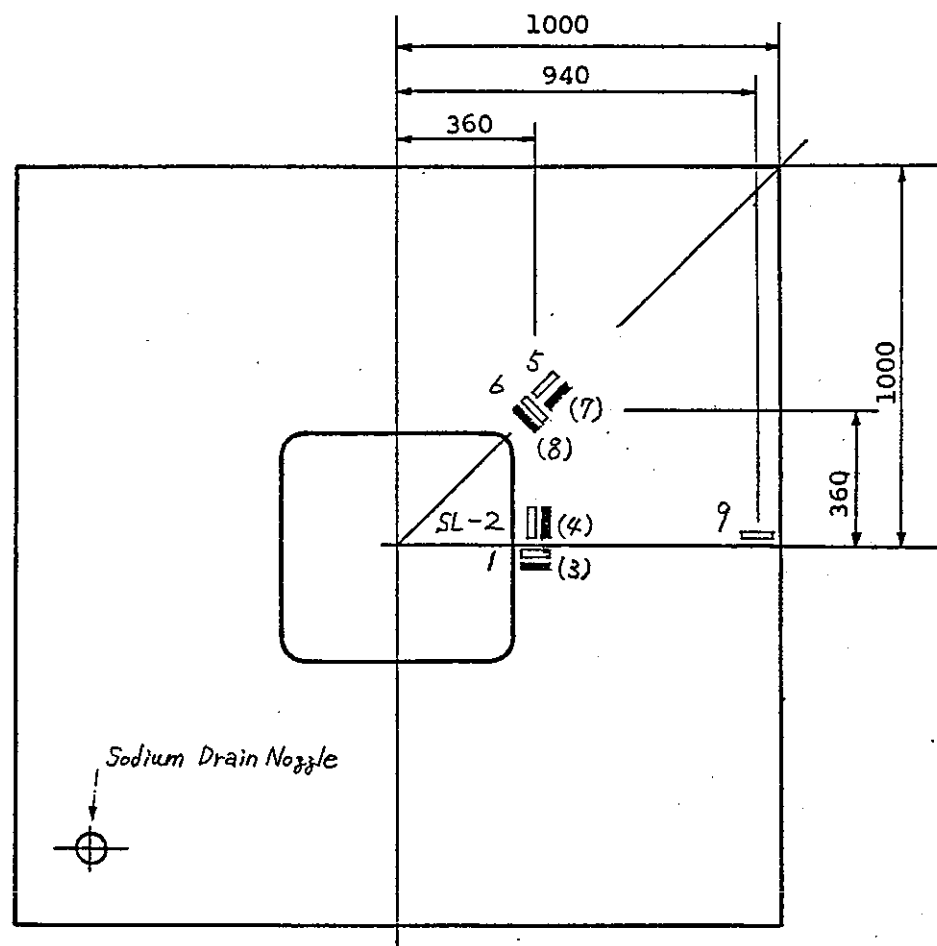


Fig. 2.3.2-4 ライナプレート用の歪みゲージ配置図

Fig. 2.3.2-4 Arrangement of Strain gauges for the Liner Plate

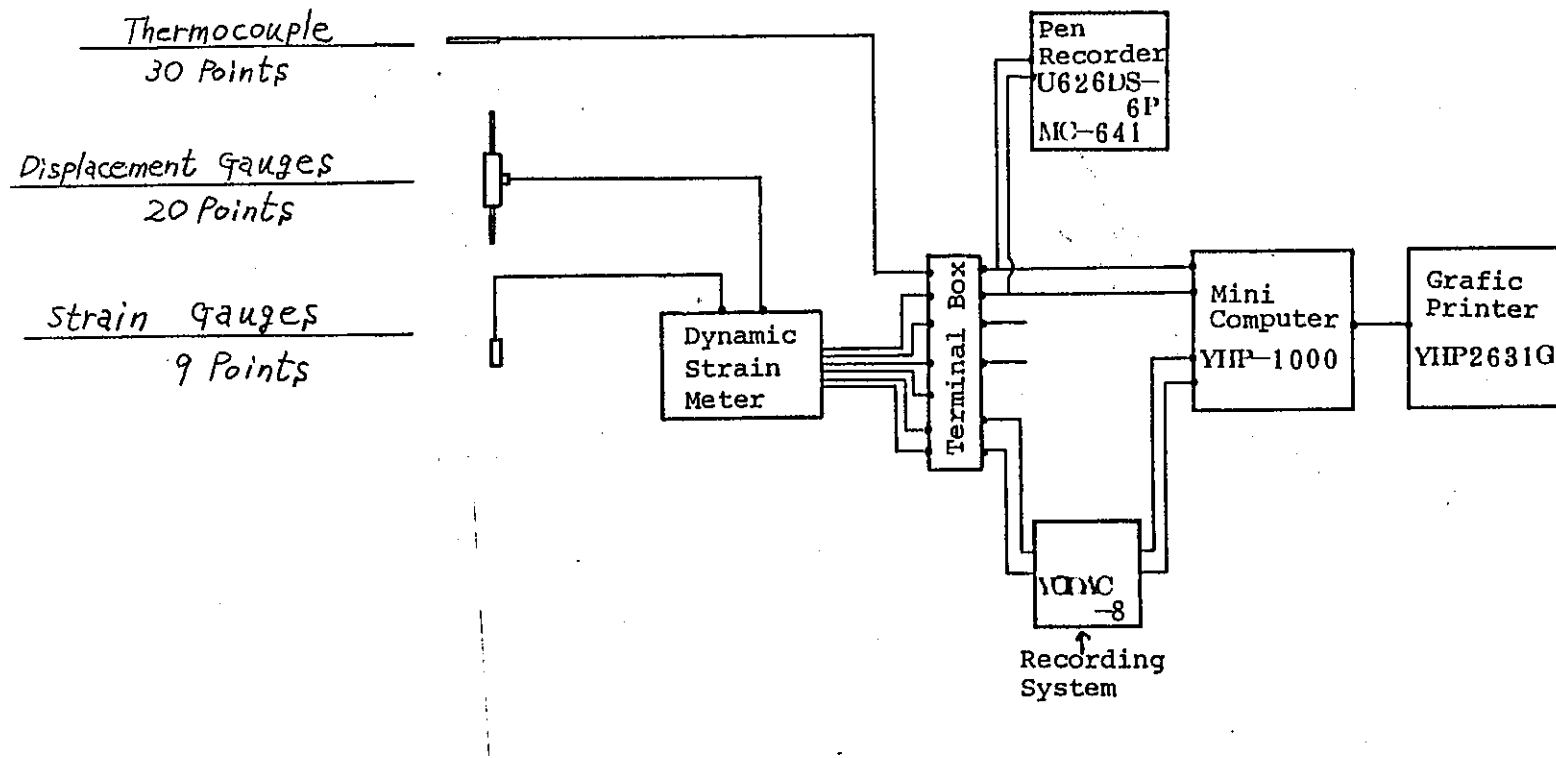
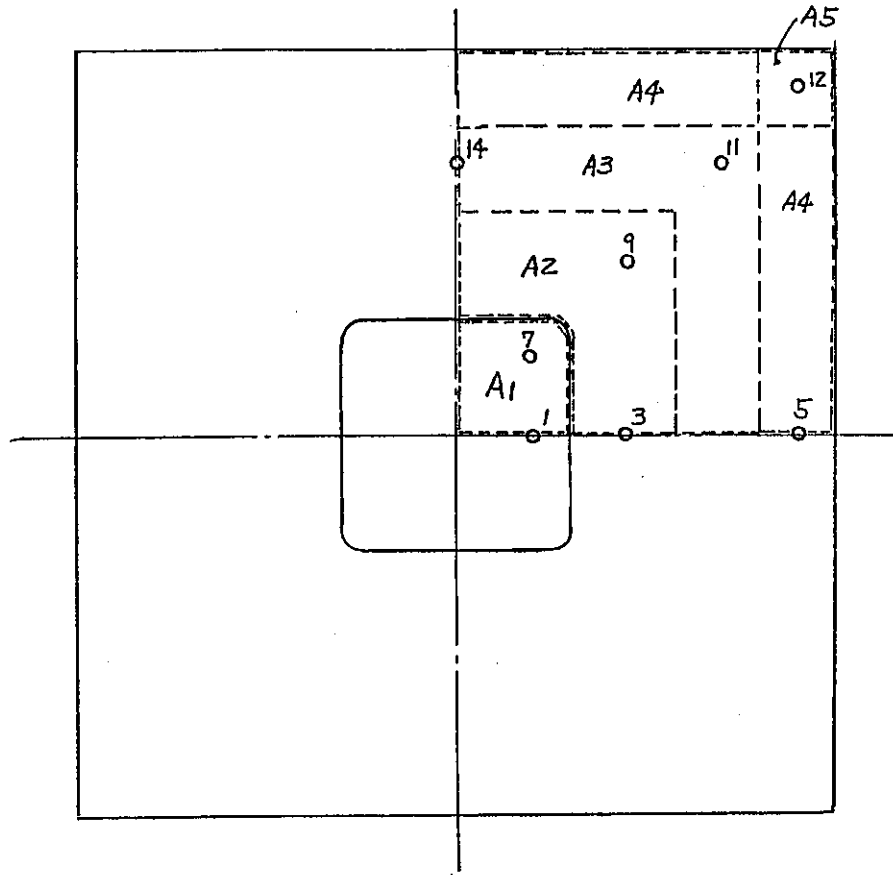


Fig.2.3.2-5 データ集録・処理システム
Fig.2.3.2-5 Block Diagram of Data Acquisition System



Area Measuring Point

$A_1 = 0.088 \text{ m}^2$ ---- TL 1 , TL 7

$A_2 = 0.242 \text{ m}^2$ ---- TL 3 , TL 9

$A_3 = 0.310 \text{ m}^2$ ---- TL 11 , TL 14

$A_4 = 0.320 \text{ m}^2$ ---- TL 5

$A_5 = 0.040 \text{ m}^2$ ---- TL 12

$$\Sigma = 1.0 \text{ m}^2$$

$$t_m = \frac{\sum t_i \cdot A_i}{\sum A_i}$$

t_m ; Average Liner Temp. ($^{\circ}\text{C}$)

t_i ; Measured Temp. of Point i ($^{\circ}\text{C}$)

A_i ; Area of Liner Plate or Embedded Plate (m^2)

Fig.2.3.3-1 ライナ平均温度の定義

Fig.2.3.3-1 Definition of Average Liner Temperature

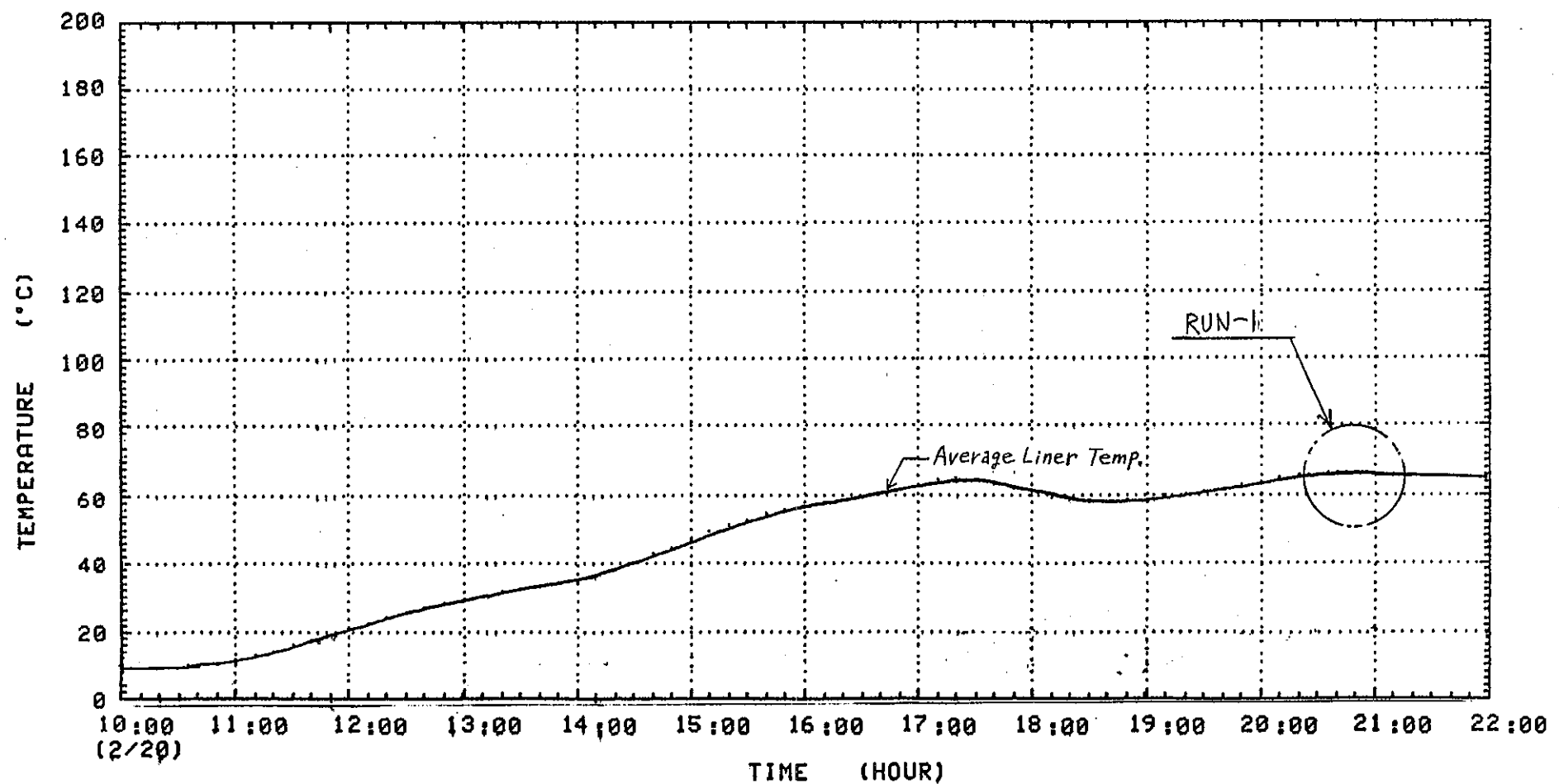
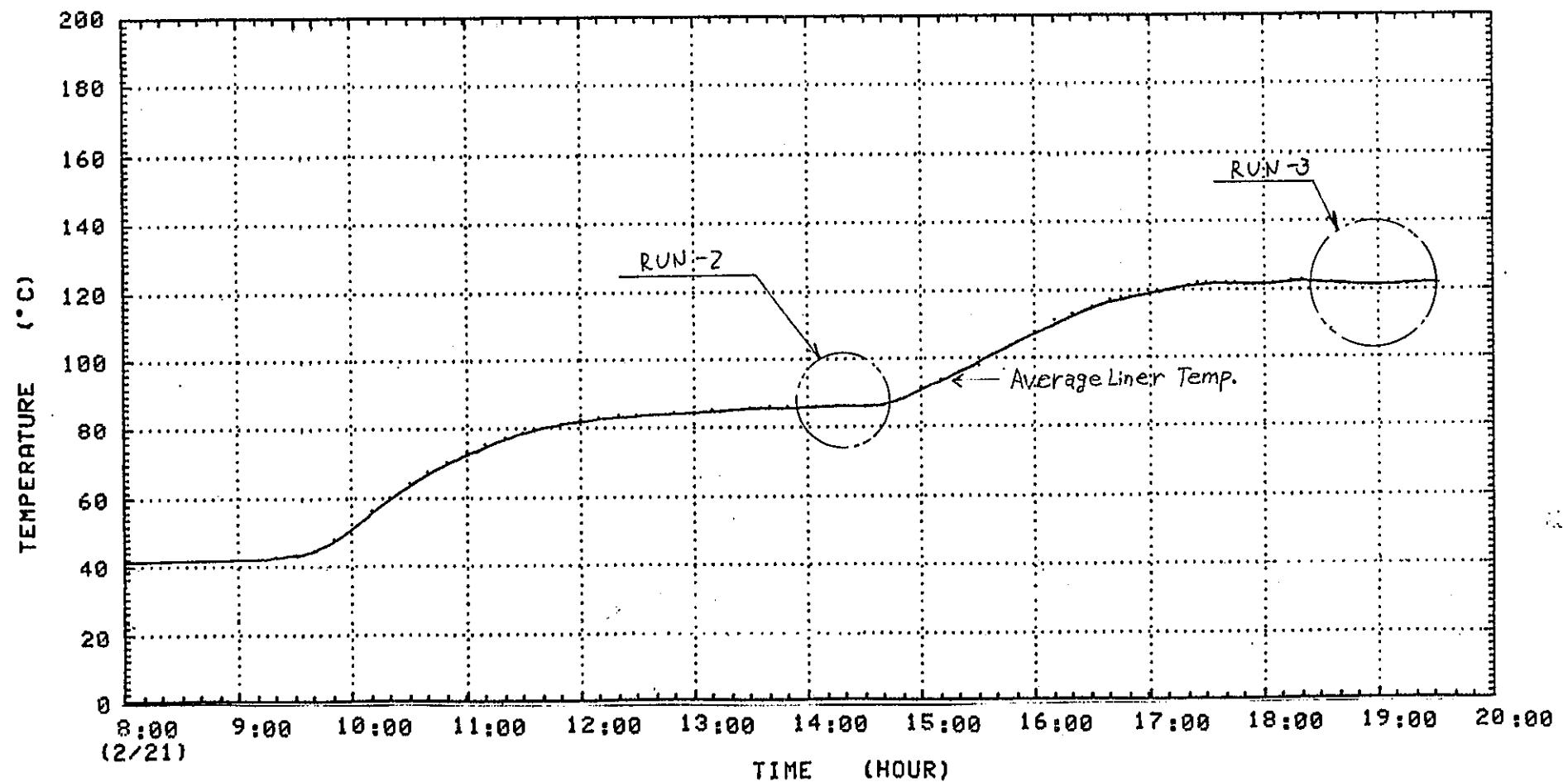


Fig. 2.3.3-2 RUN-1 a ライナー平均温度の推移

Fig. 2.3.3-2 Record of Average Liner Temperature in RUN-1



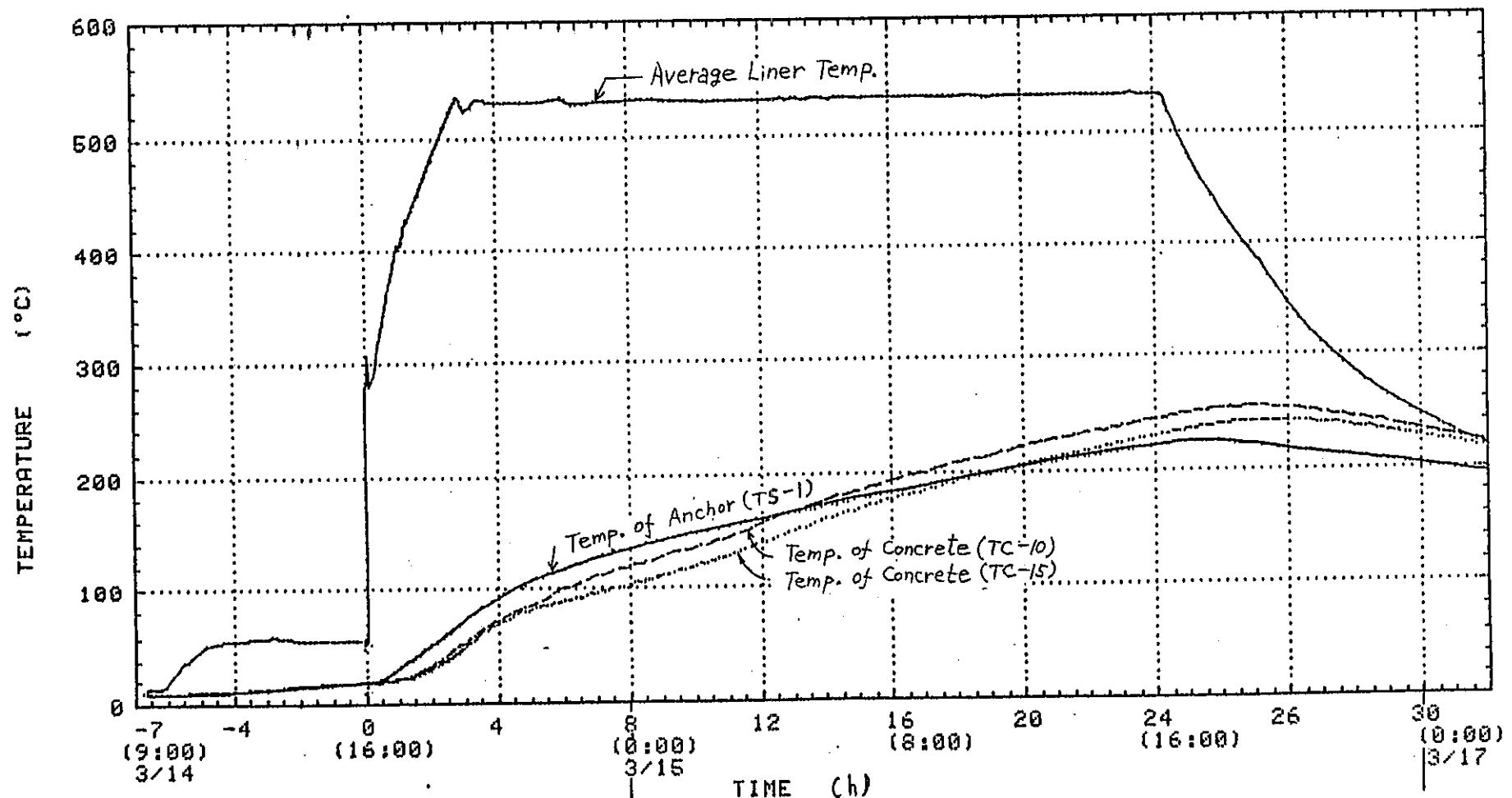
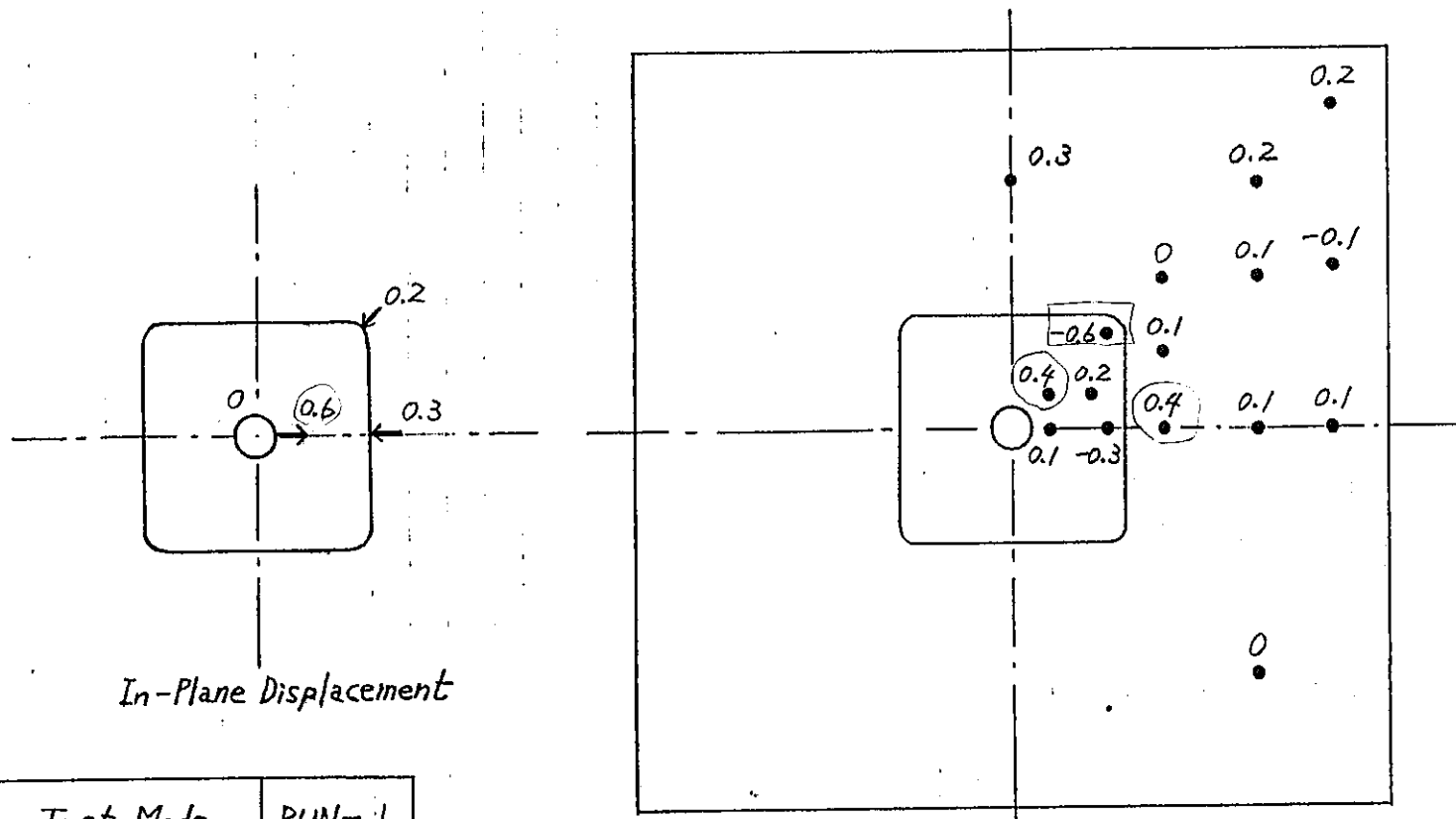


Fig. 2.3.3-4

Fig. 2.3.3-4

RUN-4のライナ平均及びコンクリート温度の推移

Record of Average Liner Temperature and Concrete Temperature
in RUN-4



Test Mode	RUN-1
Average Liner Temp.	66.3 °C

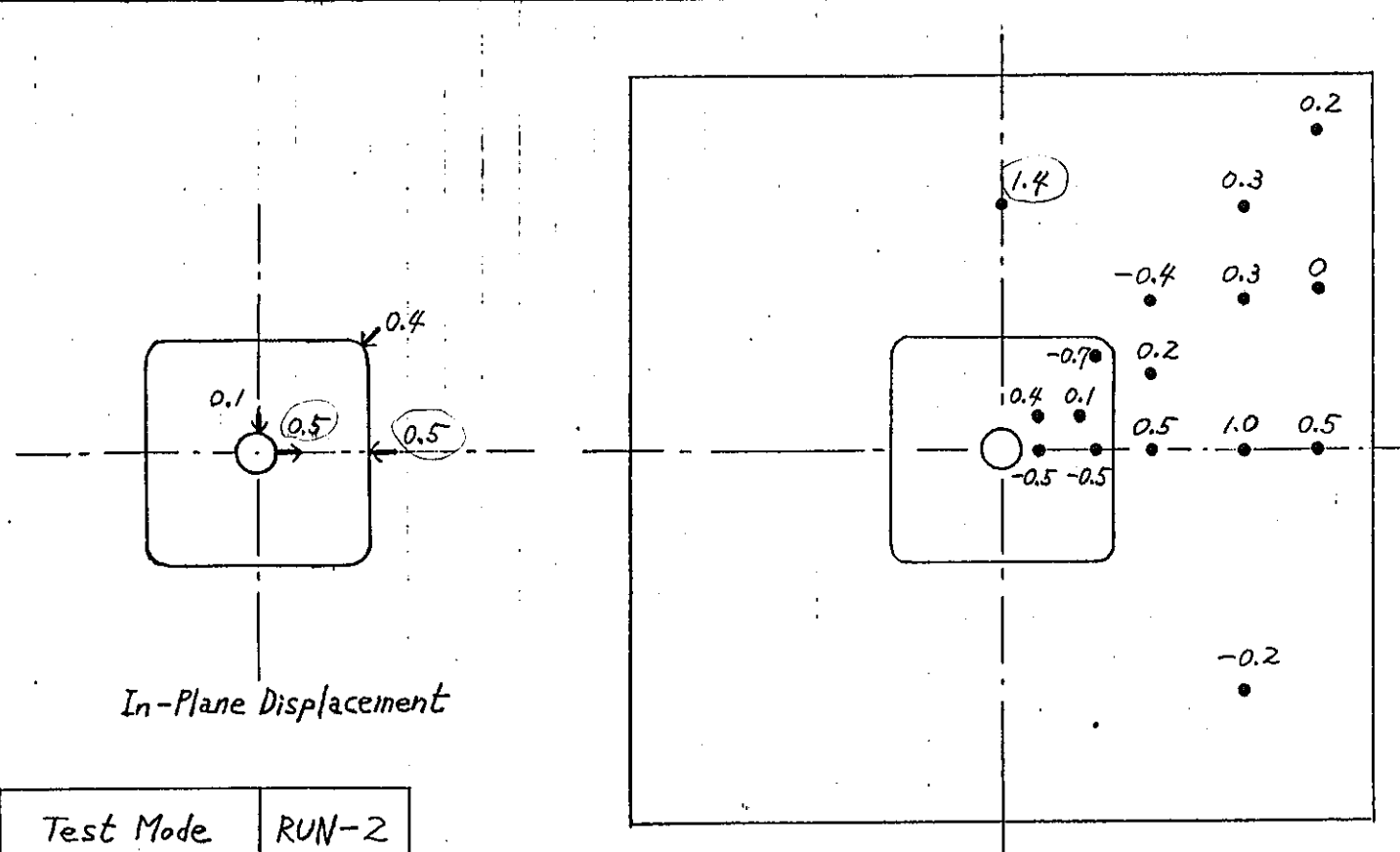
Unit; mm

Out-of-Plane Displacement

Displacement Sign (-); Lower Side Direction

Fig. 2.4.1-1 ライナープレート及び埋込金物の面外・面内変位分布 (RUN-1)
Fig. 2.4.1-1 Out-of Plane and In-Plane Displacement of the Liner Plate
and the Embedded Plate (RUN-1)

Test Mode	RUN-2
Average Liner Temp.	86.6 °C



Unit; mm

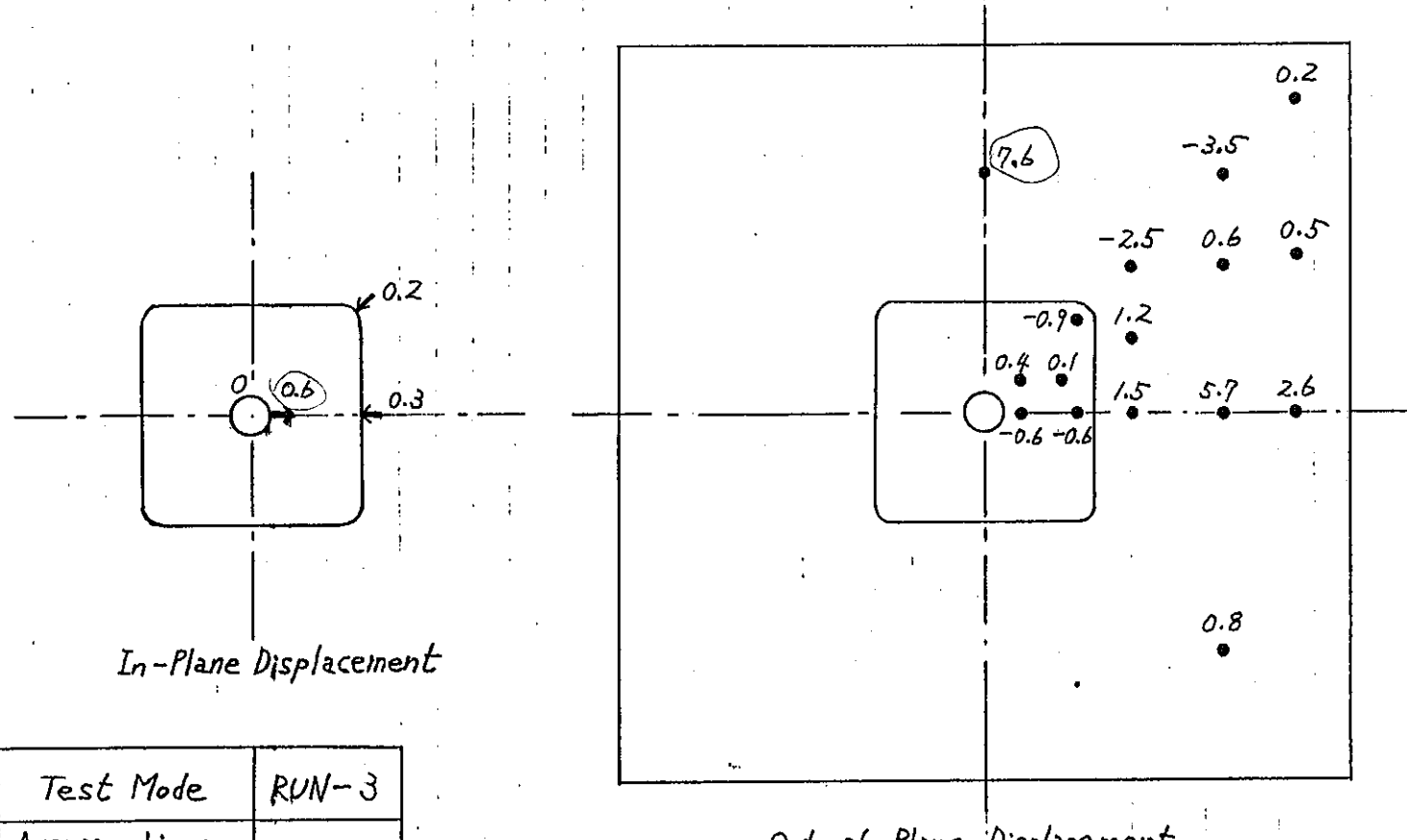
Displacement Sign (-); Lower Side Direction

Fig. 2.4.1-2

Fig. 2.4.1-2

31ナ7°L-1 及び埋込金物の面外・面内変位分布(RUN-2)

Out-of-Plane and In-Plane Displacement of the Liner Plate
and the Embedded Plate (RUN-2)



In-Plane Displacement

Unit; mm

Test Mode	RUN-3
Average Liner Temp.	121.5 °C

Out-of-Plane Displacement

Displacement Sign (-); Lower Side Direction

Fig. 2.4.1-3

Fig. 2.4.1-3

ライナ7°Lート及び埋込金物の面外・面内変位分布(RUN-3)
Out-of-Plane and In-Plane Displacement of the Liner Plate
and the Embedded Plate (RUN-3)

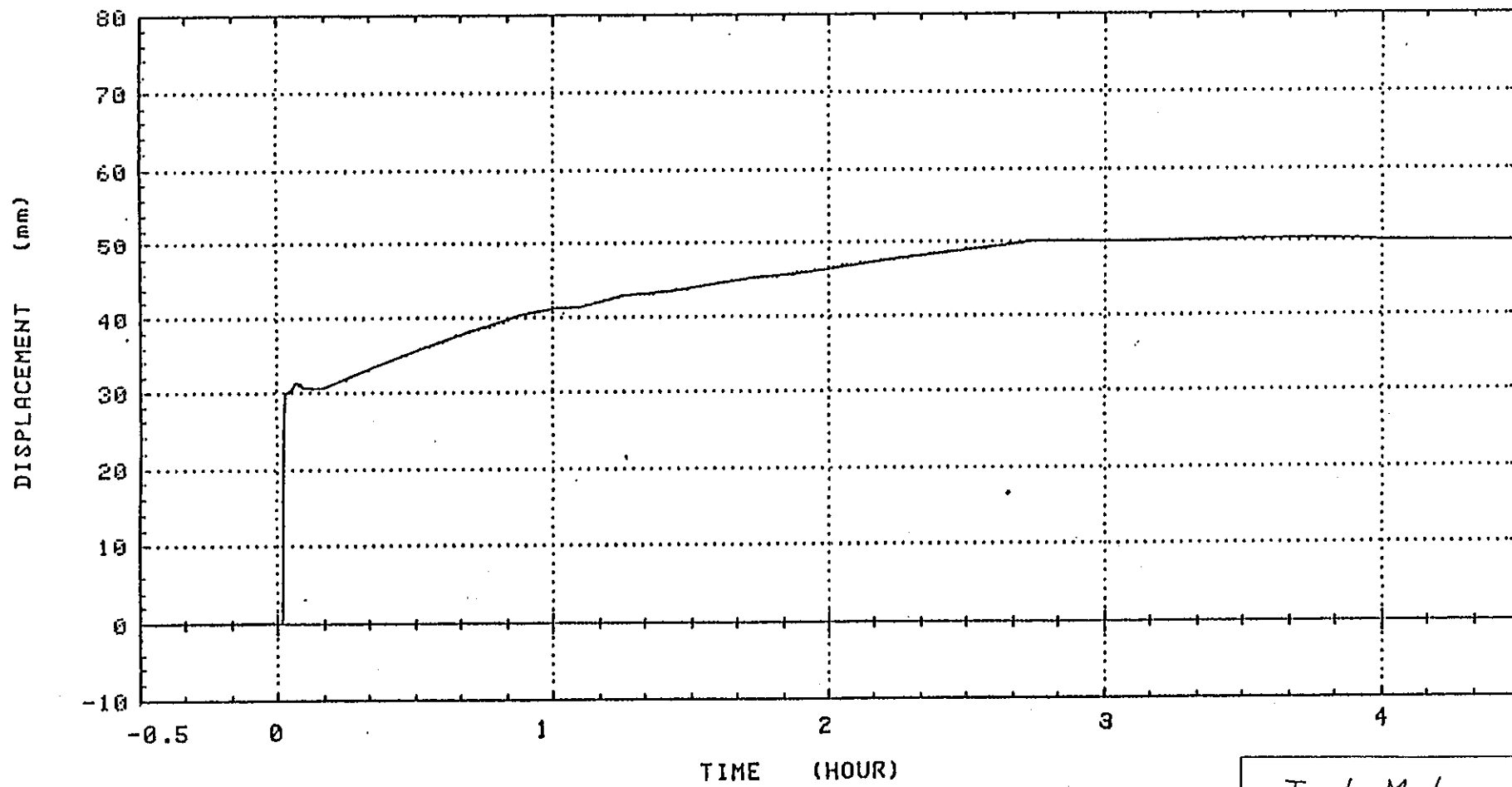
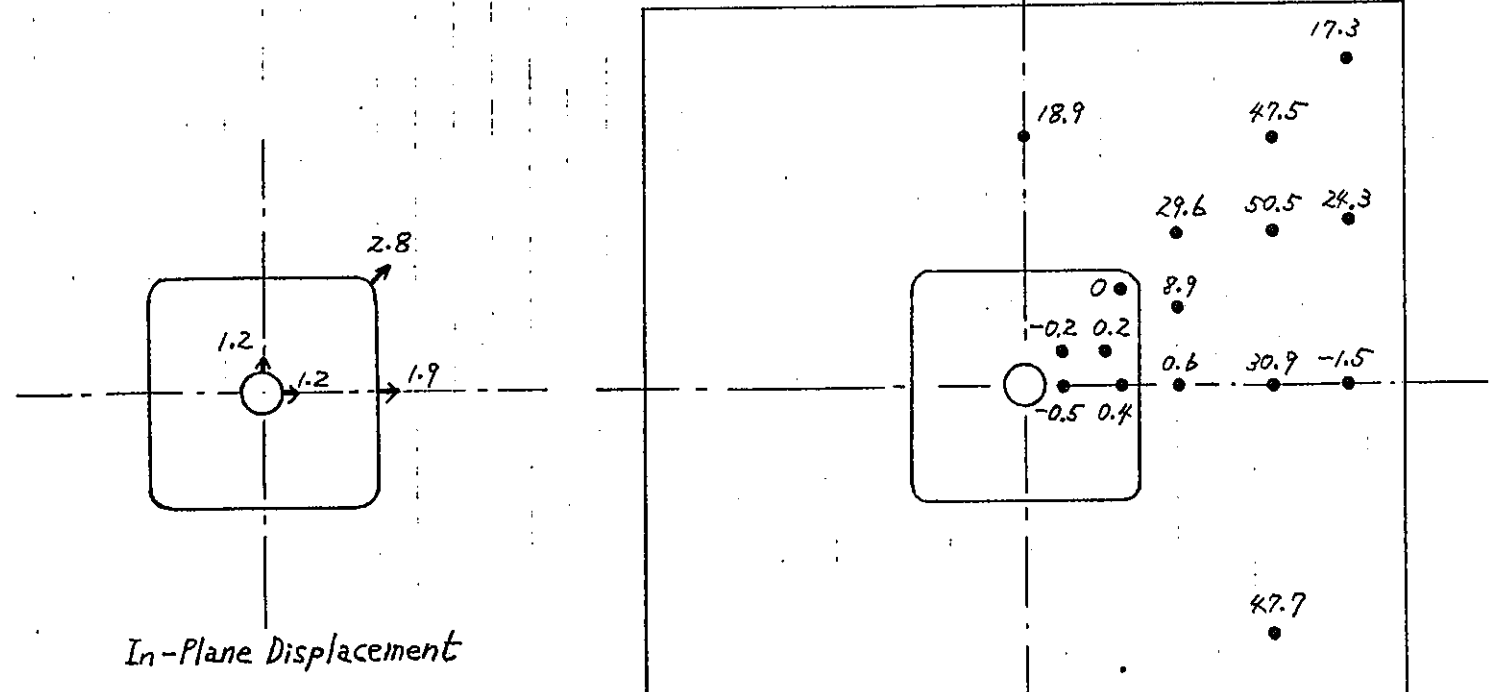


Fig. 2.4.1-4 ライナプレート DL-8部の面外変位時間変化 (RUN-4)

Fig. 2.4.1-4 Record of Out-of-Plane Displacement of the Liner Plate (DL-8) at RUN-4.

Test Mode	RUN-4
Tag No. of Displacement Gauge	DL-8



Unit : mm

Out-of-Plane Displacement

Displacement Sign (-); Lower Side Direction

Fig. 2.4.1-5 ライナープレート及び埋込金物の面外・面内変位分布(RUN-4)
Fig. 2.4.1-5 Out-of-Plane and In-Plane Displacement of the Liner Plate
and the Embedded Plate (RUN-4)

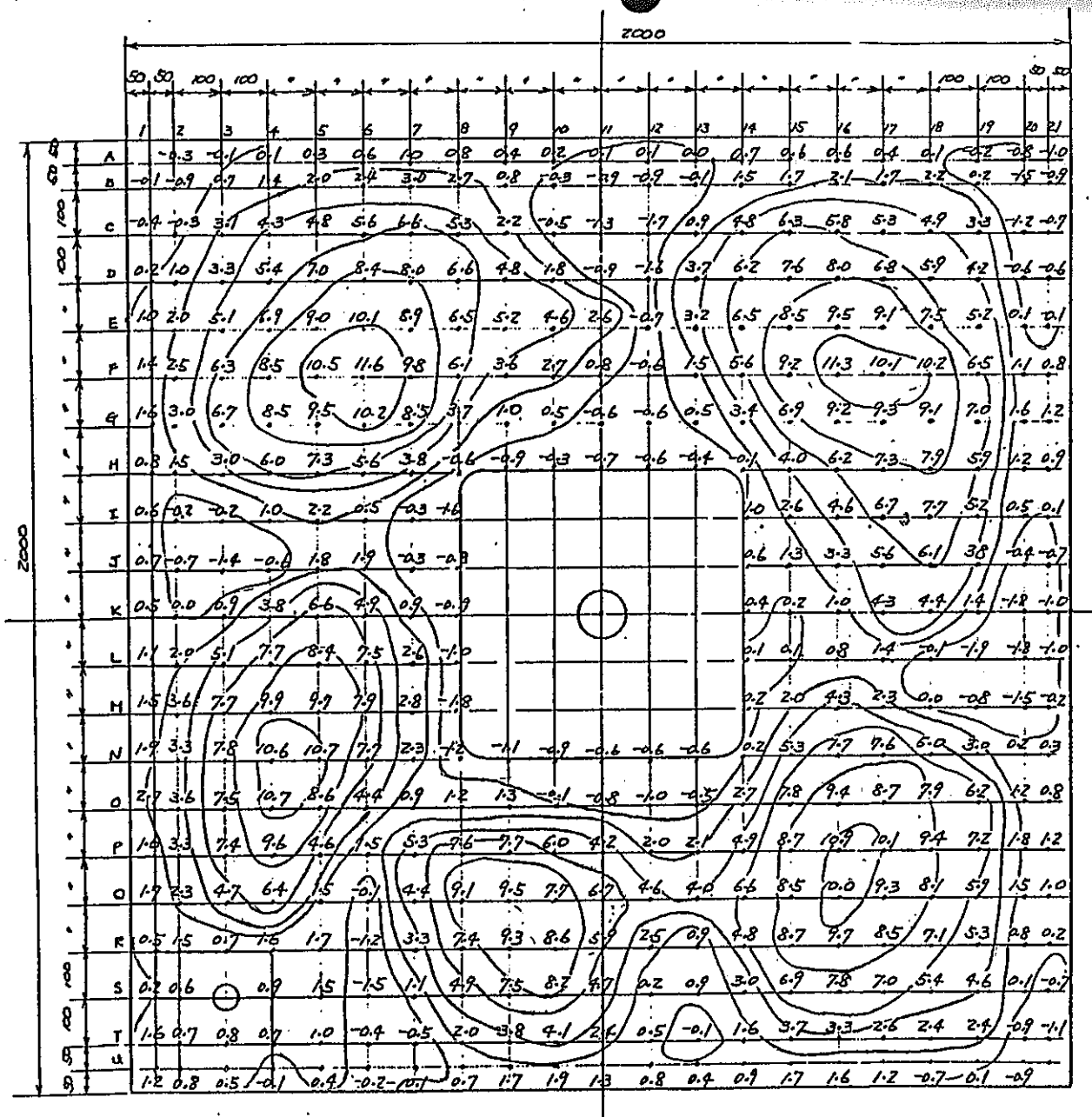
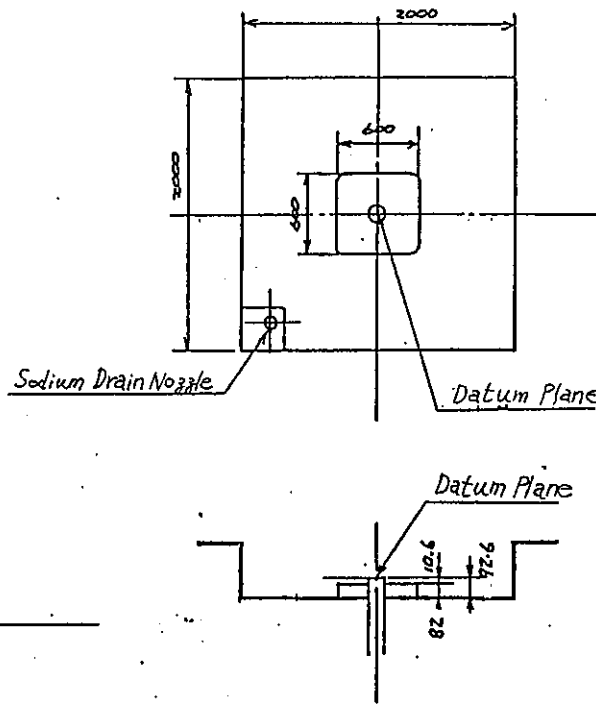


Fig. 2.4.1-6 ライナーリートの面外残留変位分布 (RUN-4試験完了後室温)

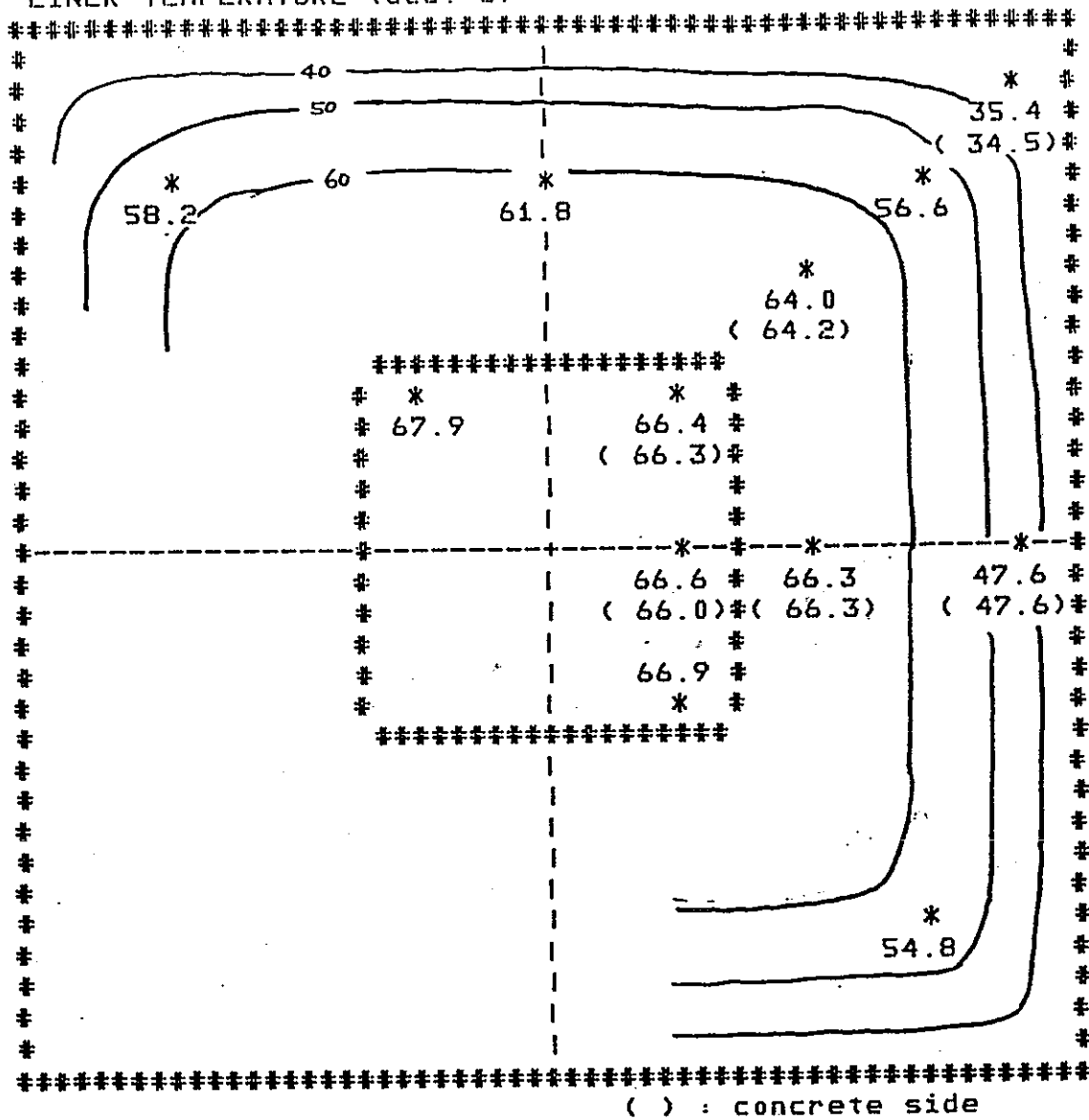
Fig. 2.4.1-6 Residual Out-of-Plane Displacement of the Liner Plate (after RUN-4)



Unit : mm

DATE = 59. 3. 14
TIME = 15:30 0'

LINER-TEMPERATURE (deg.-C)



CONCRETE-TEMPERATURE (deg.-C)

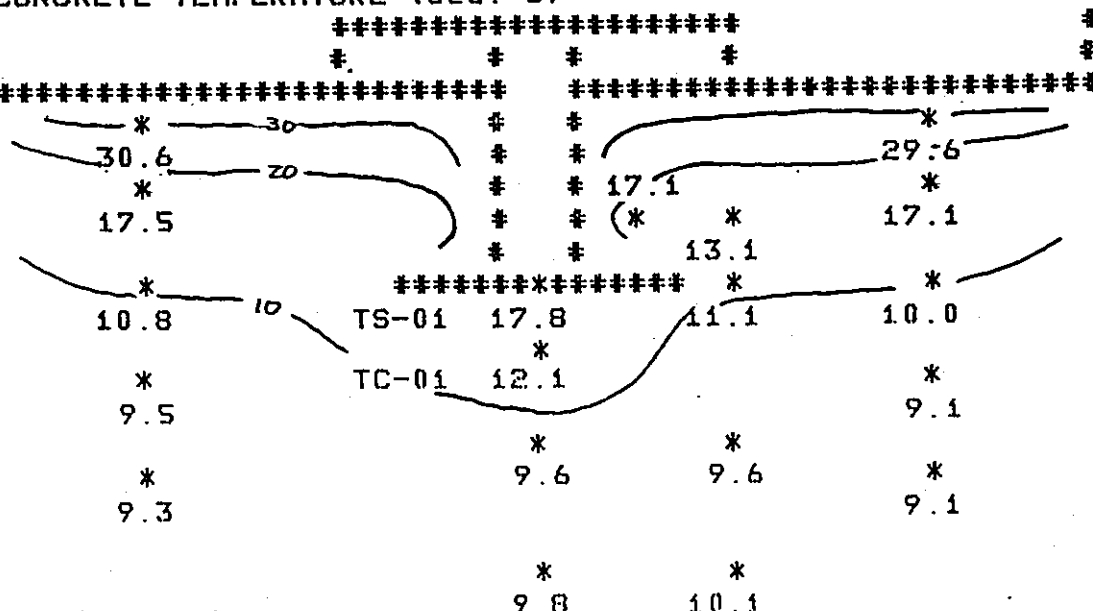


Fig. 2.4.2-1

温度分布 (NAY.入前)

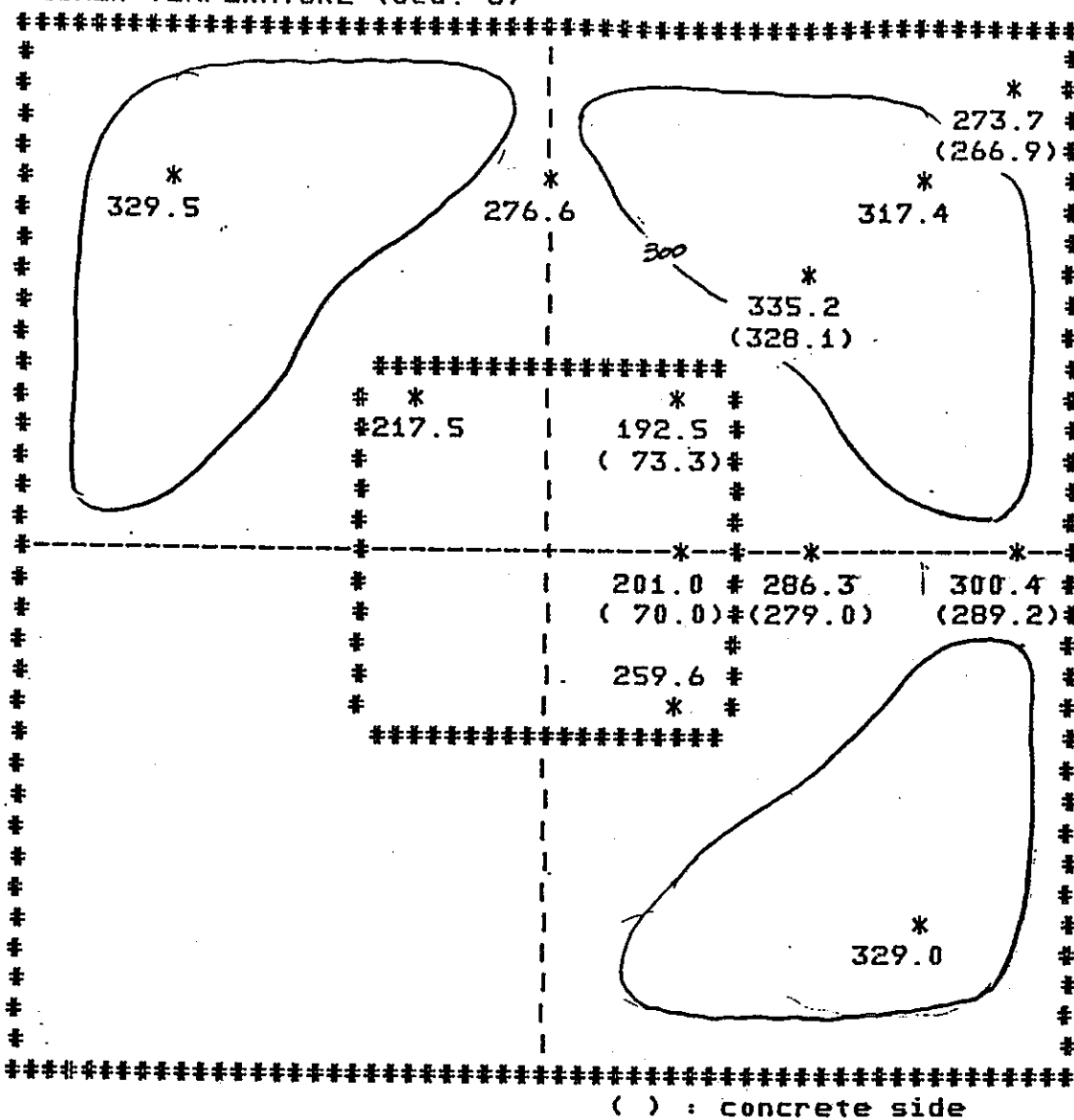
Fig. 2.4.2-1

Temperature Distribution (Before Sodium change)

DATE = 59. 3.14
TIME = 16: 3 0'

58

LINER-TEMPERATURE (deg.-C)



() : concrete side

CONCRETE-TEMPERATURE (deg.-C)

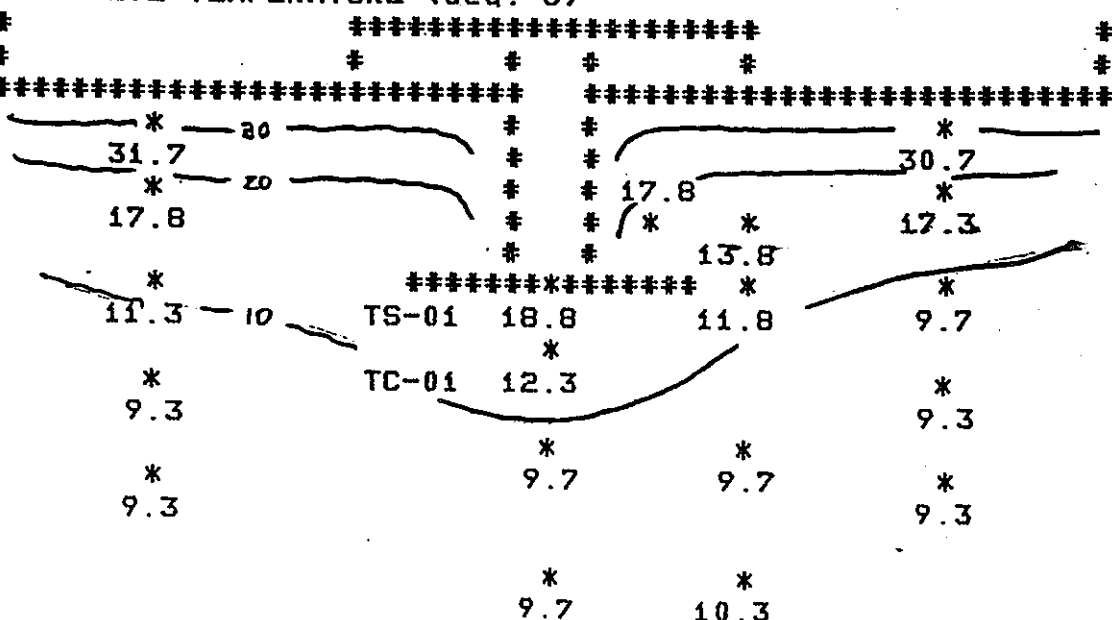


Fig. 2.4.2-2 温度分布 (N₂充填途上 ; Time = 0:03)

Fig. 2.4.2-2 Temperature Distribution (During Change ; Time = 0:03)

DATE = 59. 3.14
TIME = 16: 5 0'

59

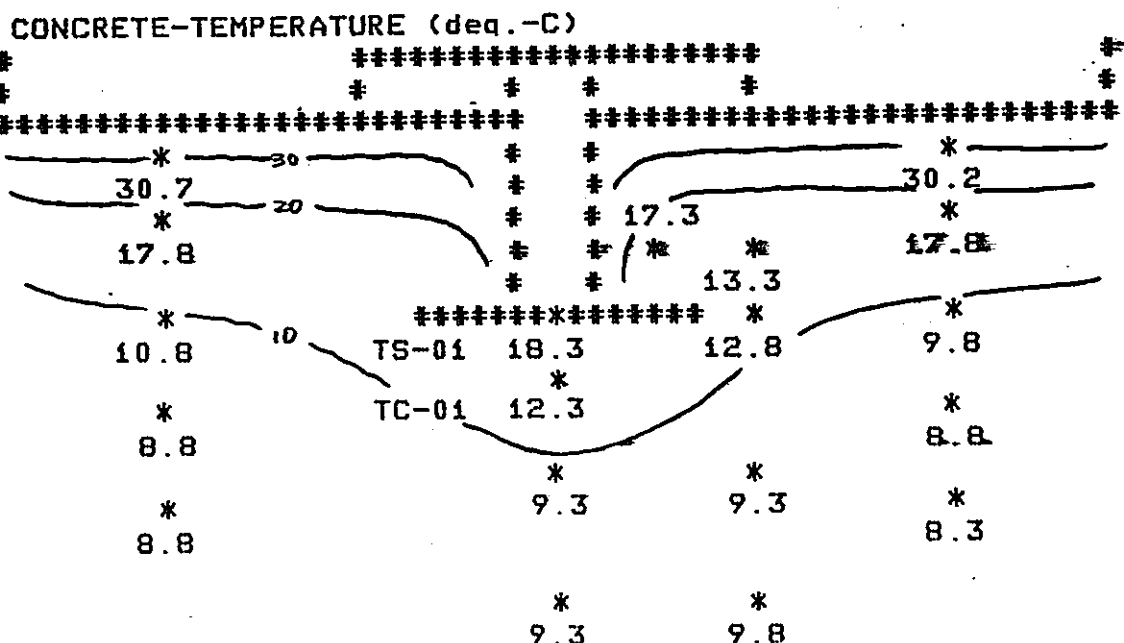
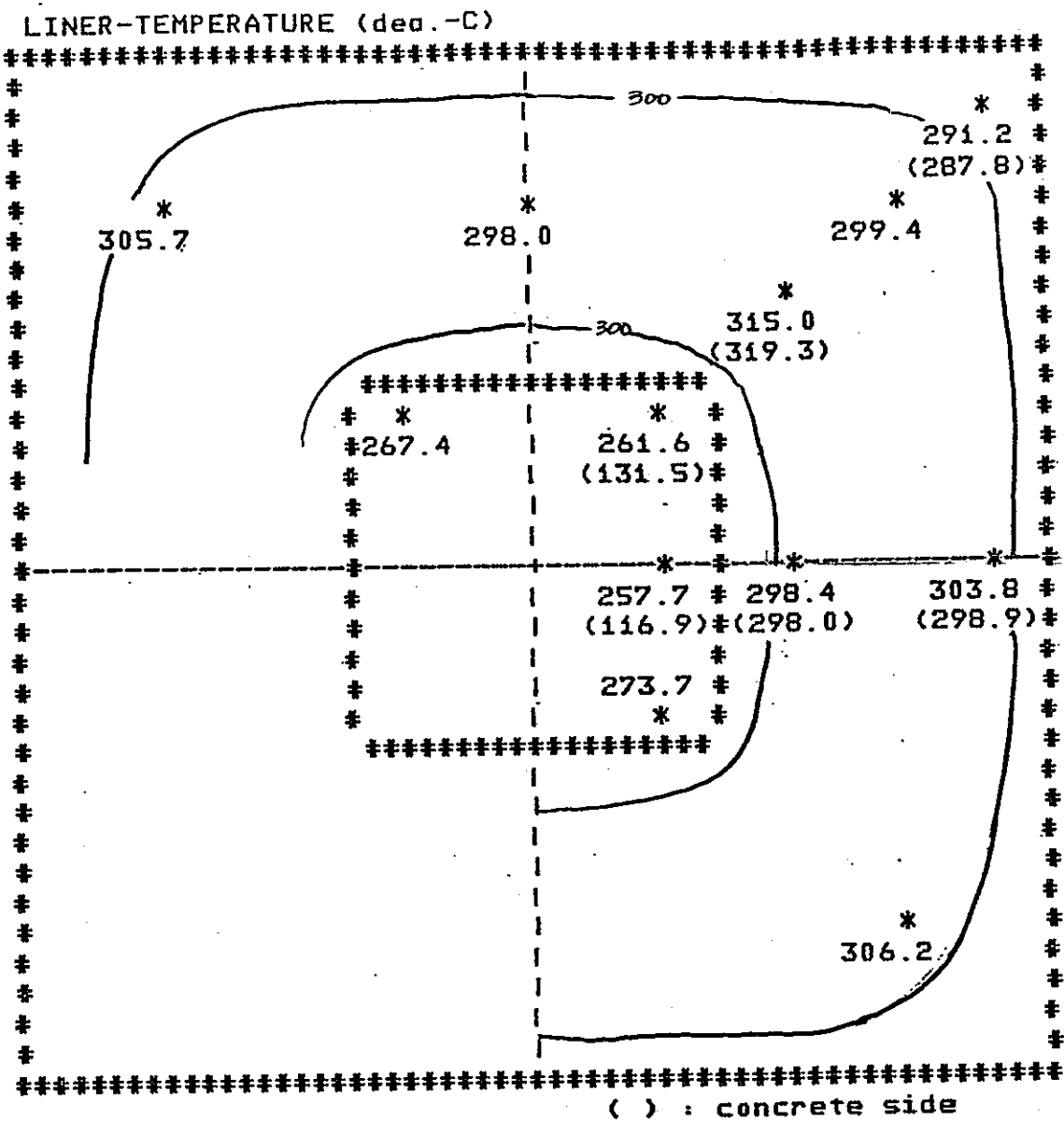
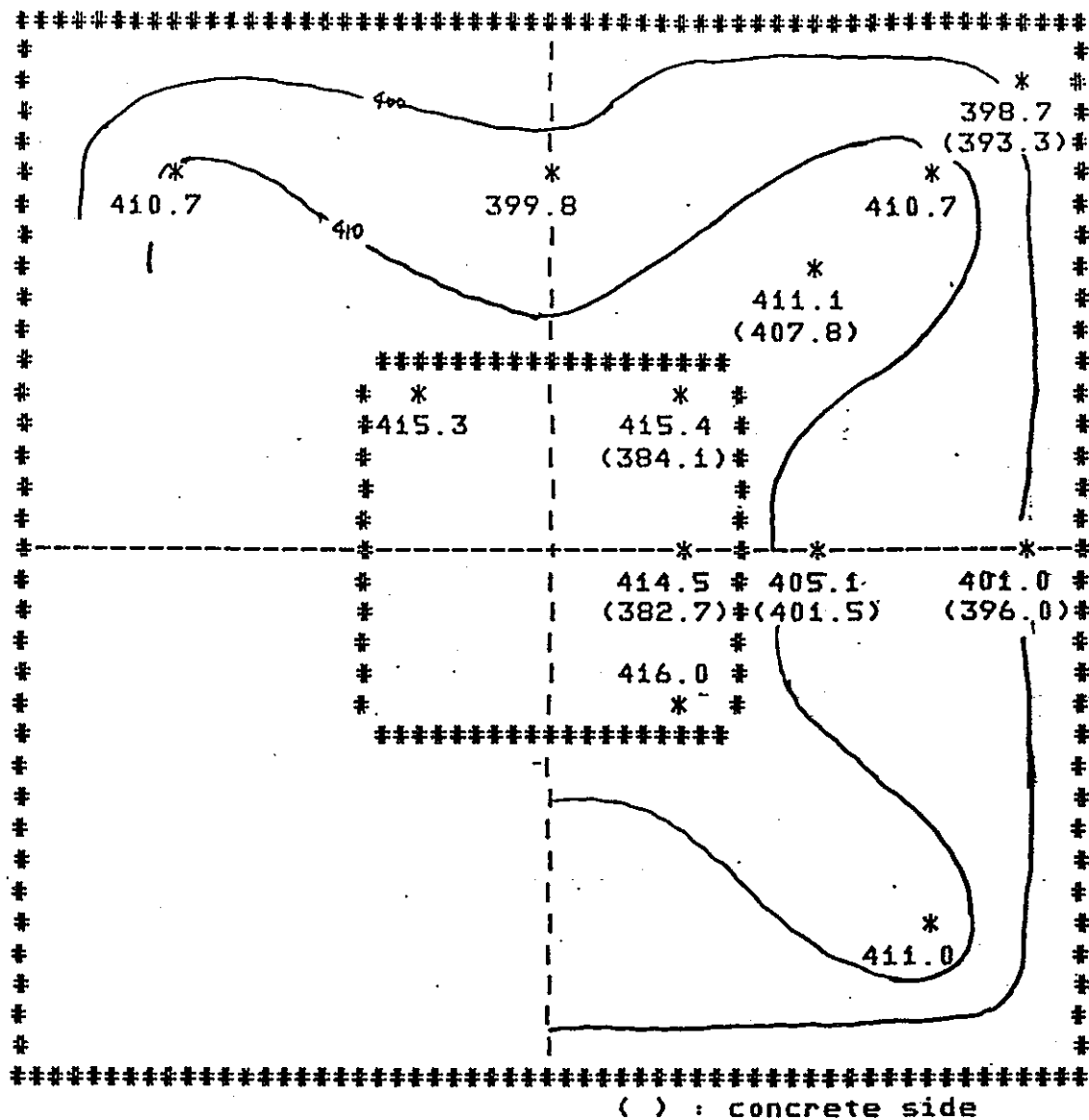


Fig. 2.4.2-3 酒廈分布 (壳壁免了直後) ; Time = 0:05)

Fig. 2.4. 2-3 Temperature Distribution (Change Terminated; Time = 0:05)

DATE = 59. 3.14
TIME = 17: 0 0'

LINER-TEMPERATURE (deg.-C)



CONCRETE-TEMPERATURE (deg.-C)

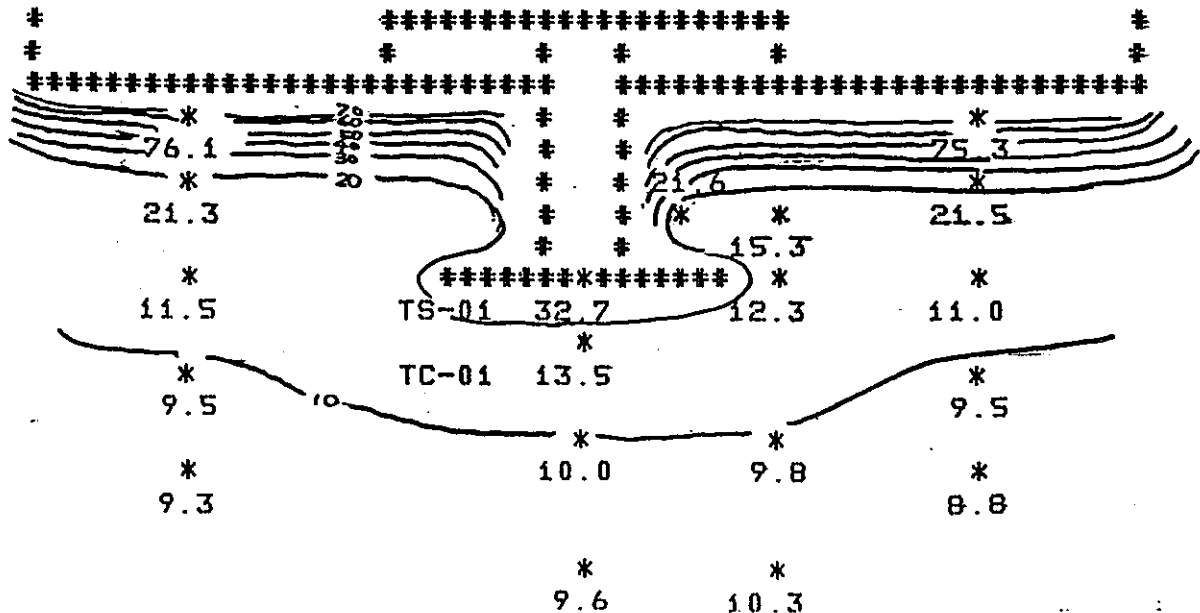


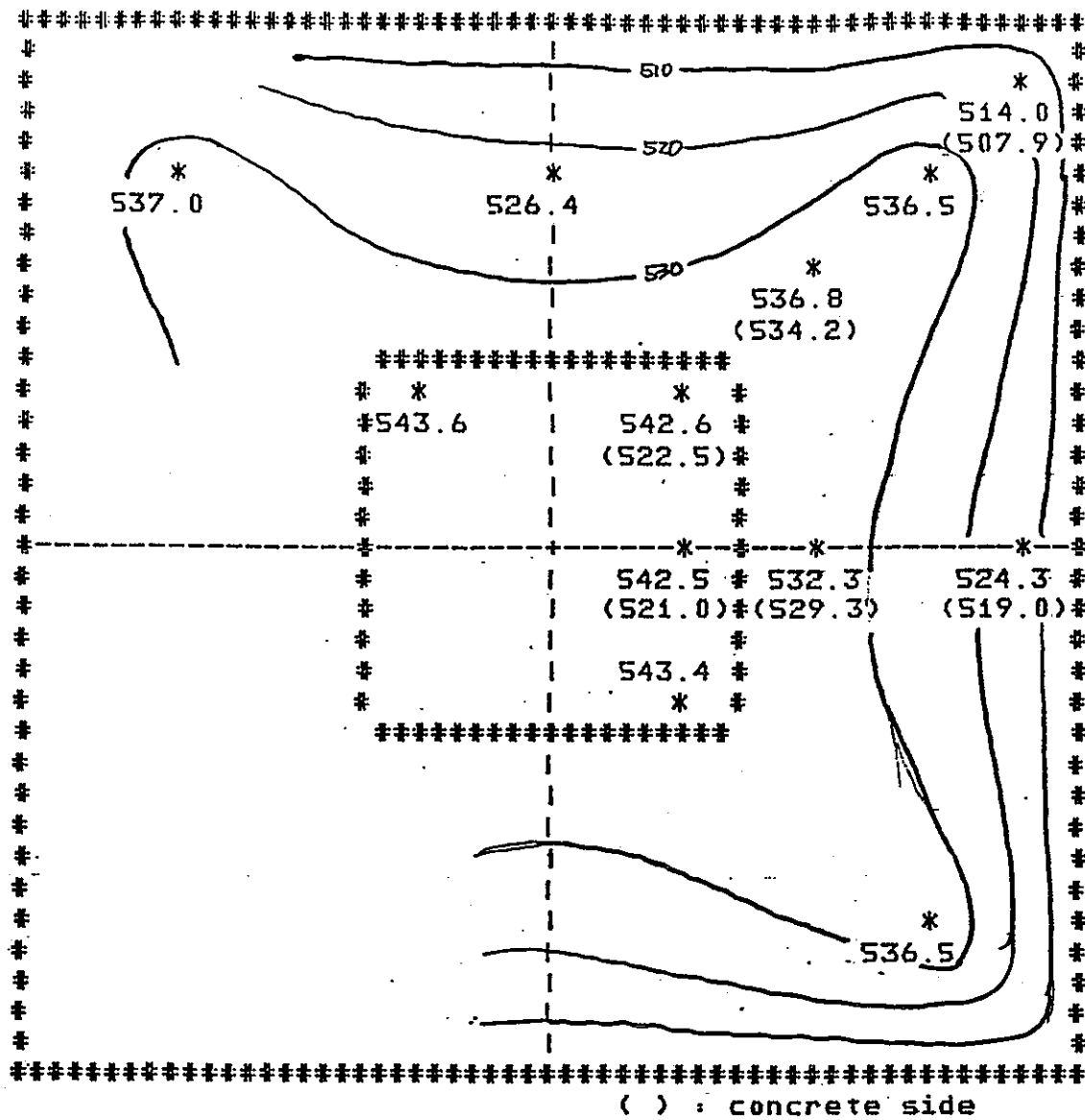
Fig.2.4.2-4 溫度分佈 (昇温途上 ; Time = 1:00)

Fig.2.4.2-4 Temperature Distribution (During Heating ; Time = 1:00)

DATE = 59. 3. 14
TIME = 20: 0 0'

61

LINER-TEMPERATURE (deg.-C)



CONCRETE-TEMPERATURE (deg.-C)

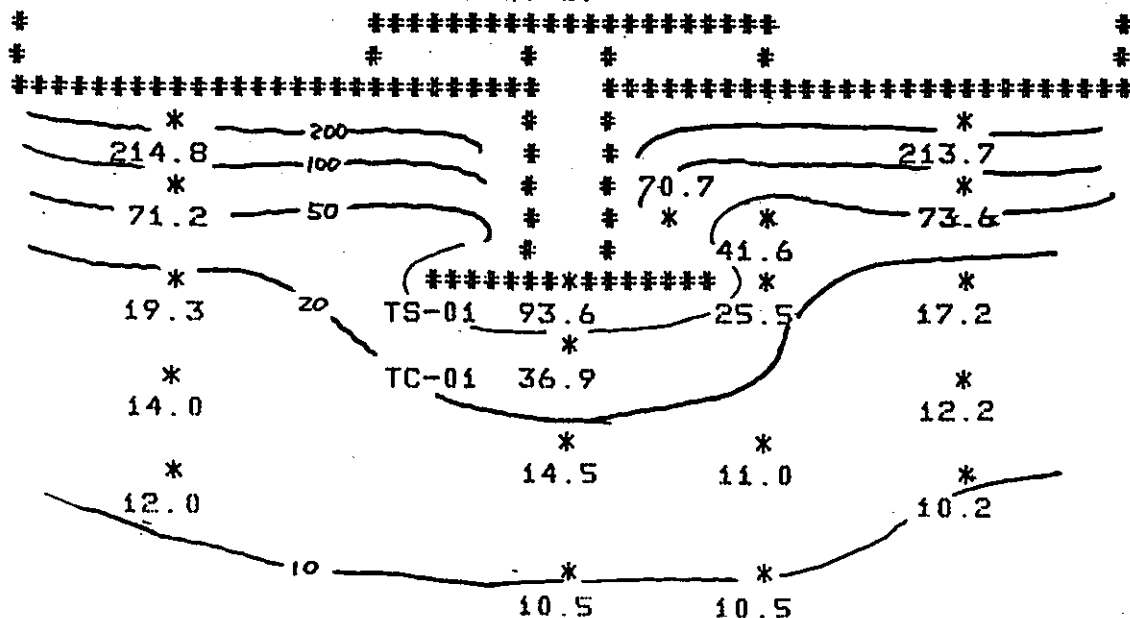


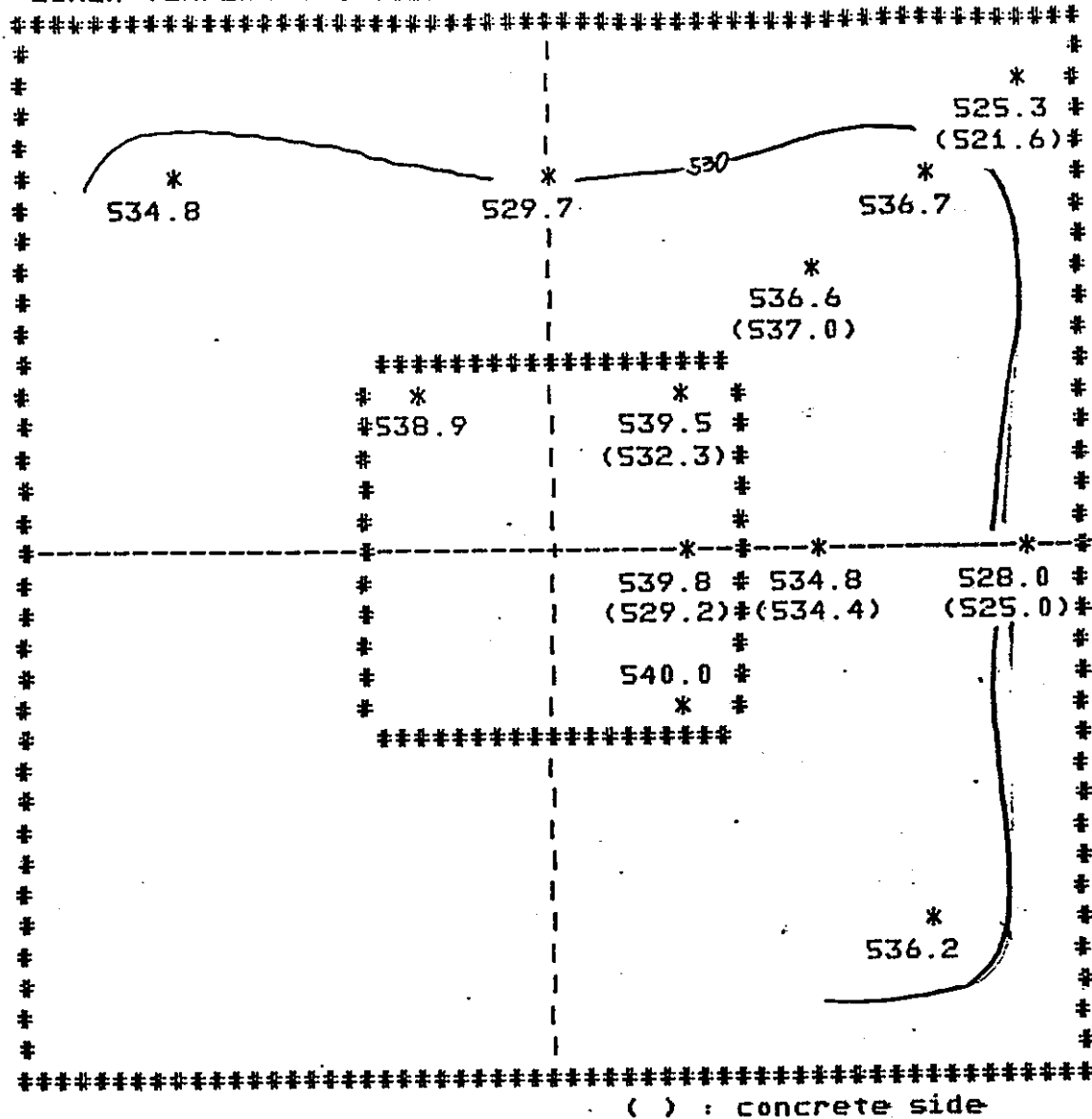
Fig. 2.4.2-5 溫度分布 (530°C 到達後 ; Time = 4:00)

Fig. 2.4.2-5 Temperature Distribution (After heating up to 530°C; Time = 4:00)

62

DATE = 59. 3.15
TIME = 16: 0 0'

LINER-TEMPERATURE (deg.-C)



CONCRETE-TEMPERATURE (deg.-C)

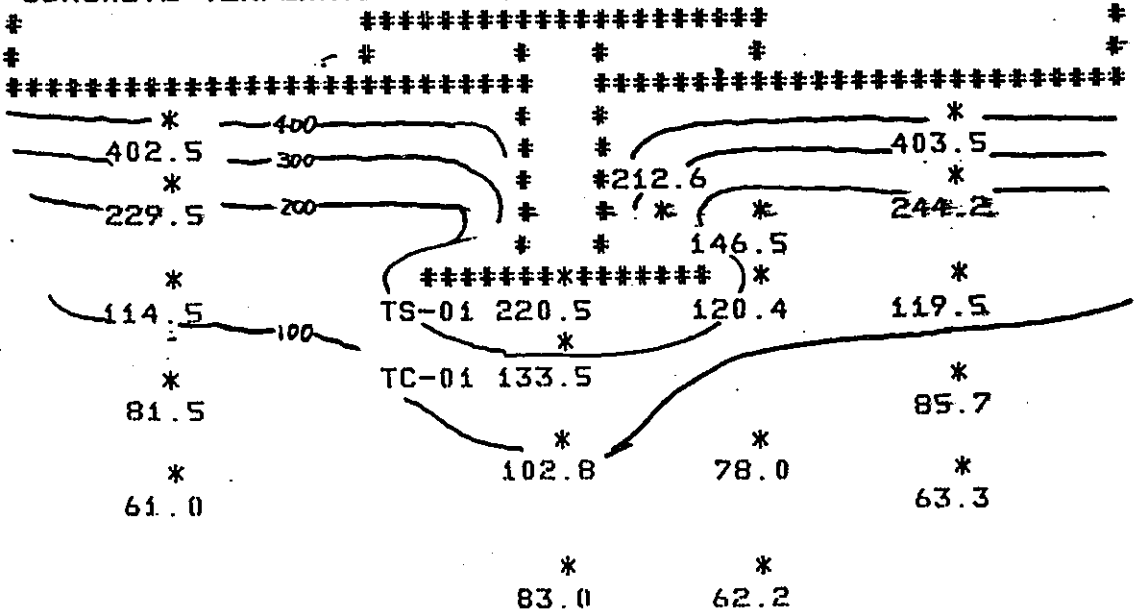


Fig. 2.4.2-6 溫度分佈 (E-9 OFF直前 : Time = 24:00)

Fig. 2.4.: -6 Temperature Distribution (Just before Heater Off; Time = 24:00)

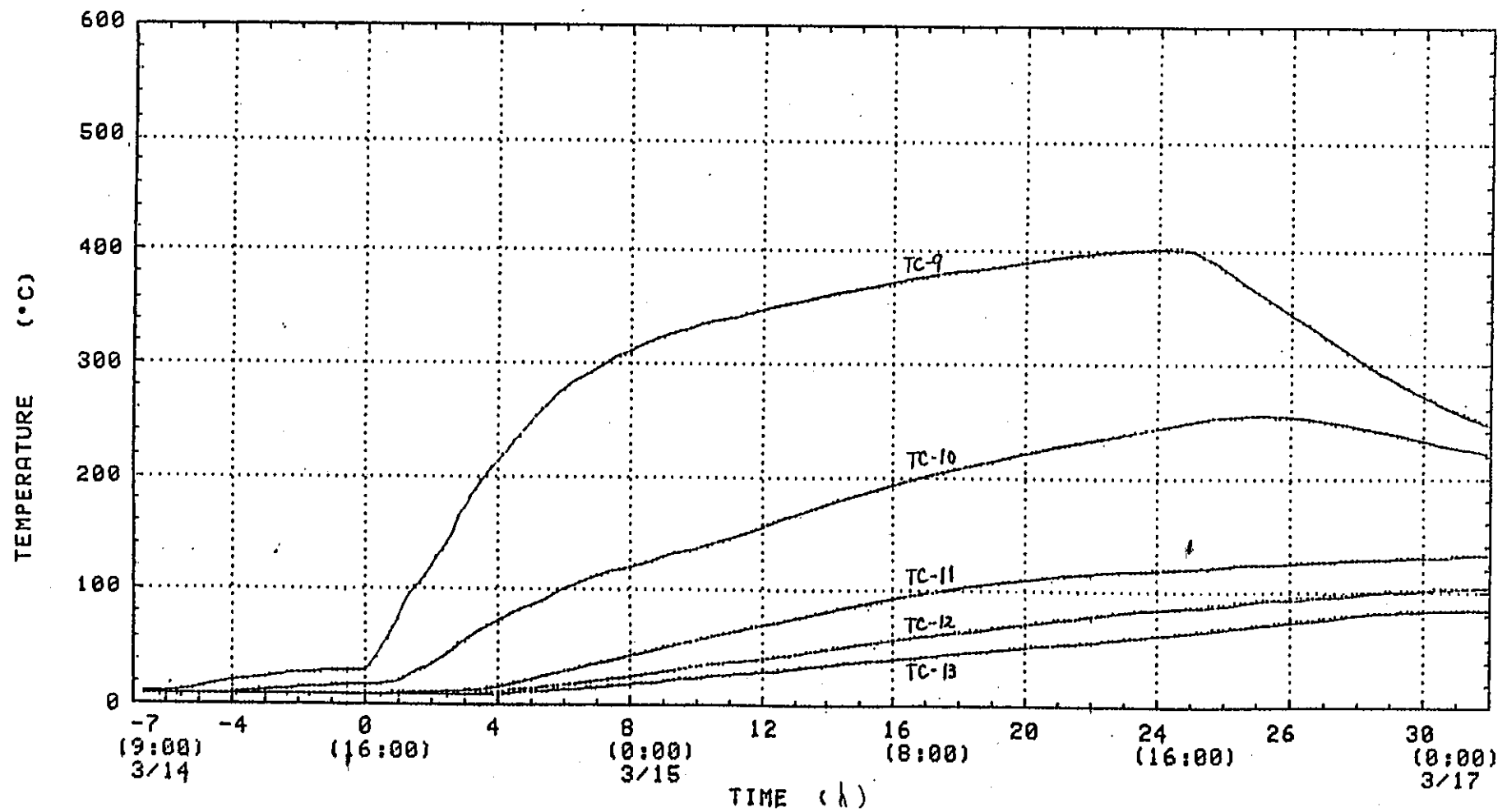


Fig. 2.4.2-7 温度の変化 (TC-9~13)

Fig. 2.4.2-7 Temperature Record of the Concrete (TC-9~13)

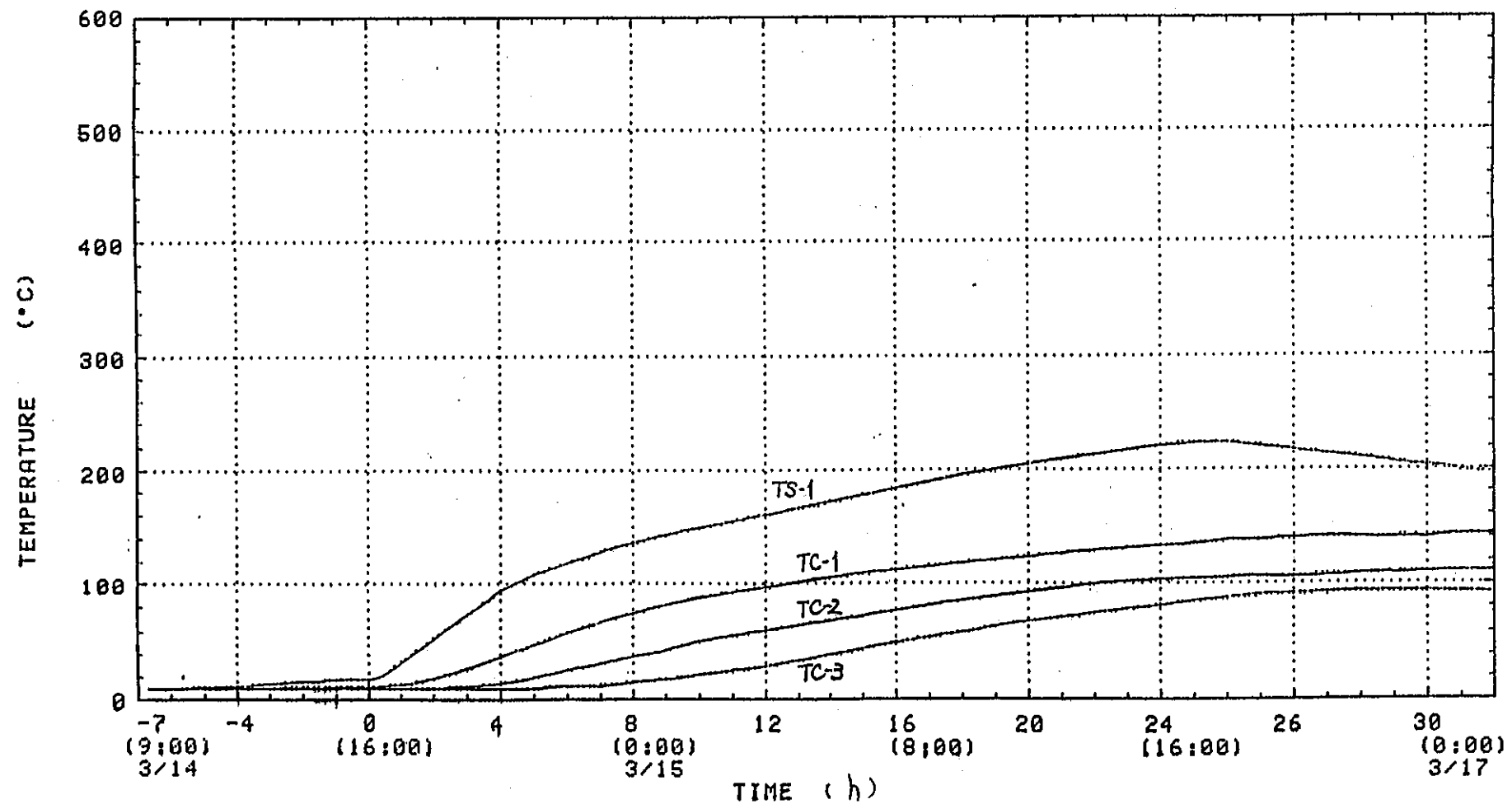


Fig. 2.4.2-8 3271-トの温度の変化 (TC-1,2,3, TS-1)

Fig. 2.4.2-8 Temperature Record of the Concrete (TC-1,2,3; TS-1)

Test Mode	RUN-1
Average Liner Temp.	66.3°C

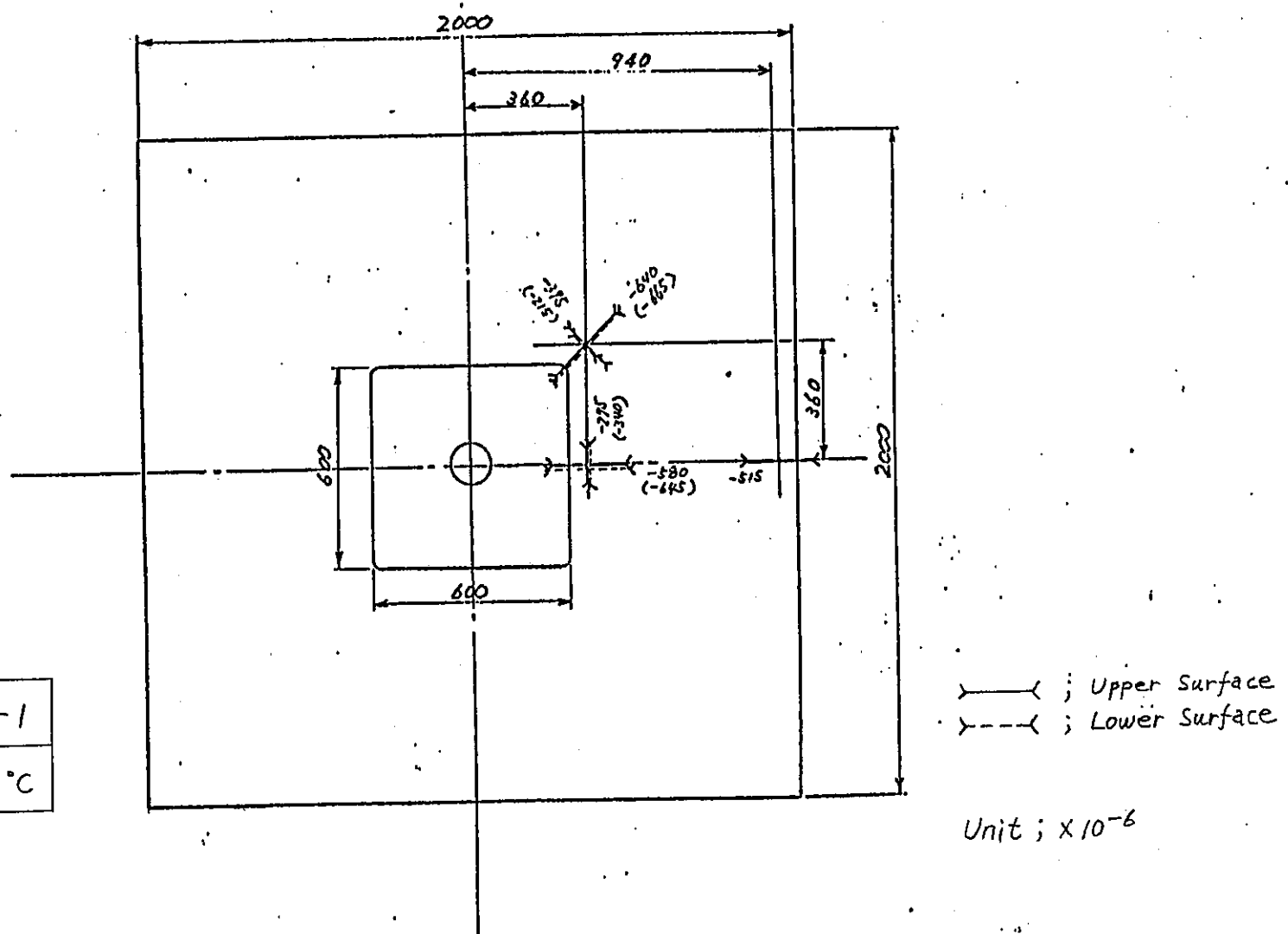
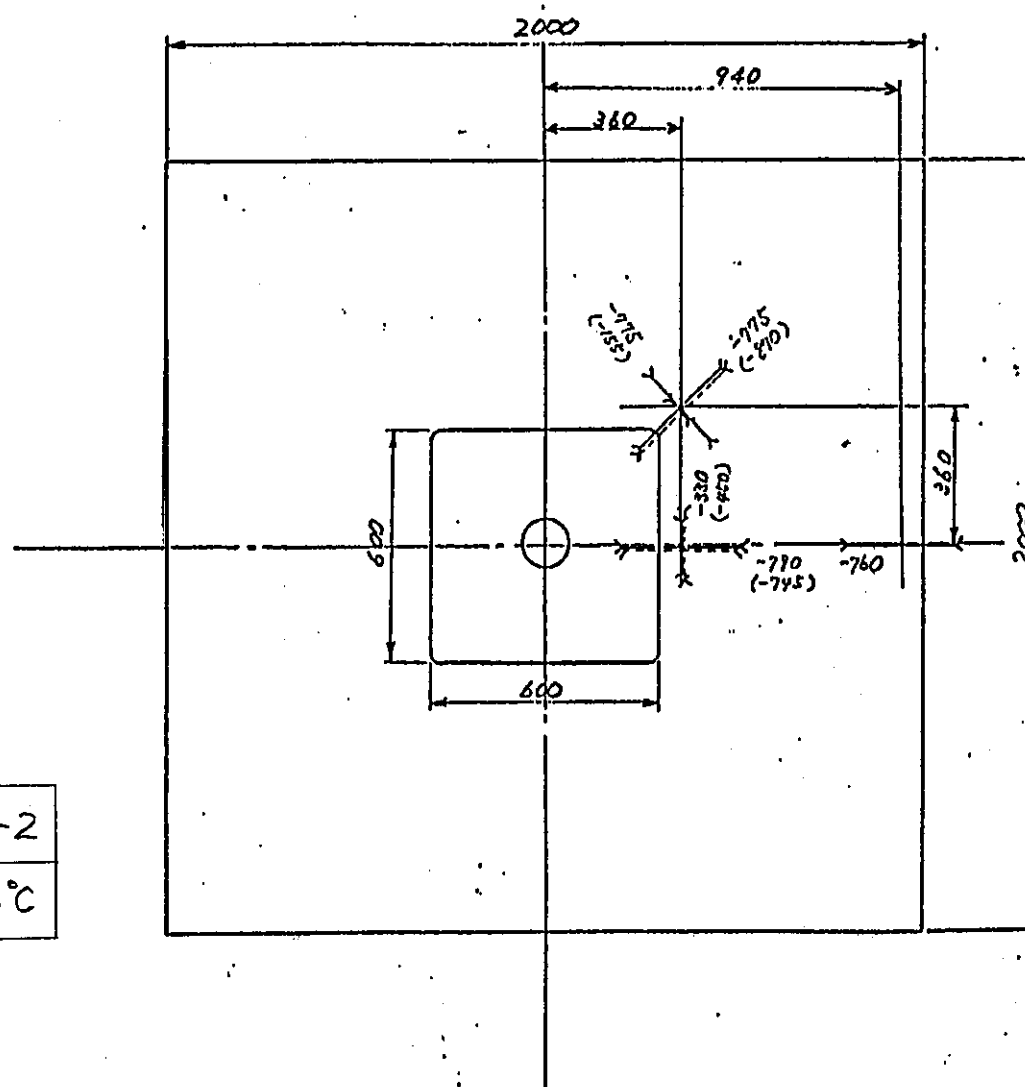


Fig. 2.4.3-1 ライナフレートの歪み測定値 (RUN-1)
 Fig. 2.4.3-1 Observed Strain of the Liner Plate. (RUN-1)

Test Mode	RUN-2
Average Liner Temp.	86.6°C



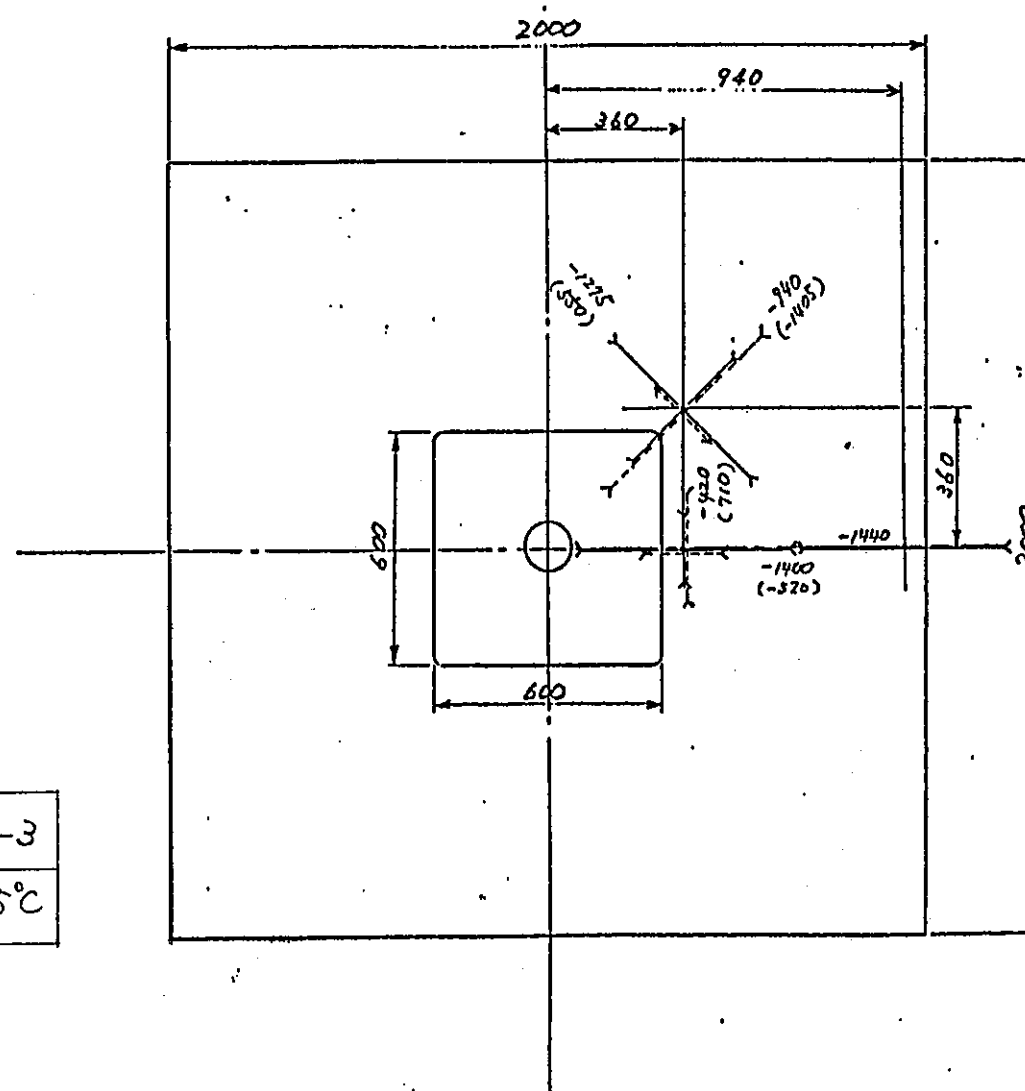
— ; Upper Surface
— ; Lower Surface

Unit; $\times 10^{-6}$

Fig. 2.4.3-2 ライナプレートの歪み測定値 (RUN-2)

Fig. 2.4.3-2 Observed Strain of the Liner Plate (RUN-2)

Test Mode	RUN-3
Average Liner Temp.	121.5°C

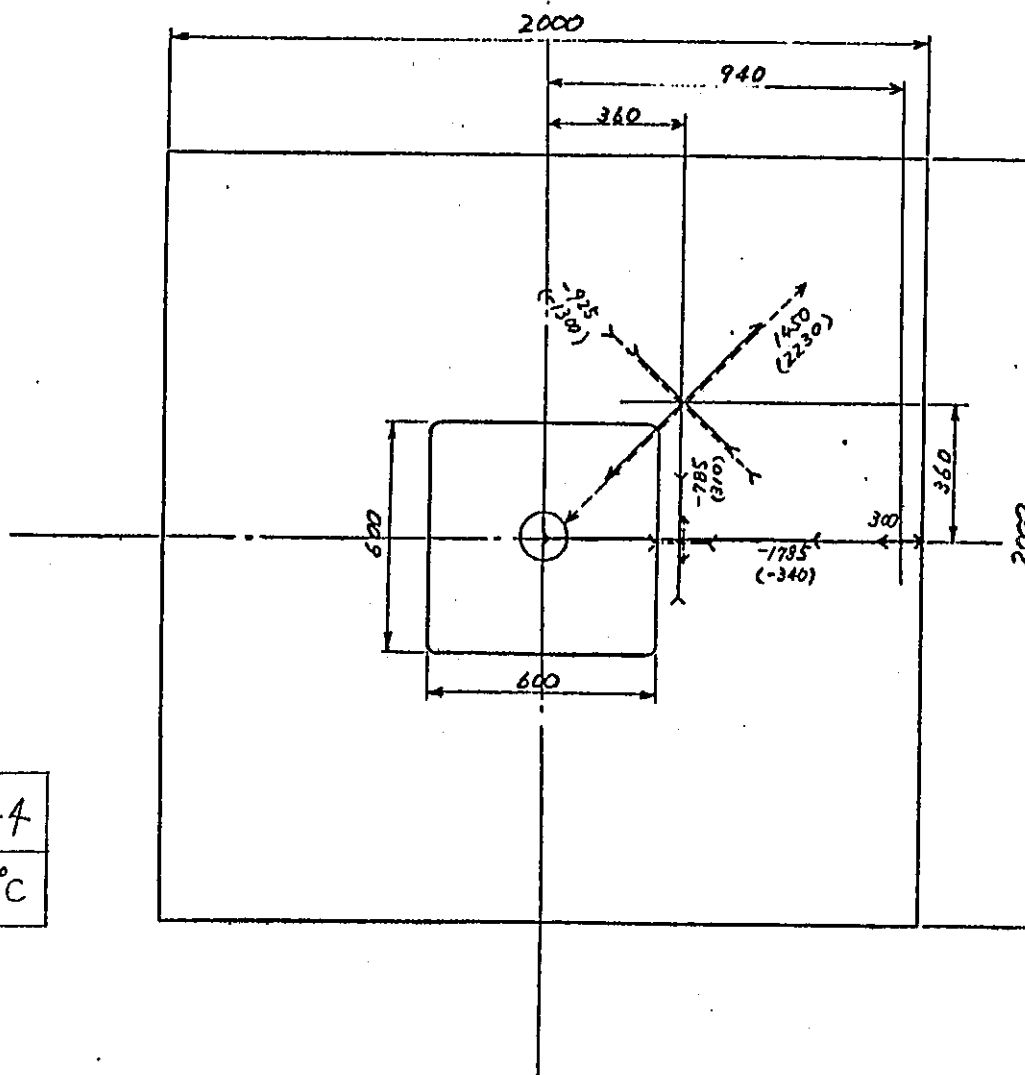


— ; Upper Surface
- - - ; Lower Surface

Fig. 2.4.3-3 ライナープレートの歪み測定値 (RUN-3)

Fig. 2.4.3-3 Observed Strain of the Liner Plate (RUN-3)

Test Mode	RUN-4
Average Liner Temp.	530°C



— ; Upper Surface
 - - - ; Lower Surface

Fig. 2.4.3-4 ライナーリートの歪み測定値 (RUN-4)

Fig. 2.4.3-4 Observed Strain of the Liner Plate (RUN-4)

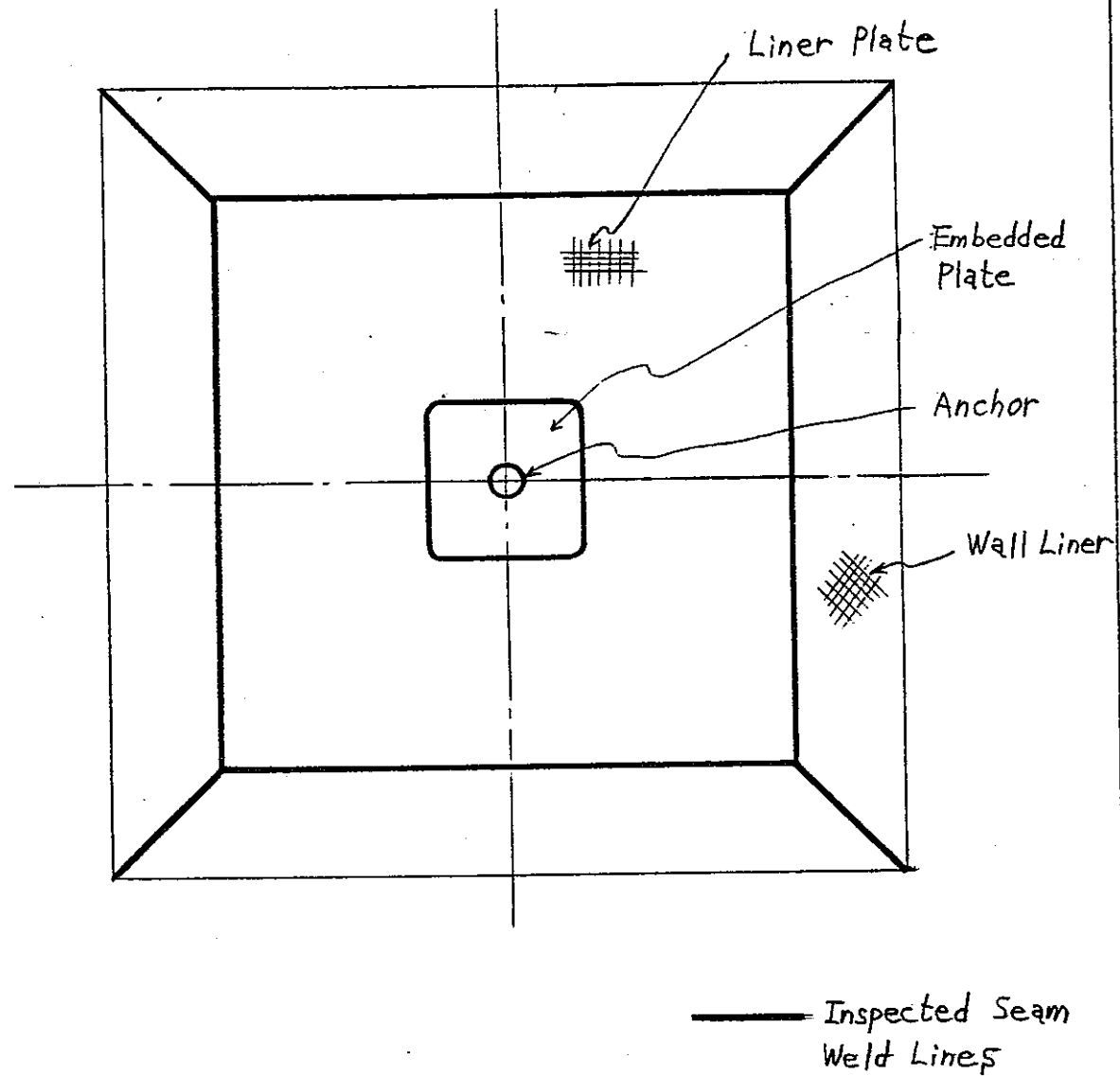


Fig. 2.4.4-1

ライナ溶接部検査位置図

Fig. 2.4.4-1

Seam Weld Lines and Liner Plate Inspected
at Post-Test Examinations

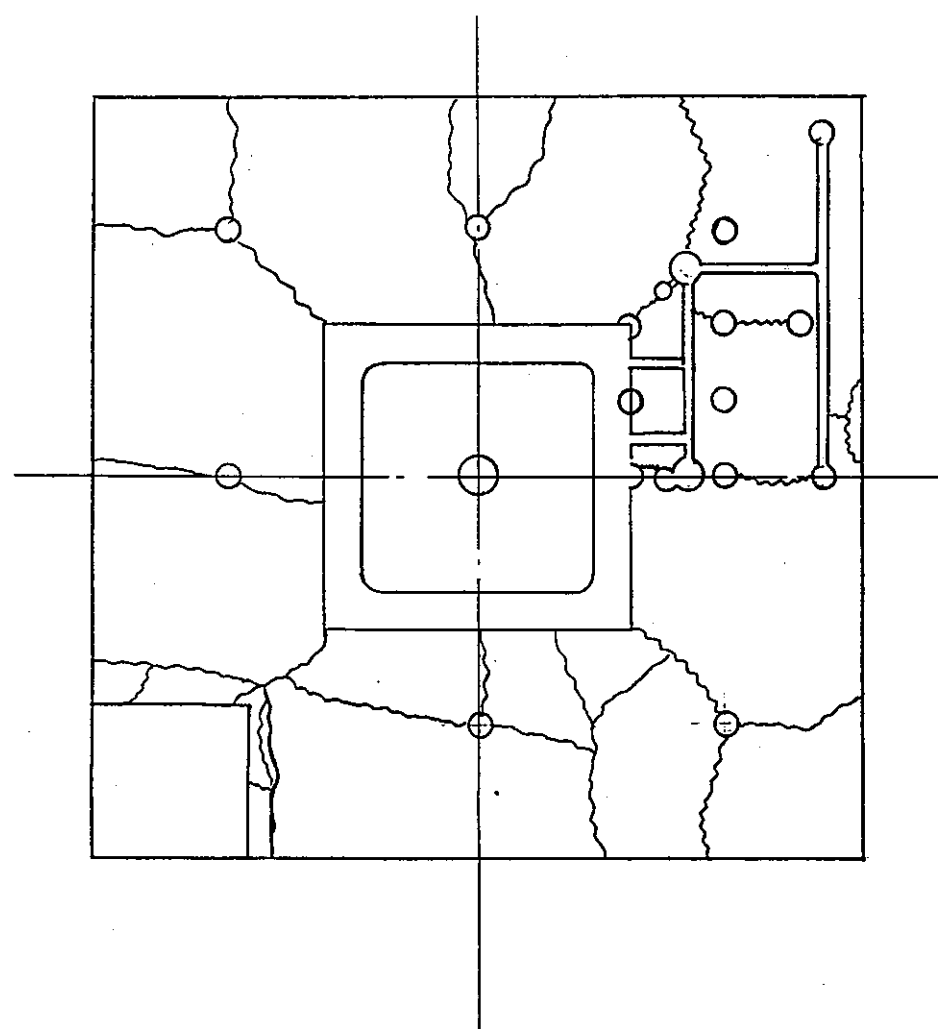


Fig.2.4.4-2 耐熱コンクリートの表面クラックのスケッチ

Fig.2.4.4-2 Sketch of Cracks on the Heat Resisting Concrete

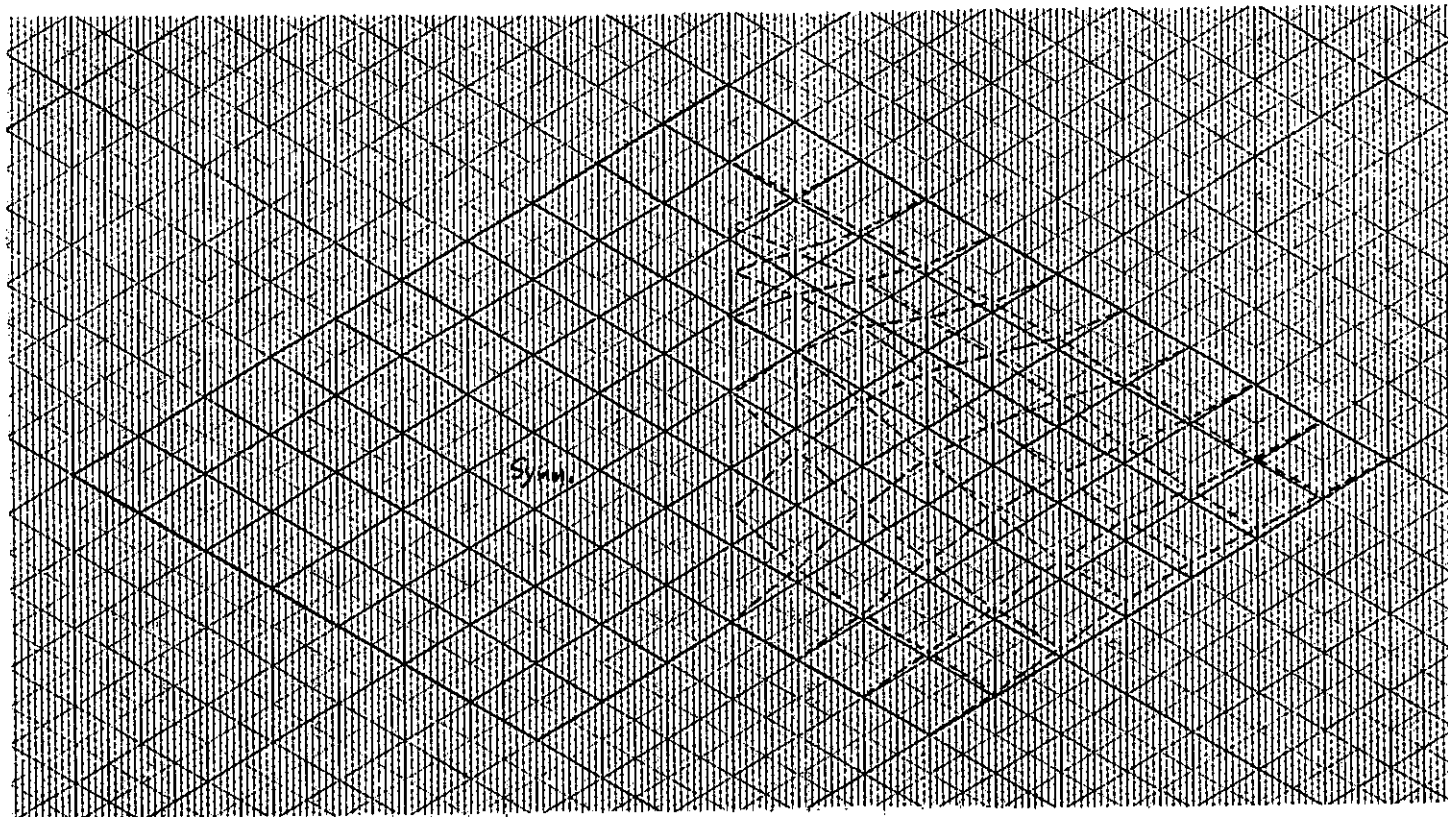


Fig.2.5.1-1 弾塑性大変形熱屈屈解析によるリネルプレートの変形モード

Fig.2.5.1-1 Buckling Mode of the Liner Plate by Elasto-Plastic Large Displacement Thermal Buckling Analysis

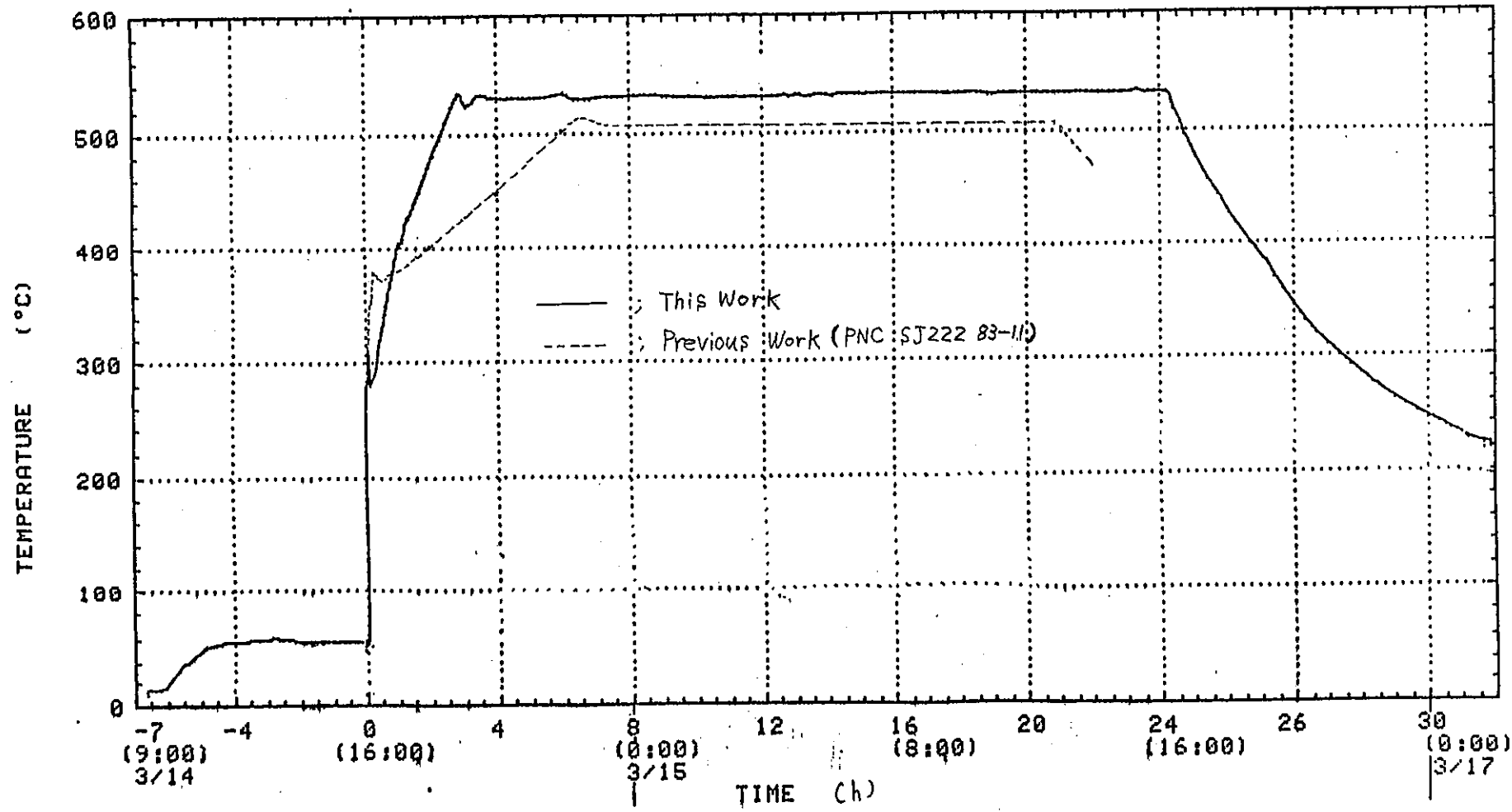


Fig. 2.5.2-1 ライナ温度経時変化；前回試験と今回試験の比較

Fig. 2.5.2-1 Transitional Temperature of Liner: Comparison between Previous and This Work

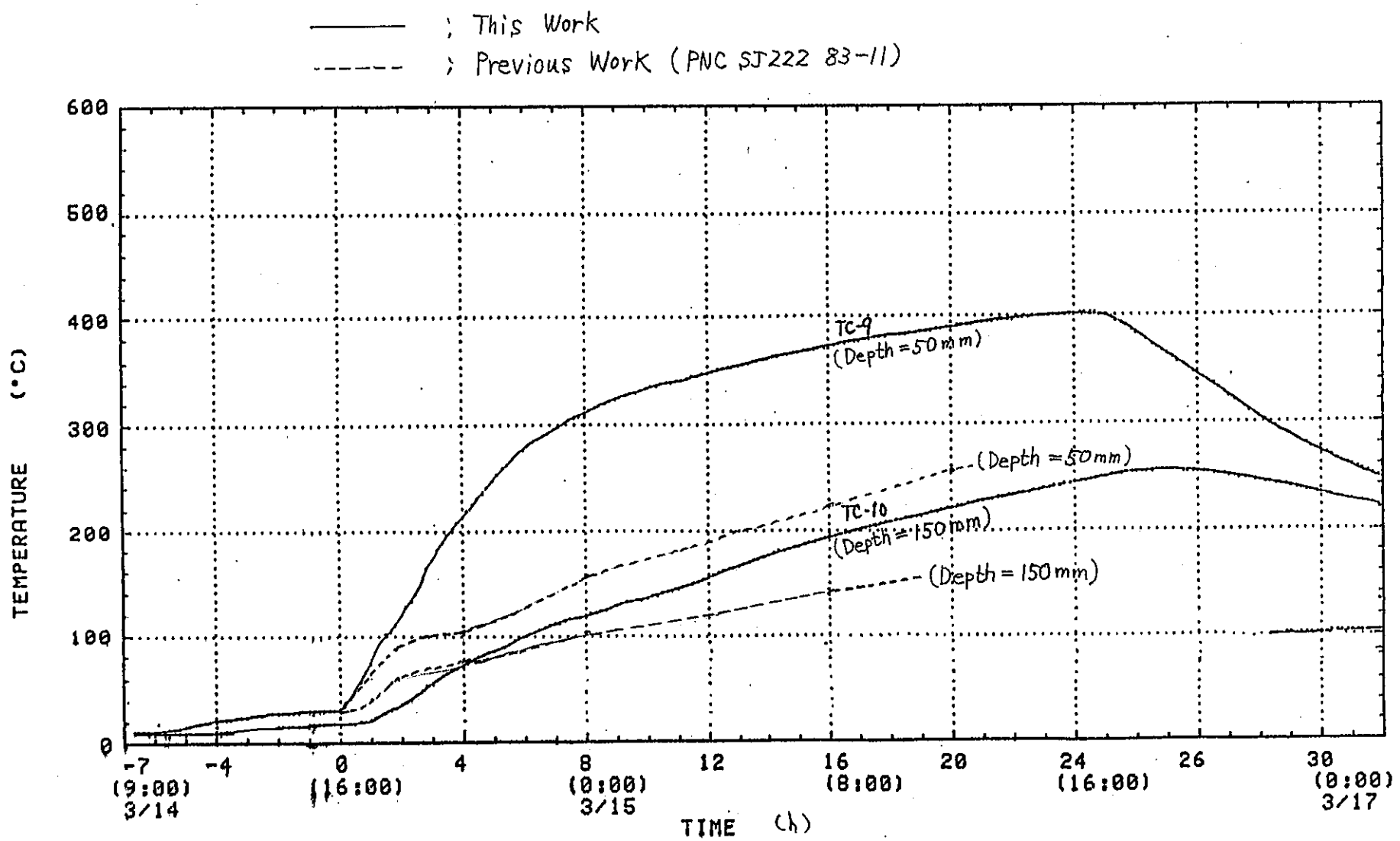


Fig. 2.5.2-2 コンクリート温度経時変化；前回実験と今回実験、CC段

Fig. 2.5.2-2 Transitional Temperature of Concrete; Comparison between Previous and This Work

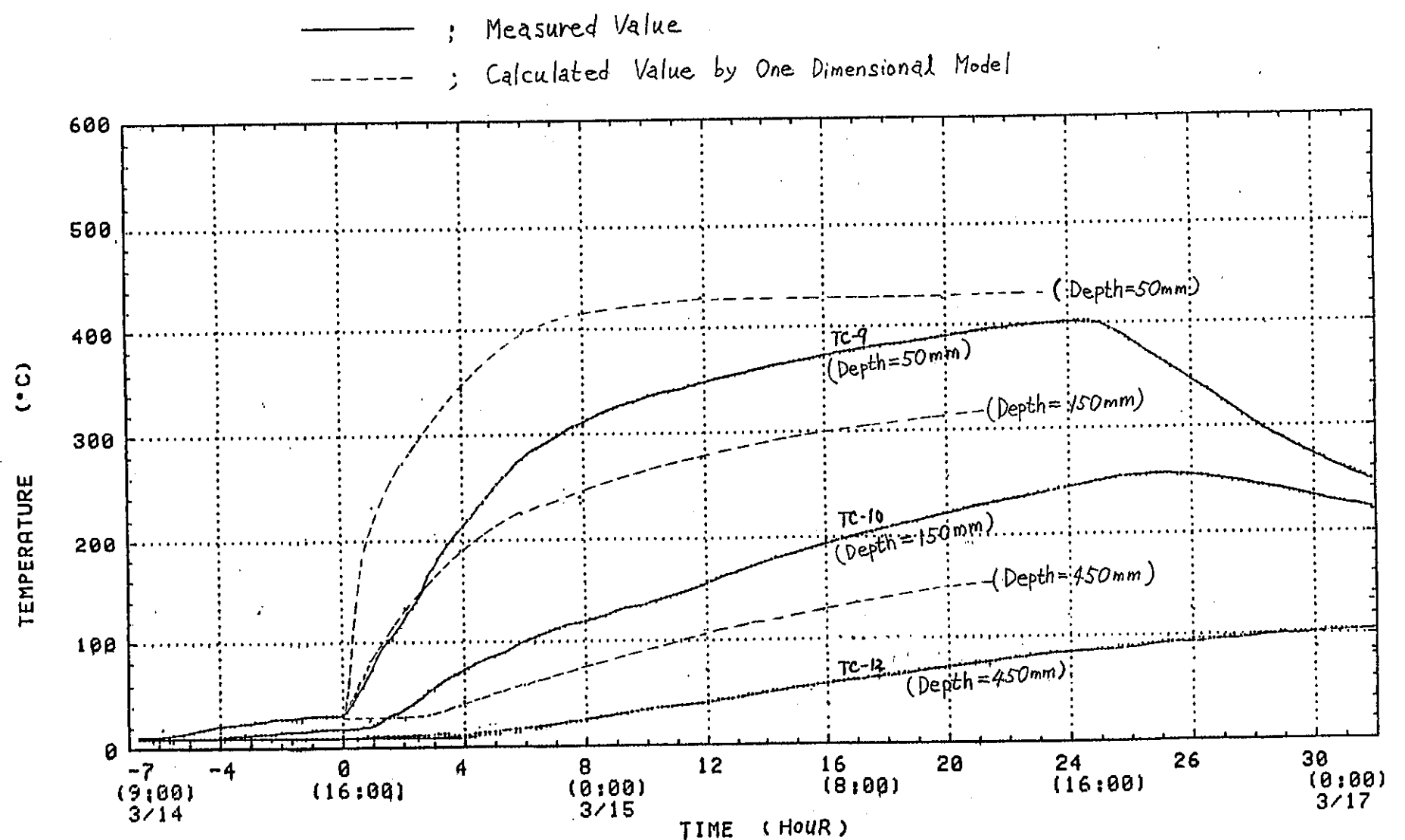
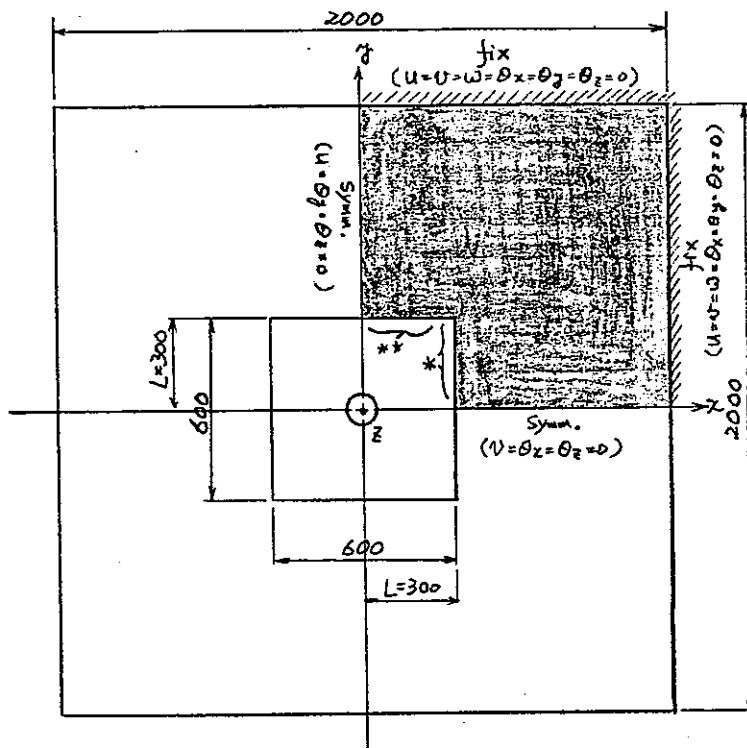


Fig.2.5.2-3 コンクリート温度変化時間 ; 実験値と計算値の比較

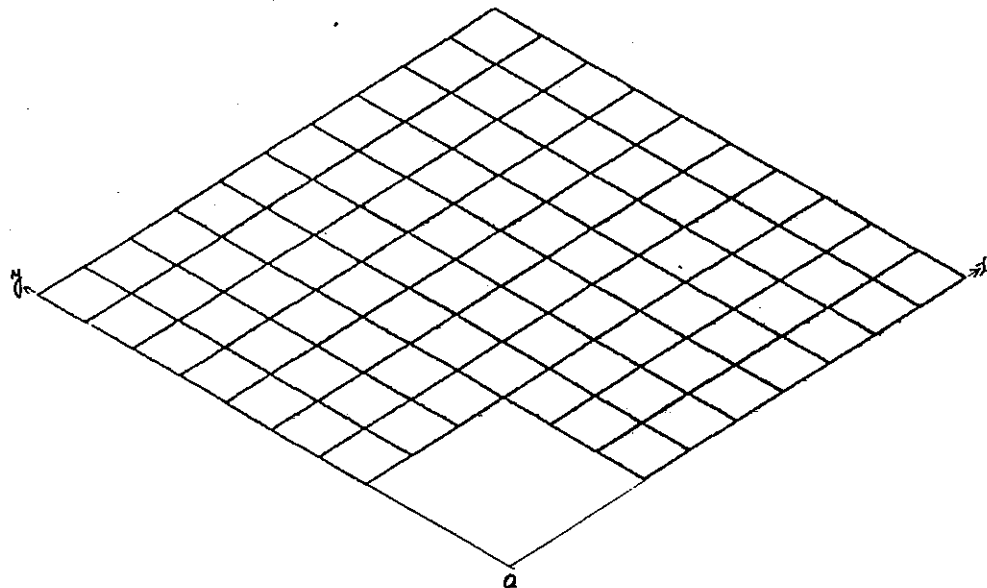
Fig. 2.5.2-3 Transitional Temperature of Concrete ; Comparison Between Calculation and Experiment



* $w = \theta_x = \theta_y = \theta_z = 0$
 $u = x \cdot d \cdot T = L \cdot d \cdot T$
 $v = y \cdot d \cdot T$

** $w = \theta_x = \theta_y = \theta_z = 0$
 $u = x \cdot d \cdot T$
 $v = y \cdot d \cdot T = L \cdot d \cdot T$

(a) Boundary Conditions



(b) F.E.M. Mesh

Fig.3.2.2-1 解析モデル要素分割図・境界条件

Fig.3.2.2-1 FEM Mesh and Boundary Conditions
of Analysis Model

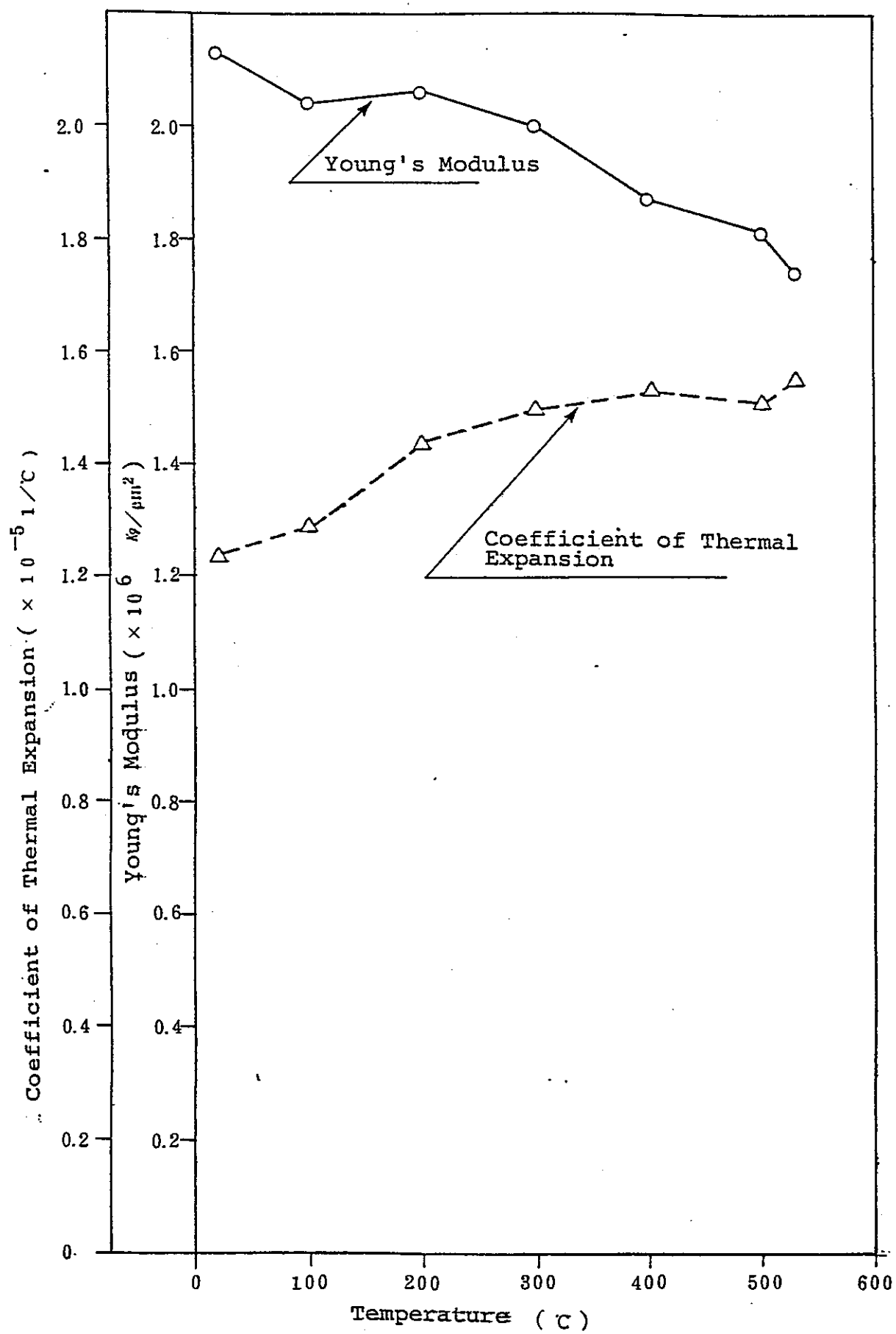


Fig.3.2.2-2 ティナプレート材(SM41B母材)材料強度の温度依存性
 Fig.3.2.2-2 Temperature Dependent of the Physical Properties of the Liner Plate (SM41B Base Metal)

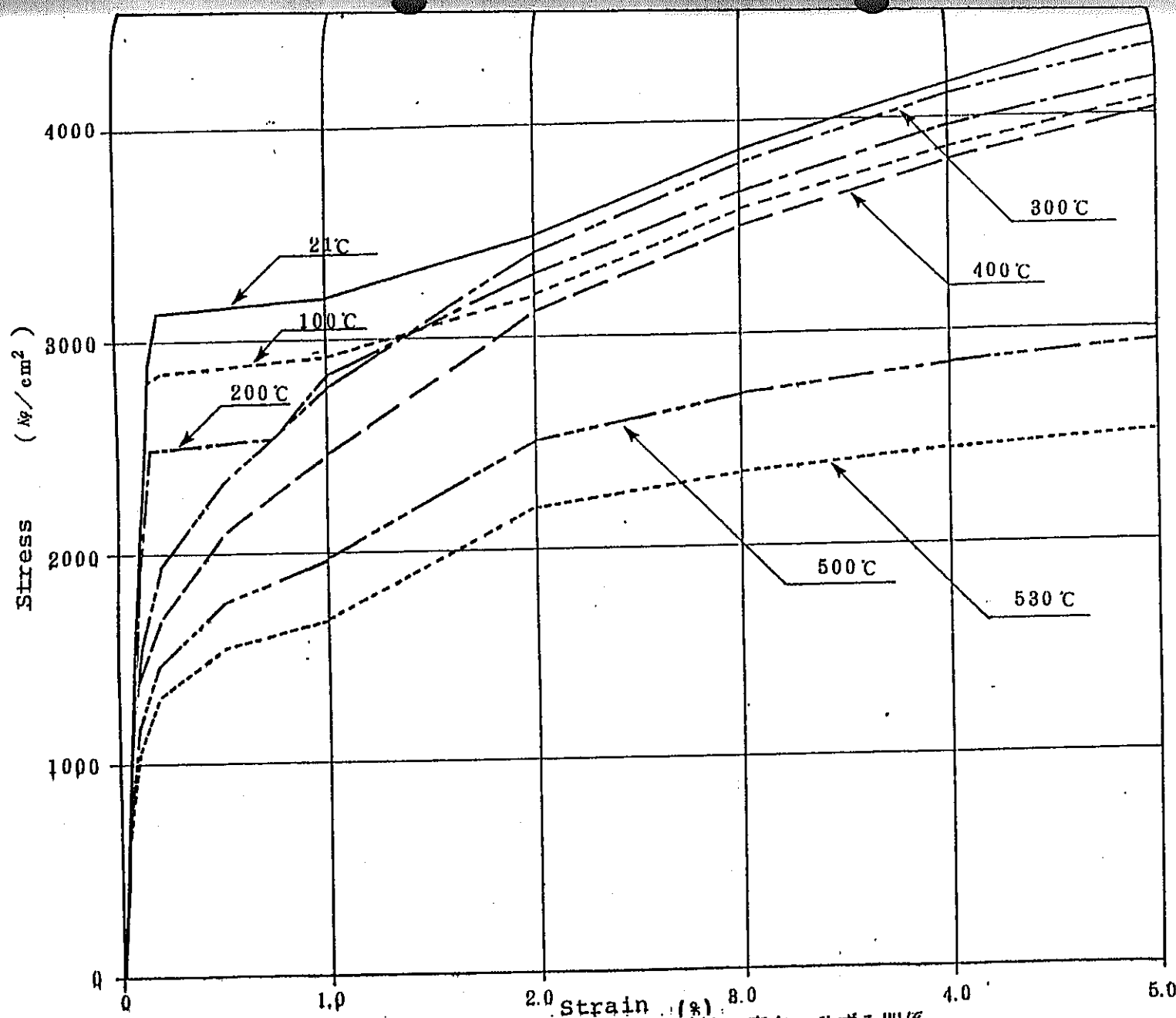
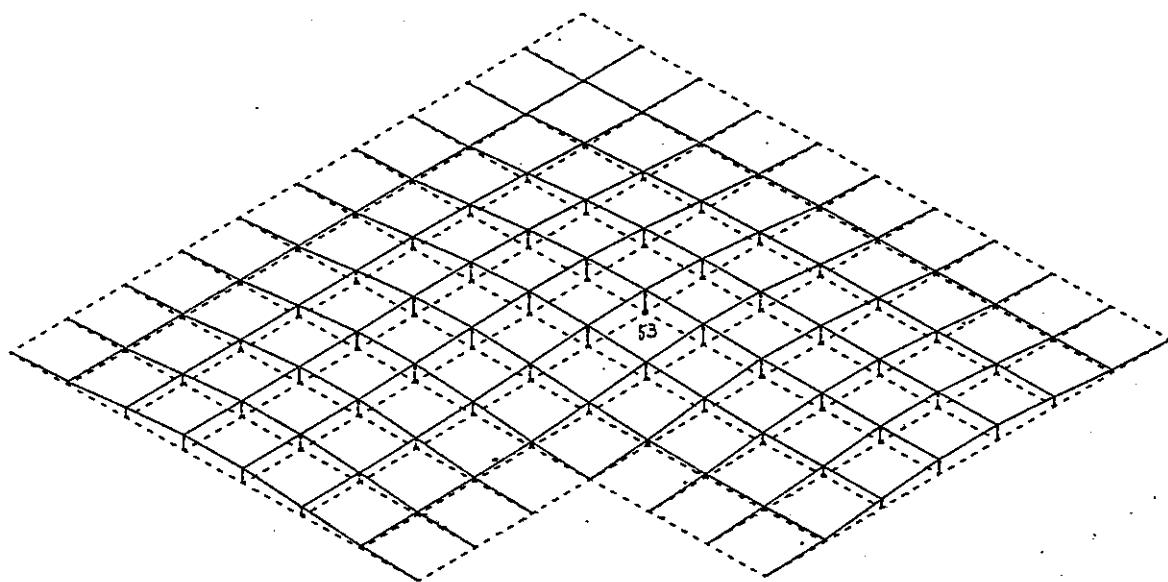


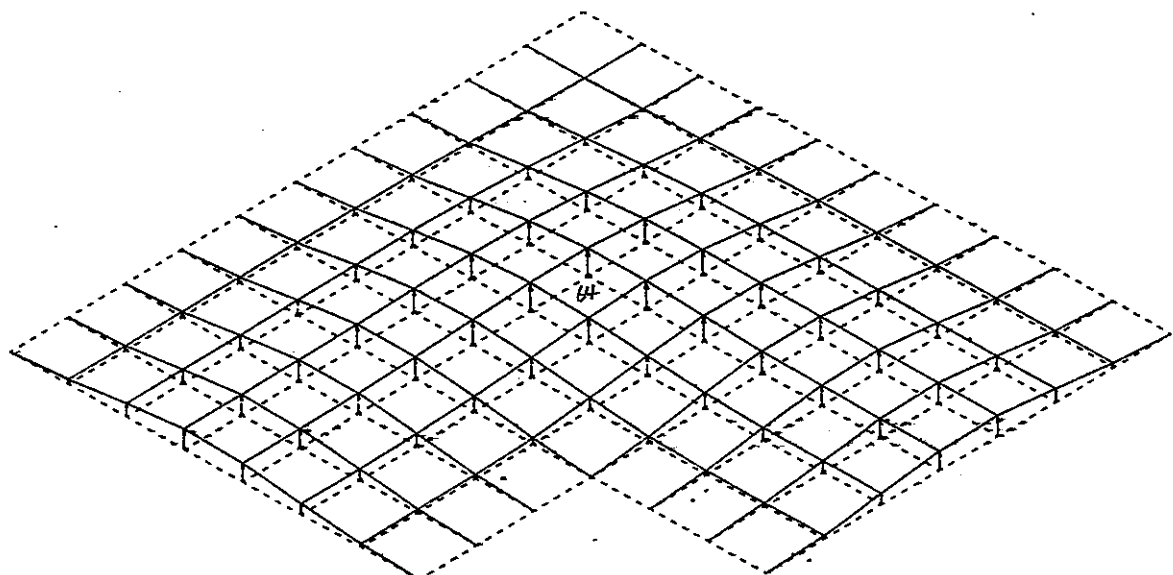
Fig.3.2.2-3
Fig.3.2.2-3

ライナプレート材(SM41B材)の応力-ひずみ関係
Temperature Dependent of the Non-Linear Stress -
Strain Curves Used in Stress Analysis of the
Liner Plate (SM41B Base Metal)



Max. Displacement = 14.2 mm (Node 53)

(a) RUN-1 (66°C)

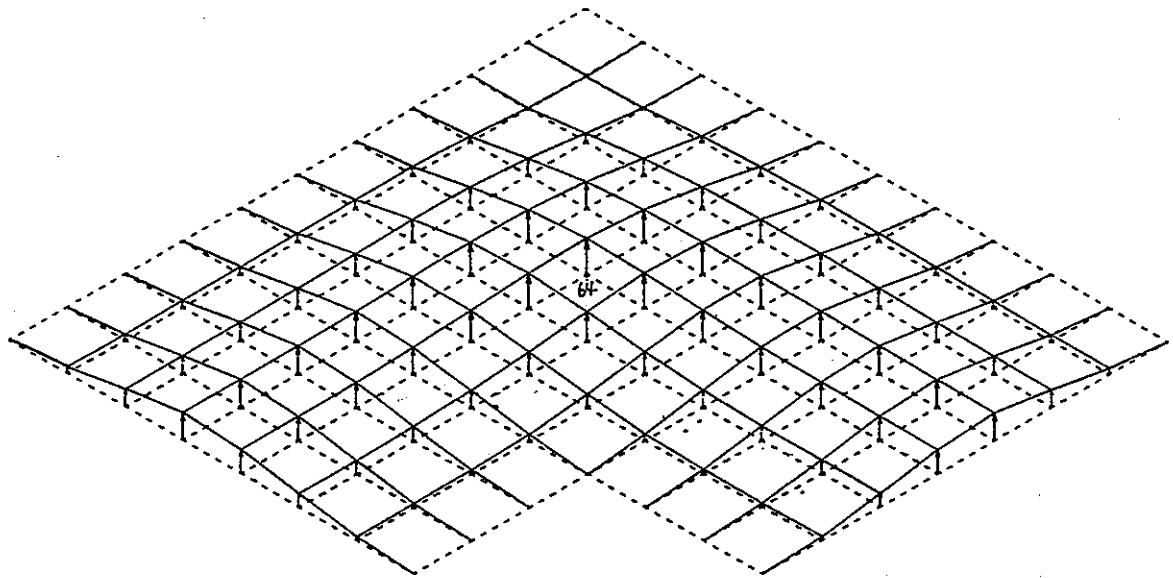


Max. Displacement = 17.9 mm (Node 64)

(b) RUN-2 (86°C)

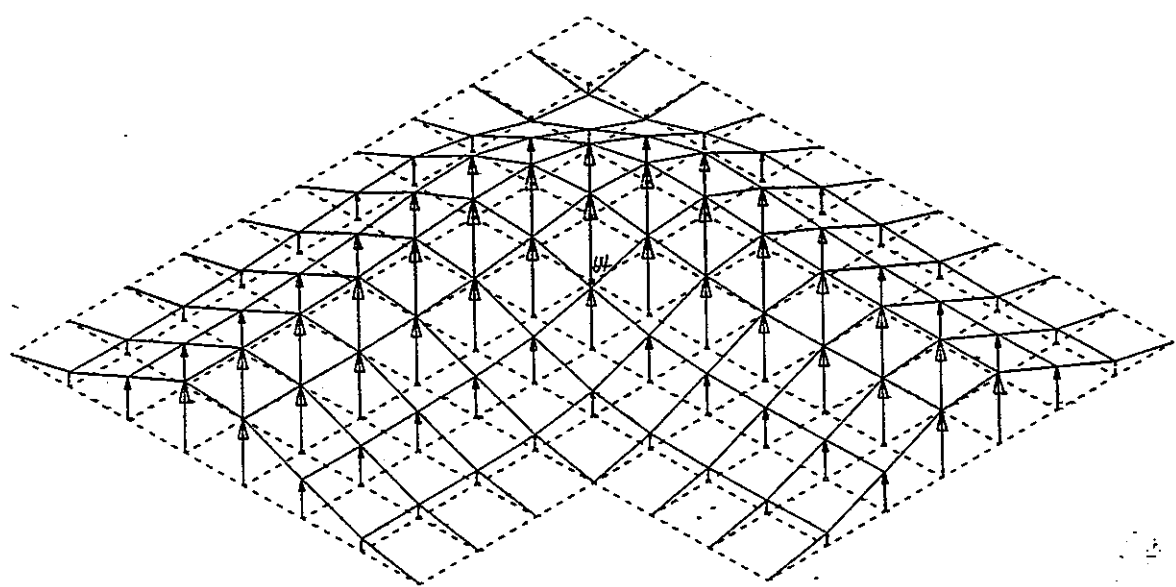
Fig. 3.3.1-1 (1/3) 解析による変位 (RUN-1, RUN-2)

Fig. 3.3.1-1 (1/3) Calculated Out-of-Plane Displacement
of the Liner Plate (RUN-1, RUN-2)



Max. Displacement = 23.2 mm (Node 64)

(c) RUN-3 (121°C)

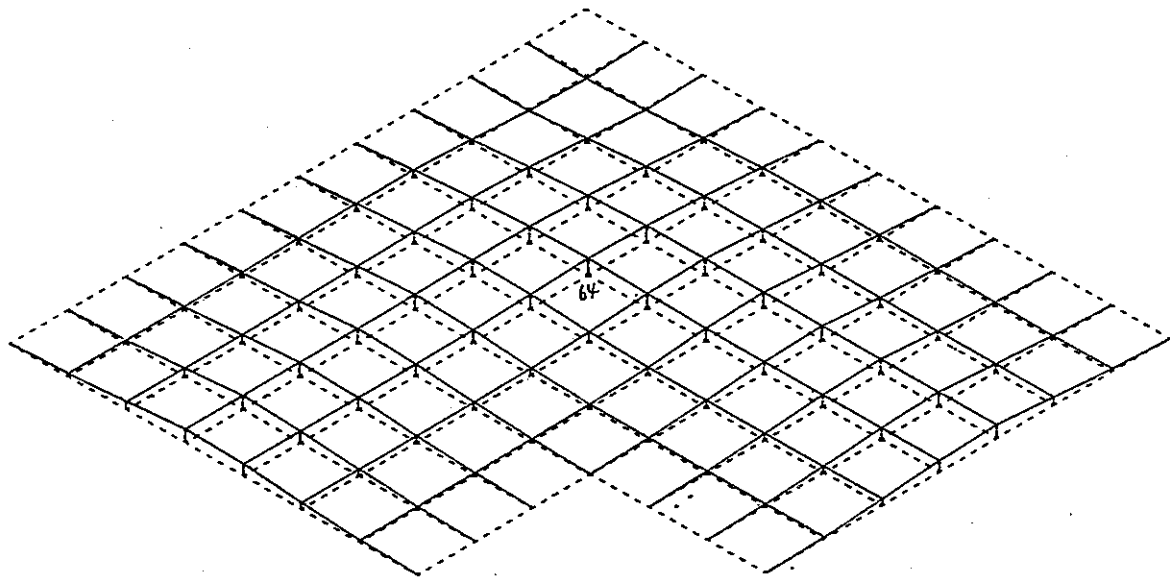


Max. Displacement = 55.8 mm (Node 64)

(d) RUN-4 (530°C)

Fig. 3.3.1-1 (3/3) 解析による変位 (RUN-3, RUN-4)

Fig. 3.3.1-1 (2/3) Calculated Out-of-Plane Displacement
of the Liner Plate (RUN-3, RUN-4)



Max. Displacement = 10.7 mm (Node 64)

(e) After Cool down (14.7°C)

Fig. 3.3.1-1 (3/3) 解析による変位（降温完了後）

Fig. 3.3.1-1 (3/3) Calculated Out-of-Plane Displacement
of the Liner Plate (After Cool down)

ABC/C

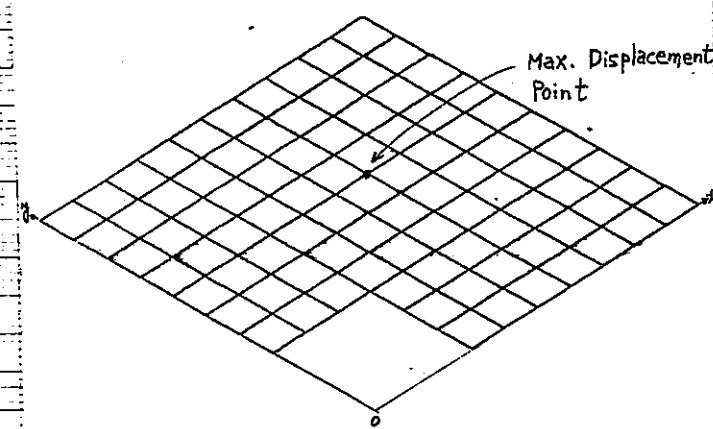
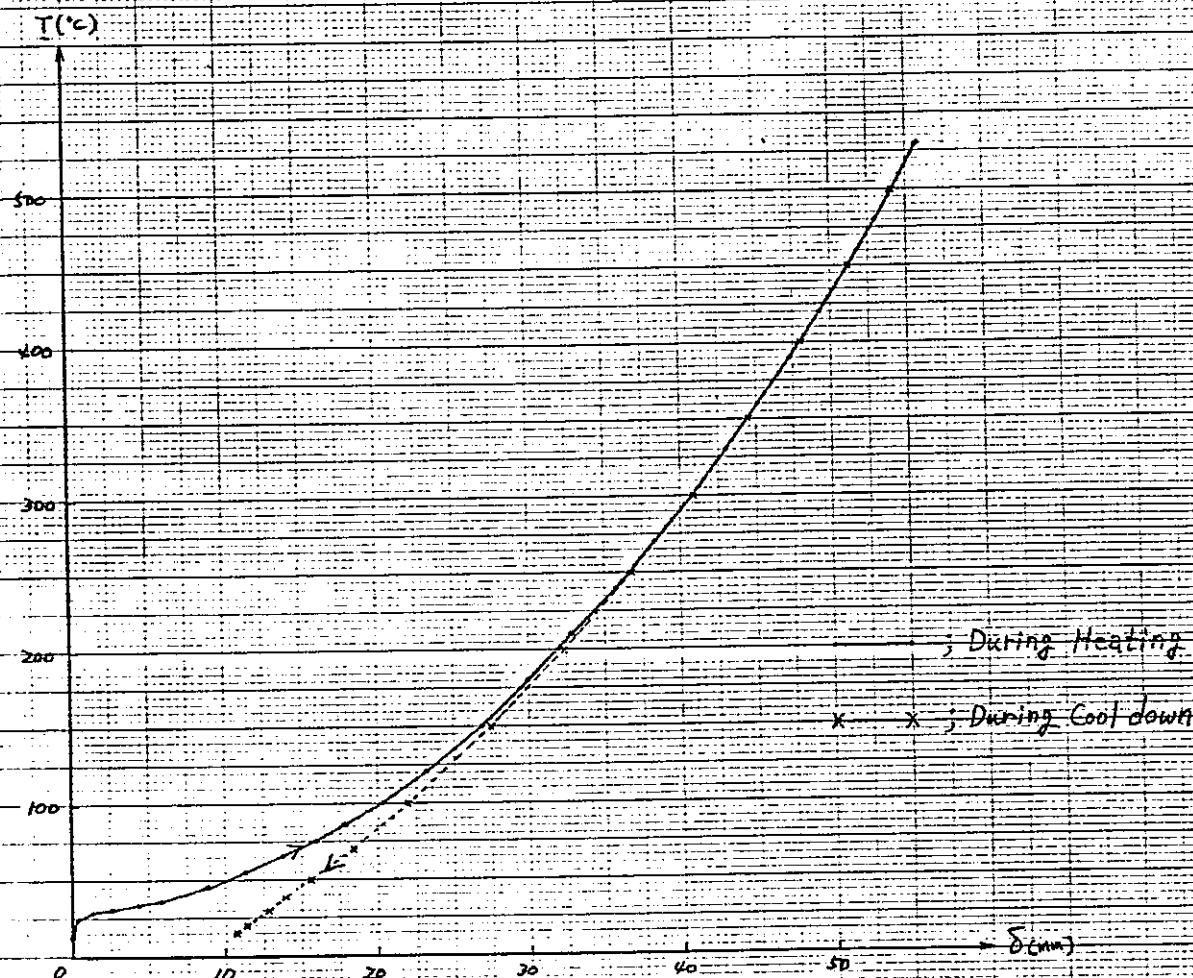
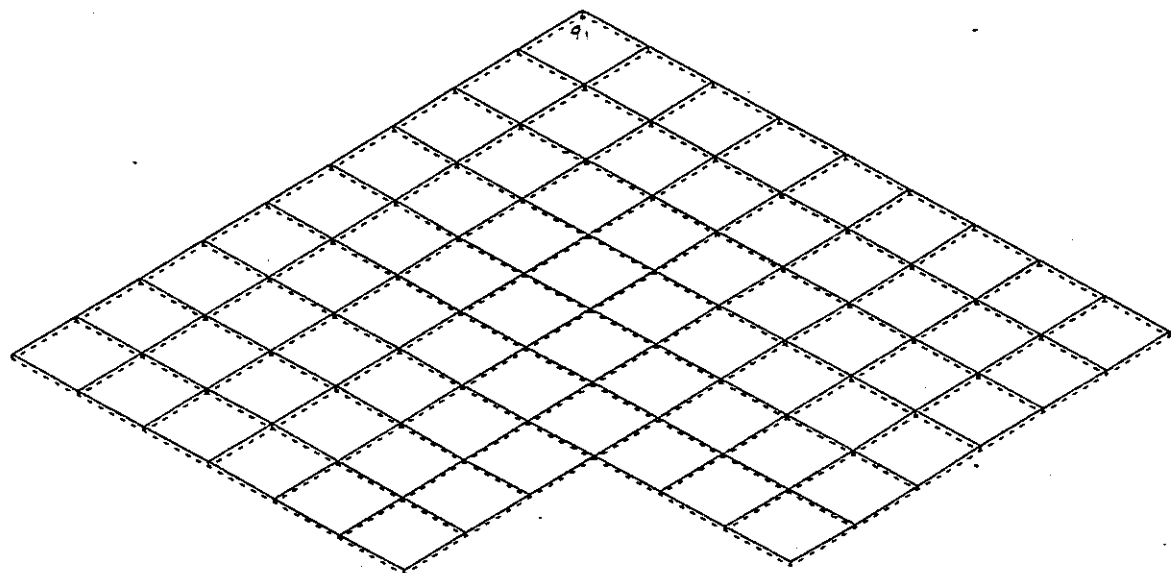


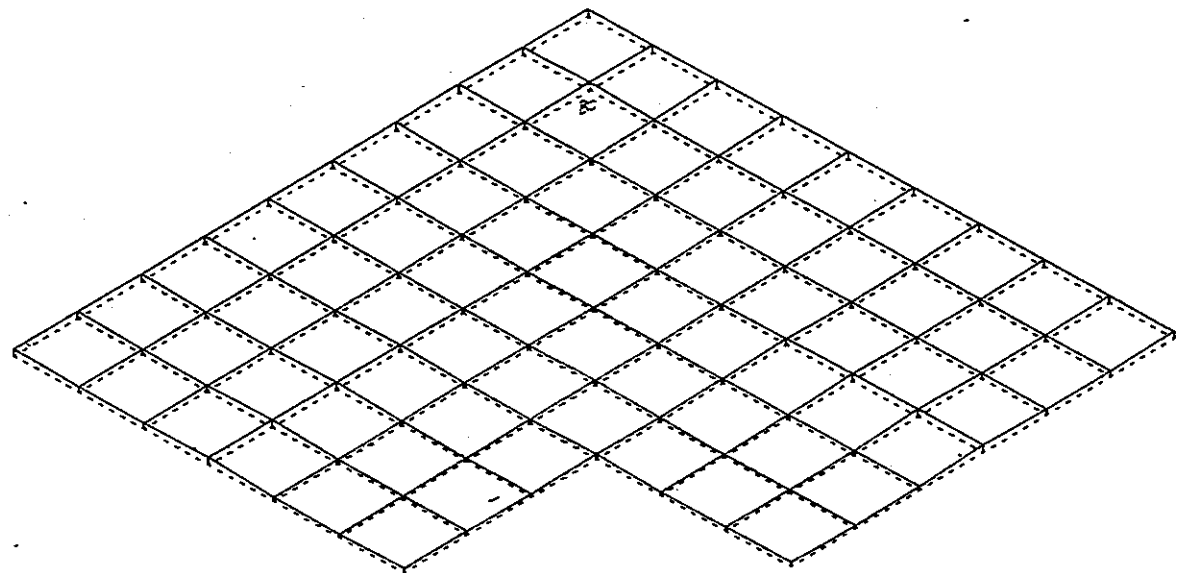
Fig. 3.3.1-2 最大変位点の変位挙動

Fig. 3.3.1-2 Behaviour of Displacement at the Maximum Displacement Point



Max. Strain = 909×10^{-6} (Element 91)

(a) RUN-1 (66°C)

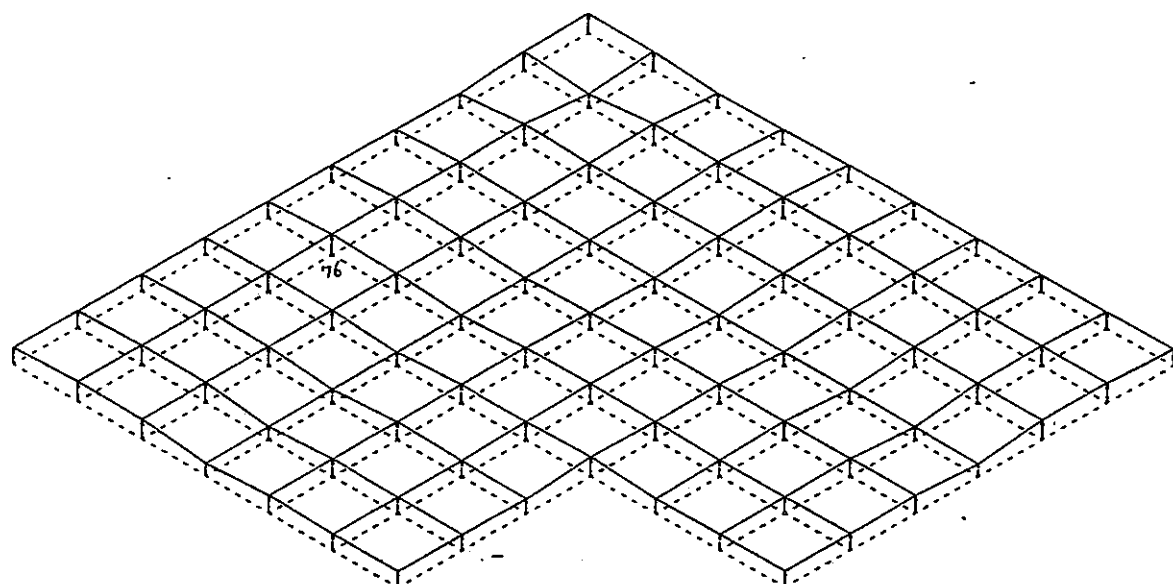


Max. Strain = 1341×10^{-6} (Element 80)

(b) RUN-2 (86°C)

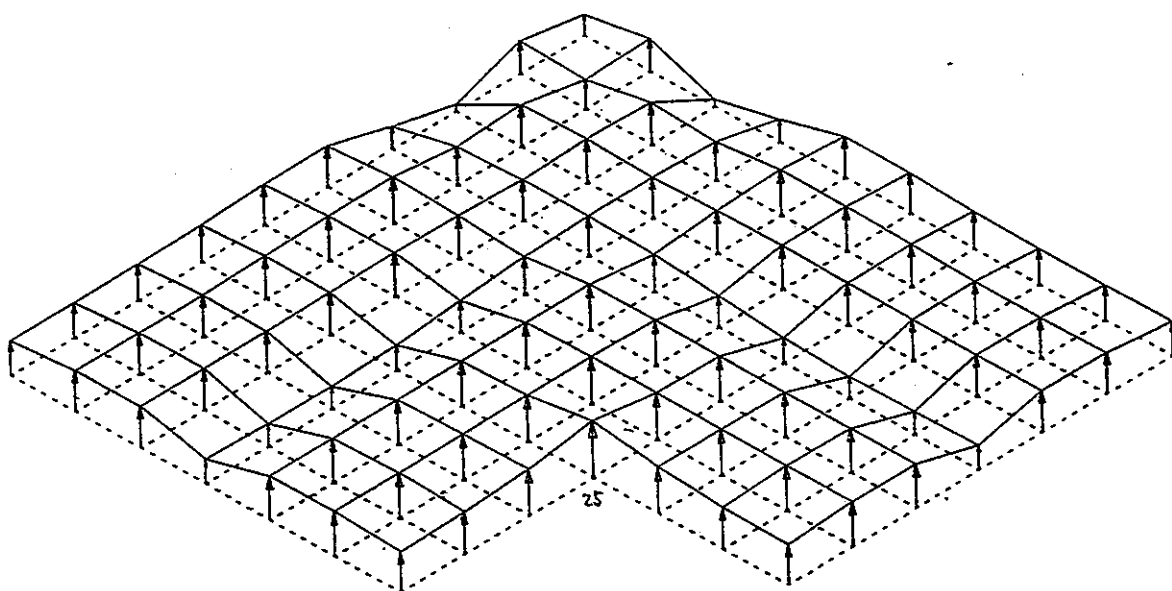
Fig. 3.3.2-1 (1/3) 解析による等価膜歪計 (RUN-1, RUN-2)

Fig. 3.3.2-1 (1/3) Calculated Von Mises Effective Strain
for Membrane of the Liner Plate (RUN-1, RUN-2)



Max. Strain = 3235×10^{-6} (Element 76)

(c) RUN-3 (121°C)

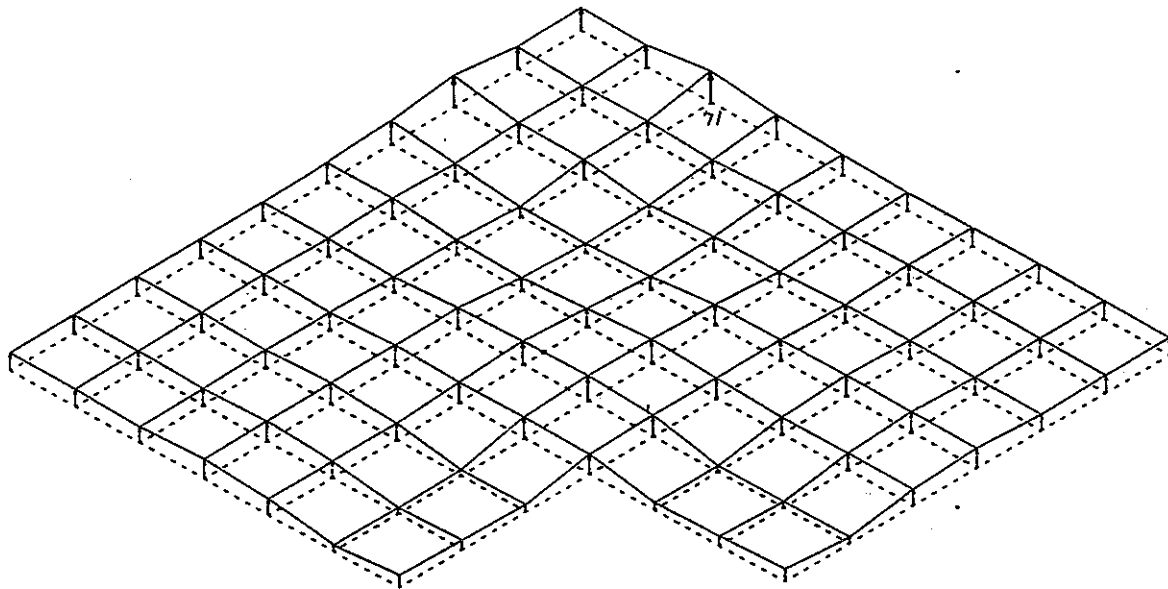


Max. Strain = 17716×10^{-6} (Element 25)

(d) RUN-4 (530°C)

Fig. 3.3.2-1 (2/3)
Fig. 3.3.2-1 (2/3)

解析 No. 3 等温膜歪り (RUN-3, RUN-4)
Calculated Von Mises Effective Strain
for Membrane of the Liner Plate (RUN-3, RUN-4)

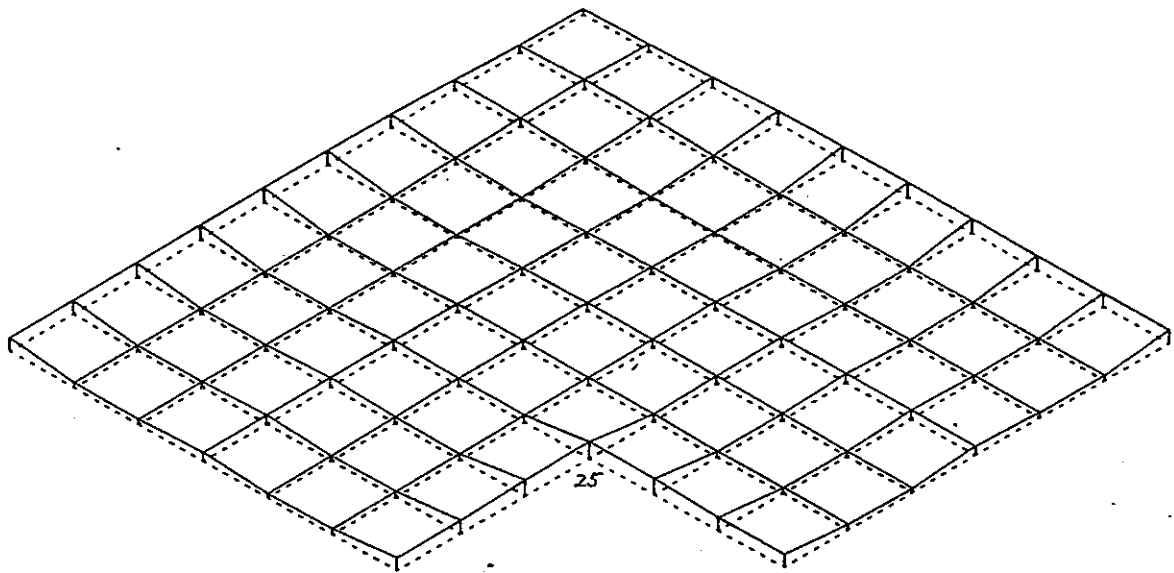


Max. Strain = 5017×10^{-6} (Element 71)

(e) After Cool down (14.7°C)

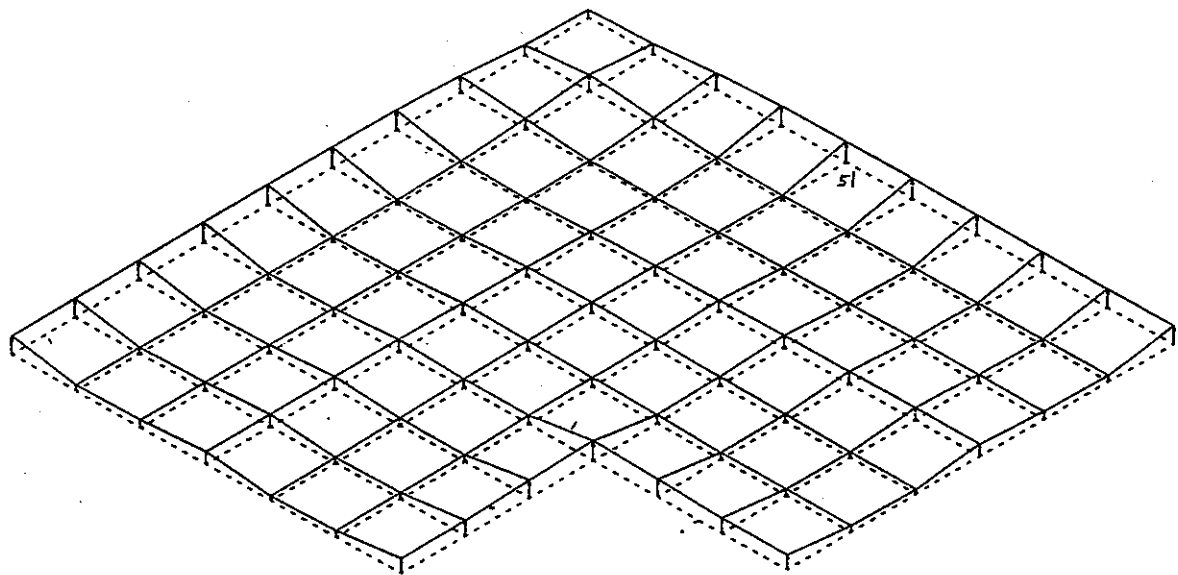
Fig. 3.3.2-1 (3/3) 解析による等価ひずみ分布(降温完了後)

Fig. 3.3.2-1 (3/3) Calculated Von Mises Effective Strain
for Membrane of the Liner Plate
(After Cool down)



Max. Strain = 2641×10^{-6} (Element 25)

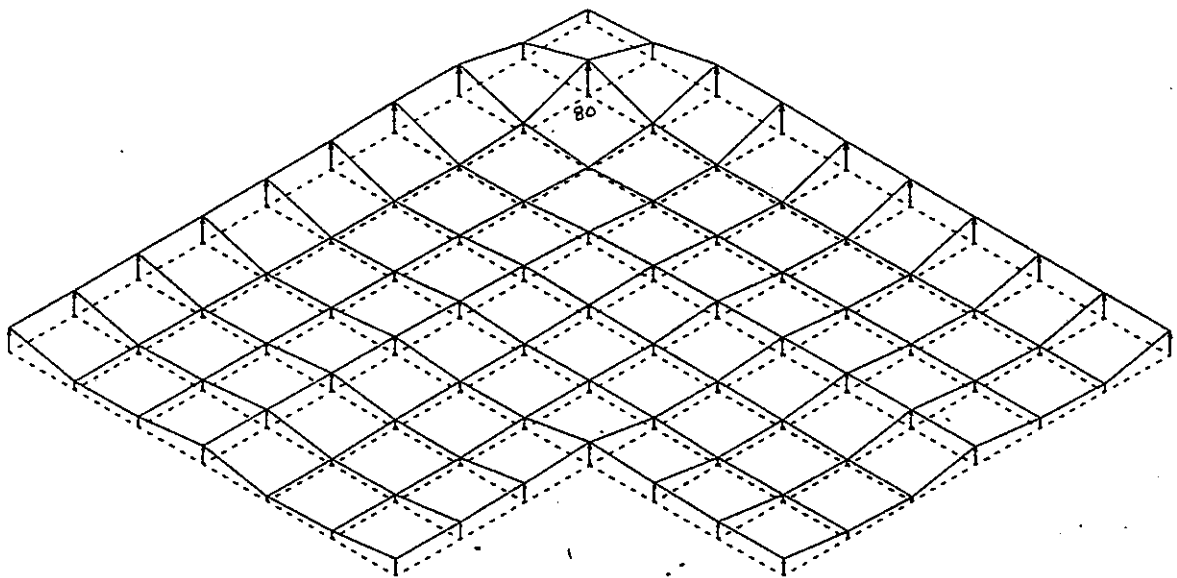
(a) RUN-1 ($66^{\circ}C$)



Max. Strain = 3222×10^{-6} (Element 51)

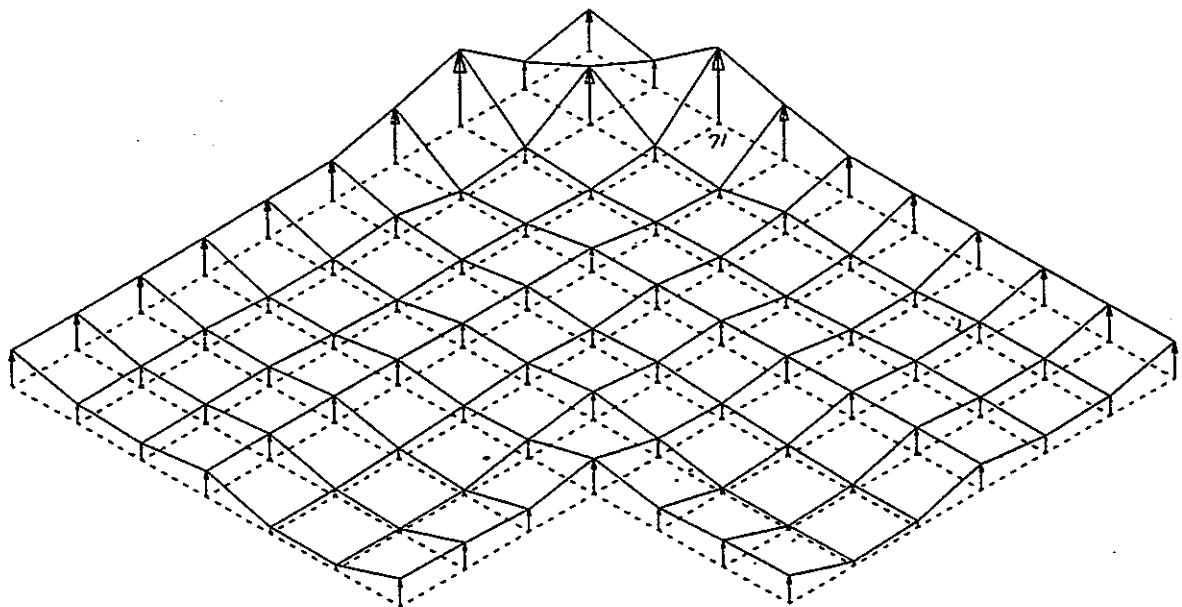
(b) RUN-2 ($86^{\circ}C$)

Fig.3.3.2-2(1/3) 解析による3次元(膜+曲げ)変形(表面)(RUN-1,RUN-2)
 Fig.3.3.2-2(1/3) Calculated Von Mises Effective Strain for Combined
 Membrane plus Bending (Upper Surface) of the Liner
 Plate (RUN-1, RUN-2)



Max. Strain = 5602×10^{-6} (Element 80)

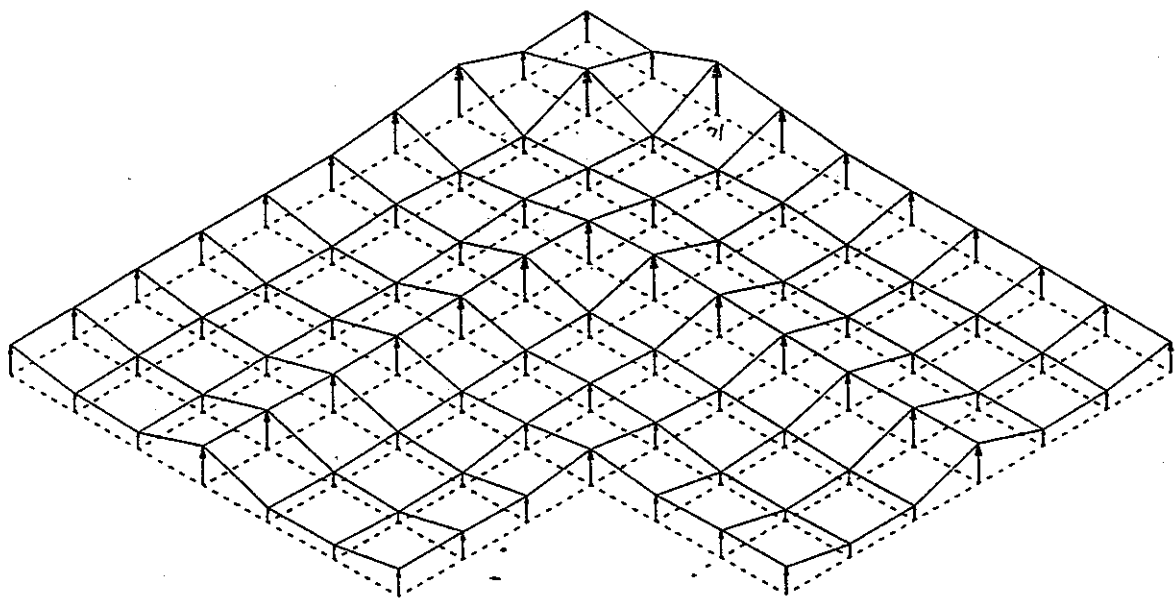
(c) RUN-3 (121°C)



Max. Strain = 23980×10^{-6} (Element 71)

(d) RUN-4 (530°C)

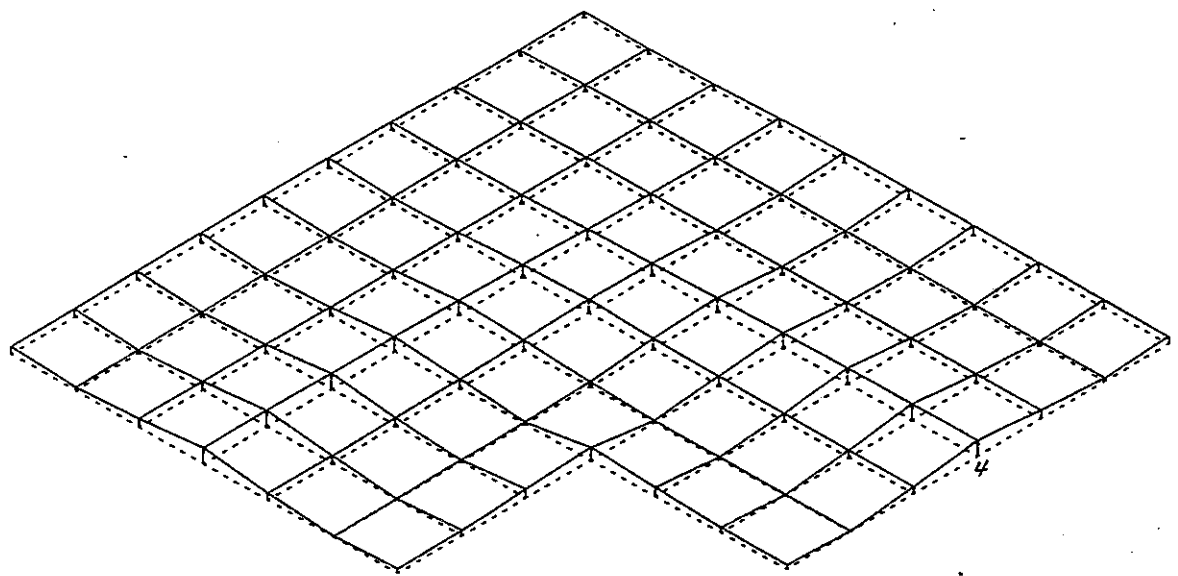
Fig. 3.3.2-2 (2/3) 解析による 3 章の上表面 (膜 + 曲げ) の有効ひずみ (RUN-3, RUN-4)
 Fig. 3.3.2-2 (2/3) Calculated Von Mises Effective Strain for Combined
 Membrane plus Bending (Upper Surface) of the Liner
 Plate (RUN-3, RUN-4)



Max. Strain = 8244×10^{-6} (Element 71)

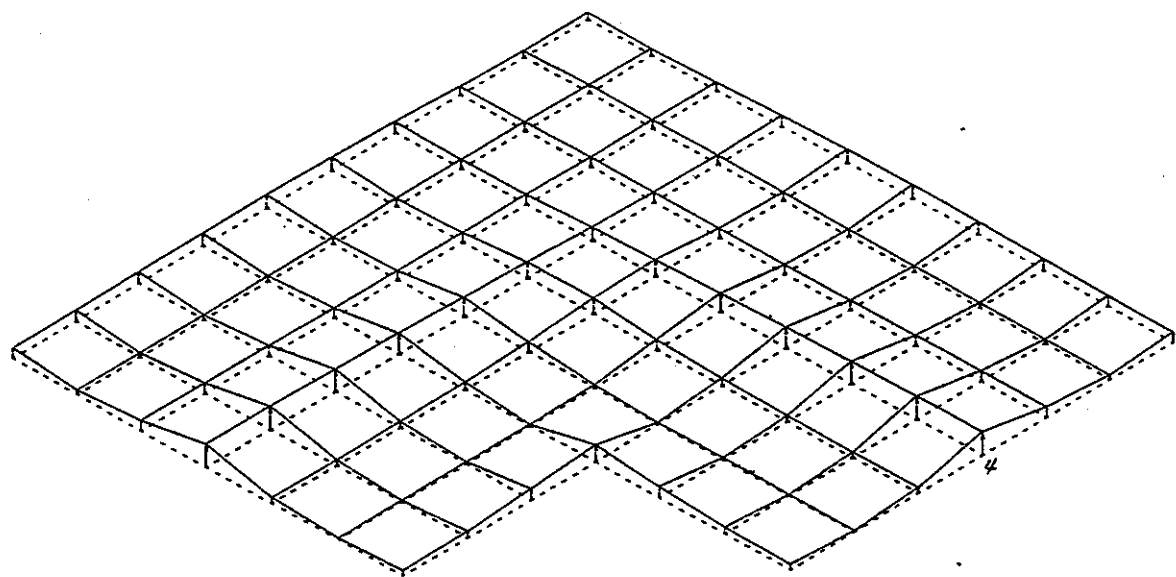
(e) After Cool down (14.7°C)

Fig 3.3.2-2 (3/3) 解析 1c 工 3 等価(膜+曲げ) 底面(表面)(降温完了後)
Fig. 3.3.2-2 (3/3) Calculated Von Mises Effective Strain for Combined
Membrane plus Bending (Upper Surface) of the Liner
Plate (After Cool down)



Max. Strain = 2520×10^{-6} (Element 4)

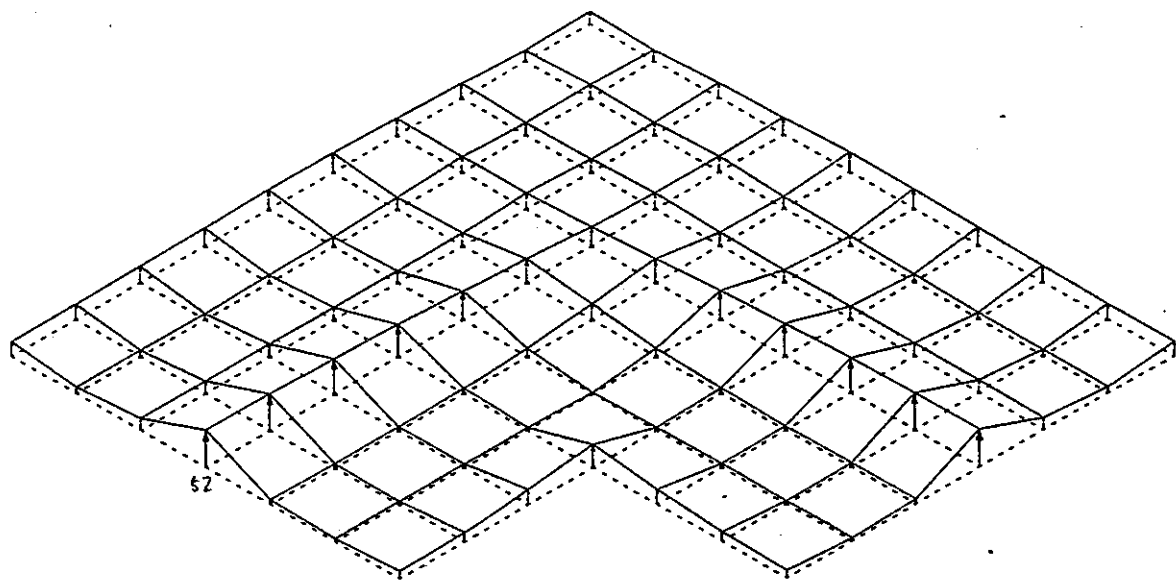
(a) RUN-1 (66°C)



Max. Strain = 3720×10^{-6} (Element 4)

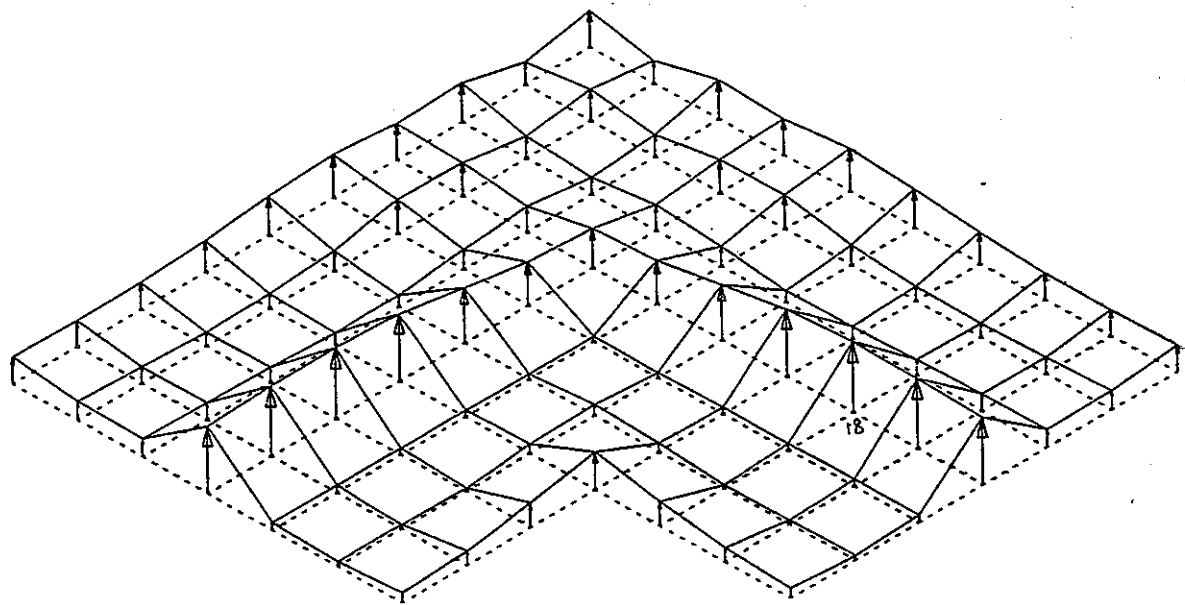
(b) RUN-2 (86°C)

Fig.3.3.2-3 (1/3) 解析による等価(膜+曲げ)変形(裏面)(RUN-1, RUN-2)
 Fig.3.3.2-3 (1/3) Calculated Von Mises Effective Strain for Combined
 Membrane plus Bending (Lower Surface) of the Liner
 Plate (RUN-1, RUN-2)



Max. Strain = 5870×10^{-6} (Element 52)

(c) RUN-3 (121° C)



Max. Strain = 22213×10^{-6} (Element 18)

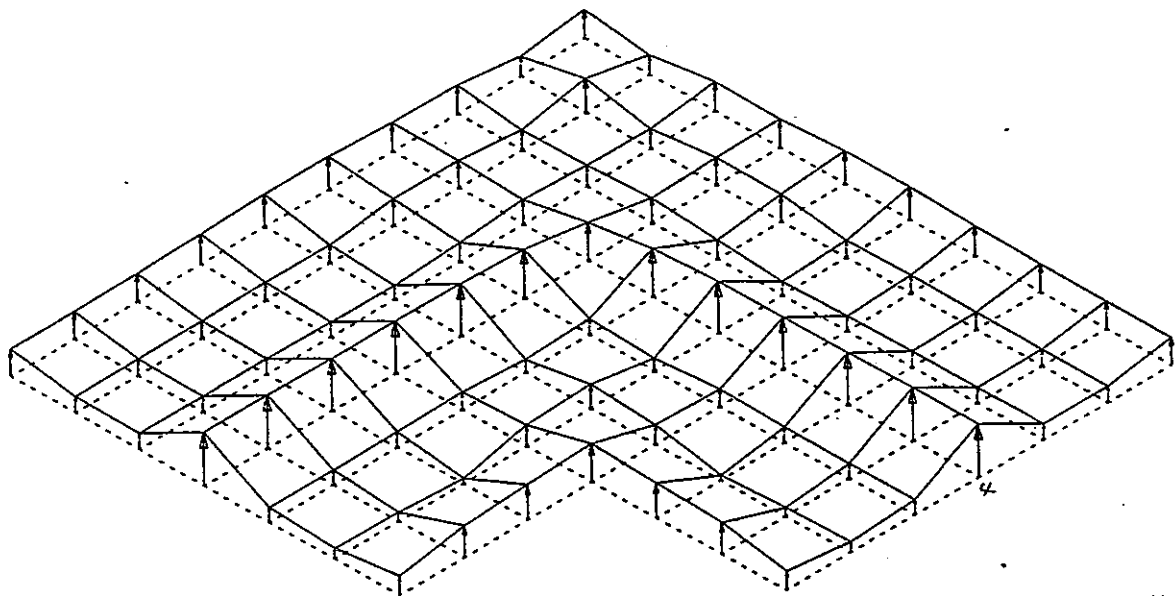
(d) RUN-4 (530° C)

Fig. 3.3.2-3 (2/3)

Fig. 3.3.2-3 (2/3)

解析による等価(膜+曲げ)歪(裏面)(RUN-3,RUN-4)

Calculated Von Mises Effective Strain for Combined
Membrane plus Bending (Lower Surface) of the Liner
Plate (RUN-3, RUN-4)



Max. Strain = 8334×10^{-6} (Element 4)

(e) After Cool down (14.7°C)

Fig. 3.3.2-3 (3/3) 解析による等価(膜+曲げ)変形(裏面)(降温完了後)
 Fig. 3.3.2-3 (3/3) Calculated Von Mises Effective Strain for Combined
 Membrane plus Bending (Lower Surface) of the Liner
 Plate (After Cool down)

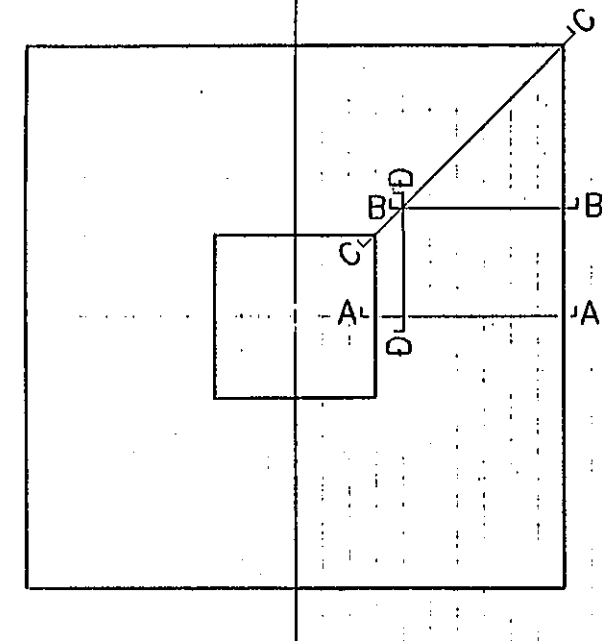
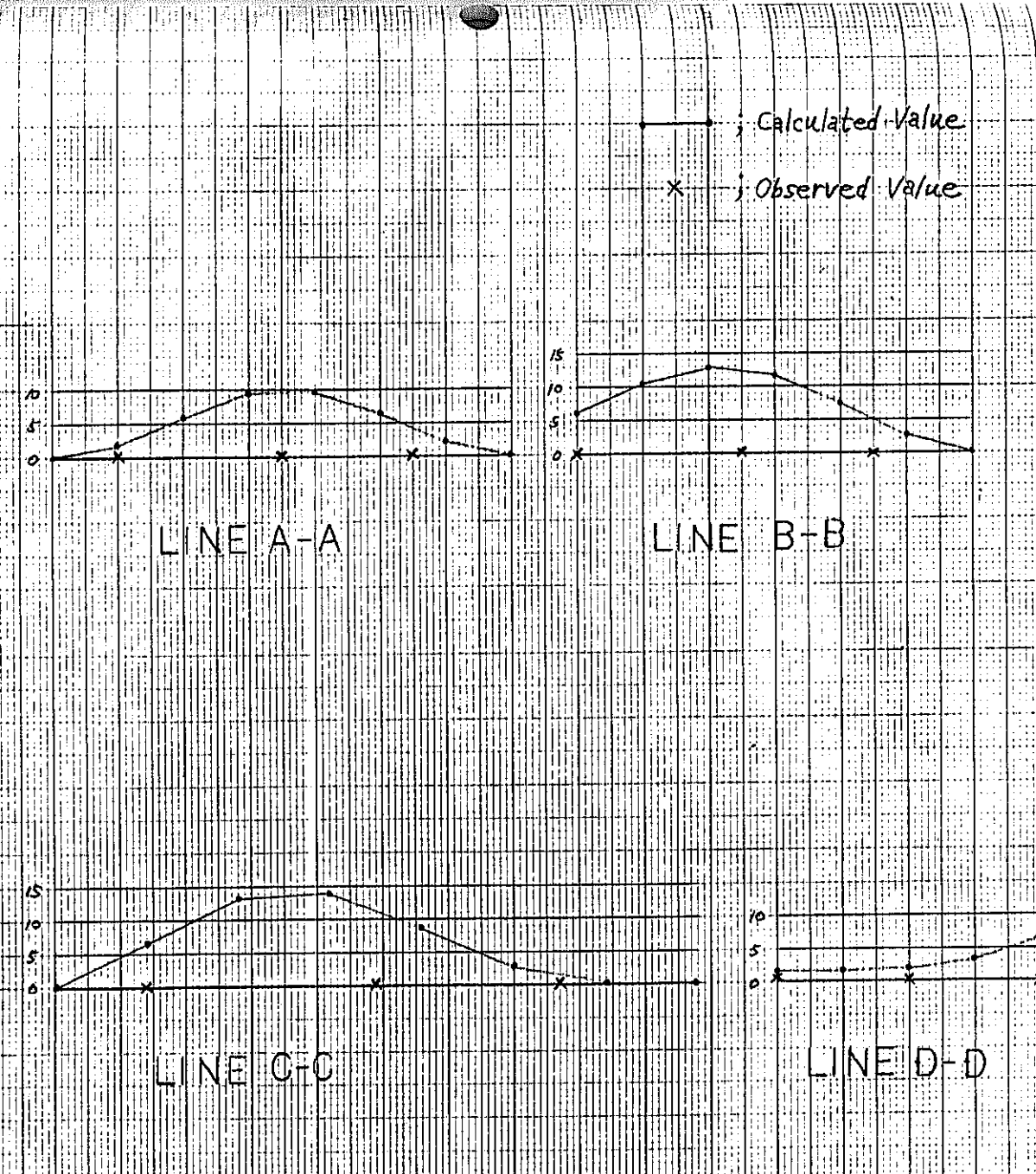
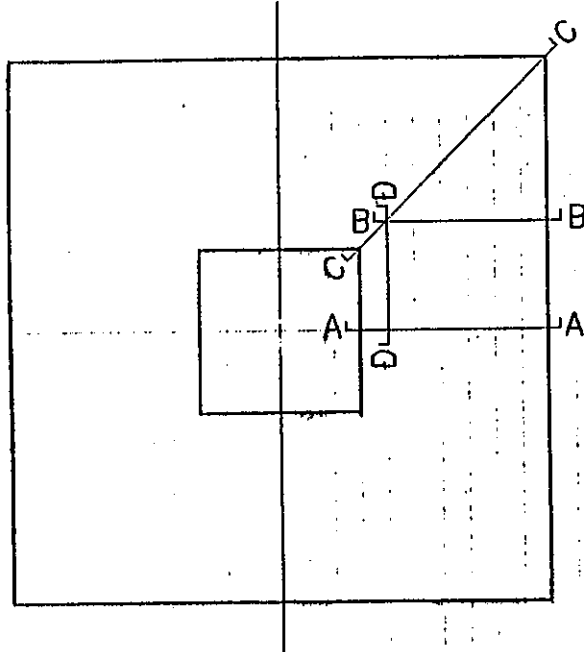


Fig. 3.4.1-1 (1/4) 3.3.1.1-1 (1/4) 3.3.1.1-1 (1/4) 3.3.1.1-1 (1/4)

Fig. 3.4.1-1 (1/4) Distribution of the Liner Plate Displacement (RUN-1, 66°C); Comparison between Calculated Value and Observed Value





Unit; mm

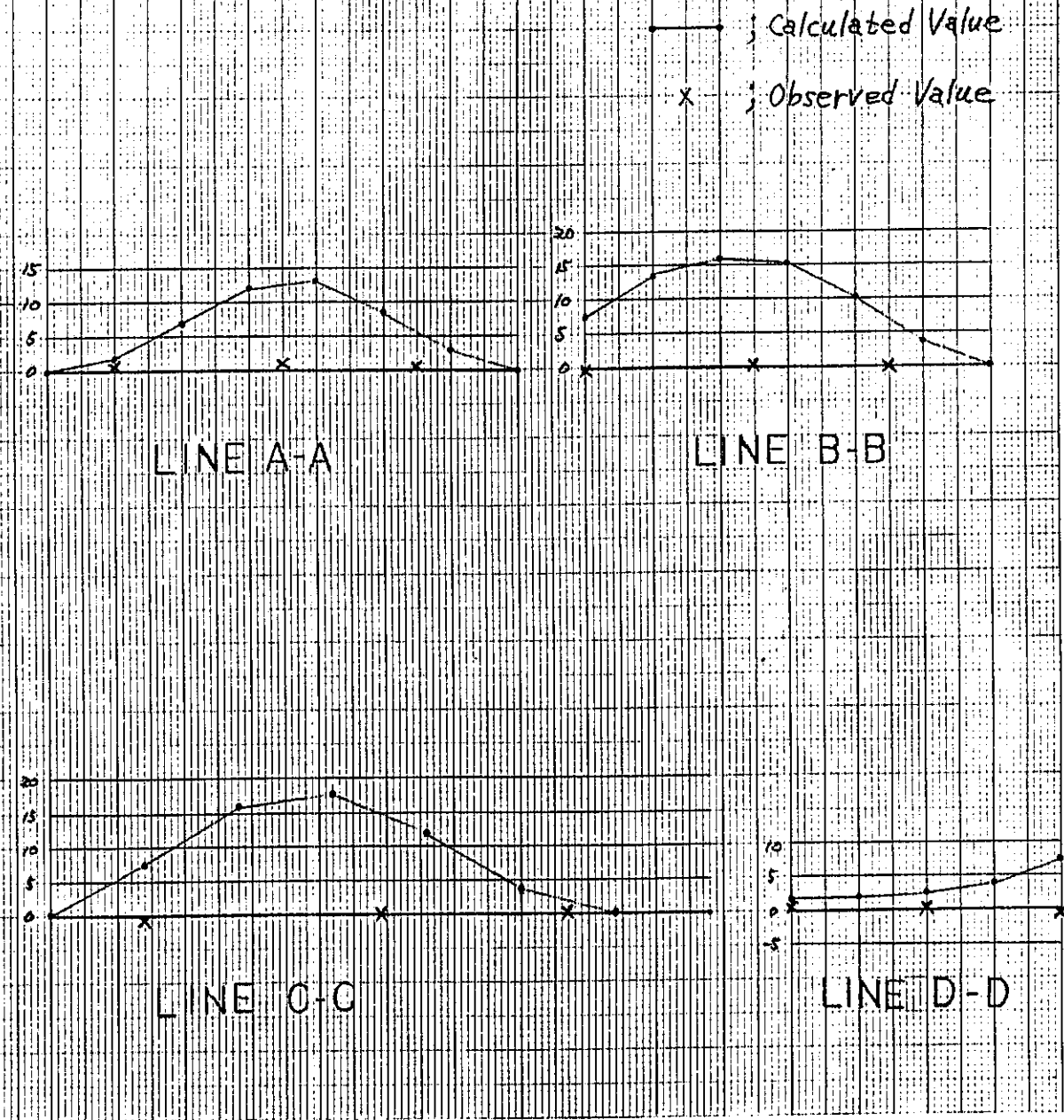
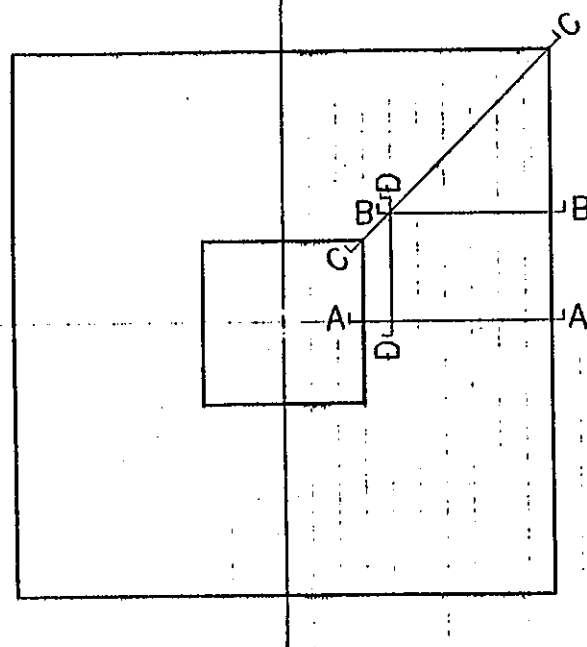


Fig.3.4.1-1 (2/4) うずき変位に関する解析値と実験値との対比 (RUN-Z, 86°C)

Fig. 3.4.1-1 (2/4) Distribution of the Liner Plate Displacement (RUN-2, 86°C); Comparison between Calculated Value and Observed Value.



Unit : mm

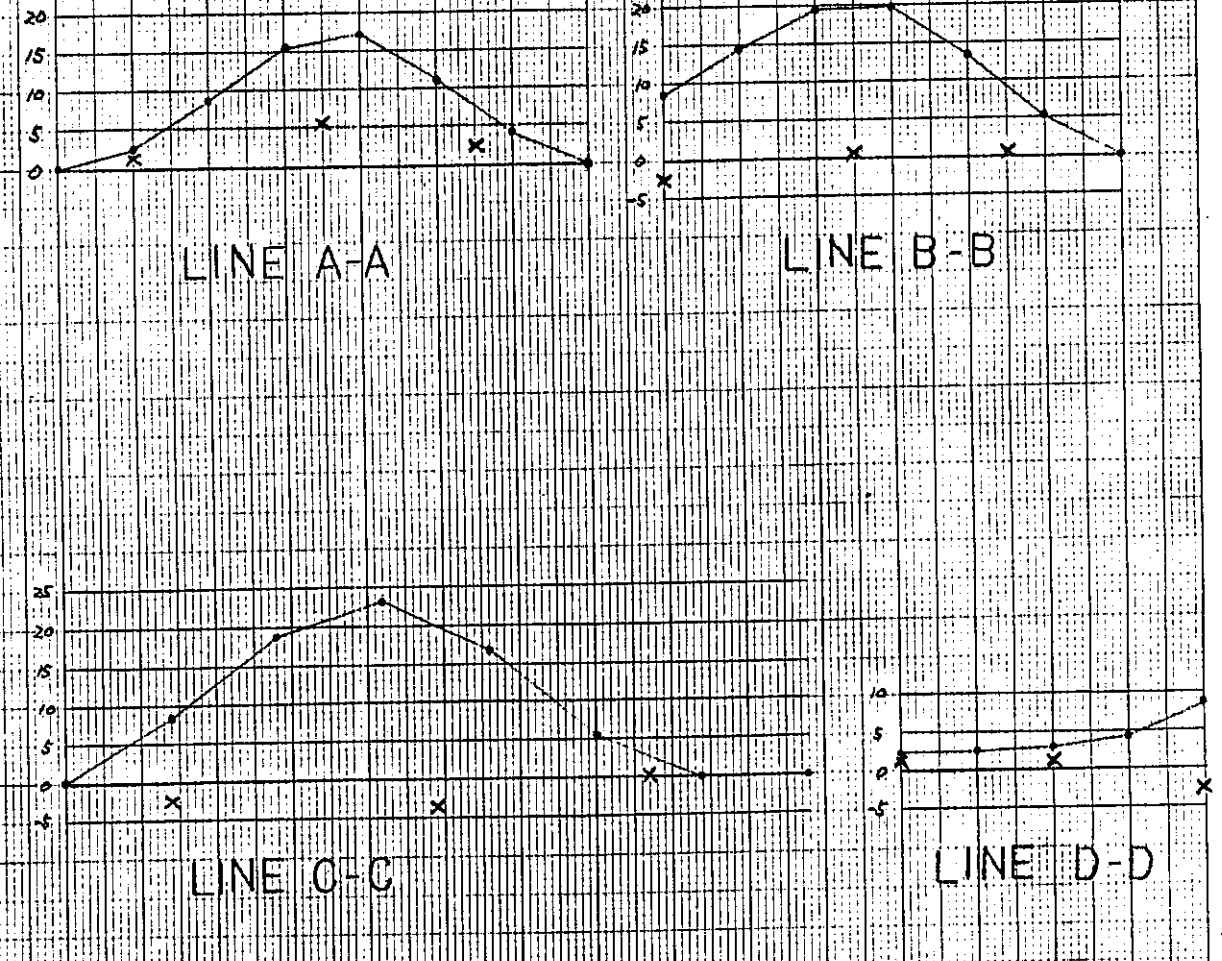
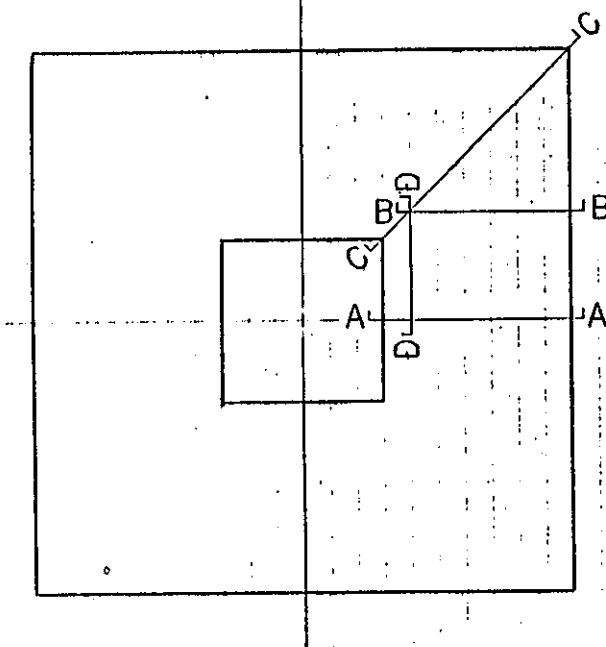


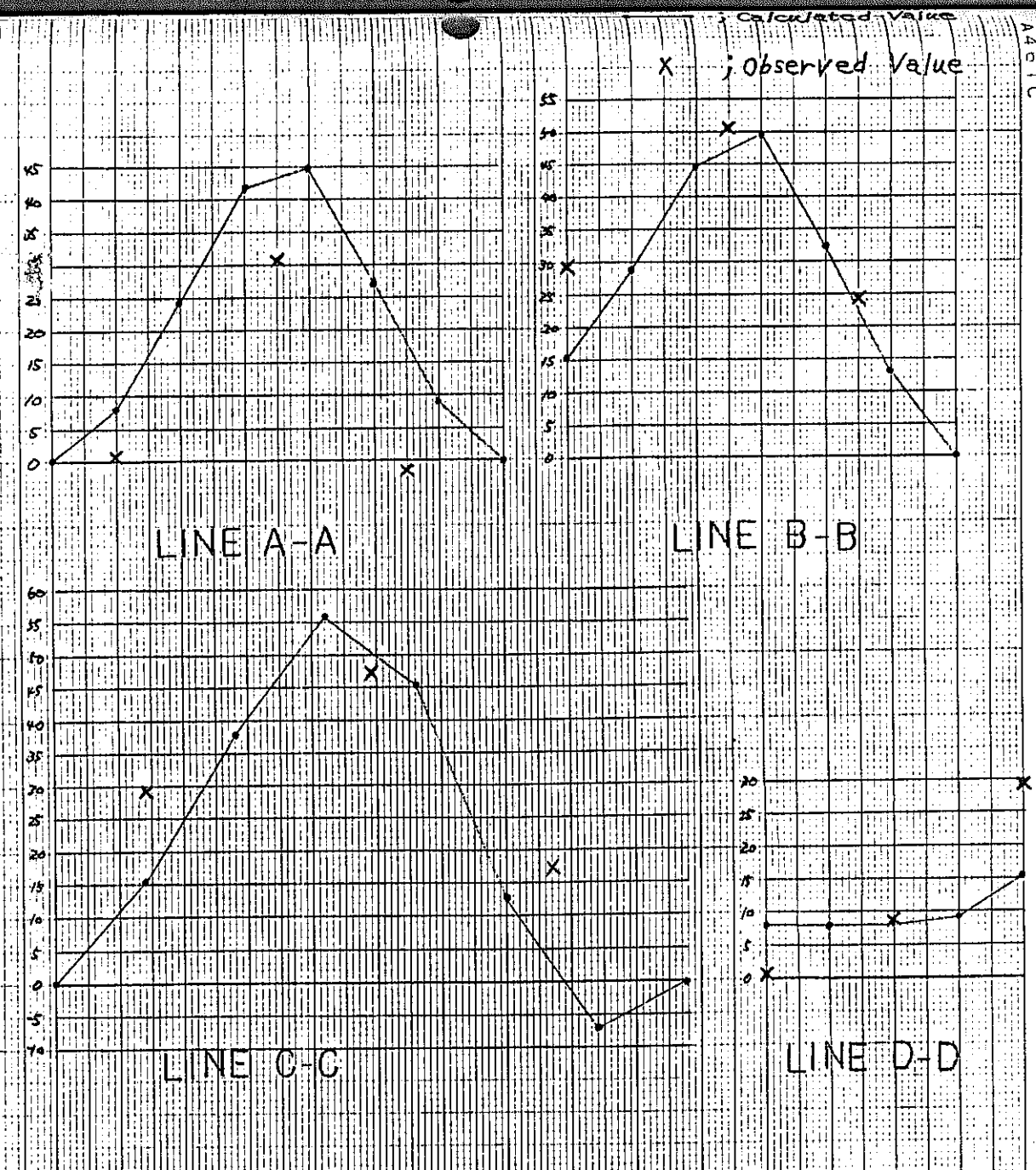
Fig. 3.4.1-1 (3/4) 335 型機の床板変位分布と実験値との比較 (RUN-3, 121°C)
 Fig. 3.4.1-1 (3/4) Distribution of the Liner Plate Displacement (RUN-3, 121°C); Comparison between Calculated Value and Observed Value

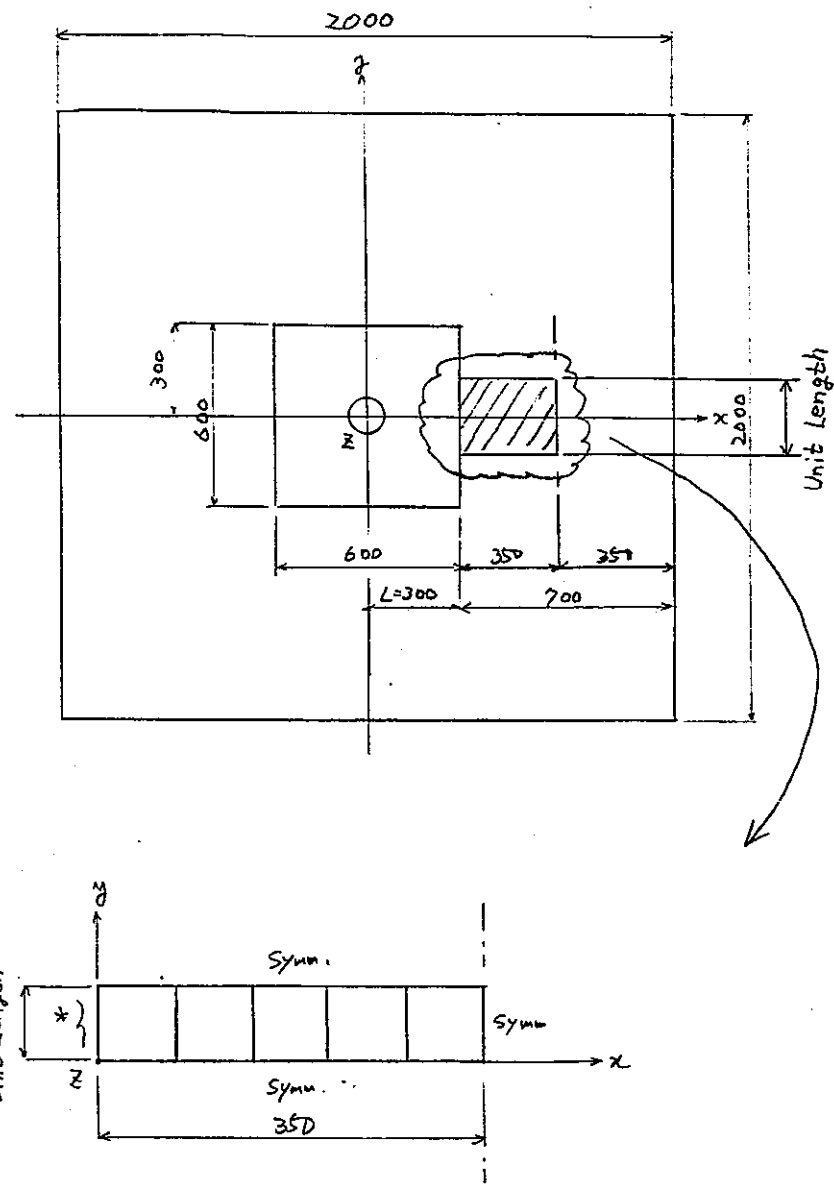


Unit : mm

Fig.3.4.1-1 (44) ライナ変位の算定値と観測値の比較 (RUN-4, 530°C)

Fig.3.4.1-1 (44) Distribution of the Liner Plate Displacement (RUN-4, 530°C); Comparison between Calculated Value and Observed Value





$$\star \quad \nu = \omega = \partial_x = \partial_y = \partial_z = 0$$

$$u = \frac{L \cdot \alpha \cdot T}{z}$$

Fig. 4.2.2-1 解析モデル要素分割図と境界条件.

Fig. 4.2.2-1 FEM Mesh and Boundary Conditions of Analysis Model

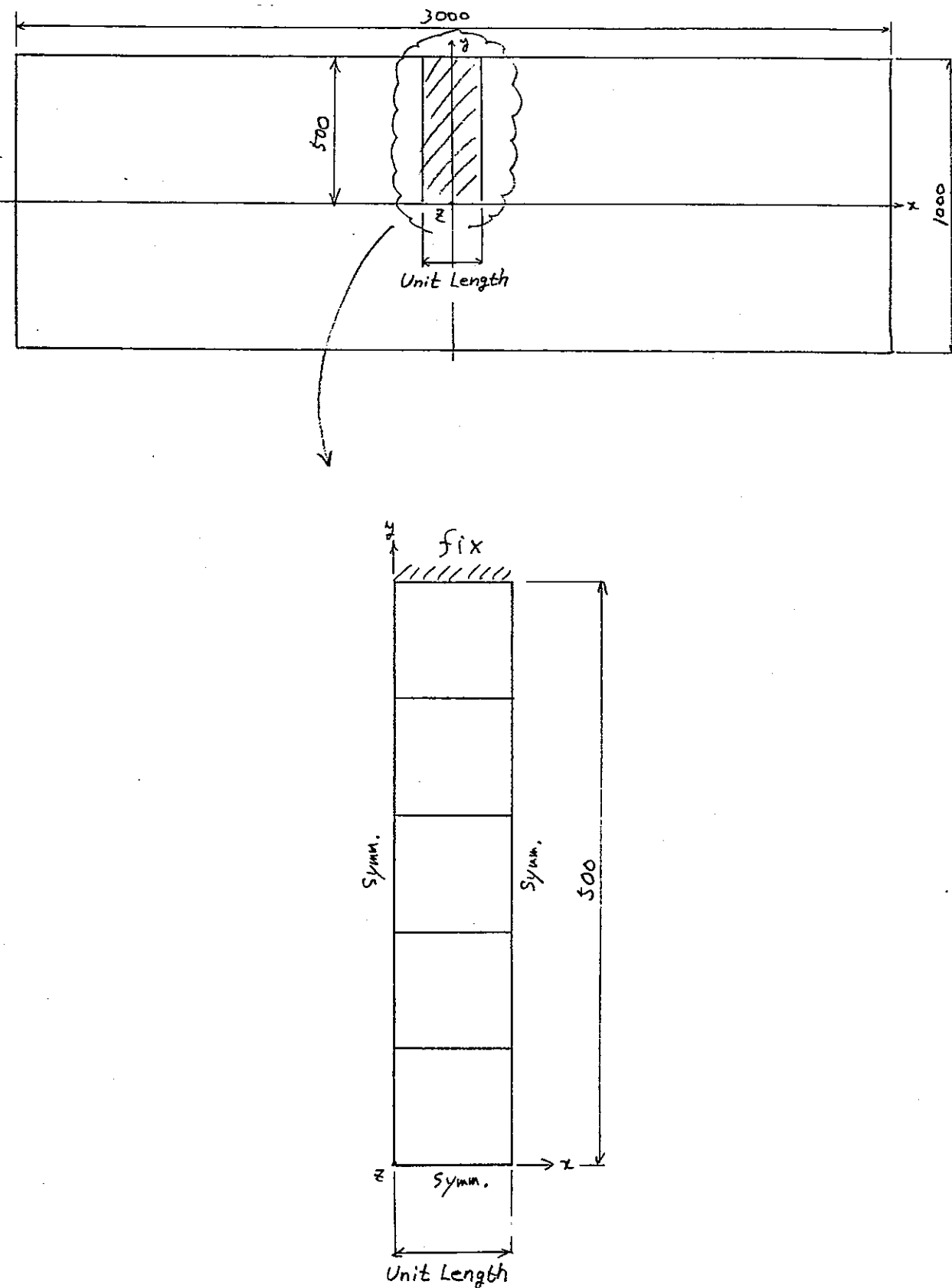


Fig. 4.2.3-1 解析モデル 対称分割と境界条件

Fig. 4.2.3-1 FEM Mesh and Boundary Conditions of Analysis Model

Table 2.2.2-1(1/2) 供試体製作手順
Table 2.2.2-1(1/2) Procedure of the Test Rig Construction

NO	大工程	作業内容	備考
1.	部品製作	(1) 外枠 (2) 内枠 (3) 拘束枠 (4) 固定金物 (5) その他	
2.	拘束枠組立	(1) 各部品を組み立て、側壁用アカボルトを締め込み、外枠・内枠・拘束枠を組立 (2) 床下貫通用計測ブリッジ取付	
3.	鉄筋組立	(1) 床部に鉄筋を配置 (2) 固定金物をセット (3) コンクリートおよび固定金物用熱電対の取付	Photo. 2.2.2-1
4.	コンクリート打設	(1) 拘束枠内に高強度コンクリートを打設 (2) 床部および外周に普通コンクリートを打設 (3) 耐熱コンクリートの打設 (4) 2週間養生	Photo. 2.2.2-2 Photo. 2.2.2-3 Photo. 2.2.2-4
5.	プレストレス導入	(1) 2週間経過後、拘束枠部のPC鋼棒を締付け、高強度コンクリートにプレストレスを導入	
6.	天板接続	(1) 外枠天板部を接合し、房アイプレートを取付	Photo. 2.2.2-5
7.	セルへの戻込	(1) 試験セルの天井ハッチを開く (2) クレーンにより 試験セル床に吊り込み、所定位置にセット	Photo. 2.2.2-6

Table 2.2.2-1 (2/2) 供試体製作手順
 Table 2.2.2-1 (2/2) Procedure of the Test Rig Construction

No.	大工程	作業内容	参考
8	床ラジナ取付 側部ラジナ取付	(1) 側部アンカーボルトまわりに断熱材を 布設 (2) 側部ラジナを接合 (3) ラジナ裏面につけたセンサ(熱電対, 変位 計, 垂直計)を所定位置にセット (4) 床ラジナを取付 (5) 埋込金物を取付 (6) 滲出部の液体浸透探傷検査, 真空漏洩検査	Photo. 2.2.2-7 Photo. 2.2.2-8 Photo. 2.2.2-9 Photo. 2.2.2-10
9	計測用ロード の取付	(1) ラジナ裏面上に取付けるセンサ (熱電対, 変位計, 垂直計)を所定位置 にセット	
10	断熱フラップ取付	(1) 断熱フラップを試験体上に設置 (2) 热電対, 変位計, 垂直計のリード線を 断熱フラップに貫通させ外部へ引出し (3) Na加熱用ヒータを設置	Photo. 2.2.2-11 Photo. 2.2.2-12

Table 2.2.2-2 ライナ鋼材のミルシート

Table 2.2.2-2 Mechanical Properties of Steel Plates
for Liner Plate and Embedded Plate

部材(板厚)		ライナ(8mm)		埋込金物(90mm)	
区分	規格値	照明書記載値		規格値	照明書記載値
製造メーカー		川崎製鉄		川崎製鉄	
照 明 書 番 号		KP0908-3/4		KP0910-1/1	
製 品 番 号		BM845A		BA585A	
引張試験	降伏点(%/mm)	25以上	33	22以上	30
	引張強さ(%)	41~52	47	41~52	45
	伸び(%)	18以上	30	24以上	41
曲げ試験 180°		—	G00D	—	—
シャルピー衝撃試験	吸收エネルギー(kg-m)	—	—	Z-8以上	18.4
	横膨出量(mm)	—	—	—	—

Table 2.2.2-3 コンクリートの調合、強度

Table 2.2.2-3 Composition and Compressive Strength of Concrete

コンクリート種(呼び強度)		普通コンクリート ($F_c = 240 \text{ kg/cm}^2$)	高強度コンクリート ($F_c = 400 \text{ kg/cm}^2$)	耐熱コンクリート ($F_c = 240 \text{ kg/cm}^2$)			
配 合	セメント (kg/m^3)	316	534	371			
	水 (")	174	187	137			
	細骨材 (")	776	532	851			
	粗骨材 (")	1030	1062	1080			
	混和材 (")	0.790	1.335	—			
	水セメント比 (%)	55	35	37			
	細骨材比 (%)	44.3	33.9	44			
バッチ番号		—	—	2バッチ	5バッチ	10バッチ	12バッチ
スランプ (cm)		12.0	11.1	5.0	7.1	8.8	8.4
圧縮強度 (kg/cm^2)	材令 7日	189	349	403	353	344	345
	材令 14日	—	—	450	424	402	434
	材令 28日	261	425	555	463	458	495
	材令 91日	—	—	619	—	—	596
	(Na載荷試験日)	—	—	599	—	—	603

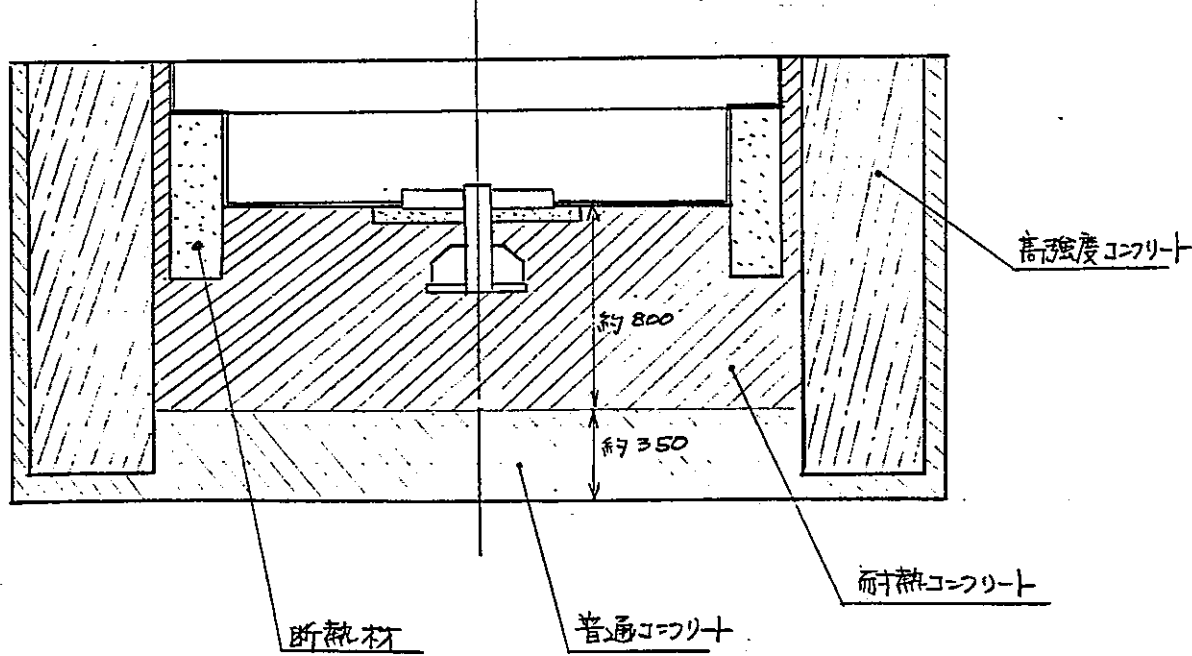


Table Z.3.3-1 試験条件表

Table Z.3.3-1 Test Conditions

RUN NO.		RUN-1	RUN-2	RUN-3	RUN-4
ライナ温度 (平均温度)	目標	(*1) 室温 +39°C	(*1) 室温 +59°C	(*1) 室温 +94°C	530°C
	実績	66.3 °C	86.6 °C	121.5 °C	530 °C
加熱方法		ナトリウム加熱用電気ヒータにより、 雰囲気ガスを加熱し、そのガスにより ライナを間接的に加熱する。		溶融ナトリウム の注入による。	
漏洩Na 温度					530°C
ナトリウム・プール の深さ					約 0.2 m

*1 "室温"とは、供試体にライナ板を溶接固定したときの温度である。

Table 3.2.2-1 ライナプレートの材料強度物性値

Table 3.2.2-1 Temperature Dependent Member Properties of
Liner Plate

Value Temp. (°C)	Young's Modulus (kg/cm ²)	*Stress at the 1st Proporsional Limit (kg/cm ²)	Coefficient of Thermal Expansion (1/°C)
21	2.13×10^6	615.6	1.24×10^{-5}
100	2.04×10^6	589.6	1.29×10^{-5}
200	2.06×10^6	595.3	1.44×10^{-5}
300	2.00×10^6	578.0	1.50×10^{-5}
400	1.87×10^6	540.4	1.53×10^{-5}
500	1.81×10^6	523.1	1.51×10^{-5}
530	1.74×10^6	502.9	1.55×10^{-5}

* The Stress at 0,0289% Total Strain of Stress-Strain Relationship Used in the Analysis.

Table 3.2.2-2
Table 3.2.2-2

ライナプレート材の応力-ひずみ関係
 Stress-Strain Data vs Temperature Relationship
 Data Used in Structural Analysis of the Liner
 Plate.

(Stress ; kg/cm²)

Total Strain (%) \ Temp. (°C)	21	100	200	300	400	500	530
0.0289	615.6	589.6	595.3	578.0	540.4	523.1	502.9
0.05	1065.0	1020.0	1030.0	987.7	878.9	778.5	668.5
0.1	2069.8	2040.0	1915.4	1535.0	1397.0	1161.0	1061.0
0.15	2864.5	2819.1	2493.1	1739.0	1538.5	1314.0	1189.0
0.20	3126.2	2847.7	2497.4	1948.0	1680.0	1467.0	1317.0
0.35	3136.9	2860.2	2510.5	2141.2	1882.7	1614.0	1426.8
0.50	3147.6	2872.8	2523.5	2340.0	2086.0	1761.0	1535.0
0.75	3165.3	2893.7	2545.3	2559.5	2273.0	1860.5	1605.0
1.0	3183.1	2914.6	2824.0	2779.0	2460.0	1960.0	1675.0
2.0	3474.0	3189.0	3292.0	8412.0	3113.0	2508.0	2191.0
3.0	3871.0	3585.0	3660.0	3811.0	3508.0	2714.0	2351.0
4.0	4162.0	3867.0	3971.0	4119.0	3806.0	2846.0	2451.0
5.0	4450.0	4079.0	4187.0	4348.0	4028.0	2941.0	2519.0

Table 3.3.2-1 解析による等価歪みの最大値
 Table 3.3.2-1 Maximum Von Mises Effective Strain
 by Analysis

プラント状態	温度 (°C)	等価膜歪み		等価(膜+曲げ)歪み			
		発生 率%	値 $\times 10^6$	板表面		板裏面	
				発生 率%	値 $\times 10^6$	発生 率%	値 $\times 10^6$
I	66	91	909	25	2641	4	2520
II	86	80	1341	51	3222	4	3720
III	121	76	3235	80	5602	52	5870
IV	530	25	17716	71	23980	18	22213
(降温完了時)	14.7	71	5017	71	8244	4	8334

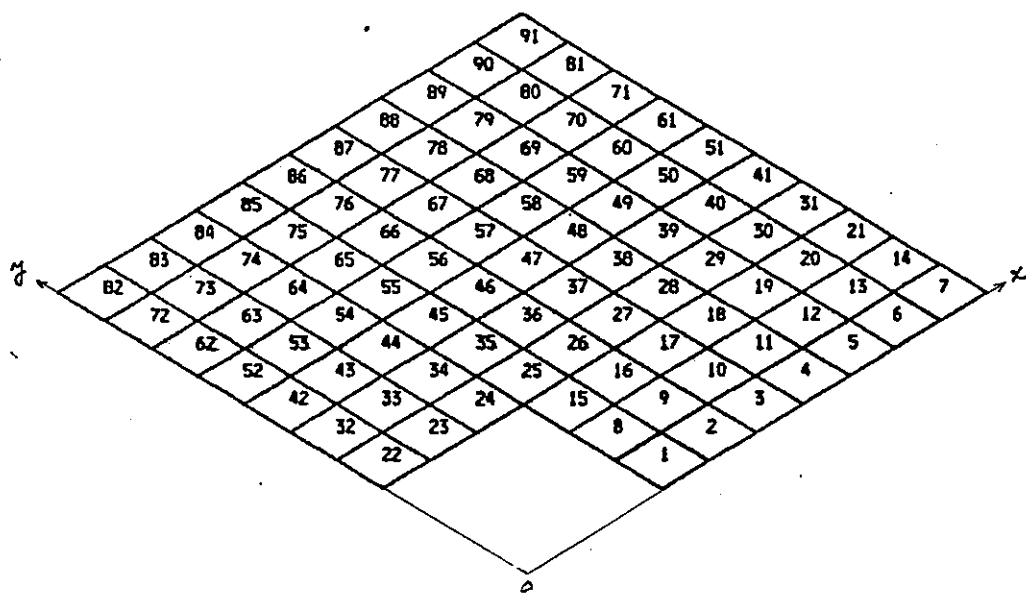


Table 3.3.3-1 歪み発生分布より予想される周端部最大等価歪み

Table 3.3.3-1 Maximum Von Mises Effective Strain developed at the Edge of the Liner Plate Estimated by Strain Distribution

Plant Condition	Temp. (°C)	Effective Membrane Strain			Effective Strain for Combined Membrane plus Bending						
		Element	Calculated Value ($\times 10^{-6}$)	Allowable Value ($\times 10^{-6}$)	Upper Surface			Lower Surface			
			Element	Calculated Value ($\times 10^{-6}$)	Allowable Value ($\times 10^{-6}$)	Element	Calculated Value ($\times 10^{-6}$)	Allowable Value ($\times 10^{-6}$)	Element	Calculated Value ($\times 10^{-6}$)	Allowable Value ($\times 10^{-6}$)
I	66	91	940	2000	25	3400	4000	25	2660	4000	
II	86	80	*1341	2000	51	4500	4000	25	3800	4000	
III	121	91	3340	5000	71	6500	10000	52	5920	10000	
IV	530	25	21000	38000	71	33000	50920	18	*22213	50920	

* ; Strain Developed at the Center of the Element stated in Table 3.3, 2-1. Strain developed at the Edge of the Liner Plate is less than This Value.

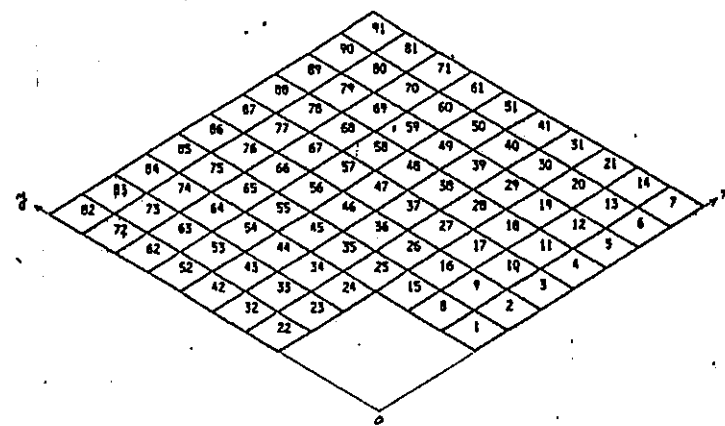


Table 4.2.4-1

Table 4.2.4-1

最大等価ひずみ (固定金物と1月29日11部と有33回試験)
 Maximum Von Mises Effective Strain (Fixed-Type
 Liner with Embedment Portion)

アライナ状態	温度 (°C)	等価膜歪み		等価(厚+肉)歪み			
		等価膜歪み		板表面		板裏面	
		要素	値 $\times 10^{-6}$	要素	値 $\times 10^{-6}$	要素	値 $\times 10^{-6}$
I	66	1	783	1	2281	5	2281
II	86	1	1120	1	3355	5	3355
III	121	3	3351	1	4948	5	4948
IV	530	3	12706	1	16812	5	16812

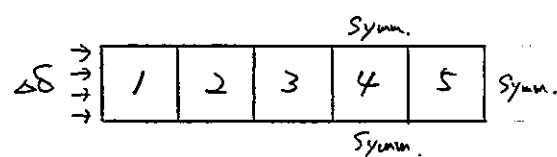


Table 4.2.4-2

Table 4.2.4-2

最大等価歪み (固定式ライナ)

Maximum Von Mises Effective Strain
(Fixed-Type Liner)

アライナ状態	温度 (°C)	等価膜歪み		等価(厚+肉)歪み			
		等価膜歪み		板表面		板裏面	
		要素	値 $\times 10^{-6}$	要素	値 $\times 10^{-6}$	要素	値 $\times 10^{-6}$
I	81	1,5	969	1	2460	5	2460
II	116	3	3229	1	3750	5	3750
IV	512	3	12859	1	13150	5	13150

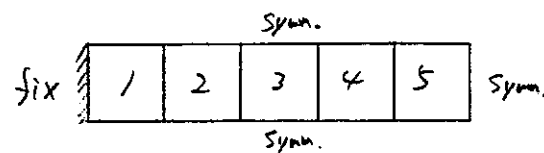


Table 4.3.2-1 簡易解析と詳細解析の最大等価歪み比較 (埋込金物との取り合い部を有する固定式ライナ)
 Table 4.3.2-1 Maximum Von Mises Effective Strain; Comparison between the Calculated Value by Simplified Analysis and that by Detailed Analysis (Integrity Test for Embedment Portion of Fixed-Type Liner System)

アラート 状態	温度 (°C)	等価塑性歪 $\times 10^{-6}$			等価(簡易)歪 $\times 10^{-6}$					
					板片面			板裏面		
		詳細解析	簡易解析	比(詳細/簡易)	詳細解析	簡易解析	比(詳細/簡易)	詳細解析	簡易解析	比(詳細/簡易)
I	66	940	783	1.20	3400	2281	1.49	2680	2281	1.17
II	86	1341	1120	1.20	4500	3385	1.34	3800	3355	1.13
III	121	3340	3357	1.00	6500	4948	1.31	5920	4908	1.20
IV	530	21000	12706	1.65	33000	16812	1.96	22213	16812	1.32

Table 4.3.2-2 簡易解析と詳細解析の最大等価歪み比較 (固定式ライナ)
 Table 4.3.2-2 Maximum Von Mises Effective Strain; Comparison between the Calculated Value by Simplified Analysis and that by Detailed Analysis (Structural Integrity Test of Typical Floor Liner System)

アラート 状態	温度 (°C)	等価塑性歪 $\times 10^{-6}$			等価(簡易)歪 $\times 10^{-6}$					
					板裏面			板裏面		
		詳細解析	簡易解析	比(詳細/簡易)	詳細解析	簡易解析	比(詳細/簡易)	詳細解析	簡易解析	比(詳細/簡易)
I	81	1200	969	1.24	3300	2460	1.34	2211	2460	0.90
III	116	2506	3229	0.78	7250	3750	1.93	2905	3750	0.77
IV	512	15671	12859	1.17	30000	13150	2.28	13175	13150	1.00

Table 4.3.2-3 傾數 α
 Table 4.3.2-3 Coefficient α

アラート 状態	等価膜厚	等価(原十倍)成形	
		板表面	抜き面
I	1.25	1.50	1.25
II	1.25	1.50	1.25
III	1.25	2.00	1.25
IV	1.75	2.50	1.50

Table 4.3.3-1 詳細解析による最大等価歪みと簡易評価法による等価歪みの比較(埋込金物との取り合い部を有する固定式ライナ)
 Table 4.3.3-1 Comparison between the Maximum Von Mises Effective Strain Calculated by Detailed Analysis
 and the Von Mises Effective Strain Calculated by Simplified Estimation Method (Integrity
 Test for Embedment Portion of Fixed-Type Liner System)

アラート 状態	温度 (°C)	等価膜歪み $\times 10^{-6}$				等価(膜+内リ)歪み $\times 10^{-6}$				
		板表面		板裏面		板表面		板裏面		
		詳細解析	簡易評価 比(簡易/詳細)	詳細解析	簡易評価 比(簡易/詳細)	詳細解析	簡易評価 比(簡易/詳細)	詳細解析	簡易評価 比(簡易/詳細)	
I	66	940	979	1.04	3400	3422	1.01	2660	2851	1.07
II	86	1341	1400	1.04	4500	5033	1.12	3800	4194	1.10
III	121	3840	4189	1.25	6500	9896	1.52	5920	6185	1.04
IV	530	21000	22236	1.08	33000	42030	1.27	22213	25218	1.14

Table 4.3.3-2 詳細解析による最大等価歪みと簡易評価法による等価歪みの比較(固定式ライナ)
 Table 4.3.3-2 Comparison between the Maximum Von Mises Effective Strain Calculated by Detailed
 Analysis and the Von Mises Effective Strain Calculated by Simplified Estimation
 Method (Structural Integrity Test of Typical Floor Liner System)

アラート 状態	温度 (°C)	等価膜歪み $\times 10^{-6}$				等価(膜+内リ)歪み $\times 10^{-6}$				
		板表面		板裏面		板表面		板裏面		
		詳細解析	簡易評価 比(簡易/詳細)	詳細解析	簡易評価 比(簡易/詳細)	詳細解析	簡易評価 比(簡易/詳細)	詳細解析	簡易評価 比(簡易/詳細)	
I	81	1200	1211	1.01	3300	3690	1.12	2211	3075	1.39
III	115	2506	4036	1.61	7250	7500	1.03	295	4688	1.61
IV	513	15721	22503	1.49	30000	32875	1.10	13175	19725	1.50



Photo. Z.2.2-1 配筋状況
Photo. 2.2.2-1 Arrangement of Reinforcing Bar

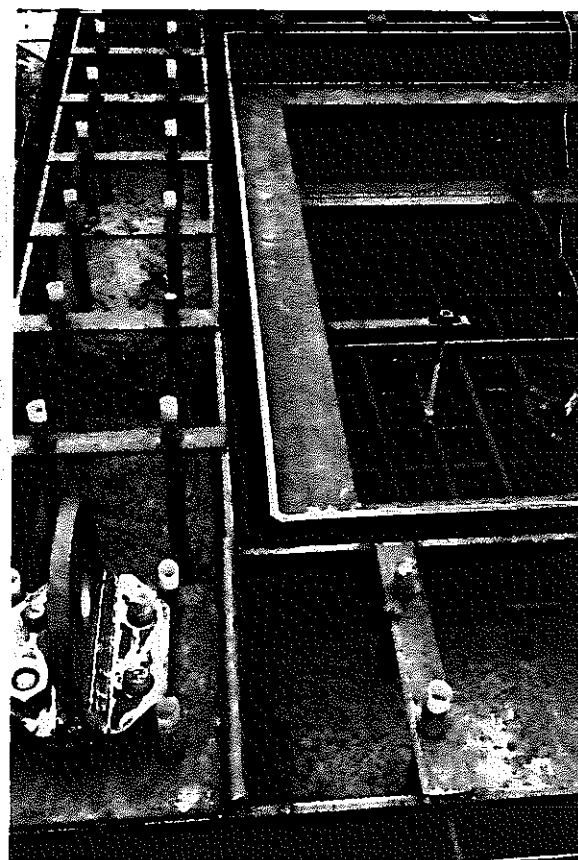


Photo. Z.2.2-2 高強度コンクリート打設
Photo. 2.2.2-2 Filling of High Strength Concrete into the Test Mold

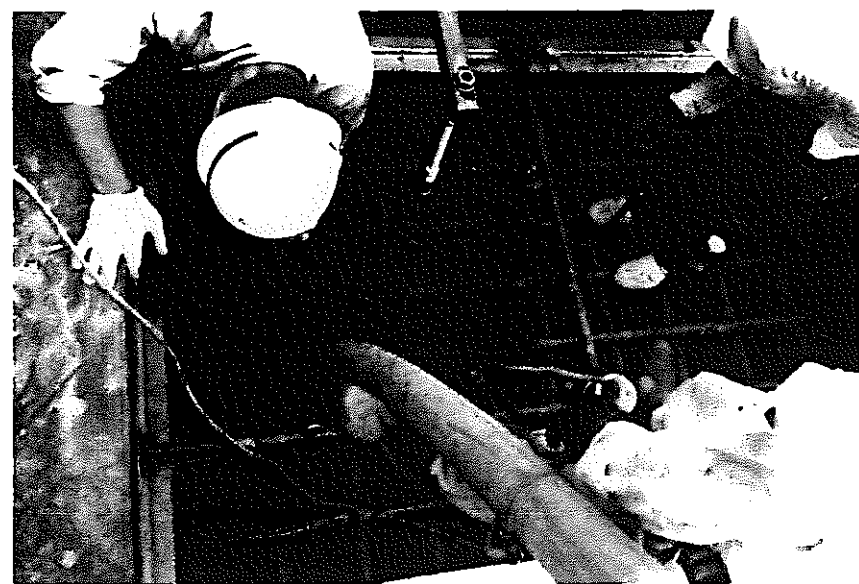


Photo. 2.2.2-3 耐熱コンクリートの打設

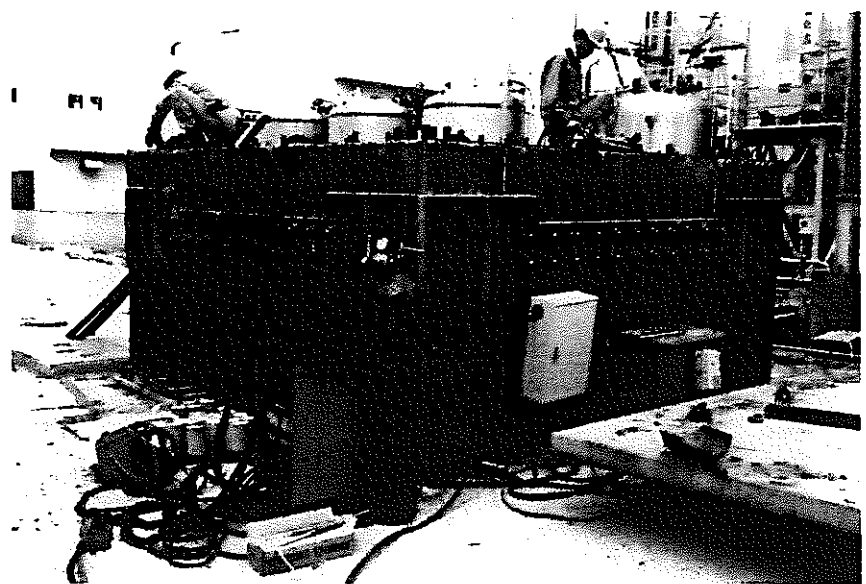
photo. 2.2.2-3 Placing of Heat Resisting Concrete into
the Test Rig.



12

Photo. 2.2.2-4 耐熱コンクリートの表面仕上げ

photo. 2.2.2-4 Surface Finishing of Heat Resisting Concrete



5

Photo. 2.2.2-5 天板の溶接

Photo. 2.2.2-5 Welding for the Top Plate

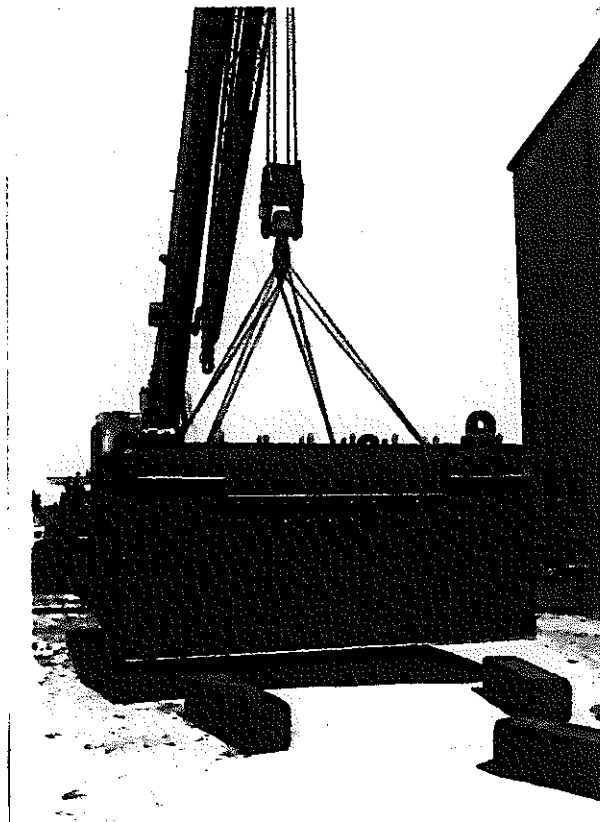
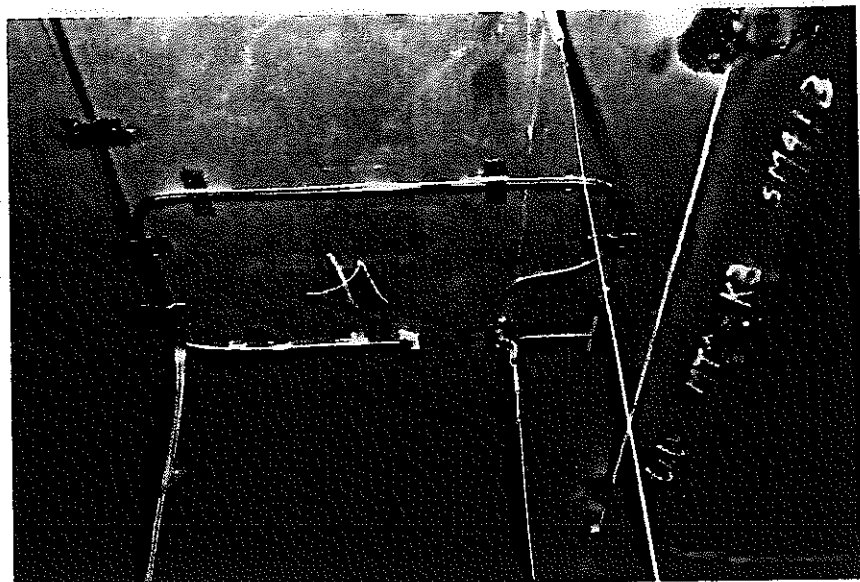


Photo. 2.2.2-6 供試体の試験セルへの吊り込み

Photo. 2.2.2-6 Lifting and Bringing the Test Rig
into the Experimental Cell



1894-17A

Photo. 2.2.2-7 ライナ裏面へのゲージの取り付け

Photo. 2.2.2-7 Setting of the Gauges to the Lower Surface
of the Liner Plate

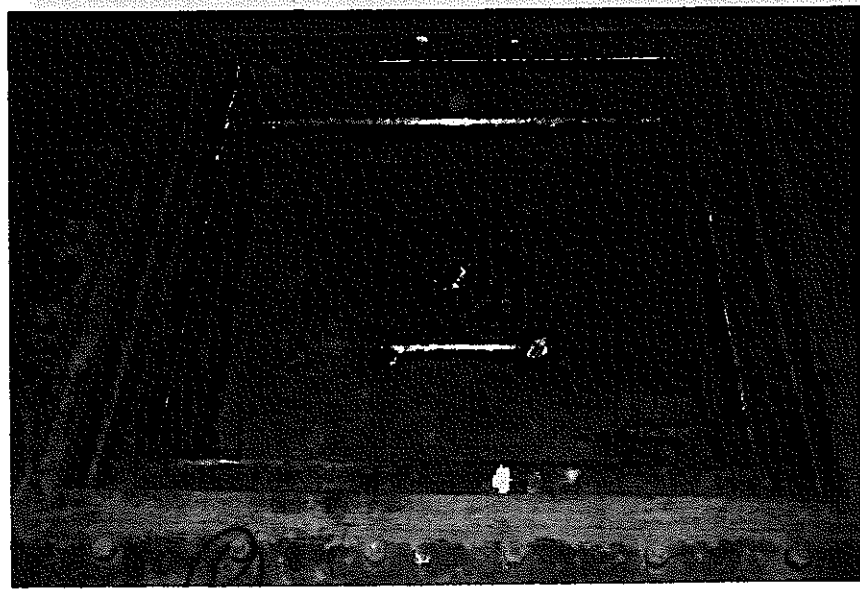


Photo. 2.2.2-8 ライナプレート、埋込金物の取り付け

Photo. 2.2.2-8 Set up of the Liner Plate and the Embedded
Plate

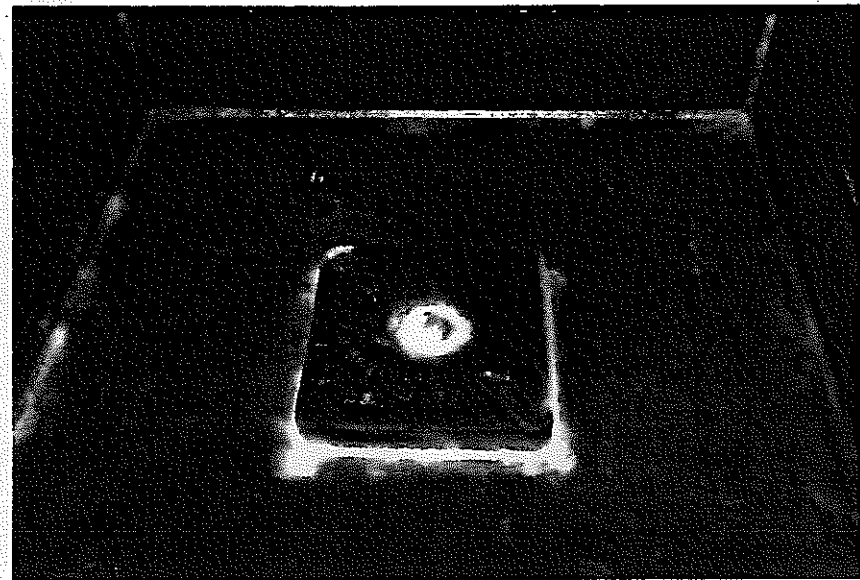


Photo. 2.2.2-9

接縫部の液体浸透探傷検査

Photo. 2.2.2-9

Dye Penetration Test for the Seal 'We' Lines
of the Liner Plate



Photo. 2.2.2-10

接縫部の真空箱漏洩検査

Photo. 2.2.2-10

Leak Test by Vacuum Box for the Seal
'We' Lines in the Liner Plate

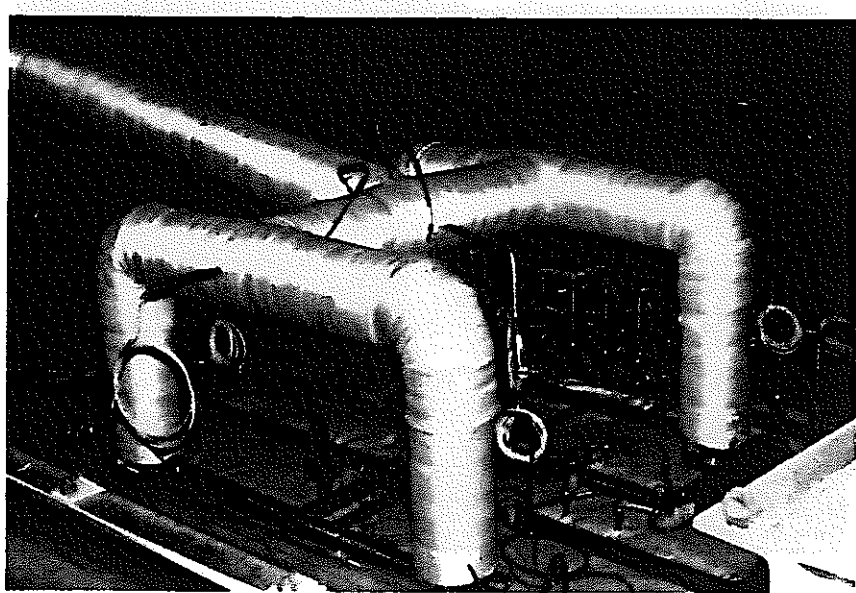


Photo. 2.2.2-11 断熱パラフ[®]の据え付け、ナトリウム配管の取り付
Photo. 2.2.2-11 Setting of Insulating Cover on Sodium Piping

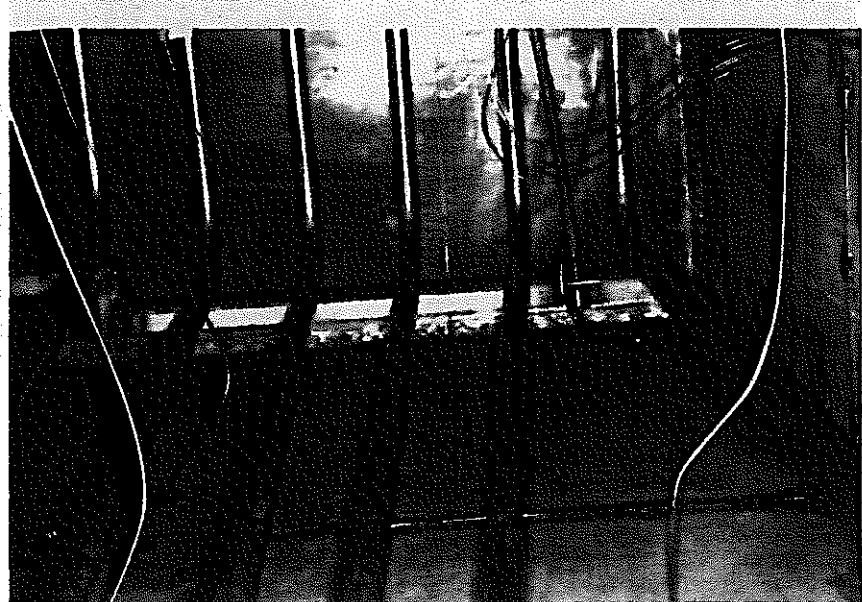


Photo. 2.2.2-12 ナトリウム加熱用ヒタの取り付ナ
Photo. 2.2.2-12 Setting of Heater on Sodium Heating

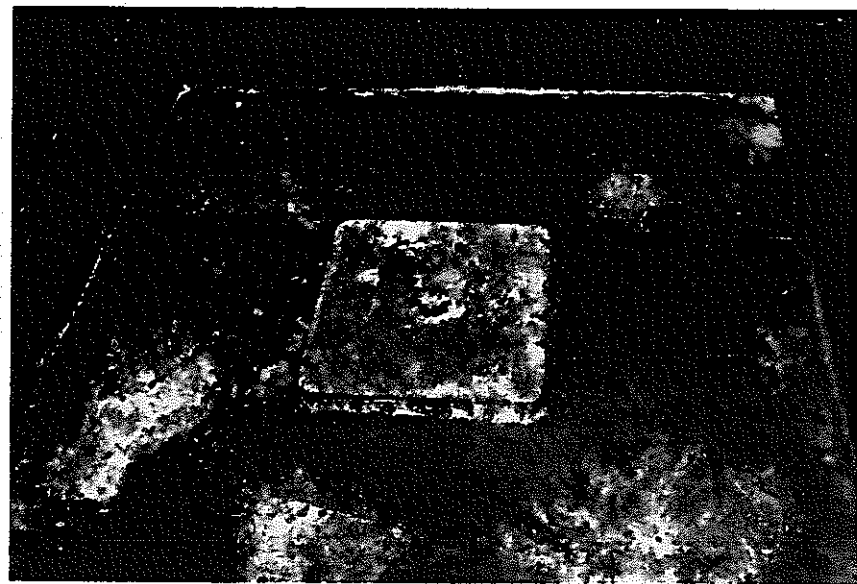


Photo. 2.3.3-1 断熱カバ開設後のライナ表面
Photo. 2.3.3-1 Liner Plate Surface after the Insulating Cover Removal

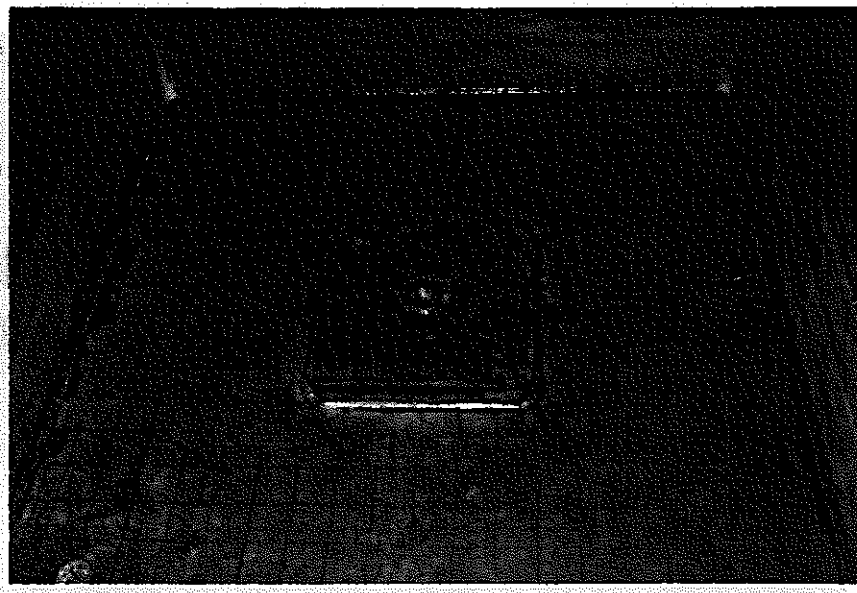


Photo. 2.4.4-1 ナトリウム除去後のライナ表面
Photo. 2.4.4-1 Liner Plate Surface after the Sodium Removal



Photo. 2.4.4-2 試験後の耐熱コンクリートの表面状況

Photo. 2.4.4-2 Heat Resisting Concrete Surface after the Test



Photo. 2.4.4-3 試験後の耐熱コンクリートの表面（クラック部）

Photo. 2.4.4-3 Heat Resisting Concrete Surface after the Test (Cracked Part)

APPENDIX A 試験データ集

図 リ ス ト
List of Figure

Fig. A-2-1	埋込金物 DL-1 部の面外変位時間変化 (RUN-4)	A-1
Fig. A-2-1	Record of Out-of-Plane Displacement of the Embedded Plate (DL-1) at RUN-4	ペ-ジ
Fig. A-2-2	埋込金物 DL-2 部の面外変位時間変化 (RUN-4)	A-2
Fig. A-2-2	Record of Out-of-Plane Displacement of the Embedded Plate (DL-2) at RUN-4	
Fig. A-2-3	ライナフーレー DL-3 部の面外変位時間変化 (RUN-4)	A-3
Fig. A-2-3	Record of Out-of-Plane Displacement of the Liner Plate (DL-3) at RUN-4	
Fig. A-2-4	ライナフーレー DL-4 部の面外変位時間変化 (RUN-4)	A-4
Fig. A-2-4	Record of Out-of-Plane Displacement of the Liner Plate (DL-4) at RUN-4	
Fig. A-2-5	ライナフーレー DL-5 部の面外変位時間変化 (RUN-4)	A-5
Fig. A-2-5	Record of Out-of-Plane Displacement of the Liner Plate (DL-5) at RUN-4	
Fig. A-2-6	埋込金物 DL-6 部の面外変位時間変化 (RUN-4)	A-6
Fig. A-2-6	Record of Out-of-Plane Displacement of the Embedded Plate (DL-6) at RUN-4	
Fig. A-2-7	ライナフーレー DL-7 部の面外変位時間変化 (RUN-4)	A-7
Fig. A-2-7	Record of Out-of-Plane Displacement of the Liner Plate (DL-7) at RUN-4	
Fig. A-2-8	ライナフーレー DL-9 部の面外変位時間変化 (RUN-4)	A-8
Fig. A-2-8	Record of Out-of-Plane Displacement of the Liner Plate (DL-9) at RUN-4	
Fig. A-2-9	埋込金物 DL-10 部の面外変位時間変化 (RUN-4)	A-9
Fig. A-2-9	Record of Out-of-Plane Displacement of the Embedded Plate (DL-10) at RUN-4	
Fig. A-2-10	埋込金物 DL-11 部の面外変位時間変化 (RUN-4)	A-10
Fig. A-2-10	Record of Out-of-Plane Displacement of the Embedded Plate (DL-11) at RUN-4	
Fig. A-2-11	ライナフーレー DL-12 部の面外変位時間変化 (RUN-4)	A-11
Fig. A-2-11	Record of Out-of-Plane Displacement of the Liner Plate (DL-12) at RUN-4	
Fig. A-2-12	ライナフーレー DL-13 部の面外変位時間変化 (RUN-4)	A-12
Fig. A-2-12	Record of Out-of-Plane Displacement of the Liner Plate (DL-13) at RUN-4	

Fig. A-2-13 Fig. A-2-13	ライナープレート DL-14 部の面外変位時間変化 (RUN-4) Record of Out-of-Plane Displacement of the Liner Plate (DL-14) at RUN-4	A-13
Fig. A-2-14 Fig. A-2-14	ライナープレート DL-15 部の面外変位時間変化 (RUN-4) Record of Out-of-Plane Displacement of the Liner Plate (DL-15) at RUN-4	A-14
Fig. A-2-15 Fig. A-2-15	ライナープレート DL-16 部の面外変位時間変化 (RUN-4) Record of Out-of-Plane Displacement of the Liner Plate (DL-16) at RUN-4	A-15
Fig. A-2-16 Fig. A-2-16	固定金物 DL-17 部の面内変位時間変化 (RUN-4) Record of In-Plane Displacement of the Anchor (DL-17) at RUN-4	A-16
Fig. A-2-17 Fig. A-2-17	固定金物 DL-18 部の面内変位時間変化 (RUN-4) Record of In-Plane Displacement of the Anchor (DL-18) at RUN-4	A-17
Fig. A-2-18 Fig. A-2-18	埋込金物 DL-19 部の面内変位時間変化 (RUN-4) Record of In-Plane Displacement of the Embedded Plate (DL-19) at RUN-4	A-18
Fig. A-2-19 Fig. A-2-19	埋込金物 DL-20 部の面内変位時間変化 (RUN-4) Record of In-Plane Displacement of the Embedded Plate (DL-20) at RUN-4	A-19
Fig. A-2-20 Fig. A-2-20	ライナープレート SL-1 部の歪み時間変化 (RUN-4) Record of the Strain of the Liner Plate (SL-1) at RUN-4.	A-20
Fig. A-2-21 Fig. A-2-21	ライナープレート SL-2 部の歪み時間変化 (RUN-4) Record of the Strain of the Liner Plate (SL-2) at RUN-4.	A-21
Fig. A-2-22 Fig. A-2-22	ライナープレート SL-3 部の歪み時間変化 (RUN-4) Record of the Strain of the Liner Plate (SL-3) at RUN-4	A-22
Fig. A-2-23 Fig. A-2-23	ライナープレート SL-4 部の歪み時間変化 (RUN-4) Record of the Strain of the Liner Plate (SL-4) at RUN-4.	A-23
Fig. A-2-24 Fig. A-2-24	ライナープレート SL-5 部の歪み時間変化 (RUN-4) Record of the Strain of the Liner Plate (SL-5) at RUN-4	A-24
Fig. A-2-25 Fig. A-2-25	ライナープレート SL-6 部の歪み時間変化 (RUN-4) Record of the Strain of the Liner Plate (SL-6) at RUN-4	A-25

Fig. A-2-26
Fig. A-2-26

ライナフーリー SL-7部の歪み時間変化 (RUN-4)
Record of the Strain of the Liner Plate (SL-7)
at RUN-4

A-26

Fig. A-2-27
Fig. A-2-27

ライナフーリー SL-8部の歪み時間変化 (RUN-4)
Record of the Strain of the Liner Plate (SL-8)
at RUN-4

A-27

Fig. A-2-28
Fig. A-2-28

ライナフーリー SL-9部の歪み時間変化 (RUN-4)
Record of the Strain of the Liner Plate (SL-9)
at RUN-4.

A-28

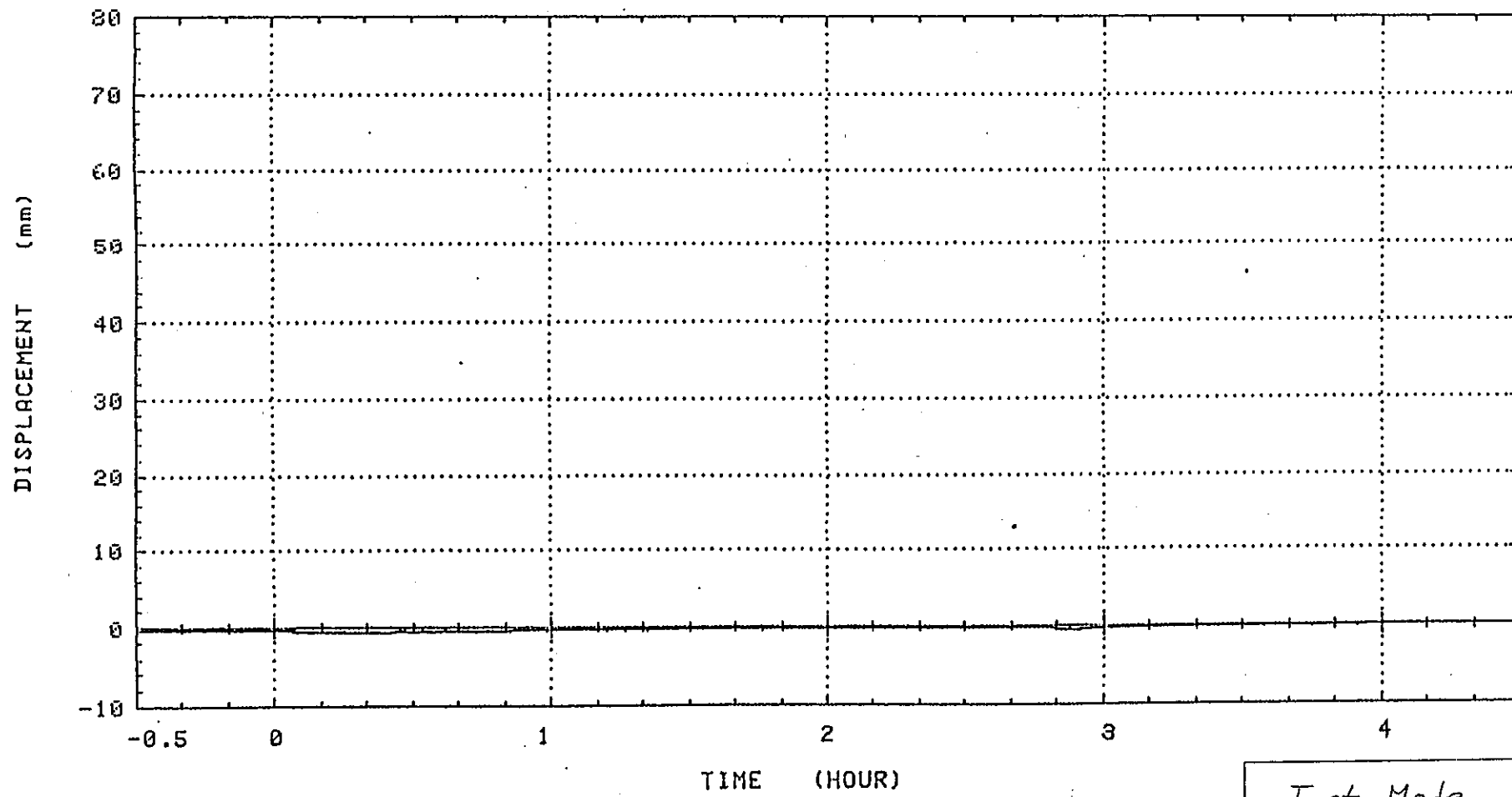


Fig. A-2-1 埋込金物 DL-1 部の面外変位時間変化 (RUN-4)

Fig. A-2-1 Record of Out-of-Plane Displacement of the Embedded Plate
(DL-1) at RUN-4

Test Mode	RUN-4
Tag No. of Displacement Gauge	DL-1

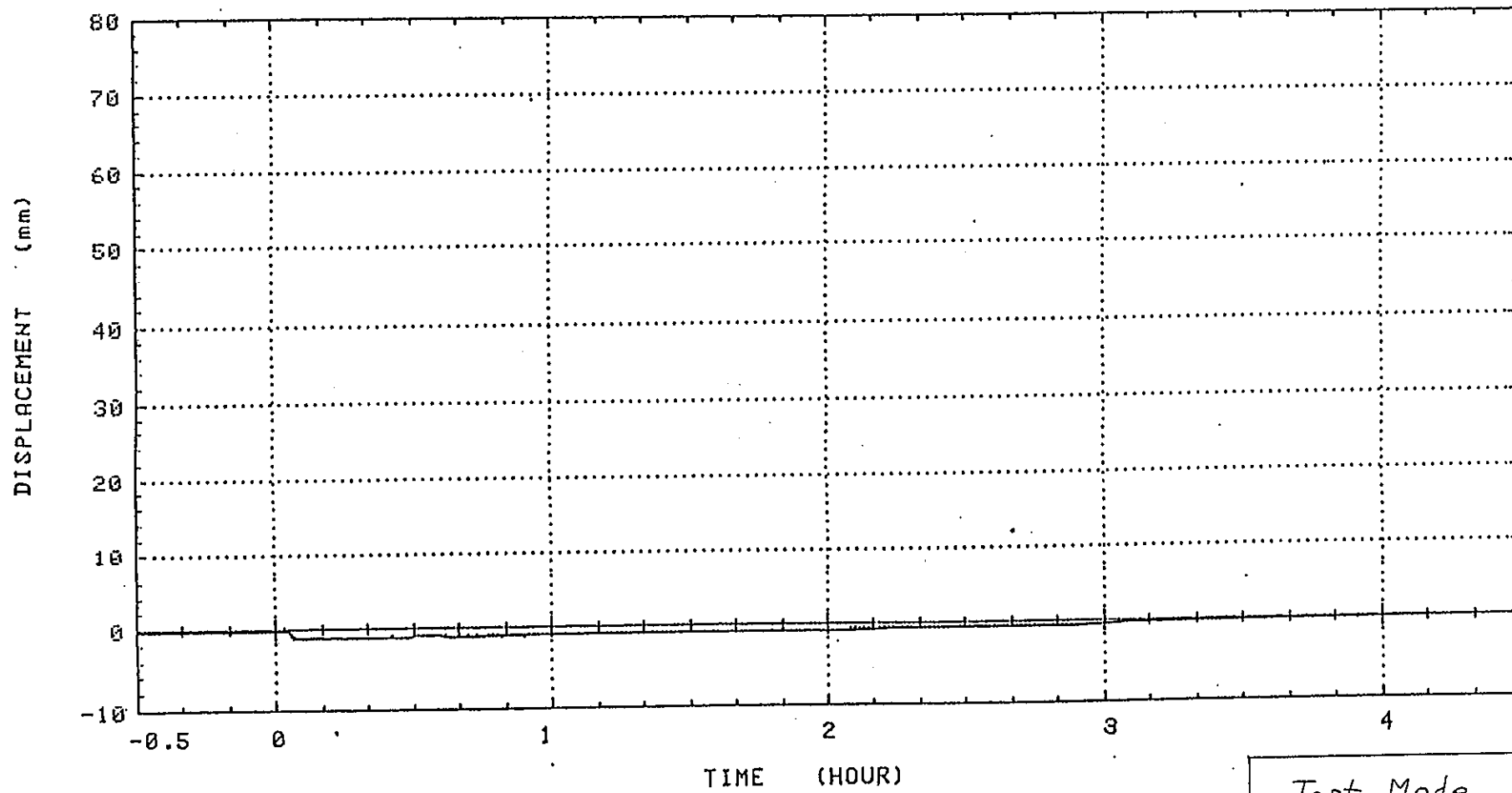


Fig. A-2-2 埋込金物 DL-2部の面外変位時間変化 (RUN-4)

Fig. A-2-2 Record of Out-of-Plane Displacement of the Embedded Plate (DL-2) at RUN-4

Test Mode	RUN-4
Tag No. of Displacement Gauge	DL-2

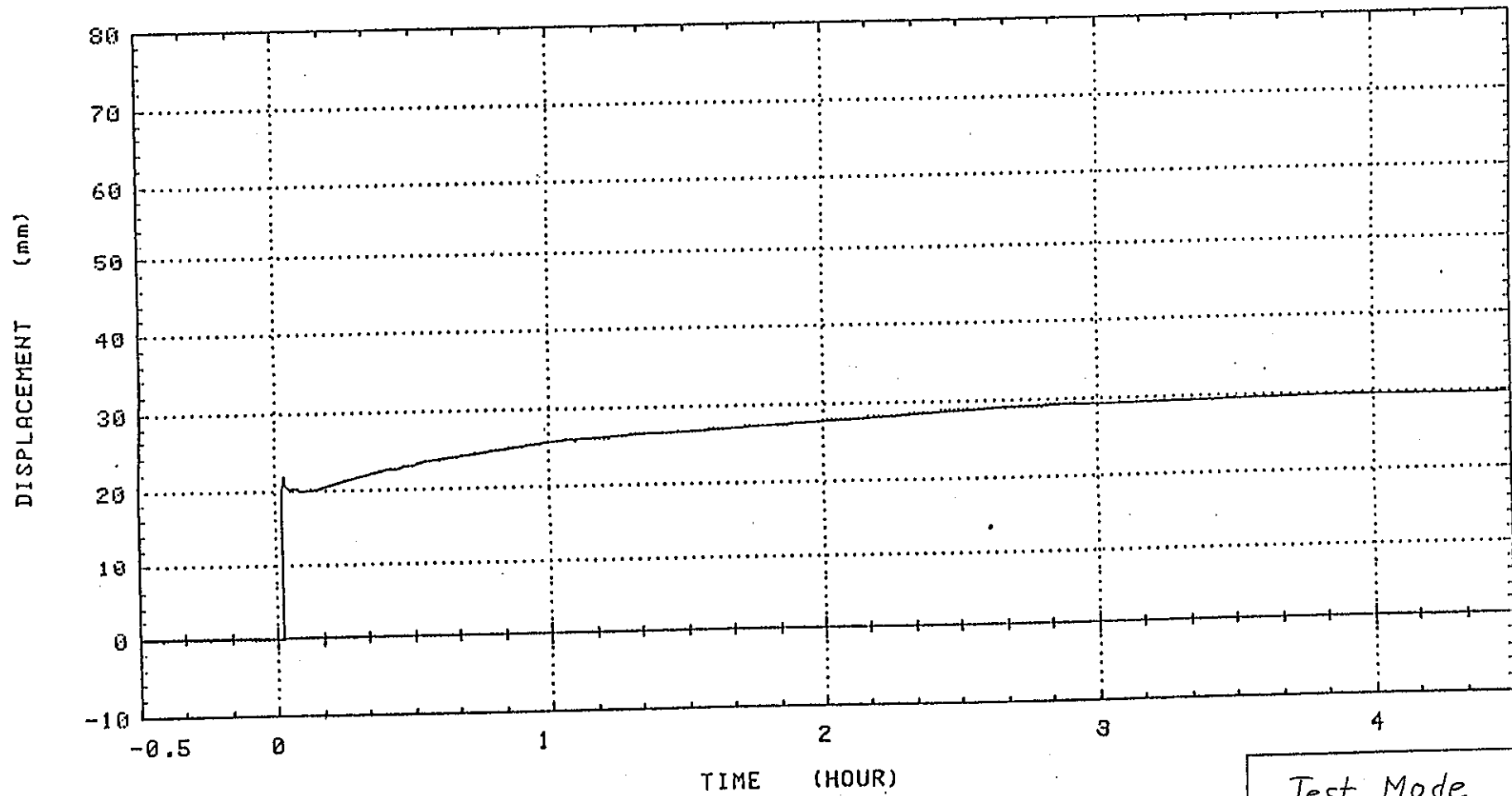


Fig. A-2-3. ライナーレートDL-3部の面外変位時間変化 (RUN-4)

Fig. A-2-3 Record of Out-of-Plane Displacement of the Liner Plate
(DL-3) at RUN-4.

Test Mode	RUN-4
Tag No. of Displacement Gauge	DL-3

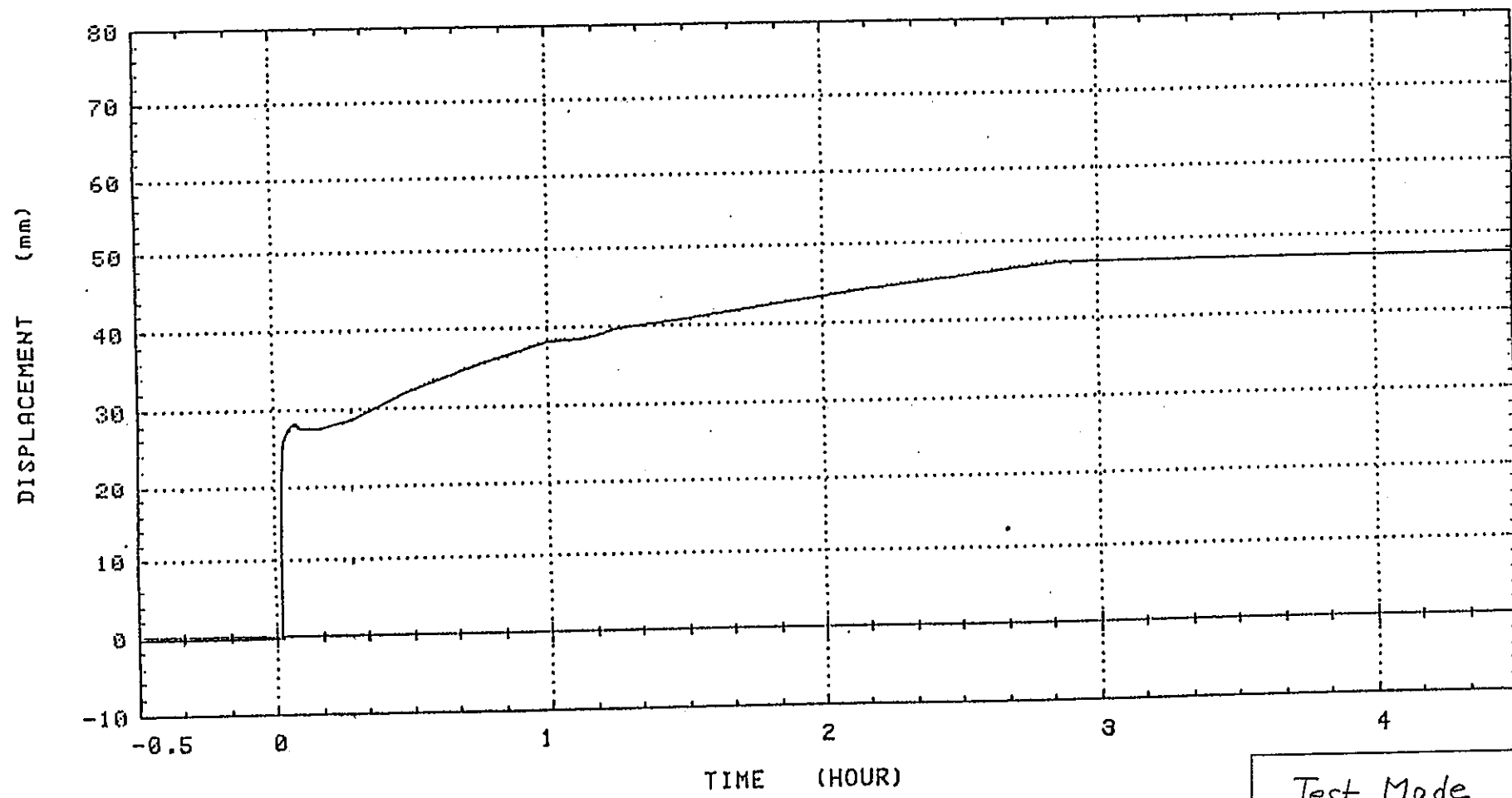


Fig. A-2-4 ライナーブルート DL-4部の面外変位時間変化 (RUN-4)

Fig. A-2-4 Record of Out-of-Plane Displacement of the Liner Plate
(DL-4) at RUN-4

Test Mode	RUN-4
Tag No. of Displacement Gauge	DL-4

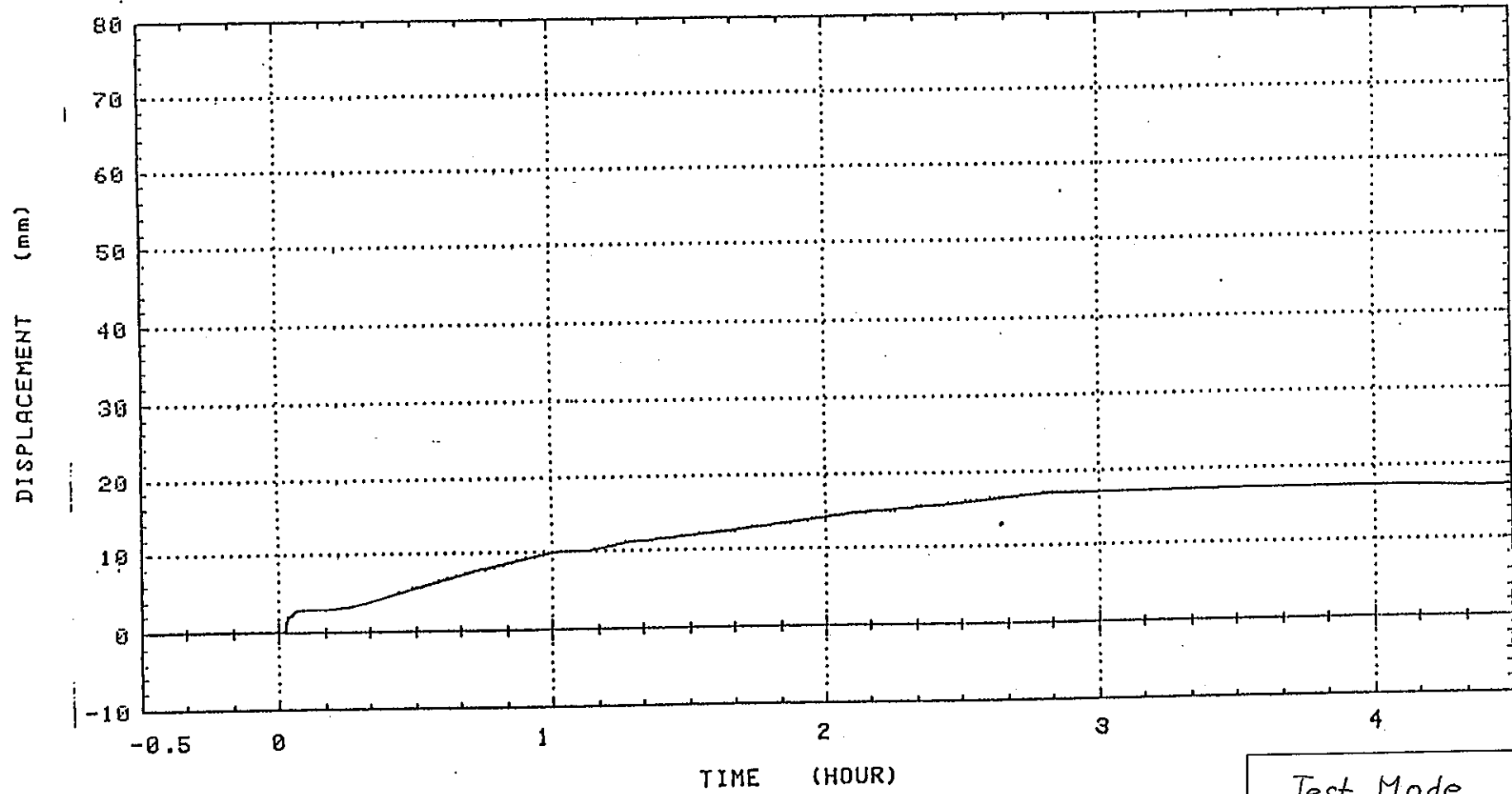


Fig. A-2-5 ライナープレート DL-5部の面外変位時間変化 (RUN-4)

Fig. A-2-5 Record of Out-of-Plane Displacement of the Liner Plate
(PL-5) at RUN-4.

Test Mode	RUN-4
Tag No. of Displacement Gauge	DL-5

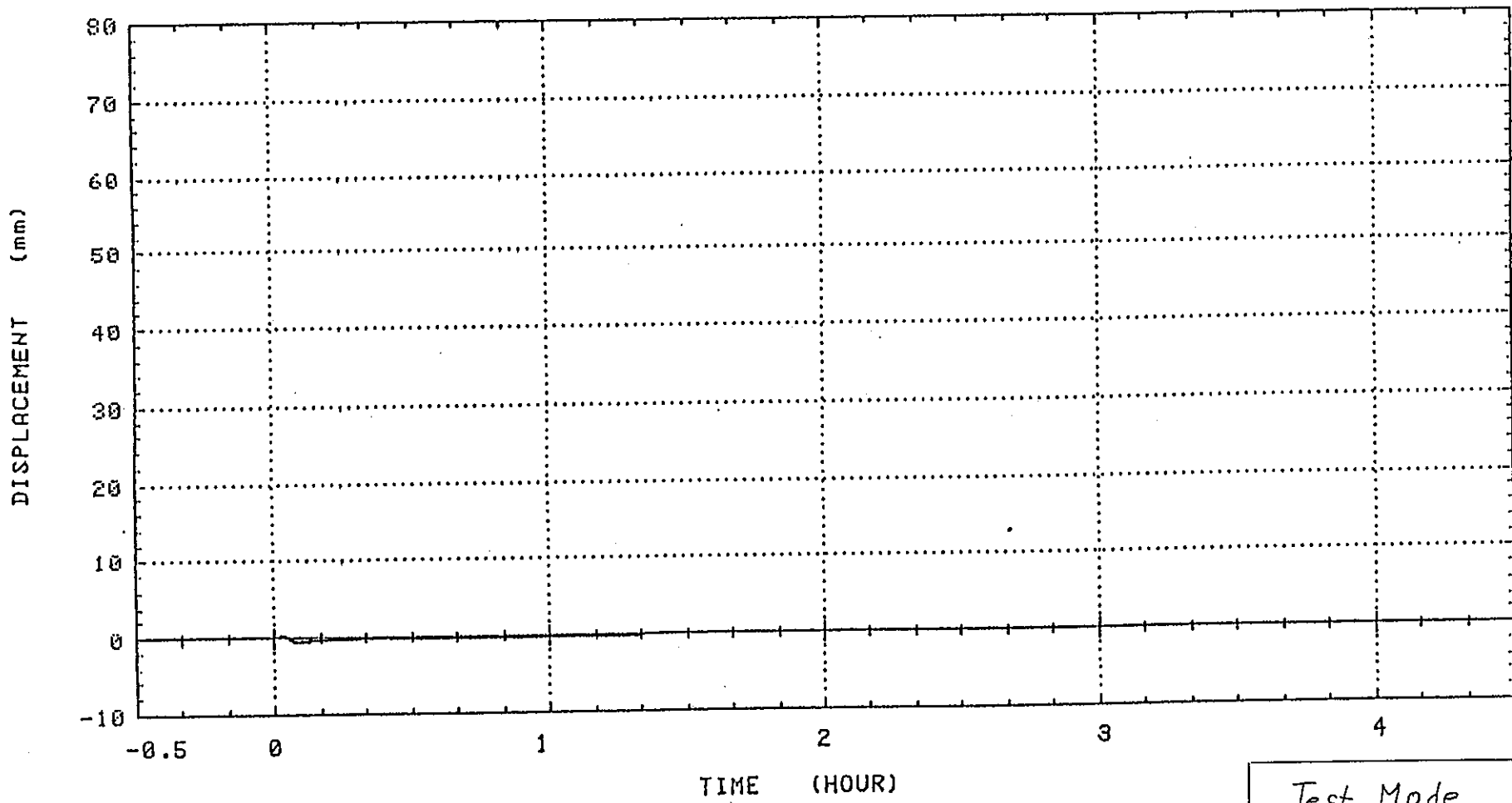


Fig. A-2-6 埋込金物 DL-6部の面外変位時間変化 (RUN-4)

Fig. A-2-6 Record of Out-of-Plane Displacement of the Embedded Plate
(DL-6) at RUN-4

Test Mode	RUN-4
Tag No. of Displacement Gauge	DL-6

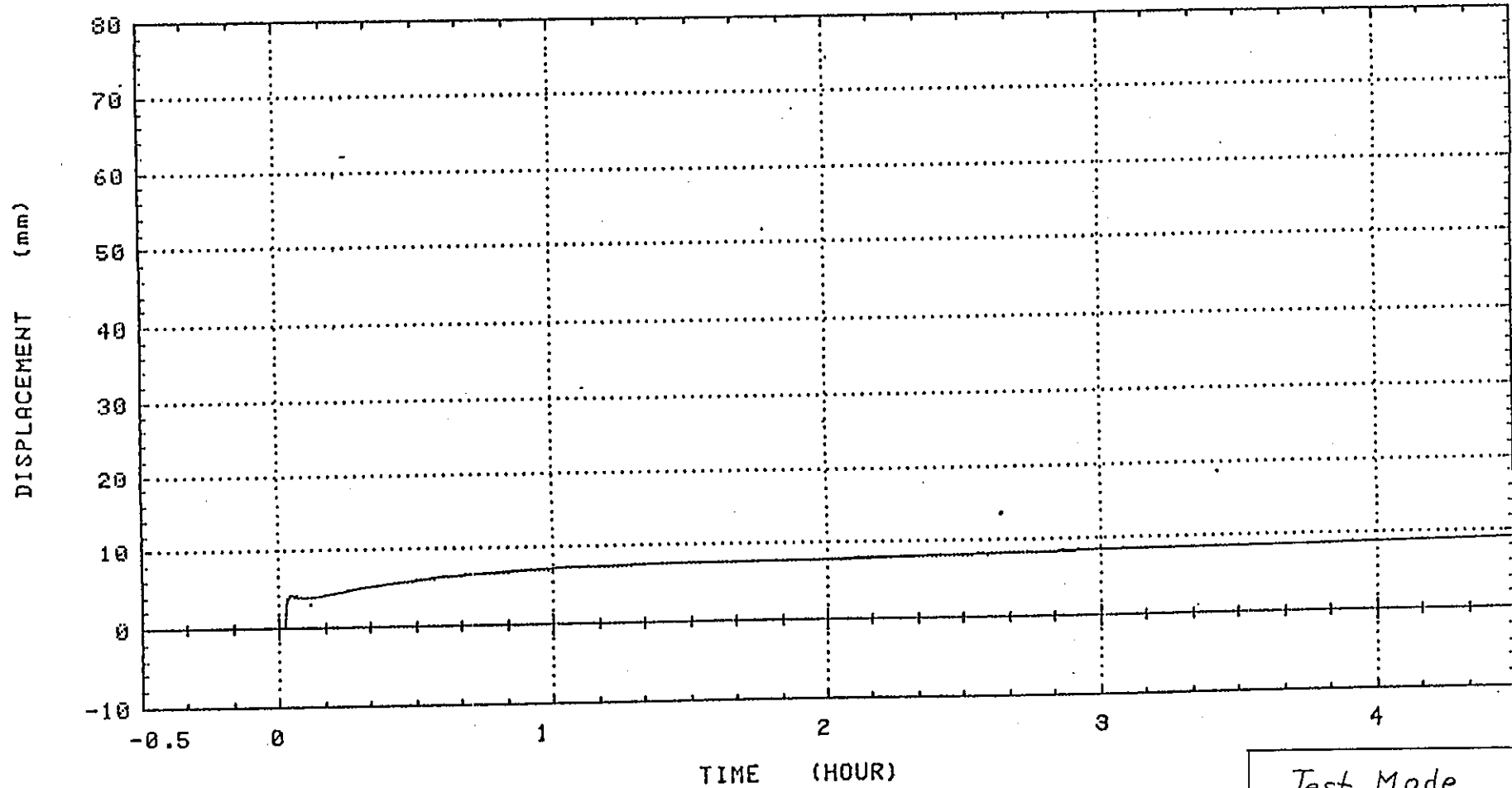


Fig.A-2-7 ライナプレート DL-7部の面外変位時間変化 (RUN-4)

Fig.A-2-7 Record of Out-of-Plane Displacement of the Liner Plate (DL-7) at RUN-4.

Test Mode	RUN-4
Tag No. of Displacement Gauge	DL-7

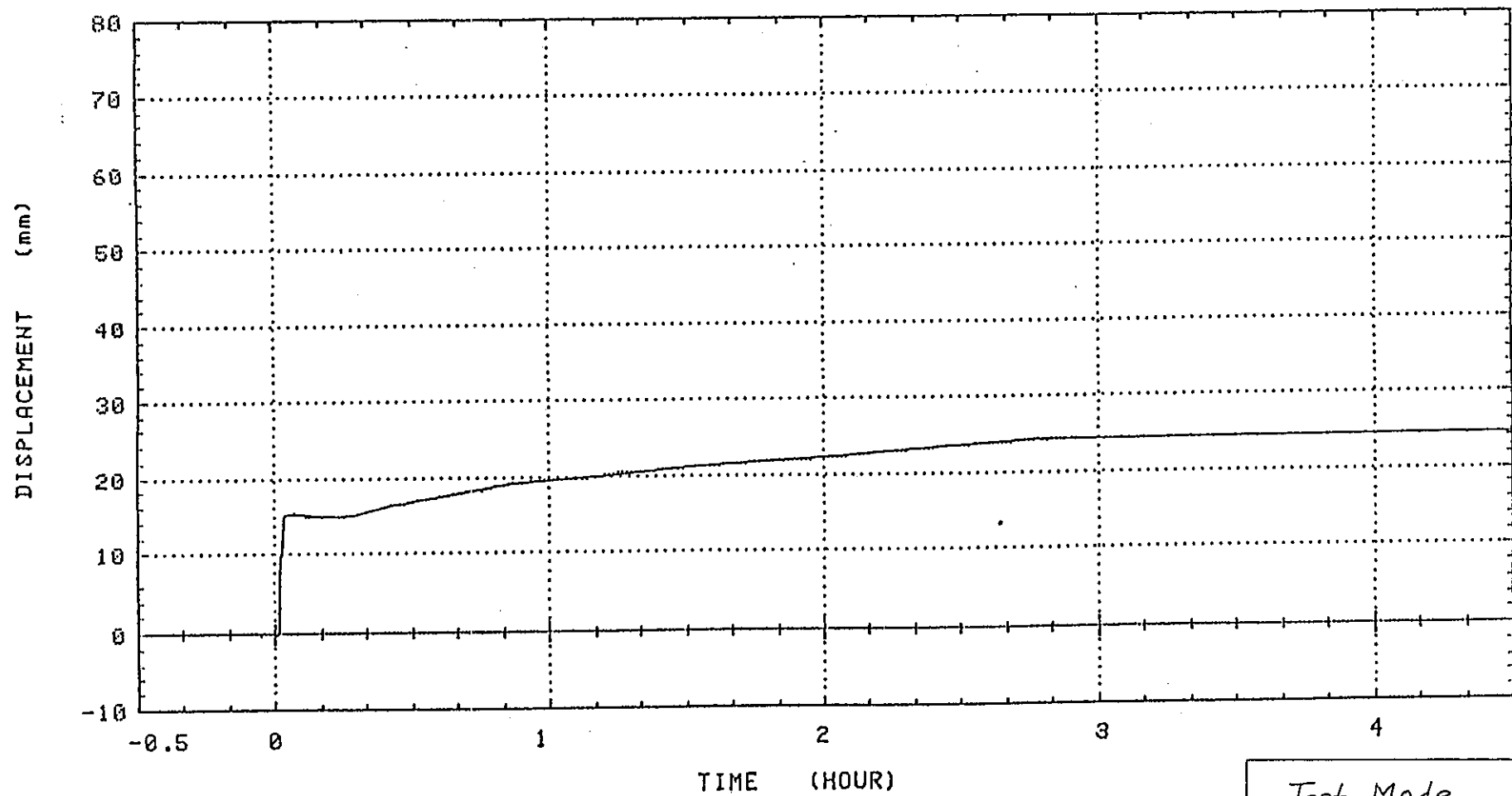


Fig.A-2-8 ライナープレートDL-9部の面外変位時間変化 (RUN-4)

Fig.A-2-8 Record of Out-of-Plane Displacement of the Liner Plate (DL-9) at RUN-4

Test Mode	RUN-4
Tag No. of Displacement Gauge	DL-9

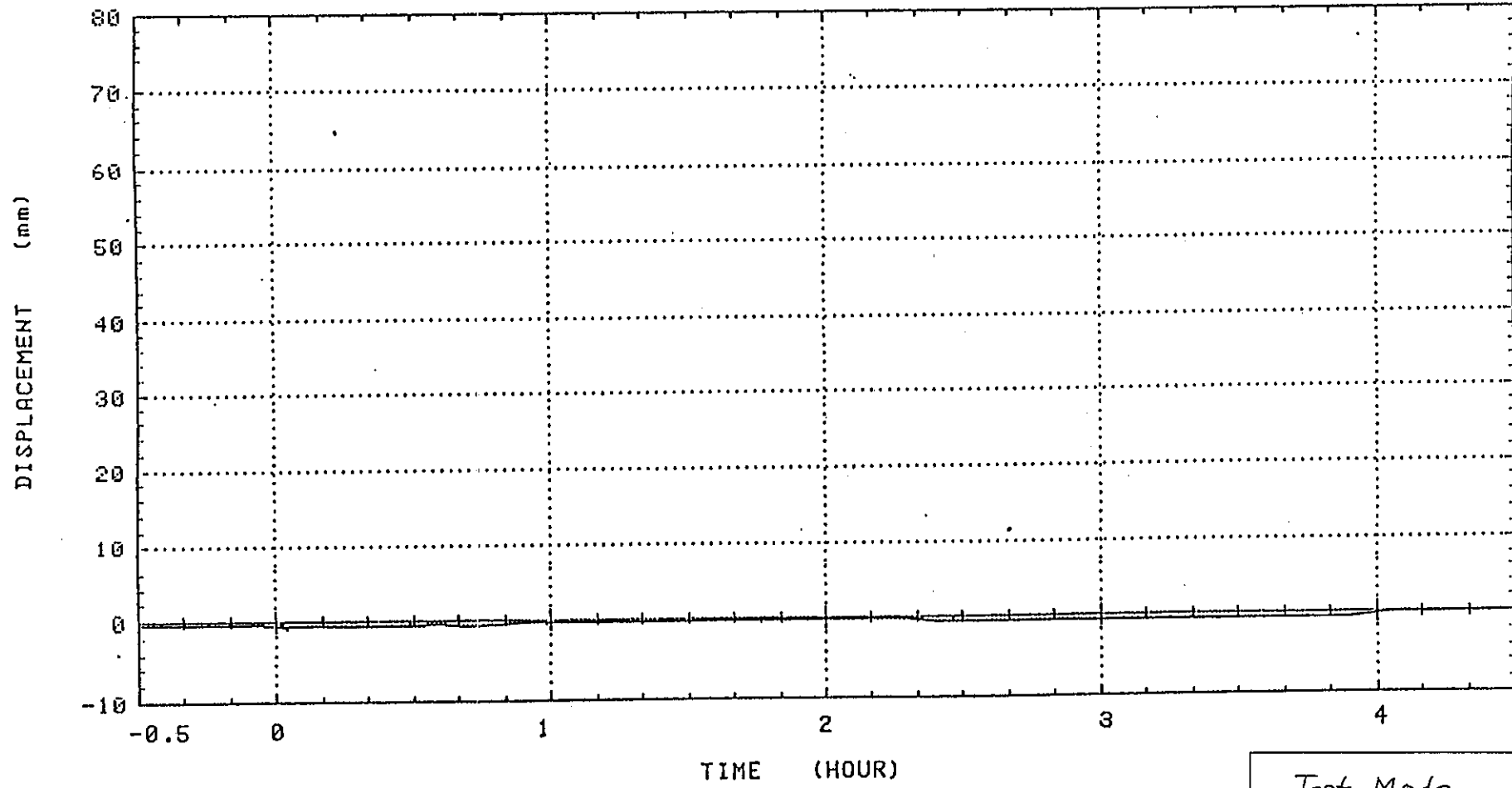


Fig.A-2-9 埋込金物 DL-10部の面外変位時間変化 (RUN-4)

Fig.A-2-9 Record of Out-of-Plane Displacement of the Embedded Plate (DL-10) at RUN-4

Test Mode	RUN-4
Tag No. of Displacement Gauge	DL-10

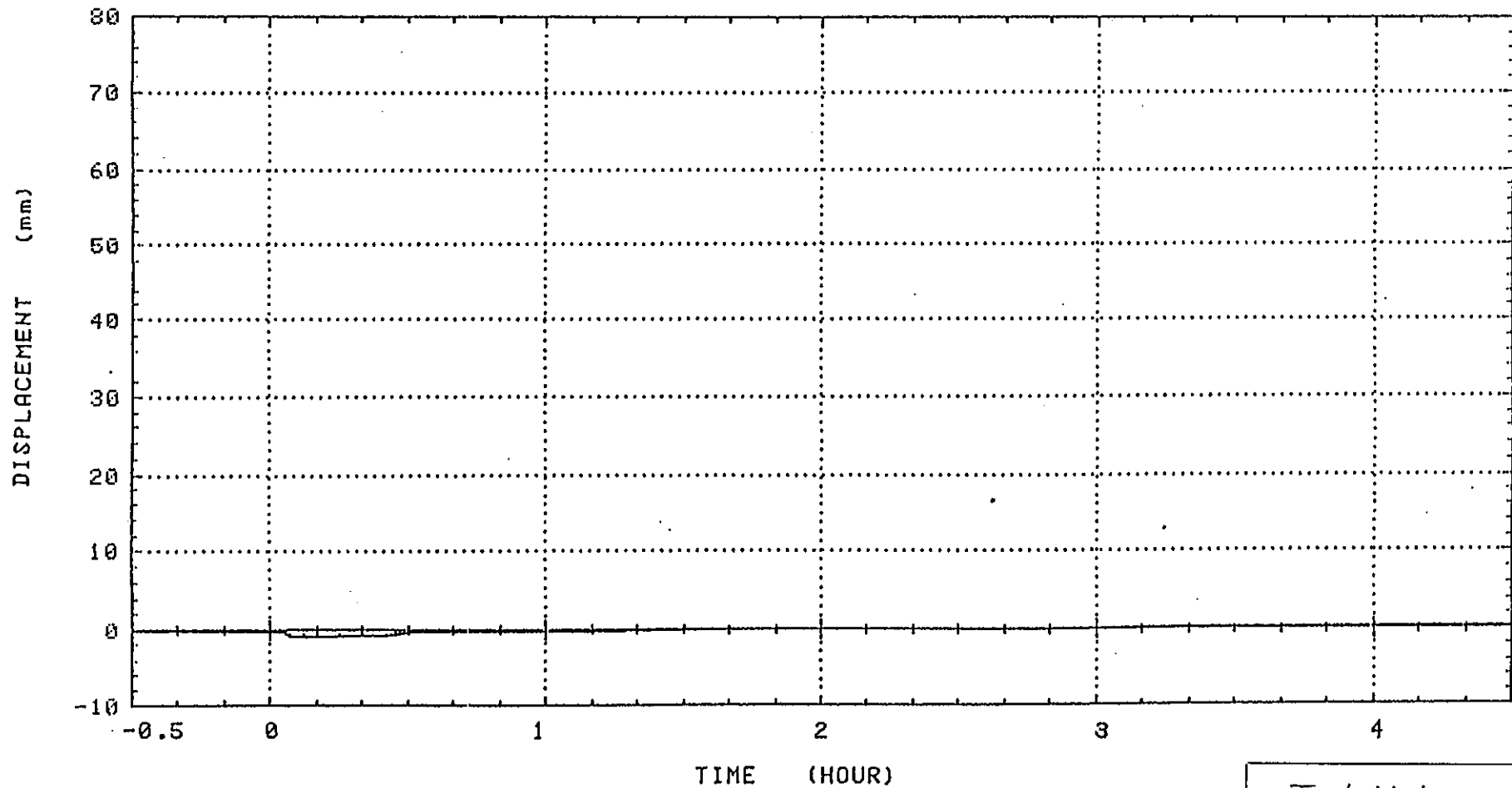


Fig.A-2-10 埋込金物 DL-11部の面外変位時間変化 (RUN-4)

Fig.A-2-10 Record of Out-of-Plane Displacement of the Embedded Plate (DL-11) at RUN-4.

Test Mode	RUN-4
Tag No. of Displacement Gauge	DL-11

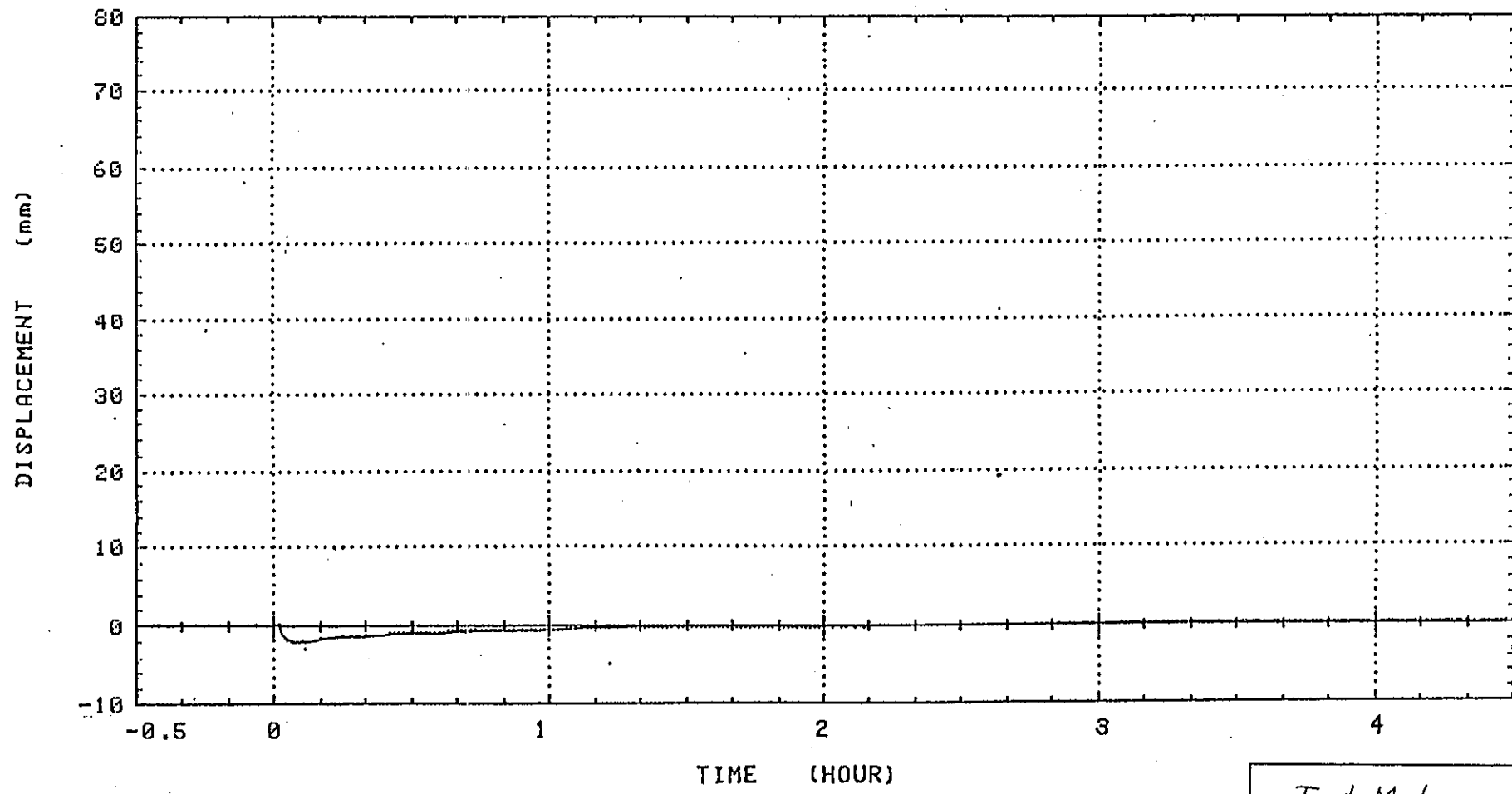


Fig.A-2-11 ライナープレート DL-12 部の面外変位時間変化 (RUN-4)

Fig.A-2-11 Record of Out-of-Plane Displacement of the Liner Plate (DL-12) at RUN-4.

Test Mode	RUN-4
Tag No. of Displacement gauge	DL-12

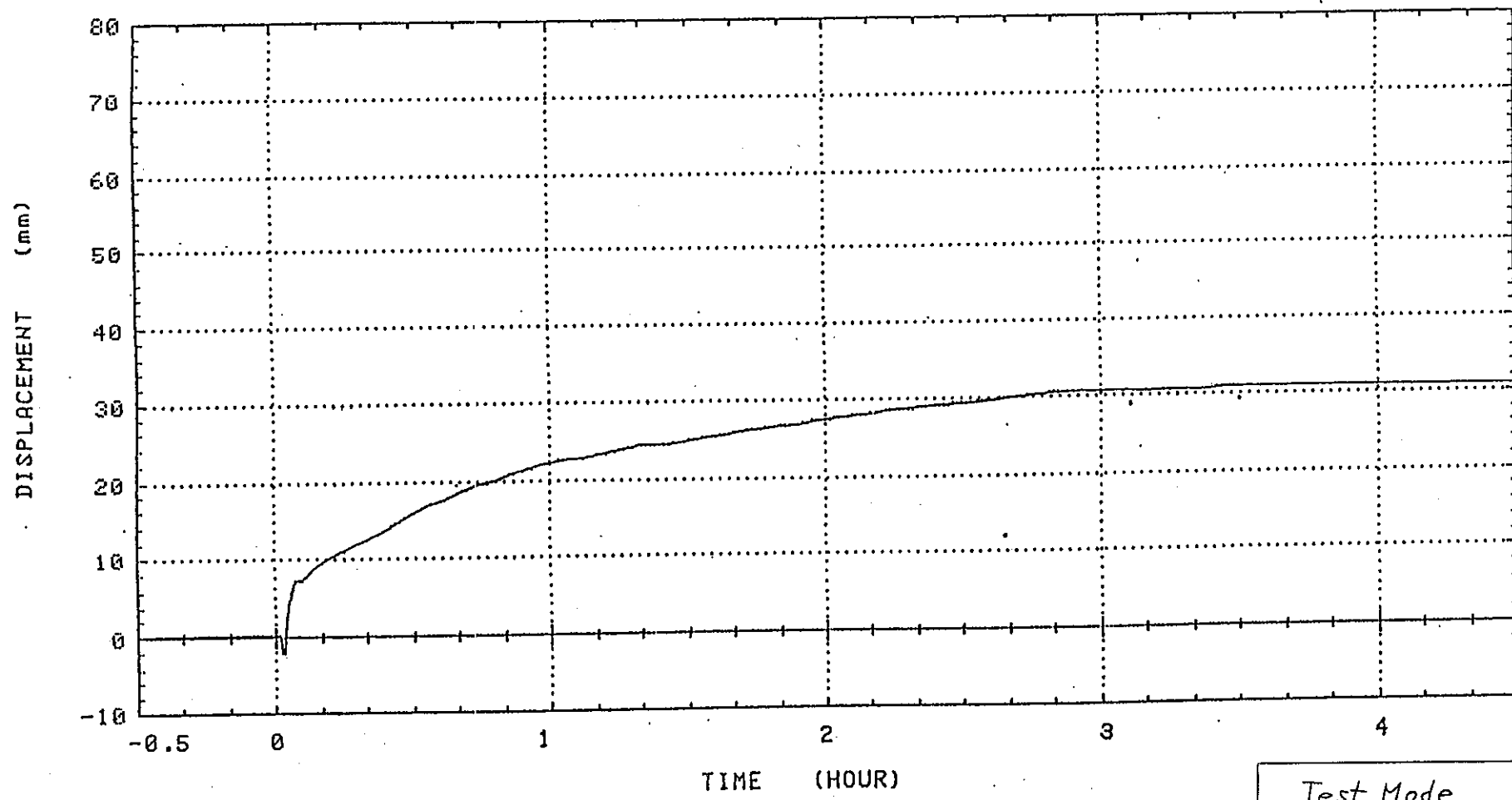


Fig.A-2-12 ライナープレート DL-13部の面外変位時間変化 (RUN-4)

Fig.A-2-12 Record of Out-of-Plane Displacement of the Liner Plate (DL-13) at RUN-4

Test Mode	RUN-4
Tag No. of Displacement Gauge	DL-13

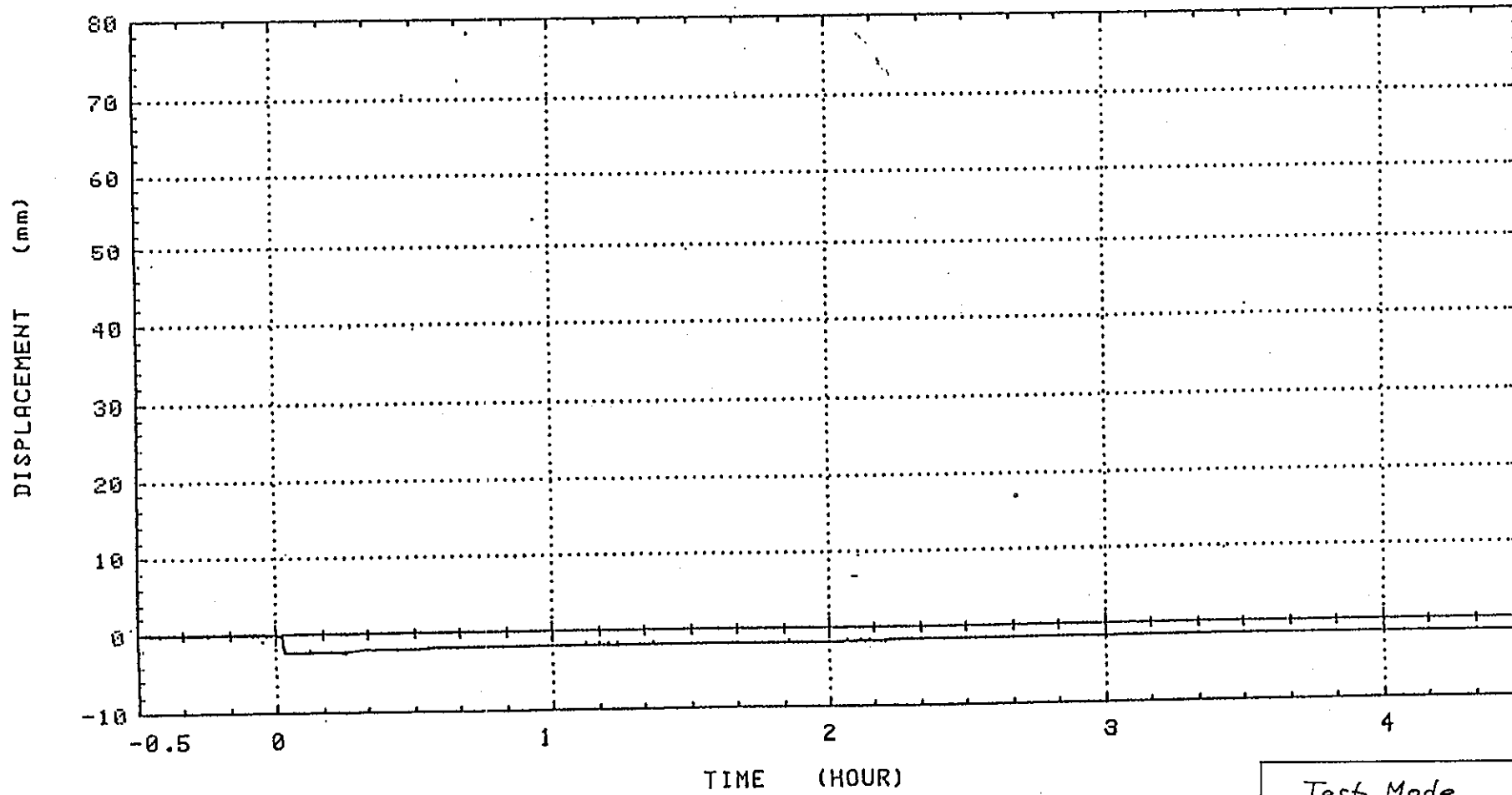


Fig. A-2-13 ライナーリート DL-14部の面外変位時間変化 (RUN-4)

Fig. A-2-13 Record of Out-of-Plane Displacement of the Liner Plate
(DL-14) at RUN-4.

Test Mode	RUN-4
Tag No. of Displacement Gauge	DL-14

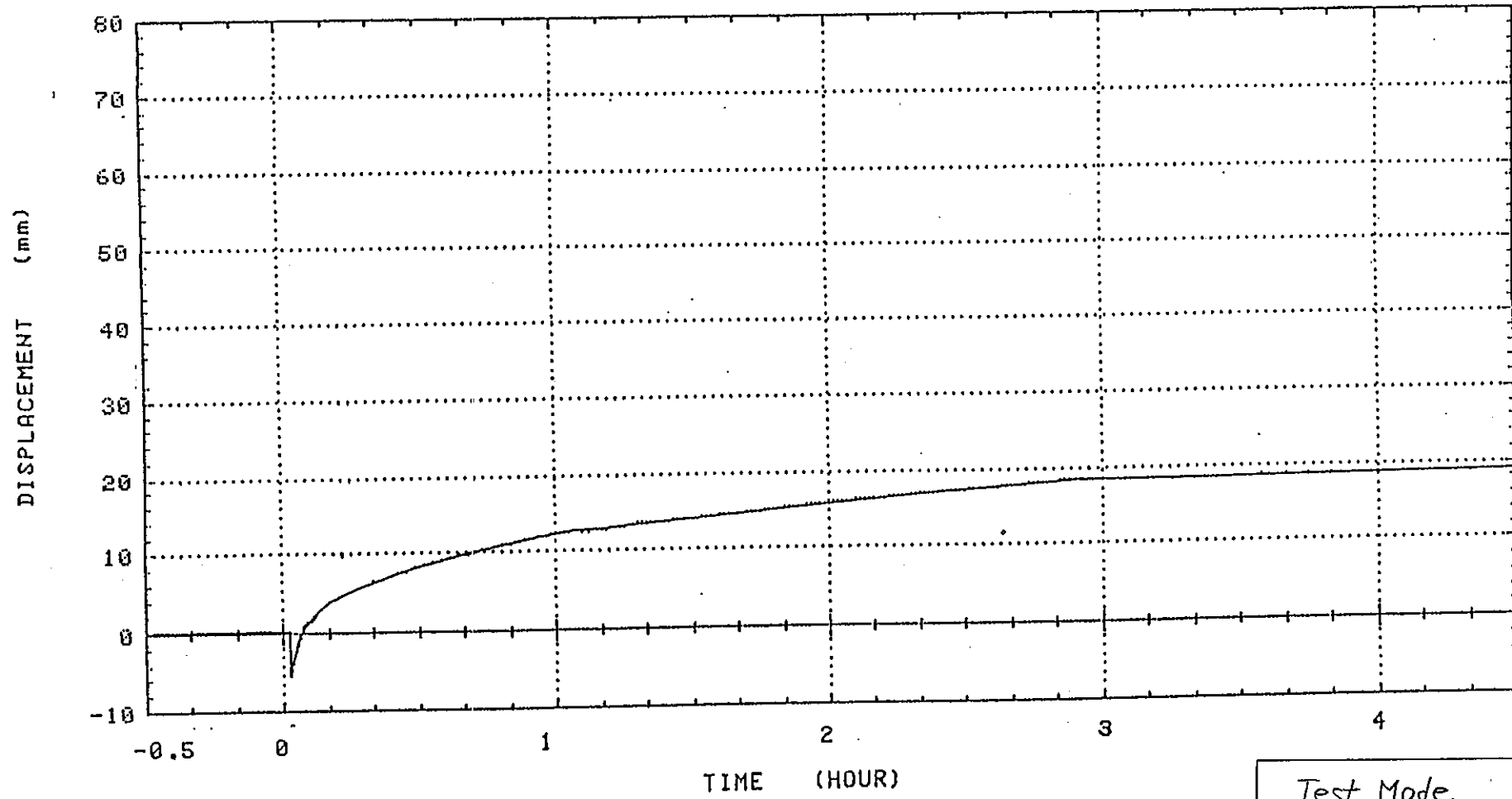


Fig.A-2-14 ライナープレート DL-15部の面外変位時間変化 (RUN-4)

Fig.A-2-14 Record of Out-of-Plane Displacement of the Liner Plate (DL-15) at RUN-4.

Test Mode	RUN-4
Tag No. of Displacement Gauge	DL-15

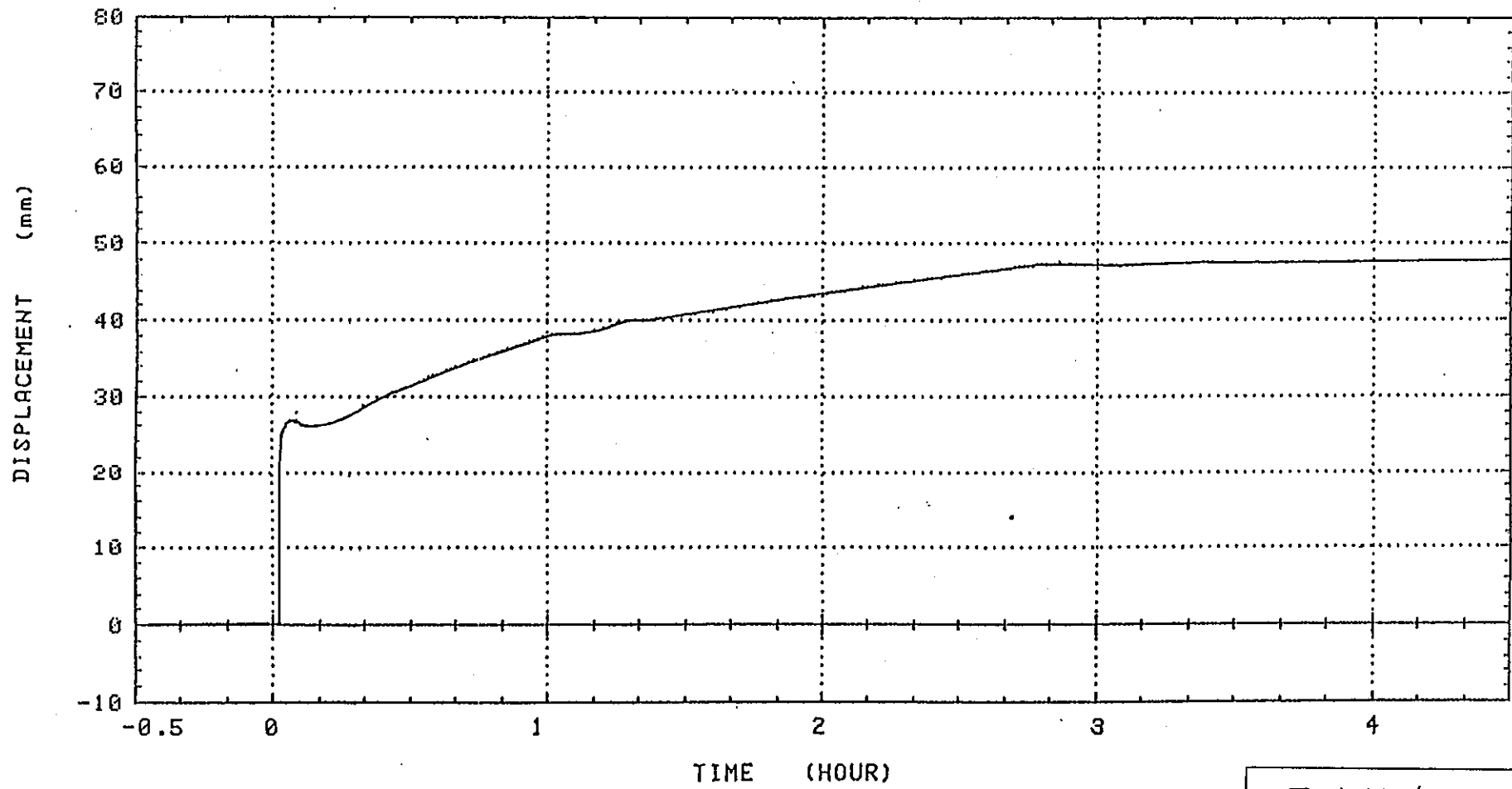


Fig.A-2-15 ライナープレートDL-16部の面外変位時間変化 (RUN-4)

Fig.A-2-15 Record of Out-of-Plane Displacement of the Liner Plate (DL-16) at RUN-4.

Test Mode	RUN-4
Tag No. of Displacement gauge	DL-16

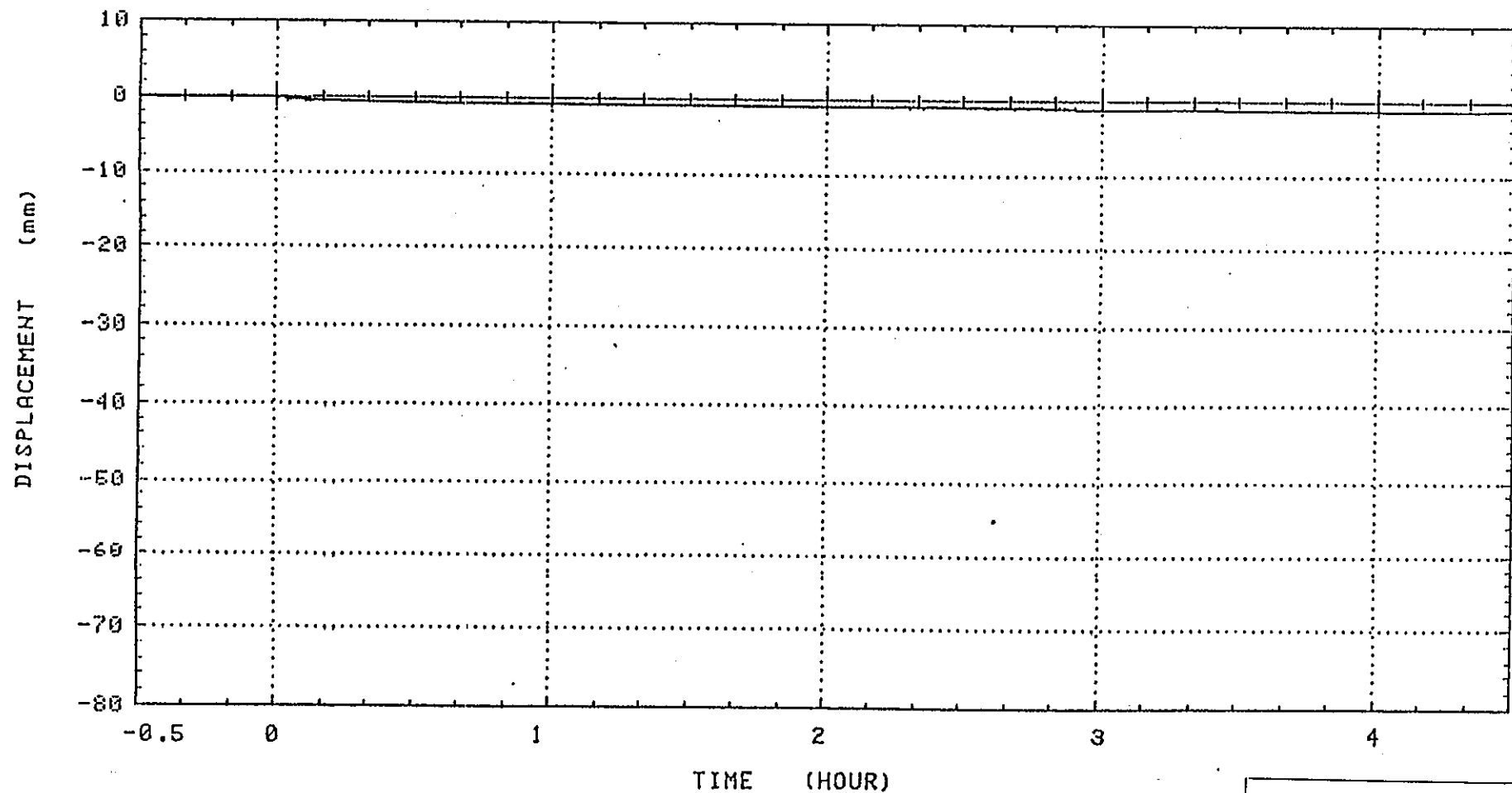


Fig.A-2-16 固定金物 DL-17部の面内変位時間変化 (RUN-4)

Fig.A-2-16 Record of In-Plane Displacement of the Anchor
(DL-17) at RUN-4

Test Mode	RUN-4
Tag No. of Displacement gauge	DL-17

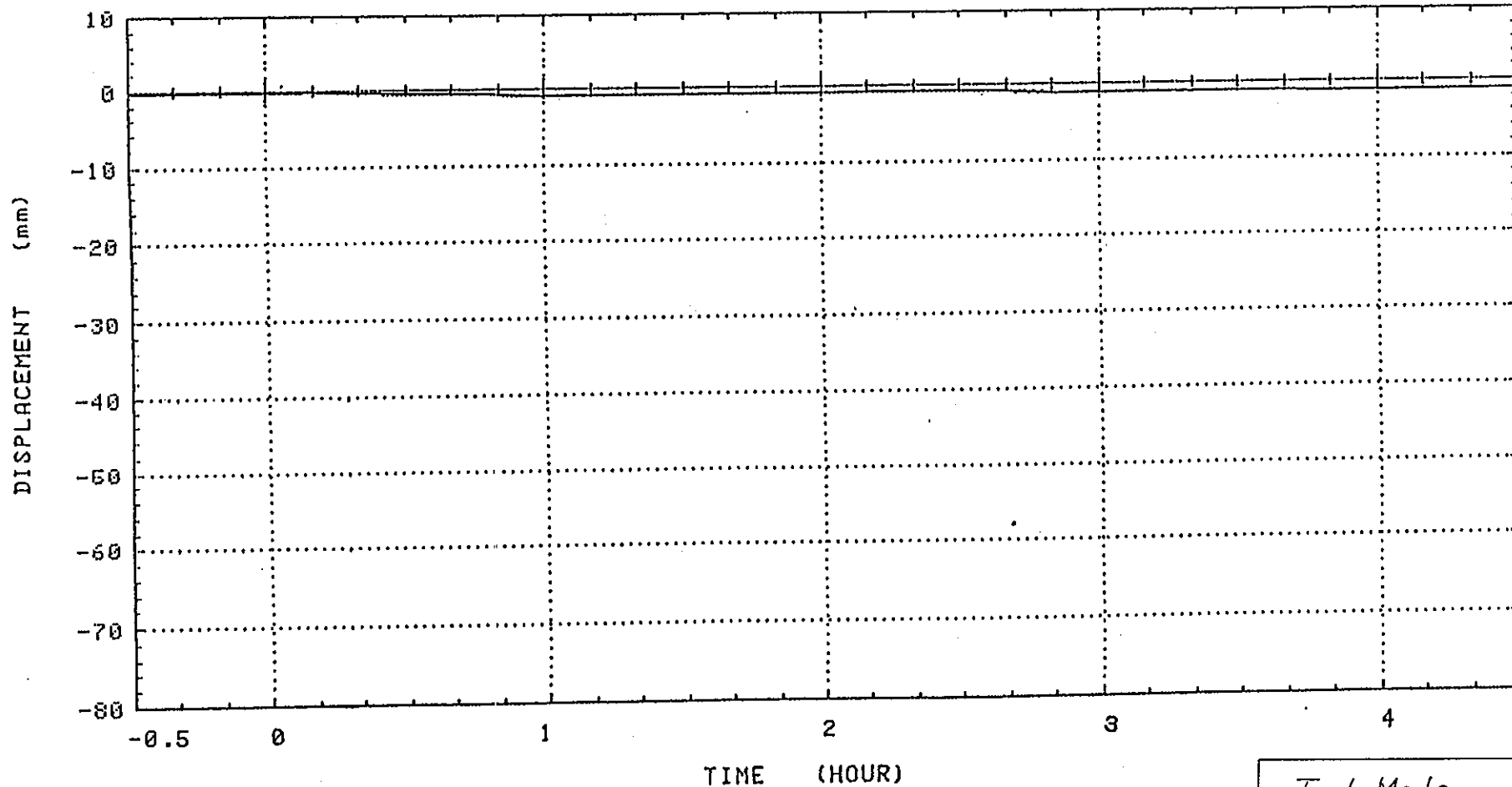


Fig. A-2-17 固定金物 DL-18部の面内変位時間変化 (RUN-4)

Fig. A-2-17 Record of In-Plane Displacement of the Anchor
(DL-18) at RUN-4

Test Mode	RUN-4
Tag No. of Displacement Gauge	DL-18

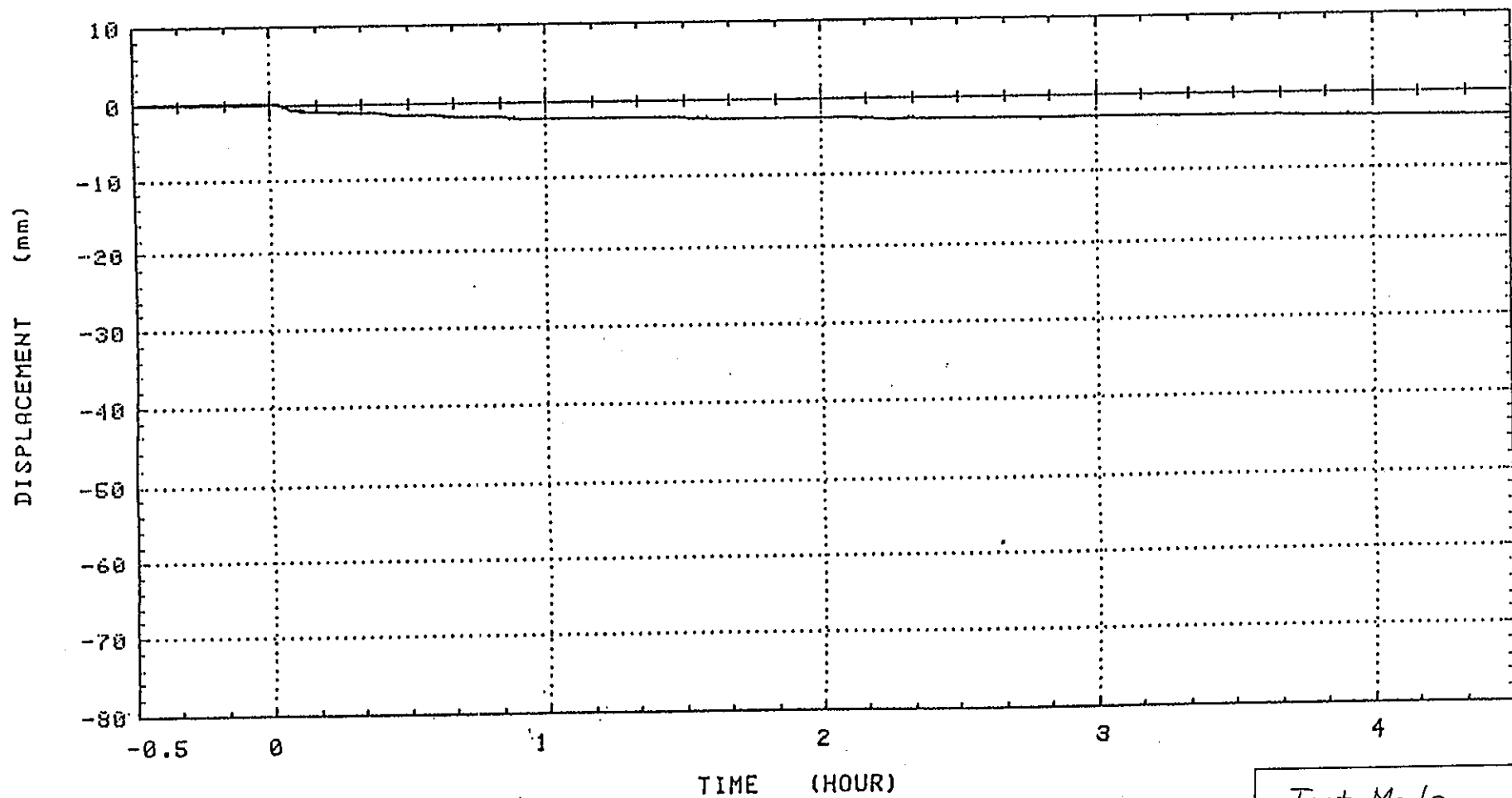


Fig.A-2-18 埋込金物 DL-19部の面内変位時間変化(RUN-4)

Fig.A-2-18 Record of In-Plane Displacement of the Embedded Plate (DL-19) at RUN-4.

Test Mode	RUN-4
Tag No. of Displacement Gauge	DL-19

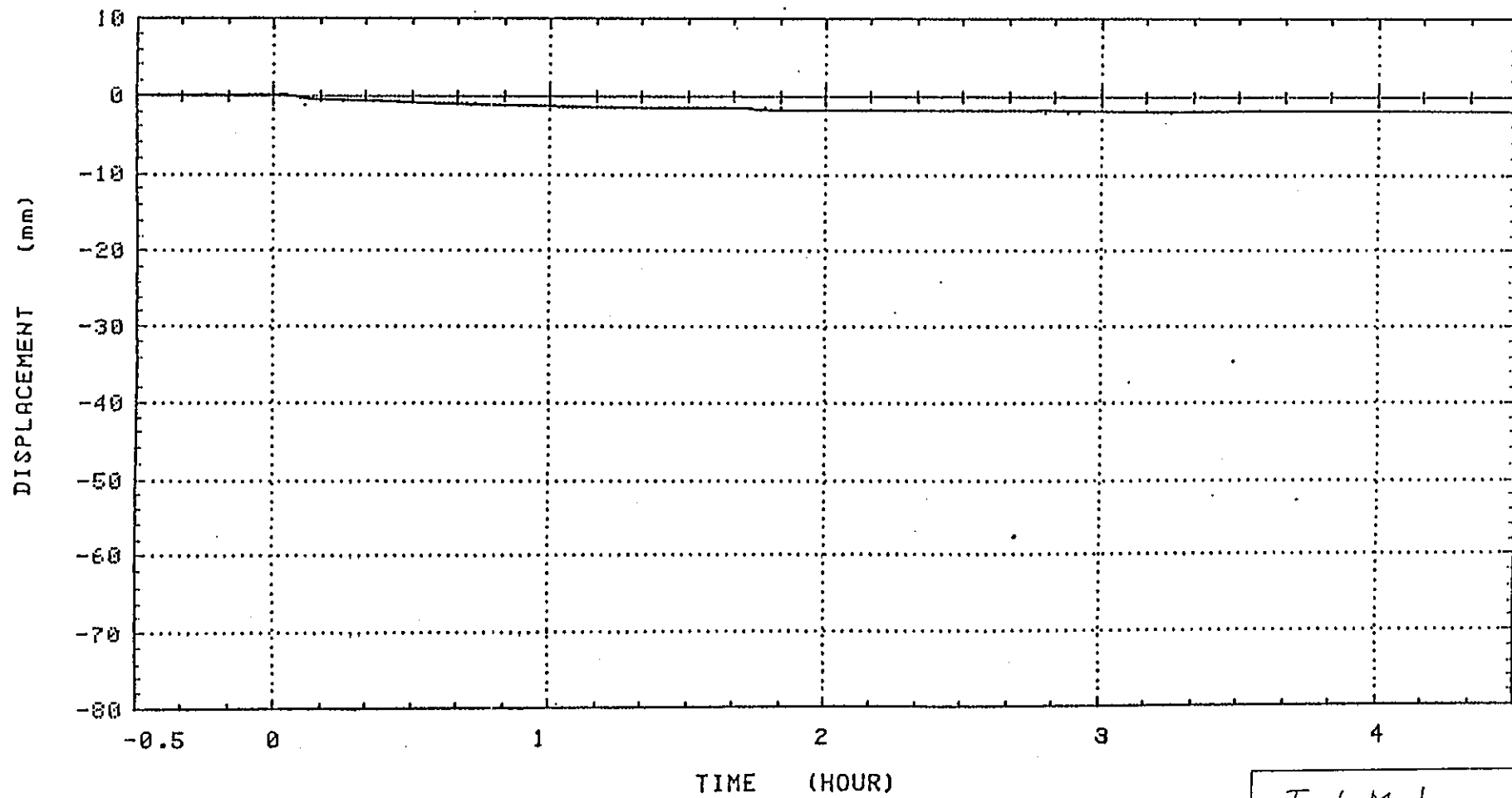


Fig.A-2-19 埋込金物DL-20部の面内変位時間変化(RUN-4)

Fig.A-2-19 Record of In-Plane Displacement of the Embedded Plate (DL-20) at RUN-4.

Test Mode	RUN-4
Tag No. of Displacement Gauge	DL-20

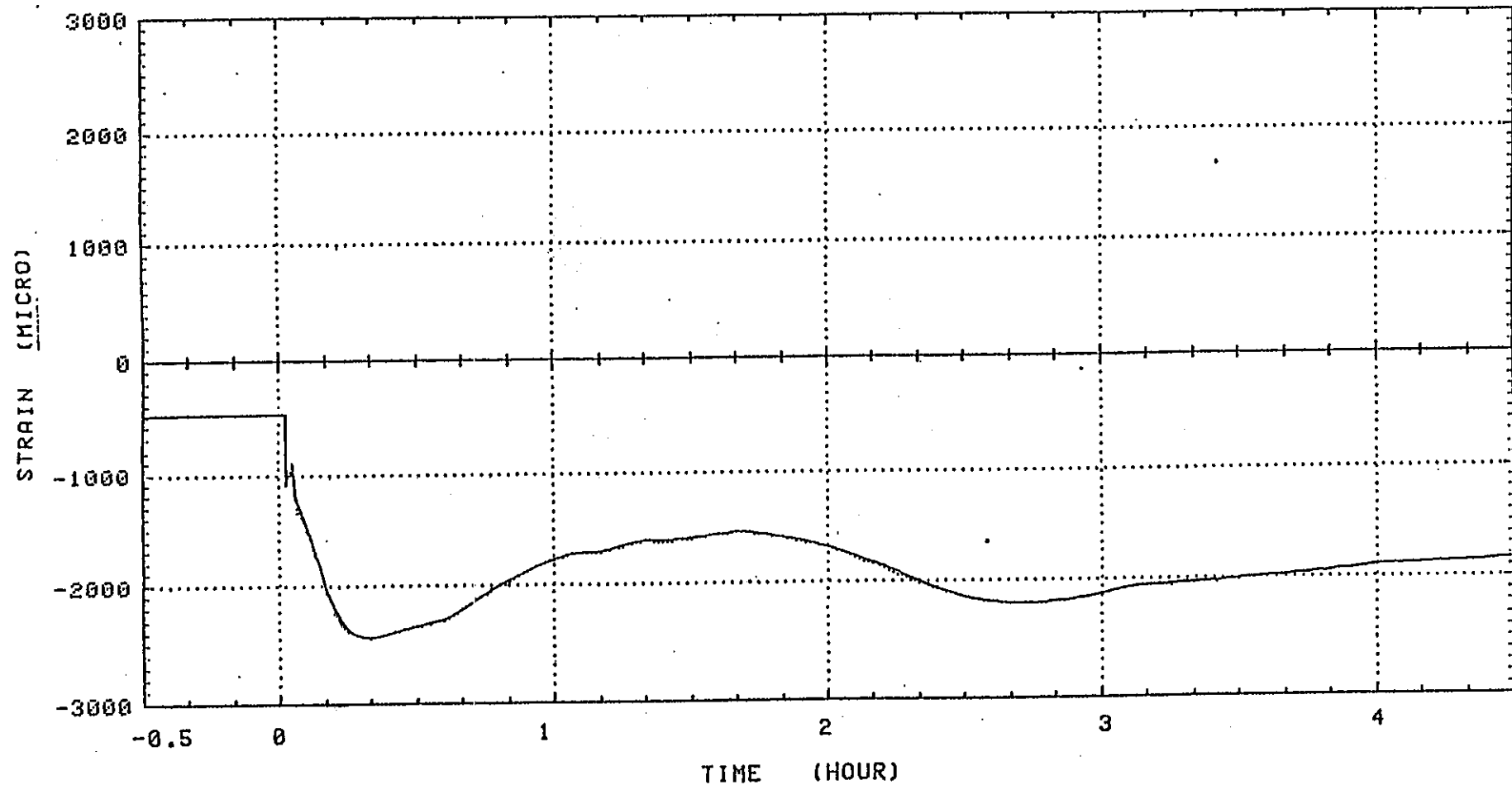


Fig. A-2-20 ライナ^ア L-1 SL-1部の歪み時間変化 (RUN-4)
 Fig. A-2-20 Record of the Strain of the Liner Plate (SL-1) at RUN-4

Test Mode	RUN-4
Tag No. of strain Gauge	SL-1

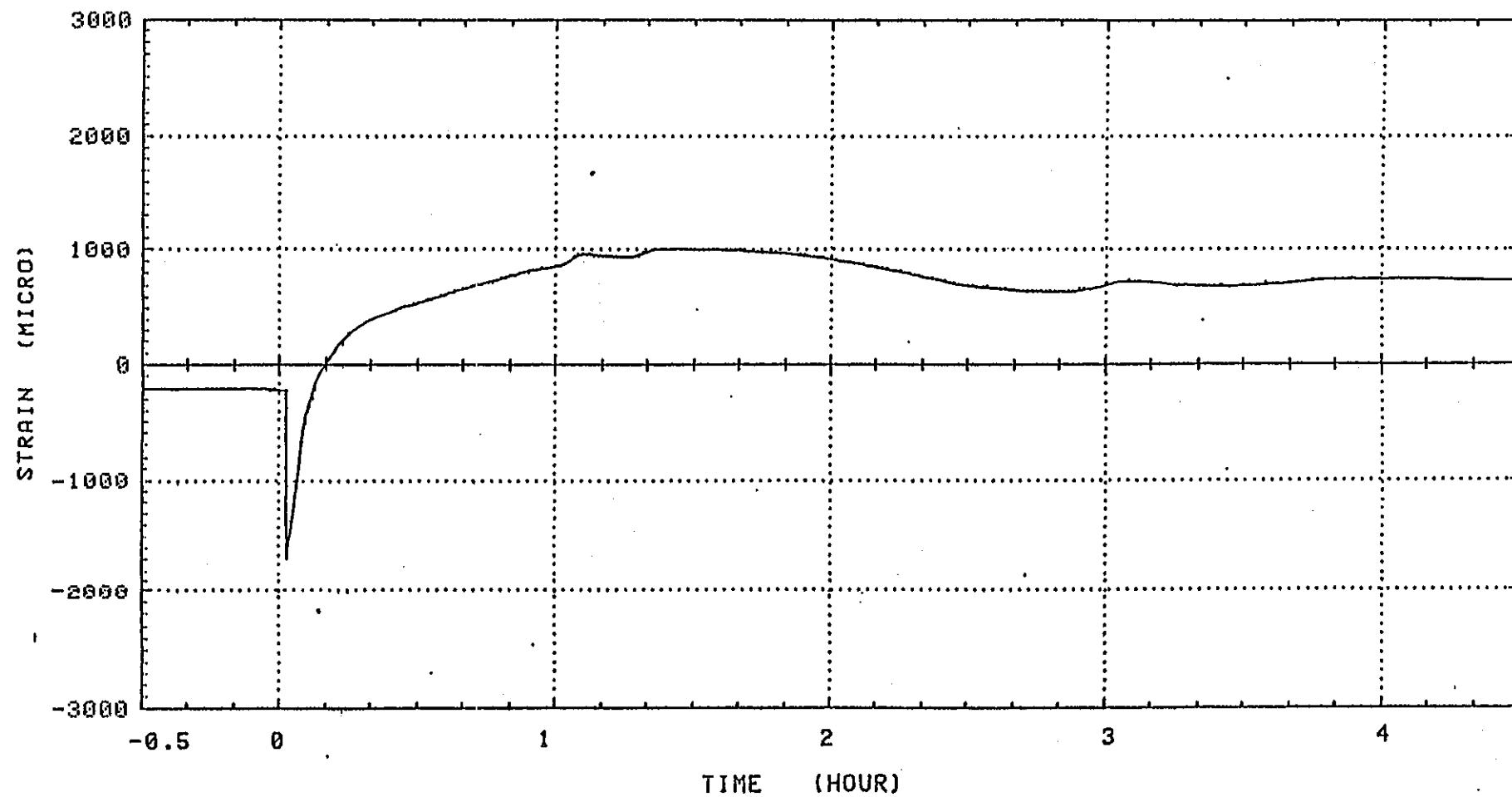


Fig. A-2-21 ライナープレート SL-2部の歪み時間変化 (RUN-4)
 Fig. A-2-21 Record of the Strain of the Liner Plate (SL-2)
 at RUN-4

Test Mode	RUN-4
Tag No. of Strain Gauge	SL-2

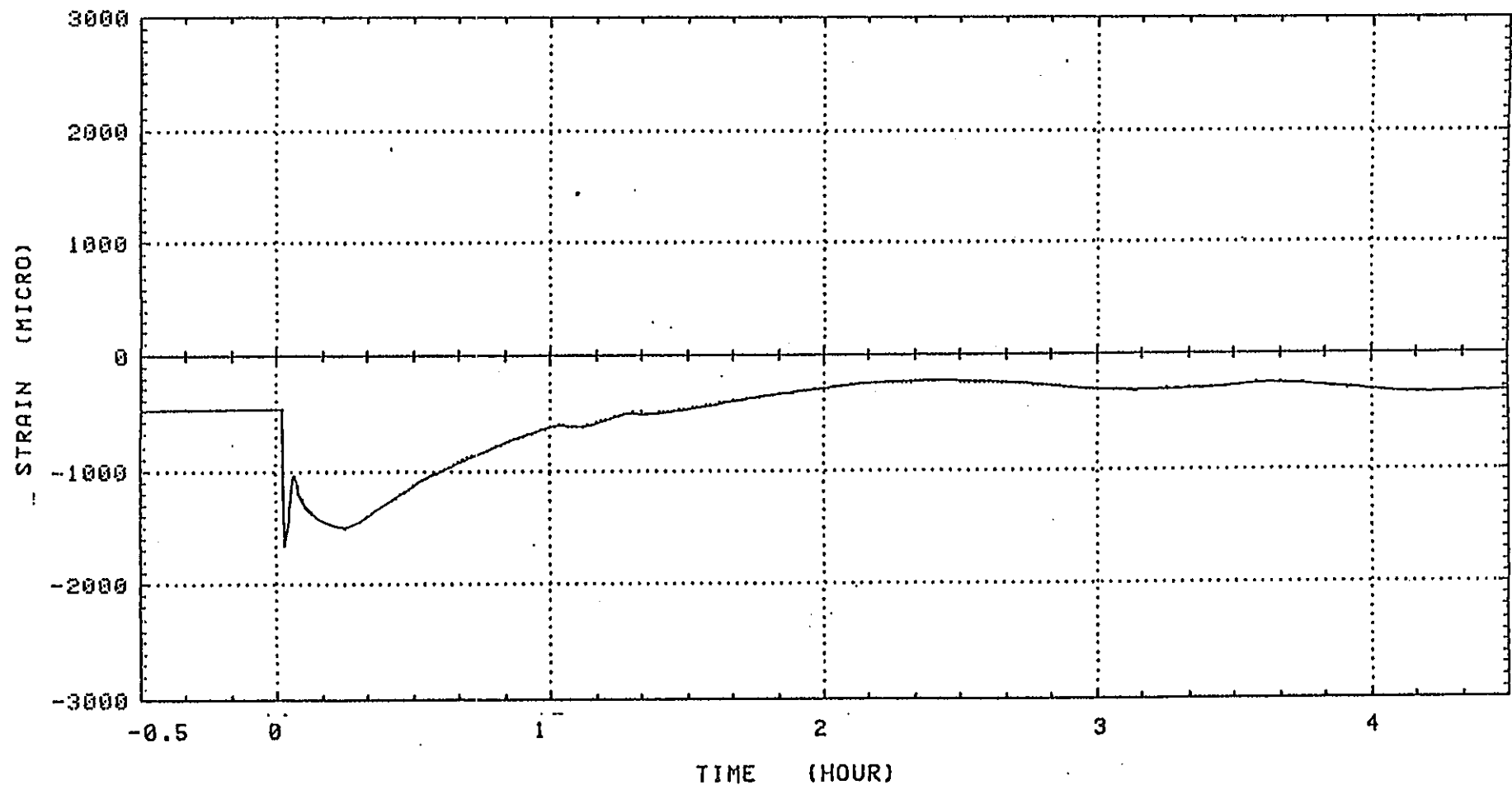


Fig.A-2-22 ライナープレート SL-3 部の歪み時間変化 (RUN-4)
 Fig.A-2-22 Record of the Strain of the Liner Plate (SL-3)
 at RUN-4

Test Mode	RUN-4
Tag No. of Strain Gauge	SL-3

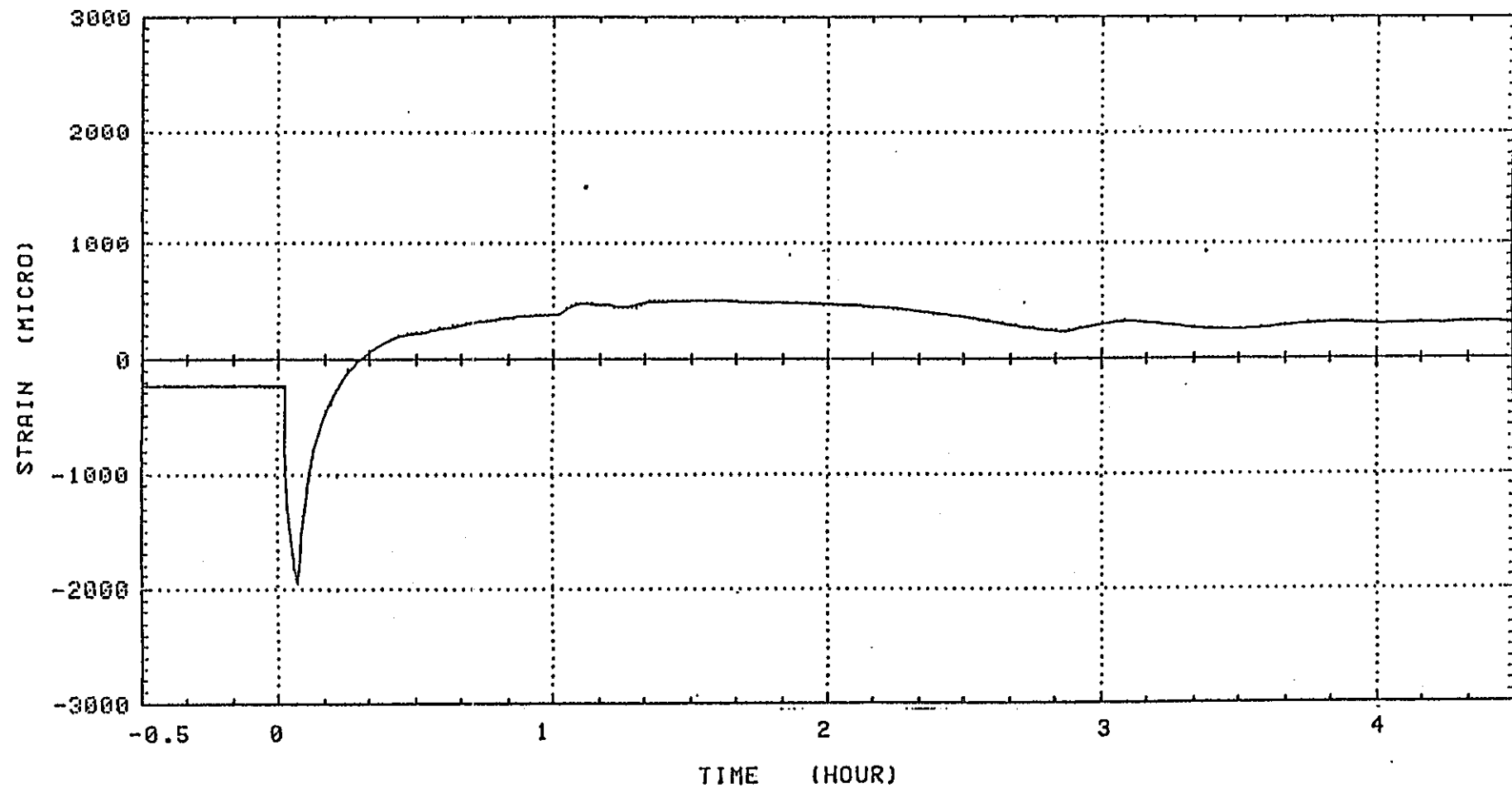


Fig. A-2-23 ライナープレートの歪み時間変化 (RUN-4)
 Fig. A-2-23 Record of the Strain of the Liner Plate (SL-4)
 at RUN-4

Test Mode	RUN-4
Tag No. of Strain Gauge	SL-4

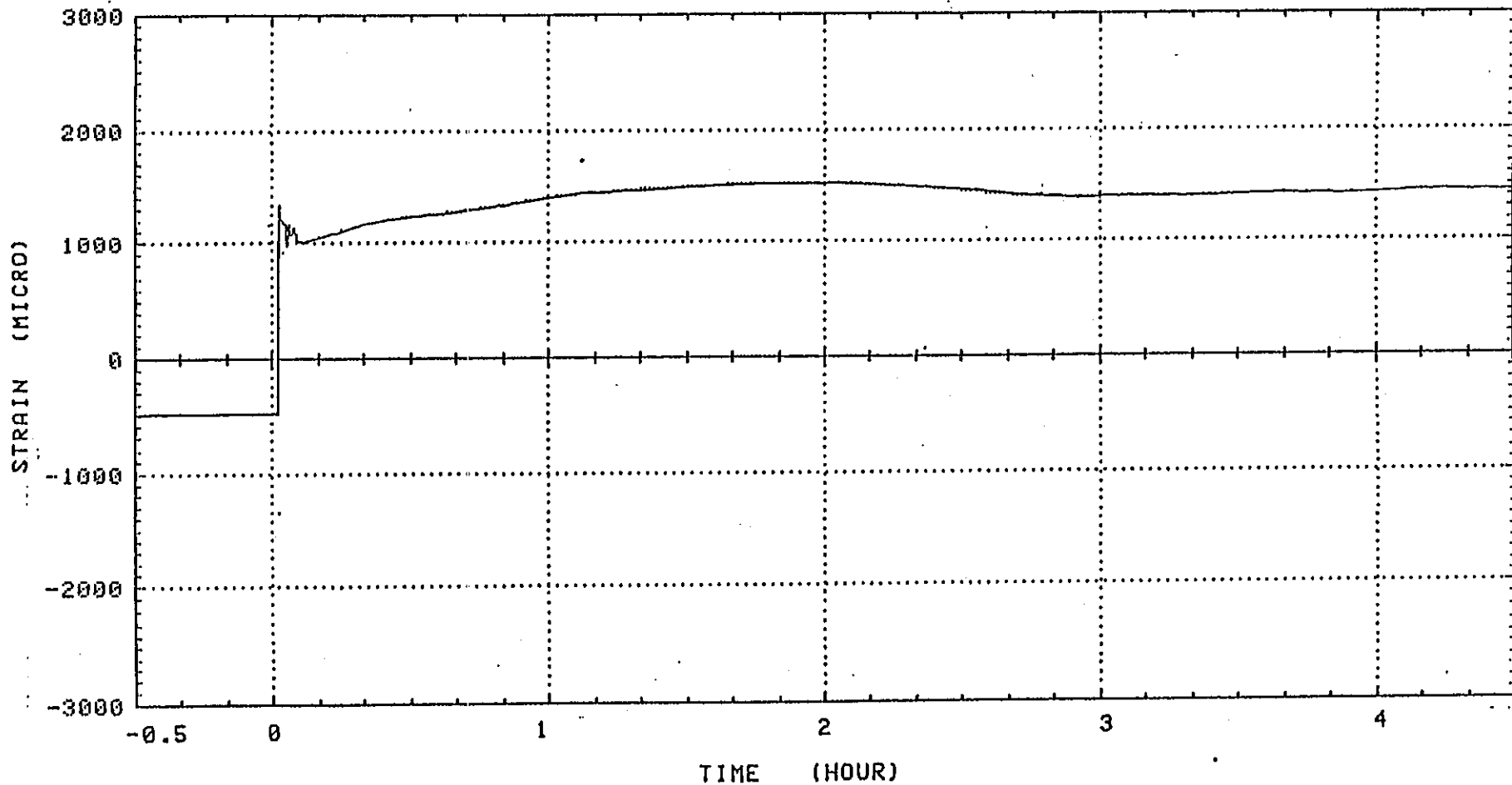


Fig.A-2-24 ライナープレート SL-5部の歪み時間変化 (RUN-4)
 Fig.A-2-24 Record of the Strain of the Liner Plate (SL-5)
 at RUN-4

Test Mode	RUN-4
Tag No. of Strain Gauge	SL-5

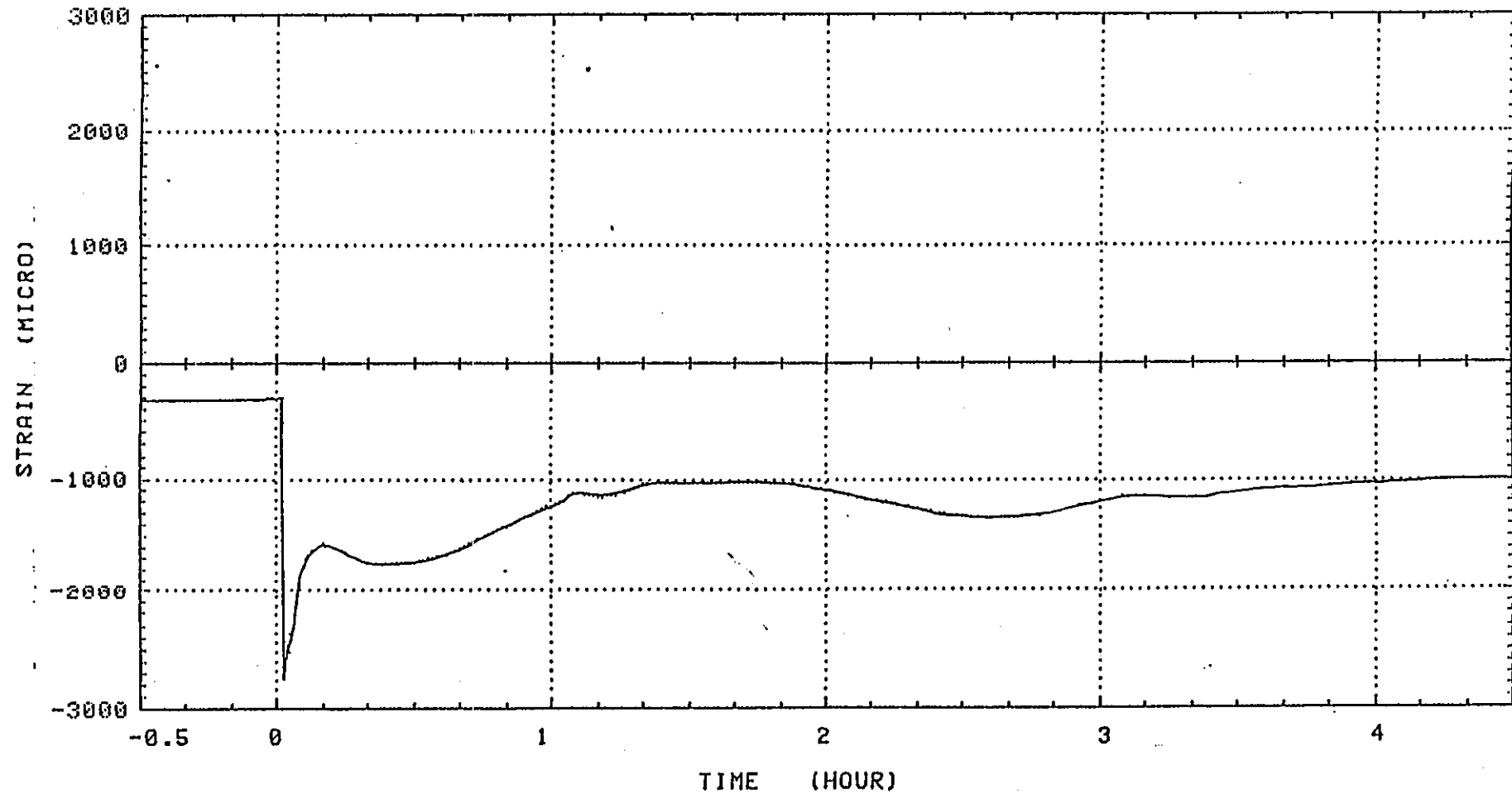


Fig.A-2-25 ライナ7°L → SL-6部の歪み時間変化(RUN-4)
 Fig.A-2-25 Record of the Strain of the Liner Plate(SL-6)
 at RUN-4

Test Mode	RUN-4
Tag No. of Strain Gauge	SL-6

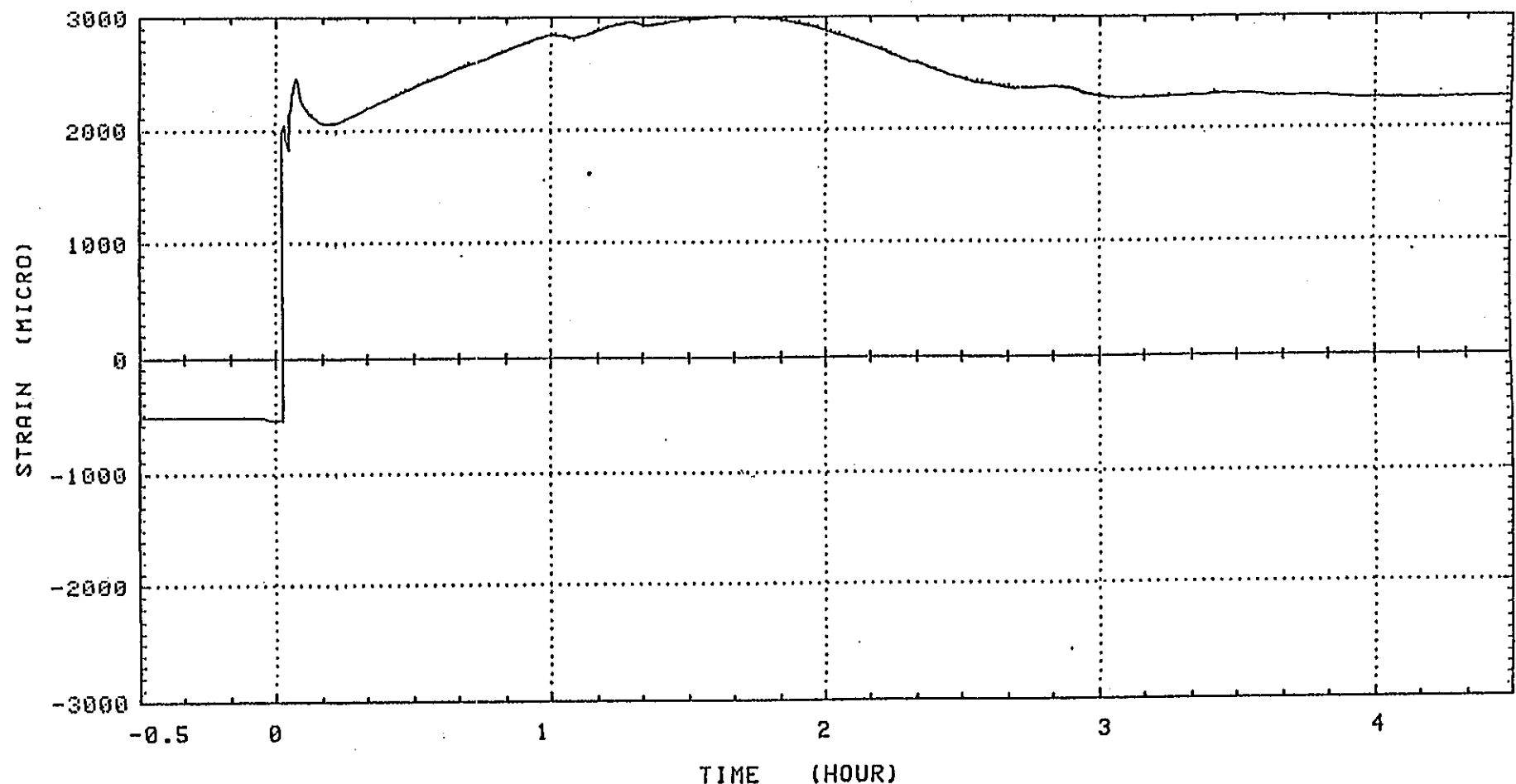


Fig. A-2-26 ライナ7°L-トSL-7部の歪み時間変化 (RUN-4)
 Fig. A-2-26 Record of the Strain of the Liner Plate (SL-7) at RUN-4

Test Mode	RUN-4
Tag No. of Strain Gauge	SL-7

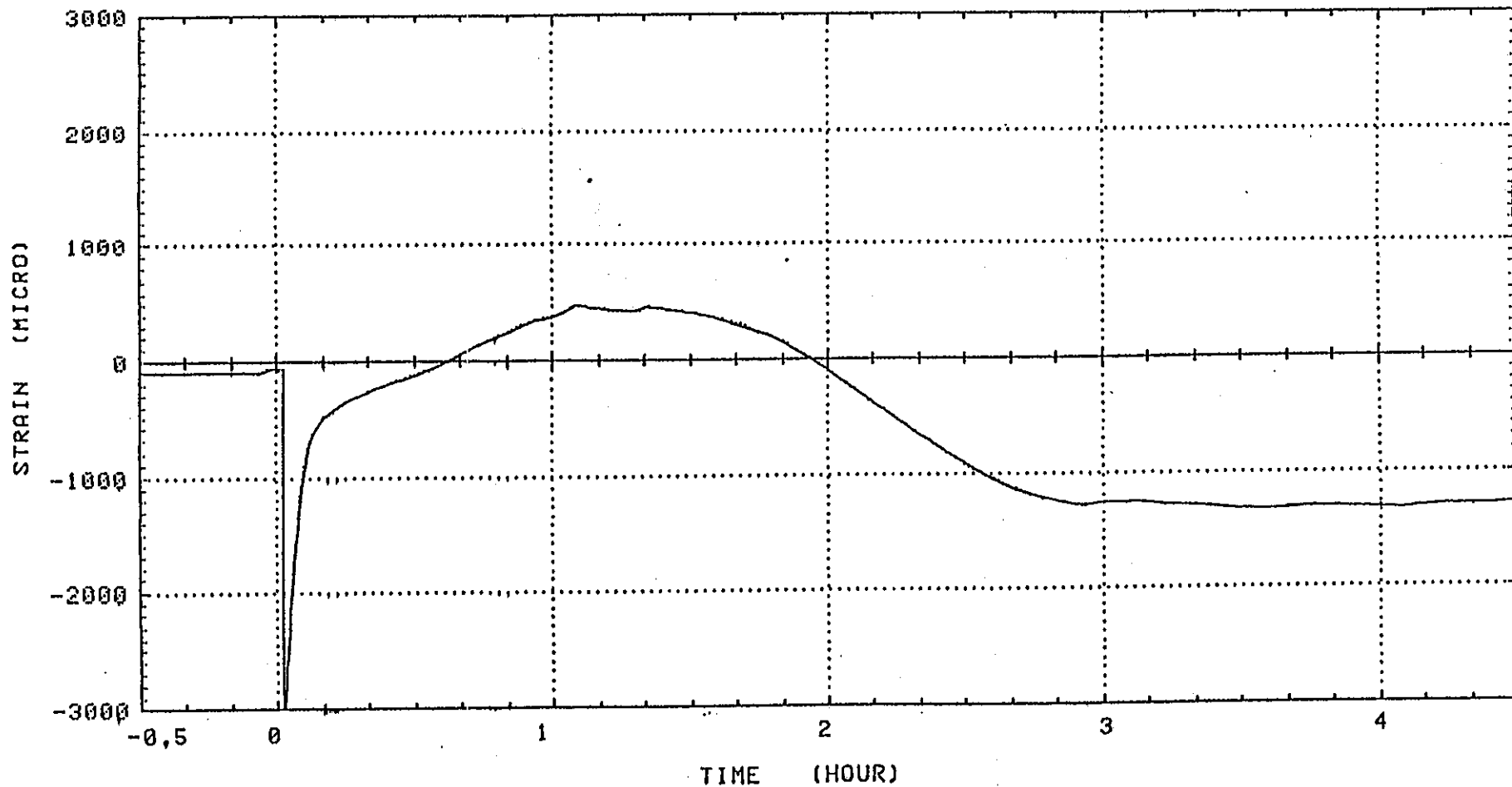


Fig.A-2-27 ライナフ^ルートSL-8部の歪み時間変化(RUN-4)
Fig.A-2-27 Record of the Strain of the Liner Plate (SL-8)
at RUN-4

Test Mode	RUN-4
Tag No. of strain gauge	SL-8

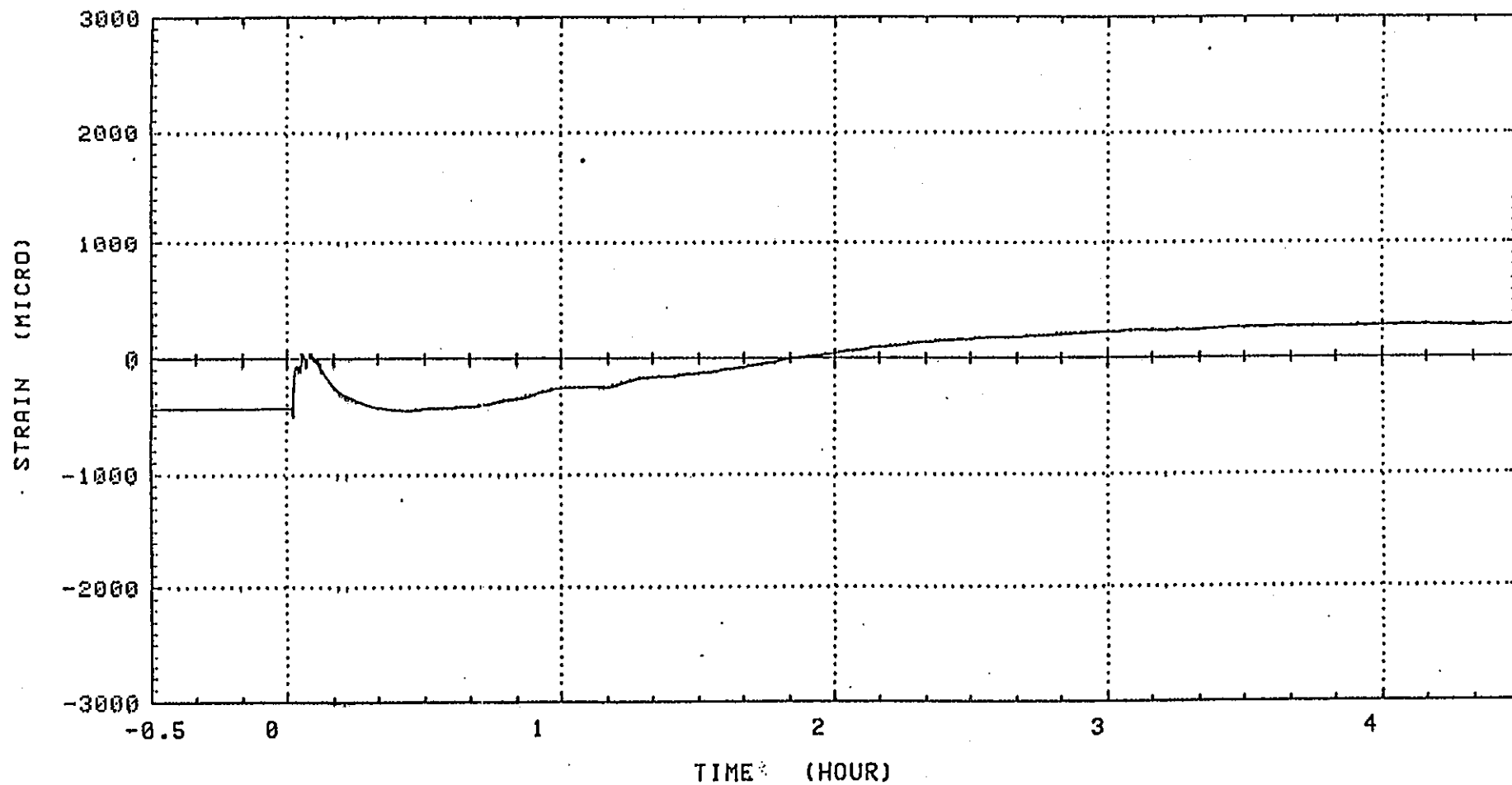


Fig.A-2-28 ライナープレート SL-9 部の歪み時間変化 (RUN-4)
 Fig.A-2-28 Record of the Strain of the Liner Plate (SL-9) at RUN-4

Test Mode	RUN-4
Tag No. of Strain Gauge	SL-9

APPENDIX B 「MARC」インプットリスト

3章で述べた「MARC」のインプットリストを添付する。

M A R C - I B M

C A R D I N P U T D A T A

5 10 15 20 25 30 35 40 45 50 55 60 65 70 75 80

TITLE 'MONJU' LINER PLATE
SIZING 450000 91 112 1000 91 50

ALL POINTS

LARGE DISP

UPDATE

FINITE

1HERMAL

MATERIAL 1 6

RESTART

POST 95

END

POST

95

1

2

3

4

5

6

9

111

--211

311

411

511

611

711

--811

911

1011

1111

112

212

--312

412

512

612

712

--812

912

1012

1112

113

213

313

413

--513

613

713

813

913

1013

--1113

117

217

317

417

517

617

717

817

917

1017

1117

--5 --10 --15 --20 --25 --30 --35 --40 --45 --50 --55 --60 --65 --70 --75 --80

	5	10	15	20	25	30	35	40	45	50	55	60	65	70	75	80
121																
221																
321																
421																
521																
621																
721																
821																
921																
1021																
1121																
122																
222																
322																
422																
522																
622																
722																
822																
922																
1022																
1122																
123																
223																
323																
423																
523																
623																
723																
823																
923																
1023																
1123																
127																
227																
327																
427																
527																
627																
727																
827																
927																
1027																
1127																
RESTART																
3	1	91														
PRINT CHOICE																
8		1	2													
1	21	25	31	36	41	47	51	58	61	69	71	80	81	91	91	
5																
1	11															
CONTROL																
500	10															
0.1																
OPTIMIZE	2															
1																
COORDINATES																
3	112															
1	300.	0.														
2	400.	0.														
3	500.	0.														
4	600.	0.														
5	700.	0.														
6	800.	0.														
7	900.	0.														
8	1000.	0.														
9	300.	100.														
10	400.	100.														
11	500.	100.														
12	600.	100.														
0.069	0.193	0.280	0.280	0.194	0.070											
0.070	0.198	0.285														
5	10	15	20	25	30	35	40	45	50	55	60	65	70	75	80	

	5	10	15	20	25	30	35	40	45	50	55	60	65	70	75	80
13	700.		100.			0.284										
14	800.		100.			0.197										
15	900.		100.			0.070										
16	1000.		100.													
17	300.		200.													
18	400.		200.			0.076										
19	500.		200.			0.211										
20	600.		200.			0.301										
21	700.		200.			0.296										
22	800.		200.			0.203										
23	900.		200.			0.072										
24	1000.		200.													
25	0.		300.													
26	100.		300.													
27	200.		300.													
28	300.		300.													
29	400.		300.			0.105										
30	500.		300.			0.250										
31	600.		300.			0.331										
32	700.		300.			0.316										
33	800.		300.			0.213										
34	900.		300.			0.075										
35	1000.		300.													
36	0.		400.			0.069										
37	100.		400.			0.070										
38	200.		400.			0.076										
39	300.		400.			0.105										
40	400.		400.			0.202										
41	500.		400.			0.316										
42	600.		400.			0.371										
43	700.		400.			0.336										
44	800.		400.			0.221										
45	900.		400.			0.077										
46	1000.		400.													
47	0.		500.			0.193										
48	100.		500.			0.198										
49	200.		500.			0.211										
50	300.		500.			0.250										
51	400.		500.			0.316										
52	500.		500.			0.382										
53	600.		500.			0.400										
54	700.		500.			0.344										
55	800.		500.			0.222										
56	900.		500.			0.077										
57	1000.		500.													
58	0.		600.			0.280										
59	100.		600.			0.285										
60	200.		600.			0.301										
61	300.		600.			0.331										
62	400.		600.			0.371										
63	500.		600.			0.400										
64	600.		600.			0.390										
65	700.		600.			0.324										
66	800.		600.			0.206										
67	900.		600.			0.071										
68	1000.		600.													
69	0.		700.			0.280										
70	100.		700.			0.284										
71	200.		700.			0.296										
72	300.		700.			0.316										
73	400.		700.			0.336										
74	500.		700.			0.344										
75	600.		700.			0.324										
76	700.		700.			0.264										
77	800.		700.			0.167										
78	900.		700.			0.058										
79	1000.		700.													
80	0.		800.			0.194										
81	100.		800.			0.197										

5 10 15 20 25 30 35 40 45 50 55 60 65 70 75 80

	5	10	15	20	25	30	35	40	45	50	55	60	65	70	75	80
	82	200.		800.		0.203										
	83	300.		800.		0.213										
	84	400.		800.		0.221										
	85	500.		800.		0.222										
	86	600.		800.		0.206										
	87	700.		800.		0.167										
	88	800.		800.		0.105										
	89	900.		800.		0.037										
	90	1000.		800.												
	91	0.		900.		0.070										
	92	100.		900.		0.070										
	93	200.		900.		0.072										
	94	300.		900.		0.075										
	95	400.		900.		0.077										
	96	500.		900.		0.077										
	97	600.		900.		0.071										
	98	700.		900.		0.058										
	99	800.		900.		0.037										
	100	900.		900.		0.013										
	101	1000.		900.												
	102	0.		1000.												
	103	100.		1000.												
	104	200.		1000.												
	105	300.		1000.												
	106	400.		1000.												
	107	500.		1000.												
	108	600.		1000.												
	109	700.		1000.												
	110	800.		1000.												
	111	900.		1000.												
	112	1000.		1000.												
CONN	CONNECTIVITY															
	3															
	1	50	1	2	10	9										
	15	50	17	18	29	28										
	22	50	25	26	37	36										
CONN	GENER															
	2	7	1	1	1	2										
CONN	GENER															
	8	14	1	7	1	4										
CONN	GENER															
	16	21	15	15	1	2										
CONN	GENER															
	23	31	22	22	1	2										
CONN	GENER															
	32	91	22	31	1	4										
PROPERTY																
	1															
	21300.	0.3														
	1	91														
GEOmetry																
	1															
	8.															
	1	91														
WORK	HARD															
	-1															
	5	10	15	20	25	30	35	40	45	50	55	60	65	70	75	80

	5	10	15	20	25	30	35	40	45	50	55	60	65	70	75	80
TEMPERATURE EFFECTS	6	6	6													
-2.988505	E-3		13.													
5.7	E-4		100.													
-1.73	E-3		200.													
-3.76	E-3		300.													
-1.73	E-3		400.													
-6.7333333	E-3		500.													
-1.034482759E+1			13.													
2.	E+0		100.													
-6.	E+0		200.													
-1.3	E+1		300.													
-6.	E+0		400.													
-2.3333333	E+1		500.													
5.747126437E-9			13.													
1.5	E-8		100.													
6.	E-9		200.													
-3.	E-9		300.													
-2.	E-9		400.													
1.3333333	E-8		500.													
BOUNDARY CONDITIONS	0	1	22													
THERMAL LOADS	0	1	22													
END OPTION	2															
BOUNDARY CHANGE	0															
THERMAL LOADS	0	1	22													
CONTINUE	2															
	5	10	15	20	25	30	35	40	45	50	55	60	65	70	75	80